

MINISTÉRIO DAS MINAS E ENERGIA
DEPARTAMENTO NACIONAL DA PRODUÇÃO MINERAL
CONVÊNIO DNPM — CPRM

PROJETO INTEGRAÇÃO GEOLÓGICO—GEOFÍSICA SUL DO PARÁ


RELATÓRIO FINAL

VOLUME II

RELAÇÃO DAS ESTAÇÕES GEOLÓGICAS, FICHAS DE DESCRIÇÃO
DE AFLORAMENTOS, BOLETINS DE ANÁLISES QUÍMICAS E FICHAS
DE ANÁLISES PETROGRÁFICAS.

Ruy Célio Martins
Orlando J. B. de Araújo

I96

	SUREMI SEDOTE
CPRM	ARQUIVO TÉCNICO
Relatório n.º	914
N.º de Volumes:	6 v.: 2-5

PHL
013035
2007



COMPANHIA DE PESQUISA DE RECURSOS MINERAIS
SUPERINTENDÊNCIA REGIONAL DE BELÉM

1979

PROJETO INTEGRAÇÃO GEOLÓGICO - GEOFÍSICA SUL DO PARÁ

COORDENAÇÃO TÉCNICA:

FERNANDO PEREIRA DE CARVALHO	Geólogo - COREMI / BE
RICARDO MOACYR DE VASCONCELOS	Geofísico - DIGEOF / RIO

SUPERVISÃO TÉCNICA:

ROBERTO MAGALHÃES REIS	Geólogo - DIVPES / BE
MOYSES BENTES	Geofísico - DIGEOF / RIO
MÁRIO JOSÉ METELO	Geofísico - DIGEOF / RIO
CARLOS OTÁVIO FERREIRA PUTY	Geofísico - DIGEOF / RIO

EQUIPE EXECUTORA:

RUY CÉLIO MARTINS	Geofísico - CHEFE DO PROJETO
ORLANDO JOSÉ BARRÓS DE ARAUJO	Geólogo - SUREG / BE
LUIZ FERNANDES NEVES	Geólogo - SUREG / BE

COLABORAÇÃO ESPECIAL:

AUGUSTO JOSÉ PEDREIRA	Geólogo - SUREG / BE
JURANDYR SCHMIDT	Geofísico - SUREG / BE
XAFI DA SILVA JORGE JOÃO	Geólogo - SUREG / BE

PROJETO INTEGRAÇÃO GEOLÓGICO—GEOFÍSICA SUL DO PARÁ

RELATÓRIO FINAL

ÍNDICE DOS VOLUMES

Volume I	TEXTO
Volume II	Relação das Estações Geológicas Fichas de Descrição de Afloramentos Boletins de Análises Químicas Fichas de Análises Petrográficas
Volume III	Mapas Geológicos — ANEXOS I a VII Mapas de Amostragem — ANEXOS VIII a XIV
Volume IV	Mapas Radiométricos — ANEXOS XV a XXVIII
Volume V	Mapas de Interpretação Geofísica — ANEXOS XXIX a XLIII
Volume VI	Mapas Magnéticos — ANEXOS XLIV a LVIII



APRESENTAÇÃO

Neste volume, consta uma relação das Estações Geológicas, estudadas no decorrer do projeto, relacionadas por folha, na escala 1:500.000. Na relação de cada folha, estão classificadas ainda por projeto, visto que além dos pontos obtidos nas etapas de campo do Projeto Integração Geológico-Geofísica Sul do Pará, foram analisados uma série de pontos de outros projetos, anteriormente desenvolvidos na área, tais como o Projeto Sulfetos de Altamira-Itaituba, o Projeto Jamxim, o Projeto Santarém - Cachimbo e o Projeto RADAM. Todos os pontos estão relacionados com as respectivas coordenadas U. T. M.

Fazem parte ainda deste volume as fichas de descrição de afloramentos das estações estudadas neste projeto estando classificadas pela sigla do coletor. Os pontos obtidos de outros projetos, foram apenas consultados nos seus respectivos relatórios.

Incluem-se ainda os boletins de análises químicas, realizadas em amostras de rochas, sedimentos, concentrados de bâteia e solos coletados durante o desenvolvimento deste projeto.

No final estão as fichas de análises petrográficas, classificadas pela sigla do coletor.



RELAÇÃO DAS ESTAÇÕES GEOLÓGICAS

FOLHA SA.21-Z

PROJETO INTEGRAÇÃO GEOLÓGICO-GEOFÍSICA SUL DO PARÁ

Nº DE AMOSTRA	COORDENADAS	U.T.M. (KM)
OA-78	9558,7	759,7
-79	9563,0	766,0
-80	9567,1	773,4
-81	9568,1	776,1
-82	9568,6	783,5
-83	9564,1	791,0
-84	9567,5	801,9
-85	9575,7	812,6
-86	9573,0	817,5
-87	9571,9	819,1
-88	9572,1	820,2
-89	9576,2	828,7
<u>PROJETO SULFETOS DE ALTAMIRA ITAITUBA</u>		
EM-143	9558,5	730,2
-144	9559,6	736,2
-210	9574,7	779,1
-225	9579,6	794,9
-364	9567,0	739,4
-368	9569,7	743,7
-376	9581,0	740,7
NA-118	9566,2	830,9
-126	9568,6	824,7
-135	9563,2	825,7

FOLHA SB. 21-X

PROJETO INTEGRAÇÃO GEOLÓGICO-GEOFÍSICA SUL DO PARÁ

Nº DE AMOSTRA	COORDENADAS	U.T.M.	(KM)
BD-01	9365,0		728,1
-02	9365,0		728,1
-03	9365,5		727,7
-04	9365,5		727,2
-05	9366,0		726,2
-06	9364,7		729,1
-07	9364,7		729,1
-08	9364,5		730,0
-09	9364,5		730,0
-10	9364,5		730,0
-11	9363,7		731,7
-12	9363,7		731,7
-13	9372,2		682,2
-14	9372,7		683,7
-15	9373,0		684,5
-16	9373,0		684,5
-17	9373,2		685,0
-18	9373,2		685,0
-19	9373,2		685,0
-20	9373,2		685,0
-21	9373,2		685,0
-22	9373,2		685,0
-23	9371,6		680,7
-24	9371,2		679,5
-25	9370,7		678,6

-26	9392,2	664,2
-27	9392,2	664,2
-28	9391,0	666,2
-29	9403,6	697,9
-30	9403,6	697,9
-31	9363,5	702,5
-32	9380,0	700,5
BD-B-01	9373,0	636,7
-B-02	9372,2	634,7
-B-03	9373,2	639,2
-B-04	9373,5	638,0
-B-05	9392,5	670,0
-B-06	9392,0	669,5
-B-07	9393,5	669,2
-B-08	9393,7	666,7
-S-101	9372,2	634,7
-S-102	9373,2	639,2
-S-103	9373,5	638,0
-S-104	9392,5	670,0
-S-105	9392,0	669,5
-S-106	9393,5	669,5
-S-107	9393,7	666,7
-S-108	9391,5	671,5
LN-07	9339,7	735,6
-08	9343,5	772,0
-09 A/B	9377,6	774,6
-54	9353,2	765,0
OA-04 A/B	9372,2	804,6
-05	9372,7	803,6
-06	9424,2	669,0
-07	9419,6	680,0

-08	9436,5	687,1
-09	9441,7	694,0
-10 A/B	9364,4	814,4
-11	9365,7	814,7
-12 A/B/C	9365,9	812,2
-13	9370,1	811,1
-14/14A	9369,5	807,5
-15	9373,9	800,9
-16	9376,4	799,7
-17	9382,9	797,5
-18	9387,2	798,5
-19	9390,5	795,5
-20 A/B	9394,0	792,5
-21	9400,0	789,7
-22	9400,5	785,4
-23	9392,9	656,1
-24	9396,5	670,5
-58 A/B	9536,6	682,5
-59	9542,9	692,0
-60	9543,9	694,6
-61 A/B	9543,0	696,2
-62	9543,1	700,1
-63	9543,5	701,7
-64	9544,7	702,9
-65	9546,0	705,7
-66	9544,0	709,1
-67	9543,4	711,5
-68 A/B	9541,6	712,5
-69 A/B	9544,9	713,5
-70 A/B	9547,0	715,0
-71	9546,4	718,7

-72	9545,0	720,7
-73	9545,0	729,4
-74A	9554,0	753,4
-75	9550,5	749,2
-76	9548,2	737,9
-77	9555,2	756,7
-90	9392,1	632,9
-91	9409,7	618,7
-92 A/B	9406,7	621,2
-93	9403,7	623,2
-94 A/B/C/D	9350,5	640,9
-95	9396,6	620,5
-96	9398,7	619,7
-97 A/B	9383,0	623,5
-98 A/B/C	9387,0	627,7
-104	9405,5	622,5
-105	9478,4	611,2
RM-04	9468,5	806,9
-05	9423,7	829,7
-07 A/B	9434,2	725,0
-08 A/B	9435,2	725,0
-09	9425,2	726,2
-10	9426,2	723,9
-14	9352,2	695,5
-15	9367,0	737,5
-16	9350,2	773,2
-17	9354,1	774,2
-18	9356,9	774,4
-19	9360,0	774,7
-20	9380,5	773,4
-21 A/B	9400,0	778,9

-22	9400,7	779,7
-23	9401,6	780,5
-24	9402,7	781,2
-25	9403,7	781,2
-26	9386,4	774,1
-27	9388,2	775,5
-28	9394,0	777,5
-29	9397,2	778,4
-61 A/B/C	9388,5	640,2
-62	9386,2	640,4
-63 A/B	9368,0	640,0
-64	9368,0	642,2
<u>PROJETO JAMANXIM</u>		
EB-22	9377,5	644,5
-67	9357,0	657,7
-85	9347,5	662,4
-147	9340,7	629,0
-183	9341,0	614,1
JN-77	9441,2	659,5
-113	9439,5	642,7
-139	9439,7	620,2
JV-24	9412,7	632,2
-147	9409,5	660,2
-202	9368,5	627,1
-223	9356,0	629,9
<u>PROJETO SANTARÉM-CACHIMBO</u>		
-393	9359,1	638,7
-436	9377,2	629,5

-453	9343,5	638,4
-730	9419,5	632,2

FOLHA SB.21-Z

PROJETO INTEGRAÇÃO GEOLÓGICO-GEOFÍSICA SUL DO PARÁ

Nº DE AMOSTRA	COORDENADAS	U.T.M.	(KM)
LN-01 A/B	9286,2		742,9
-02	9276,5		738,4
-03	9267,5		744,9
-04	9265,5		736,0
-05	9240,7		721,2
-06	9247,2		707,4
OA-99	9276,7		621,2
-100	9279,7		625,0
-101	9283,6		629,7
-102	9295,2		636,0
-103	9303,5		655,5
RM-11 A/B	9321,5		677,0
-12	9329,2		677,0
-13 A/B	9330,2		679,2
-65	9333,6		644,2
-66	9333,7		645,0
-67	9294,5		632,7
-68	9293,5		632,2
-69	9299,5		638,9
-70 A/B	9276,0		659,2
-71	9275,0		658,6
<u>PROJETO SANTARÉM-CACHIMBO</u>			
-368	9306,5		652,0
-474	9319,4		651,5

-531	9291,5	659,7
-761	9328,5	632,7

FOLHA SA.22-Y

PROJETO INTEGRAÇÃO GEOLÓGICO-GEOFÍSICA SUL DO PARÁ

Nº DE AMOSTRA	COORDENADAS U. T. M.	(KM)
LN-32	9563,9	193,0
-33	9566,2	259,2
-34	9564,6	270,6
-35	9550,2	270,2
-41	9584,0	393,7
-43	9596,0	406,0
-44	9599,2	407,9
-45	9621,6	315,0
-46	9619,7	310,1
-47	9620,5	310,2
-48	9598,1	229,7
-49	9601,2	246,2
-50	9610,6	265,0
-51	9607,1	303,0
-52	9599,2	278,7
-53	9652,1	410,7
-55	9629,7	309,0
-56	9651,0	379,5
-57	9646,7	378,2
OA-48 A/B	9559,1	321,6
-49	9571,5	323,0
-50	9585,5	329,6
-51	9593,2	341,7
-52	9602,5	350,0
-53	9614,7	352,1

-54	9602,7	371,7
RM-72	9631,7	414,0
-73	9631,5	412,2
-74 A/B	9631,5	411,2
-75	9631,7	409,2
-76	9604,4	396,1
-78	9602,4	395,2
-81	9601,2	394,2
-82	9600,9	394,7
-83	9602,0	396,0
-90	9615,7	399,7
-91	9615,7	400,2
-92	9615,7	400,6
-93	9615,6	401,2
-94	9619,0	400,4
-95	9623,1	399,0
-96 A/B	9624,0	400,5
RM-B-77	9604,7	398,2
B-79	9603,7	398,7
B-80	9602,7	399,0
B-81	9604,7	399,2
B-85	9603,7	398,0
B-86	9607,7	399,2
B-87	9606,5	399,2
B-88	9605,5	397,2
B-89	9604,5	397,5

PROJETO SULFETOS DE ALTAMIRA-ITAITUBA

AV-20	9583,2	201,2
-39	9582,7	190,7

JJ-89	9619,7	355,5
NA-146	9564,0	170,7
NR-165	9630,0	336,5
-226	9614,5	328,5
-390	9627,5	293,7
-404	9647,2	360,0
-453	9655,2	400,6
-512	9583,5	235,0
<u>PROJETO RADAM</u>		
AA-146	9584,5	333,7
AA-147	9584,5	333,7
AA-148	9584,5	333,7
AG-16	9658,5	402,0
-17	9640,7	350,6
-18	9639,1	346,6
-19	9634,5	328,1
-20	9613,7	281,2
-21	9574,9	172,4
CN-522	9562,7	417,0
-525	9596,9	376,0
JW-15	9596,9	405,4

FOLHA SB. 22-V

PROJETO INTEGRAÇÃO GEOLÓGICO-GEOFÍSICA SUL DO PARÁ

Nº DE AMOSTRA	COORDENADAS	U.T.M.	(KM)
LN-10	9406,5		458,0
-11 A/B	9435,5		359,1
-12	9398,0		358,0
-13 A/B/D/E	9500,0		207,1
-14 A/B	9529,7		224,2
-15	9486,2		269,2
-16	9492,2		319,2
-17	9453,9		380,2
-18	9464,7		367,0
-19	9469,5		366,2
-20	9471,6		361,5
-21	9467,7		366,5
-22	9455,7		345,6
-23 A/B	9453,7		344,5
-24	9430,7		323,7
-25	9407,2		287,7
-26	9393,4		279,0
-27	9399,2		282,5
-28	9403,2		283,2
-29	9404,0		285,0
-30 A/B	9406,0		285,7
-31	9555,2		185,9
-39	9521,2		461,2
-40	9531,0		427,0
-42	9507,0		457,5

OA-01	9357,7	185,0
-02	9356,5	209,0
-03	9339,0	220,4
-26	9349,2	296,5
-27	9392,7	237,2
-28	9450,5	231,2
-29	9453,5	217,1
-30 A/B	9505,5	184,4
-31	9506,9	188,0
-32	9449,0	198,2
-33	9440,4	208,5
-34	9444,7	231,2
-35	9426,5	226,6
-36	9421,2	272,6
-37	9416,4	282,0
-38 A/B	9397,5	304,5
-39	9399,7	300,0
-40	9400,2	298,9
-41	9401,0	294,4
-42 A/B	9403,5	290,7
-43 A/B	9406,5	289,5
-44 A/B	9409,2	290,0
-45	9540,4	300,4
-46	9544,5	317,9
-47 A/B	9552,7	326,7
-55	9518,0	385,7
-56	9502,0	279,5
-57	9524,5	292,0
RM-03	9354,4	201,2
-30	9425,0	298,1
-32	9367,0	273,5

-33	9438,0	197,2
-34 A/B	9427,0	197,6
-35	9407,9	254,7
-36	9411,0	254,0
-37	9460,0	296,9
-38	9467,5	299,4
-39	9487,4	310,0
-40	9491,2	286,9
-41	9500,5	274,5
-42	9498,0	280,1
-43	9458,5	285,9
-46	9542,5	497,5
-47	9542,5	480,9
-48	9553,7	471,2
RM-L-36 AaT	9409,5	254,0
<u>PROJETO RADAM</u>		
PT-1N AP-242	9549,4	322,7
PT-2A AP-244	9521,9	304,4
PT-3A AP-245	9498,1	308,5
PT-4A CC-Y	9474,6	327,6
PT-4C AP-246	9454,0	216,4
-5A	9519,9	193,5
PT-7 AA-144/145	9512,0	464,0
PT-9 AA-143	9492,2	449,7
PT-10A AA-140/141	9457,1	453,0
PT-10B AA-142	9470,9	461,2
PT-11 JW-16	9477,2	384,2
PT-19 AP-243	9537,1	320,1
PT-20 AP-236	9403,6	283,5
AP-247	9469,0	250,9

FOLHA SB.22-Y

PROJETO INTEGRAÇÃO GEOLÓGICO-GEOFÍSICA SUL DO PARÁ

Nº DE AMOSTRA	COORDENADAS	U.T.M.	(KM)
OA-25	9329,5		276,7
RM-01	9273,2		184,4
-02	9306,7		219,1
-31	9272,5		271,5
<u>PROJETO RADAM</u>			
PT-40a CC-Z	9311,7		209,5
PT-25A	9326,2		177,0
PT-25B	9264,2		172,5
PT-42A-AP	9240,0		260,6
-42B-AP			

FOLHA SB.22-X

PROJETO INTEGRAÇÃO GEOLÓGICO-GEOFÍSICA SUL DO PARÁ

Nº DE AMOSTRA	COORDENADAS	U.T.M. (KM)
LN-36	9514,2	565,1
-37	9506,6	544,0
-38	9506,0	514,0
RM-44	9534,5	535,9
-45	9533,5	535,7
-50	9455,0	658,0
-51	9468,7	655,5
-52	9500,7	651,2
-53	9509,2	640,4
-54	9537,5	607,2
-55	9546,1	597,5
-56 A/B	9554,9	563,7
-57	9556,2	561,7
-58	9554,2	535,5
-59 A/B/C/D/E/F -	9553,2	535,7
-60 A/B/C/D/E/F/G	9545,0	536,2
<u>PROJETO RADAM</u>		
PT-12A AA-134/135	9498,5	538,5
PT-12B AA-136/136.1	9488,2	537,2
AA-137/138		
PT-12C AA-139	9479,2	524,0
PT-13 AA-130/131	9502,5	567,0
PT-14A AA-132	9494,5	593,2

PT-15	JW-12/12.1		
	JW-12.2/12.3	9469,2	607,2
AG-7	7.1/7.2	9460,5	662,5
AG-8		9552,2	647,1
AG-10		9546,0	603,4
CN-521		9519,5	635,1

FICHAS DE DESCRIÇÃO DE AFLORAMENTOS
PROJETO INTEGRAÇÃO GEOLÓGICO-GEOFÍSICA SUL DO PARÁ



BD - BENEDITO CARLOS DAMASCENO



DESCRIÇÃO DE AFLORAMENTOS

CPRM

PREF. BD C/O 1757

Paleontológica Sedimentológica Mineralógica Química Petrográfica N.º 01

Caderneta 04 Altitude Localização SB.21-X-D Cad. Ocorrência Ilustração

DADOS GEográficos
 Toponímia 323 m a NW do porto 44, bacia do igarapé João Martins, afluente rio Curuá
 Relevo Plano
 Vegetação Floresta de grande porte
 Solo areno-argiloso

DADOS GEOLÓGICOS
 Afloramento de rocha alterada, coloração amarelada, granulação fina com pórfiros de feldspato potássico.
 Unidade Estrat. Formação Iriri

TECTÓNICA
 Atit. da Cam.
 Atit. da Xist.
 Atit. do Lin. N20°W
 Frat.
 Outros

LITOLÓGICA
 Rocha Tufo Riolítico
 Classe Vulcânica
 Amostra Sim Não

Paleontológica Sedimentológica Mineralógica Química Petrográfica N.º 02

Caderneta 04 Altitude Localização SB.21-X-D Cad. Ocorrência Ilustração

DADOS GEográficos
 Toponímia 328 m a NW do ponto 44, bacia do igarapé João Martins, afluente do rio Curuá.
 Relevo Plano
 Vegetação Floresta de grande porte
 Solo Areno-argiloso

DADOS GEOLÓGICOS
 Afloramento de rocha vulcânica, afanítica de coloração cinza-escuro.
 Unidade Estrat. Formação Iriri

TECTÓNICA
 Atit. da Cam.
 Atit. da Xist.
 Atit. do Lin.
 Frat.
 Outros

LITOLÓGICA
 Rocha Tufo Riolítico
 Classe Vulcânica
 Amostra Sim Não



DESCRIÇÃO DE AFLORAMENTOS

CPRM

PREP. BD

C/C 1757

Paleontológica

Sedimentológica

Mineralógica

Química

Petrográfica

N.º 03

Caderneta

Altitude

Localização

Cad. Ocorrência

Ilustração

04

SB.21-X-D

DADOS GEográficos

Toponímia 475m a NW do ponto 44, bacia do igarapé João Martins, afluente do rio Curuá

Relevo Plano

Vegetação Floresta de grande porte

Solo Arenó-argiloso

Atit. da Cam.

Atit. da Xist.

Atit. do Lin.

Frat.

Outros

TECTÓNICA

DADOS GEOLÓGICOS

Bloco aflorante de riodácito com xenólito de riolito.

Rocha Riodácito

Classe Vulcânica

Amostra Sim Não

LITOLOGIA

Unidade Estrat. Formação Iriri

Paleontológica

Sedimentológica

Mineralógica

Química

Petrográfica

N.º 04

Caderneta

Altitude

Localização

Cad. Ocorrência

Ilustração

04

SB.21-X-D

DADOS GEográficos

Toponímia Estação 21, 1.100m a NW do ponto 44, bacia do igarapé João Martins, afl. do rio Curuá.

Relevo Suavemente ondulado

Vegetação Floresta de grande porte

Solo Arenó-argiloso

Atit. da Cam.

Atit. da Xist.

Atit. do Lin.

Frat.

Outros

TECTÓNICA

DADOS GEOLÓGICOS

Rocha riodacítica com xenólitos de riolito, aflorando no leito de igarapé.

Rocha Dácito Brechoide

Classe Vulcânica

Amostra Sim Não

LITOLOGIA

Unidade Estrat. Formação Iriri



DESCRIÇÃO DE AFLORAMENTOS

CPRM

PREF. BD

C/C 1757

Paleontológica	Sedimentológica	Mineralógica	Química	Petrográfica	N.º 05
Caderneta 04	Altitude	Localização SB.21-X-D	Cad. Ocorrência	Ilustração	

DADOS GEGRÁFICOS

Toponímia Estação 43, 2.150 m a NW do ponto 44, bacia do igarapé João Martins, afl. do rio Curuá.

Relevo Suavemente ondulado

Vegetação Floresta

Solo Areno-argiloso

TECTÔNICA

Atit. da Cam.

Atit. da Xist.

Atit. do Lin.

Frat.

Outros

DADOS GEOLÓGICOS

Afloramento de blocos pequenos de rocha vulcânica ácida.

Unidade Estrat. Formação Iriri

LITOLOGIA

Rocha Riolito

Classe Vulcânica

Amostra Sim Não

Paleontológica	Sedimentológica	Mineralógica	Química	Petrográfica	N.º 06
Caderneta 04	Altitude	Localização SB.21-X-D	Cad. Ocorrência	Ilustração	

DADOS GEGRÁFICOS

Toponímia Estação 10, 500m a SE do ponto 44, bacia do igarapé João Martins, afl. do rio Curuá.

Relevo Plano

Vegetação Floresta

Solo Areno-argiloso

TECTÔNICA

Atit. da Cam.

Atit. da Xist.

Atit. do Lin.

Frat.

Outros

DADOS GEOLÓGICOS

Afloramento de riolito, mostrando pequenos fraturamentos.

Unidade Estrat. Formação Iriri

LITOLOGIA

Rocha Riolito

Classe Vulcânica

Amostra Sim Não



DESCRIÇÃO DE AFLORAMENTOS

CPRM

PREF. BD C/C 1757

Paleontológica	Sedimentológica	Mineralógica	Química	Petrográfica	N.º
					09
Caderneta	Altitude	Localização	Cad. Ocorrência	Ilustração	
04		SB.21-X-D			

DADOS GEográficos

Toponímia ..Estação 31, 1.550m a SE do ponto 44, bacia igarapé João Martins, afl. do rio Curuá.

Relevo Ondulado

Vegetação Floresta

Solo Areno-argiloso

DADOS GEOLÓGICOS

Afloramento de rocha vulcânica ácida em blocos grandes.

Unidade Estrat. Formação Iriri

TECTÓNICA

Att. da Cam.

Att. da Xist.

Att. do Lin.

Frat.

Outros

LITOLÓGIA

Rocha Riolito

Classe Vulcânica

Amostra Sim Não

Paleontológica	Sedimentológica	Mineralógica	Química	Petrográfica	N.º
					10
Caderneta	Altitude	Localização	Cad. Ocorrência	Ilustração	
04		SB.21-X-D			

DADOS GEográficos

Toponímia Estação 32, 1.600m a SE do ponto 44, bacia do igarapé João Martins, afl. do rio Curuá.

Relevo Moderadamente ondulado

Vegetação Floresta

Solo Areno-argiloso

DADOS GEOLÓGICOS

Afloramento de rocha vulcânica ácida no leito de pequeno igarapé.

Unidade Estrat. Formação Iriri

TECTÓNICA

Att. da Cam.

Att. da Xist.

Att. do Lin.

Frat.

Outros

LITOLÓGIA

Rocha Riolito

Classe Vulcânica

Amostra Sim Não



DESCRIÇÃO DE AFLORAMENTOS

CPRM

PREF. BD

C/C

1757

Paleontológica

Sedimentológica

Mineralógica

Química

Petrográfica

N.º

11

Caderneta

Altitude

Localização

Cad. Ocorrência

Ilustração

04

SB.21-X-D

DADOS GEGRÁFICOS

Toponímia Estação 72, 3.600m a SE do ponto 44, bacia do igarapé João Martins, afl. do rio Curuá.
 Relevo Ondulado
 Vegetação Floresta
 Solo Areno-argiloso

Att. da Cam.
 Att. da Xist.
 Att. do Lin.
 Frat.
 Outros

TECTÔNICA

DADOS GEOLÓGICOS

Afloramento de riolito.
 Unidade Estrat. Formação Iriri

LITOLOGIA

Rocha Riolito
 Classe Vulcânica
 Amostra Sim Não

Paleontológica

Sedimentológica

Mineralógica

Química

Petrográfica

N.º

12

Caderneta

Altitude

Localização

Cad. Ocorrência

Ilustração

04

SB.21-X-D

DADOS GEGRÁFICOS

Toponímia Estação 74, 3.700m a SE do ponto 44, bacia do igarapé João Martins, afl. do rio Curuá.
 Relevo Ondulado
 Vegetação Floresta
 Solo Areno-argiloso

Att. da Cam.
 Att. da Xist.
 Att. do Lin.
 Frat.
 Outros

TECTÔNICA

DADOS GEOLÓGICOS

Afloramento de rocha decomposta de coloração esverdeada, no leito de pequeno igarapé.
 Unidade Estrat. Formação Iriri

LITOLOGIA

Rocha Riodácito
 Classe Vulcânica
 Amostra Sim Não



DESCRIÇÃO DE AFLORAMENTOS

CPRM

PREF. **BD** C/C **1757**

Paleontológica	Sedimentológica	Mineralógica	Química	Petrográfica	N.º 13
Caderneta	Altitude	Localização	Cad. Ocorrência	Ilustração	
04		SB.21-X-D			

DADOS GEográficos

Toponímia Ponto 84, situado no alto rio Aruri, bacia do rio Jamanxim.

Relevo Plano

Vegetação Floresta

Solo Argiloso

TECTÔNICA

Atit. da Cam.

Atit. da Xist.

Atit. do Lta.

Frat.

Outros

DADOS GEOLÓGICOS

Afloramento no leito do rio Branco, rocha riolítica, englobando nódulos de rocha básica, possivelmente dacítica.

Unidade Estrat. Formação Iriri

LITOLOGIA

Rocha Riolito

Classe Vulcânica

Amostra Sim Não

Paleontológica	Sedimentológica	Mineralógica	Química	Petrográfica	N.º 14
Caderneta	Altitude	Localização	Cad. Ocorrência	Ilustração	
04		SB.21-X-D			

DADOS GEográficos

Toponímia L. 925m a NE do ponto 84, bacia do rio Aruri, afluente do rio Jamanxim.

Relevo Plano

Vegetação Floresta

Solo Argiloso

TECTÔNICA

Atit. da Cam.

Atit. da Xist.

Atit. do Lta.

Frat.

Outros

DADOS GEOLÓGICOS

Afloramento no leito de pequeno igarapé de rocha riolítica, englobando pequenos nódulos de rocha escura, dacítica.

Unidade Estrat. Formação Iriri

LITOLOGIA

Rocha Riolito

Classe Vulcânica

Amostra Sim Não



DESCRIÇÃO DE AFLORAMENTOS

CPRM

PREP. BD C/C 1757

Paleontológica	Sedimentológica	Mineralógica	Química	Petrográfica	N.º 15
Caderneta 04	Altitude	Localização SB.21-X-D	Cad. Ocorrência	Ilustração	

DADOS GEGRÁFICOS

Toponímia 2575m a NE do ponto 84, bacia do rio Aruri, afluente do rio Jamanxim.
 Relevo Ondulado
 Vegetação Floresta
 Solo Argiloso

TECTÔNICA

Att. da Cam.
 Att. da Xist.
 Att. do Lin.
 Frat.
 Outros

DADOS GEOLÓGICOS

Afloramento grande de rocha básica.

Unidade Estrat.

LITOLOGIA

Rocha Diabásio
 Classe Ígnea
 Amostra Sim Não

Paleontológica	Sedimentológica	Mineralógica	Química	Petrográfica	N.º 16
Caderneta 04	Altitude	Localização SB.21-X-D	Cad. Ocorrência	Ilustração	

DADOS GEGRÁFICOS

Toponímia 2.600m NE do ponto 84, bacia do rio Aruri, afluente do rio Jamanxim.
 Relevo Ondulado
 Vegetação Floresta
 Solo Argiloso

TECTÔNICA

Att. da Cam.
 Att. da Xist.
 Att. do Lin.
 Frat.
 Outros

DADOS GEOLÓGICOS

Afloramento de rocha básica.

Unidade Estrat.

LITOLOGIA

Rocha Diabásio
 Classe Ígnea
 Amostra Sim Não



DESCRIÇÃO DE AFLORAMENTOS

CPRM

PREF. BD C/C 1757

Paleontológica Sedimentológica Mineralógica Química Petrográfica

N.º 19

Caderneta Altitude Localização SB.21-X-D Cad. Ocorrência Ilustração

DADOS GEográficos
 Toponímia 3.000m NE do ponto 84, bacia do rio Aruri, afluente do rio Jamanxim.
 Relevo Ondulado
 Vegetação Floresta
 Solo Argiloso

DADOS GEOLÓGICOS
 Aflora rocha ácida milonitizada.
 Unidade Estrat. Formação Iriri

TECTÓNICA
 Atit. da Cam.
 Atit. da Xist.
 Atit. do Lin.
 Frat.
 Outros

LITOLOGIA
 Rocha Riolito
 Classe Vulcânica ácida
 Amostra Sim Não

Paleontológica Sedimentológica Mineralógica Química Petrográfica

N.º 20

Caderneta Altitude Localização SB.21-X-D Cad. Ocorrência Ilustração

DADOS GEográficos
 Toponímia 3.100m NE do ponto 84, bacia do rio Aruri, afluente do rio Jamanxim.
 Relevo Ondulado
 Vegetação Floresta
 Solo Argiloso

DADOS GEOLÓGICOS
 Rocha milonitizada, mostrando pedaços de diabásio, foi observado que o riolito intrudiu no diabásio, formam englobando pequenos pedaços desta.
 Unidade Estrat. Formação Iriri

TECTÓNICA
 Atit. da Cam.
 Atit. da Xist.
 Atit. do Lin.
 Frat.
 Outros

LITOLOGIA
 Rocha Riolito
 Classe Vulcânica
 Amostra Sim Não



DESCRIÇÃO DE AFLORAMENTOS

CPRM

PREP. **BD** C/C **1757**

Paleontológica Sedimentológica Mineralógica Química Petrográfica N.º **21**

Caderneta **04** Altitude Localização **SB.21-X-D** Cad. Ocorrência Ilustração

DADOS GEográficos
 Toponímia 3.200m NE do ponto 84, bacia do rio Aruri, afluente do rio Jamanxim.
 Relevo Ondulado
 Vegetação Floresta
 Solo Argiloso

TECTÔNICA
 Atit. da Cam.
 Atit. da Xist.
 Atit. do Lin.
 Frat.
 Outros

DADOS GEOLÓGICOS
 Diabásio que sofrem recozimento, tomam do aspecto vítreo.
 Unidade Estrat.

LITOLOGIA
 Rocha Diabásio
 Classe Ígnea
 Amostra Sim Não

Paleontológica Sedimentológica Mineralógica Química Petrográfica N.º **22**

Caderneta **04** Altitude Localização **SB.21-X-D** Cad. Ocorrência Ilustração

DADOS GEográficos
 Toponímia 3.250m a NE do ponto 84, bacia do rio Aruri, afluente do rio Jamanxim.
 Relevo Ondulado
 Vegetação Floresta
 Solo Argiloso

TECTÔNICA
 Atit. da Cam.
 Atit. da Xist.
 Atit. do Lin.
 Frat.
 Outros

DADOS GEOLÓGICOS
 Afloramento grande de rocha ácida a intermediária, mostrando acamadamento S30°W com mergulho acentuado para NW.
 Unidade Estrat. Formação Iriri

LITOLOGIA
 Rocha Riodácito
 Classe Vulcânica
 Amostra Sim Não



DESCRIÇÃO DE AFLORAMENTOS

CPRM

PREF. BD CIC 1757

Paleontológica Sedimentológica Mineralógica Química Petrográfica N.º 23

Caderneta Altitude Localização Cad. Ocorrência Ilustração

04 SB.21-X-D

DADOS GEGRÁFICOS

Toponímia 1.375m a SW do ponto 84, bacia do rio Aru-ri, afluente do rio Jamanxim.

Relevo Ondulado

Vegetação Floresta

Solo Argilo-arenoso

DADOS GEOLÓGICOS

Aflora no leito de igarapé da margem esquerda do rio Branco, rocha vulcânica, ácida, porfirítica.

Unidade Estrat. Formação Iriri

TECTÔNICA

Atit. da Cam.

Atit. da Xist.

Atit. do Lin.

Frat.

Outros

LITOLOGIA

Rocha Riolito pórfiro

Classe Vulcânica ácida

Amostra Sim Não

Paleontológica Sedimentológica Mineralógica Química Petrográfica N.º 24

Caderneta Altitude Localização Cad. Ocorrência Ilustração

04 SB.21-X-D

DADOS GEGRÁFICOS

Toponímia 2.650m a SW do ponto 84, bacia do rio Aru-ri, afluente do rio Jamanxim.

Relevo Montanhoso

Vegetação Floresta

Solo Argiloso

DADOS GEOLÓGICOS

Aflora granito intrusivo róseo, semelhante ao Granito Maloquinha.

Unidade Estrat. Suite Intrusiva Teles Pires

TECTÔNICA

Atit. da Cam.

Atit. da Xist.

Atit. do Lin.

Frat.

Outros

LITOLOGIA

Rocha Granito

Classe Ígnea

Amostra Sim Não



DESCRIÇÃO DE AFLORAMENTOS

CPRM

PREP.
BD

C/C
1757

Paleontológica

Sedimentológica

Mineralógica

Química

Petrográfica

N.º

25

Caderneta

Altitude

Localização

Cad. Ocorrência

Ilustração

04

SB.21-X-D

DADOS GEográficos

Toponímia 3.300m a SW do ponto 84, bacia do rio Aru-
ri, afluente do rio Jamanxim.

Relevo Montanhoso

Vegetação Floresta

Solo Argiloso

TECTÓNICA

Atit. da Cam.

Atit. da Xist.

Atit. do Lin.

Frat.

Outros

DADOS GEOLÓGICOS

Aflora granito intrusivo róseo intenso,
semelhante ao Granito Maloquinha.

LITOLOGIA

Rocha Granito

Classe ígnea

Amostra Sim Não

Unidade Estrat.

Suite Intrusiva Teles Pires

Paleontológica

Sedimentológica

Mineralógica

Química

Petrográfica

N.º

26

Caderneta

Altitude

Localização

Cad. Ocorrência

Ilustração

04

SB.21-X-C

DADOS GEográficos

Toponímia Ponto 58, rio Aruri, afluente do rio Jaman-
xim.

Relevo Ondulado

Vegetação Floresta

Solo Argilo-arenoso

TECTÓNICA

Atit. da Cam.

Atit. da Xist.

Atit. do Lin.

Frat.

Outros

DADOS GEOLÓGICOS

Aflora em grande extensão rocha intrusi-
va, constituída de feldspato potássico em abun-
dância o piroxênio, granulação média.

LITOLOGIA

Rocha Micro-granito

Classe ígnea

Amostra Sim Não

Unidade Estrat.

Grupo Uatumã (?)



DESCRIÇÃO DE AFLORAMENTOS

CPRM

PREF. BD C/C 1757

Paleontológica	Sedimentológica	Mineralógica	Química	Petrográfica	N.º 27
Caderneta	Altitude	Localização		Cad. Ocorrência	Ilustração
04		SB.21-X-D			

DADOS GEográficos

Toponímia 250m a SE do ponto 58, bacia do rio Aruri, afluente do rio Jamanxim.

Relevo Acidentado

Vegetação Floresta

Solo Argiloso

DADOS GEOLÓGICOS

Aflora granito intrusivo, coloração rosa, granulação grossa, semelhante Granito Maloquinha.

Unidade Estrat. Suite Intrusiva Teles Pires

TECTÓNICA

Att. da Cam.

Att. da Xist.

Att. do Lin.

Frat.

Outros

LITOLÓGICA

Rocha Granito

Classe Ígnea

Amostra Sim Não

Paleontológica	Sedimentológica	Mineralógica	Química	Petrográfica	N.º 28
Caderneta	Altitude	Localização		Cad. Ocorrência	Ilustração
04		SB.21-X-C			

DADOS GEográficos

Toponímia 2.450m a SE do ponto 58, bacia do rio Aruri, afluente do rio Jamanxim.

Relevo Acidentado

Vegetação Floresta

Solo Argiloso

DADOS GEOLÓGICOS

Aflora granito intrusivo coloração rosa granulação grossa.

Unidade Estrat. Suite Intrusiva Teles Pires

TECTÓNICA

Att. da Cam.

Att. da Xist.

Att. do Lin.

Frat.

Outros

LITOLÓGICA

Rocha Granito

Classe Ígnea

Amostra Sim Não



DESCRIÇÃO DE AFLORAMENTOS

CPRM

PREF. **BD** C/C **1757**

Paleontológica Sedimentológica Mineralógica Química Petrográfica

N.º **29**

Caderneta **04** Altitude Localização **SB.21-X-D** Cad. Ocorrência Ilustração

DADOS GEOGRÁFICOS
 Toponímia Ponto 47, margem direita do igarapé do Leite, bacia do rio Curuá.
 Relevo Acidentado
 Vegetação Floresta
 Solo Argilo-arenoso

TECTÔNICA
 Atit. da Cam. _____
 Atit. da Xist. _____
 Atit. do Lin. _____
 Frst. _____
 Outros _____

DADOS GEOLÓGICOS
 Afloramento grande de granito róseo, granulação grossa, veios de quartzo preenchendo fraturas com direção predominante NW.
 Unidade Estrat. **Suite Intrusiva Teles Pires**

LITOLOGIA
 Rocha **Granito**
 Classe **Ígnea**
 Amostra Sim Não

Paleontológica Sedimentológica Mineralógica Química Petrográfica

N.º **30**

Caderneta **04** Altitude Localização **SB.21-X-D** Cad. Ocorrência Ilustração

DADOS GEOGRÁFICOS
 Toponímia Ponto 47, margem direita do igarapé do Leite, bacia do rio Curuá.
 Relevo Acidentado
 Vegetação Floresta
 Solo Argilo-arenoso

TECTÔNICA
 Atit. da Cam. _____
 Atit. da Xist. _____
 Atit. do Lin. _____
 Frst. _____
 Outros _____

DADOS GEOLÓGICOS
 Veio de quartzo preenchendo fraturamento no granito intrusivo possivelmente de solução hidrotermal.
 Unidade Estrat. **Suite Intrusiva Teles Pires**

LITOLOGIA
 Rocha **Quartzo de veio.**
 Classe **Ígnea.**
 Amostra Sim Não



DESCRIÇÃO DE AFLORAMENTOS

CPRM

PREF. **BD** C/C **1757**

Paleontológica Sedimentológica Mineralógica Química Petrográfica N.º **31**

Caderneta **04** Altitude Localização **SB. 21-X-D** Cad. Ocorrência Ilustração

DADOS GEGRÁFICOS
 Toponímia Ponto 83, margem esquerda do igarapé do Leite, bacia do rio Curuá.
 Relevo Acidentado
 Vegetação Floresta
 Solo Areno-argiloso

TECTÔNICA
 Atit. da Cam.
 Atit. da Xist.
 Atit. do Lin.
 Frat.
 Outros

DADOS GEOLÓGICOS
 Aflora rocha vulcânica ácida a interme
 diária, possivelmente um riodácito.
 Unidade Estrat. Formação Iriri

LITOLÓGIA
 Rocha Riodácito
 Classe Vulcânica
 Amostra Sim Não

Paleontológica Sedimentológica Mineralógica Química Petrográfica N.º **32**

Caderneta **04** Altitude Localização **SB. 21-X-D** Cad. Ocorrência Ilustração

DADOS GEGRÁFICOS
 Toponímia Ponto 49, margem esquerda do igarapé do Leite, bacia do rio Curuá.
 Relevo Acidentado
 Vegetação Floresta
 Solo Areno-argiloso

TECTÔNICA
 Atit. da Cam.
 Atit. da Xist.
 Atit. do Lin.
 Frat.
 Outros

DADOS GEOLÓGICOS
 Aflora rocha básica no leito do igara
 pé do Leite.
 Unidade Estrat.

LITOLÓGIA
 Rocha Basalto
 Classe Ígnea
 Amostra Sim Não



LN - LUIZ FERNANDES NEVES



DESCRIÇÃO DE AFLORAMENTOS

CPRM

PREF. LN C/C 1757

Paleontológica	Sedimentológica	Mineralógica	Química	Petrográfica	N.º 01A
Caderneta	Altitude	Localização	Cad. Ocorrência	Ilustração	
		SB. 21-Z-B			

DADOS GEGRÁFICOS

Topônimo Rio Curuá

Relevo Ondulado

Vegetação Floresta

Solo

DADOS GEOLÓGICOS

Estação no rio Curuá caracterizada por lajedos de rocha ígnea, efusiva, leucocrática, inequigranular, granulometria fina, coloração rosada. Quartzo e feldspatos jazem numa matriz afanítica. Apresenta-se bastante cataclasada.

- Radiação - 60 cps
- Susceptibilidade Magnética- 2.10^{-3} SIU

Unidade Estrat. Formação Iriri

TECTÔNICA

Atit. da Cam.

Atit. da Xist.

Atit. do Lin.

Frat. N270°W
N340°W

Outros

LITOLOGIA

Rocha Riolito Cataclásico

Classe Vulcânica Ácida

Amostra Sim Não

Paleontológica	Sedimentológica	Mineralógica	Química	Petrográfica	N.º 01B
Caderneta	Altitude	Localização	Cad. Ocorrência	Ilustração	
		SB. 21-Z-B			

DADOS GEGRÁFICOS

Topônimo Rio Curuá

Relevo Ondulado

Vegetação Floresta

Solo

DADOS GEOLÓGICOS

Estação no rio Curuá caracterizada por lajeões de rocha leucocrática, isotrópica equigranular, coloração rosada, granulometria grossa. Quartzo e feldspatos são os minerais essenciais sendo a biotita o máfico observado.

Unidade Estrat. Complexo Xingu

TECTÔNICA

Atit. da Cam.

Atit. da Xist.

Atit. do Lin.

Frat. N270°W
N340°W

Outros

LITOLOGIA

Rocha Granito

Classe Metamórfica

Amostra Sim Não



DESCRIÇÃO DE AFLORAMENTOS

CPRM

PREF. LN C/C 1757

Paleontológica Sedimentológica Mineralógica Química Petrográfica

Caderneta Altitude Localização SB. 21-Z-B Cad. Ocorrência Ilustração

DADOS GEGRÁFICOS

Toponímia Rio Curuá

Relevo Ondulado

Vegetação Floresta

Solo

TECTÔNICA

Atit. da Cam.

Atit. da Xist.

Atit. do Lft.

Frat. N280°W
S200°W

Outros

DADOS GEOLÓGICOS

Lajedo no rio Curuá de rocha ígnea, intrusiva, isotrópica, leucocrática, inequigranular, grã predominantemente média, de coloração rosada. Quartzo e feldspato são os constituintes essenciais, sendo a biotita o máfico observado.

- Radiação - 70 cps
- Susceptibilidade Magnética- 9.10^{-3} SIU

Unidade Estrat. Granito Teles Pires

LITOLOGIA

Rocha Granito Porfiro Intrusivo

Classe Ignea

Amostra Sim Não

Paleontológica Sedimentológica Mineralógica Química Petrográfica

Caderneta Altitude Localização SB. 21-Z-B Cad. Ocorrência Ilustração

DADOS GEGRÁFICOS

Toponímia Rio Curuá (9 Km distante margem direita)

Relevo

Vegetação Floresta

Solo

TECTÔNICA

Atit. da Cam.

Atit. da Xist.

Atit. do Lin.

Frat.

Outros

DADOS GEOLÓGICOS

Lajedo com aproximadamente 200 m de diâmetro, forma abaulada, com panelas de erosão. Rocha leucocrática, isotrópica, inequigranular, granulometria predominantemente média, constituída por quartzo, feldspatos e biotita.

- Radiação - 102 cps
- Susceptibilidade Magnética- 4.10^{-3} SIU

Unidade Estrat. Complexo Xingu

LITOLOGIA

Rocha Granito

Classe Metamórfica

Amostra Sim Não



DESCRIÇÃO DE AFLORAMENTOS

CPRM

PREF. LN C/C 1757

Paleontológica	Sedimentológica	Mineralógica	Química	Petrográfica	N.º 04
				X	

Caderneta	Altitude	Localização	Cad. Ocorrência	Ilustração
		SB. 21-Z-B		

DADOS GEOGRÁFICOS

Toponímia Ponto no rio Curuá

Relevo

Vegetação Floresta

Solo

TECTÔNICA

Atit. da Cam.

Atit. da Xist.

Atit. do Lin.

Frat. N270°W

Outros

DADOS GEOLÓGICOS

Blocos e lajedos no rio Curuá. Rocha anisotrópica, inequigranular, granulometria média constituída por quartzo, feldspato e biotita.

- Radiação - 38 cps
- Susceptibilidade Magnética- 7.10^{-3} SIU

Unidade Estrat. Complexo Xingu

LITOLOGIA

Rocha Granito Porfiroblástico

Classe Metamórfica

Amostra Sim Não

Paleontológica	Sedimentológica	Mineralógica	Química	Petrográfica	N.º 05

Caderneta	Altitude	Localização	Cad. Ocorrência	Ilustração
		SB. 21-Z-B		

DADOS GEOGRÁFICOS

Toponímia Leito do rio Curuá

Relevo

Vegetação Floresta

Solo

TECTÔNICA

Atit. da Cam.

Atit. da Xist.

Atit. do Lin.

Frat. S230°W

Outros

DADOS GEOLÓGICOS

Afloramento em forma de lajedo com blocos soltos de rocha holocristalina, leucocrática, isotrópica, equigranular, granulometria grosseira, coloração cinza-rosada. Quartzo, feldspatos e máficos são os minerais observados.

- Radiação - 50 cps
- Susceptibilidade Magnética- 17.10^{-3} SIU

Unidade Estrat. Complexo Xingu

LITOLOGIA

Rocha Tonalito

Classe Metamórfica

Amostra Sim Não



DESCRIÇÃO DE AFLORAMENTOS

CPRM

PREF. LN C/C 1757

Paleontológica Sedimentológica Mineralógica Química Petrográfica N.º 06

Caderneta Altitude Localização SB.21-Z-B Cad. Ocorrência Ilustração

DADOS GEOGRÁFICOS

Toponímia Topo de morro
 Relevo
 Vegetação
 Solo

TECTÔNICA

Atit. da Cam.....
 Atit. da Xist.....
 Atit. do Lin.....
 Frat.....
 Outros

DADOS GEOLÓGICOS

Blocos soltos. Rocha leucocrática, inequi granular, granulometria predominantemente grossa, coloração rosada, constituída por quartzo, feldspatos e biotita.

- Radiação - 40 cps
- Susceptibilidade Magnética -4.10^{-3} SIU.

Unidade Estrat. Suite Intrusiva Teles Pires

LITOLÓGICA

Rocha Granito Porfiro
 Classe Ignea
 Amostra Sim Não

Paleontológica Sedimentológica Mineralógica Química Petrográfica N.º 07

Caderneta Altitude Localização SB.21-X-D Cad. Ocorrência Ilustração

DADOS GEOGRÁFICOS

Toponímia
 Relevo Ondulado
 Vegetação Floresta
 Solo

TECTÔNICA

Atit. da Cam.....
 Atit. da Xist.....
 Atit. do Lin.....
 Frat.....
 Outros

DADOS GEOLÓGICOS

Blocos de rocha ignea, extrusiva, leucocrática, isotrópica, fanerítica fina, inequigranular, de coloração rosada. Quartzo e feldspatos jazem numa matriz micro cristalina de natureza essencialmente silicosa.

- Radiação - 40 cps
- Susceptibilidade Magnética -1.10^{-3} SIU

Unidade Estrat. Formação Iriri

LITOLÓGICA

Rocha Riolito
 Classe Vulcânica Ácida
 Amostra Sim Não



DESCRIÇÃO DE AFLORAMENTOS

CPRM

PREF. LN C/C 1757

Paleontológica	Sedimentológica	Mineralógica	Química	Petrográfica	N.º 08
Caderneta	Altitude	Localização	SB. 21-X-D		Ilustração

DADOS GEográficos

Toponímia Clareira (margem direita rio Curuá)

Relevo

Vegetação Floresta

Solo

TECTÔNICA

Atit. da Cam.

Atit. da Xist.

Atit. do Lin.

Frat.

Outros

DADOS GEOLÓGICOS

Afloramento de rocha ígnea, micro fanerítica, isotrópica, leucocrática, equigranular, granulometria fina, de coloração cinza. Quartzo e feldspatos são os minerais essenciais, sendo a biotita o máfico observado.

- Radiação - 75 cps
- Susceptibilidade Magnética - 21.10^{-3} SIU

Unidade Estrat. Suite Intrusiva Teles Pires

LITOLOGIA

Rocha Micro Granito Intrusivo

Classe Ignea

Amostra Sim Não

Paleontológica	Sedimentológica	Mineralógica	Química	Petrográfica	N.º 09A
Caderneta	Altitude	Localização	SB. 21-X-D		Ilustração

DADOS GEográficos

Toponímia Localidade Cajueiro no rio Curuá

Relevo

Vegetação

Solo

TECTÔNICA

Atit. da Cam.

Atit. da Xist.

Atit. do Lin.

Frat.

Outros

DADOS GEOLÓGICOS

Blocos (aflorantes após desmonte do solo para garimpo de ouro) de rocha leucocrática, inequigranular, granulometria predominantemente grossa, coloração rosada, constituída de quartzo e feldspato, sendo a biotita o máfico observado.

Unidade Estrat. Suite Intrusiva Teles Pires

LITOLOGIA

Rocha Granito Porfiro Intrusivo

Classe Ignea

Amostra Sim Não



DESCRIÇÃO DE AFLORAMENTOS

CPRM

PREF. LN C/C 1757

Paleontológica Sedimentológica Mineralógica Química Petrográfica N.º 09B

Caderneta Altitude Localização SB.21-X-D Cad. Ocorrência Ilustração

DADOS GEOGRÁFICOS
 Toponímia Localidade Cajueiro no rio Curuá
 Relevo Ondulado
 Vegetação Floresta
 Solo

TECTÔNICA
 Alt. da Cam.
 Alt. da Xist.
 Alt. do Lin.
 Frat.
 Outros

DADOS GEOLÓGICOS
 Blocos esparsos de rocha ígnea extrusiva, leucocrática, isotrópica, fanerítica fina, inequigranular, coloração rosada. Quartzo e feldspatos jazem numa matriz micro cristalina de natureza essencialmente silicosa.
 Unidade Estrat. Formação Iriri

LITOLOGIA
 Rocha Riolito
 Classe
 Amostra Sim Não

Paleontológica Sedimentológica Mineralógica Química Petrográfica N.º 10

Caderneta Altitude Localização SB.22-V-D Cad. Ocorrência Ilustração

DADOS GEOGRÁFICOS
 Toponímia Leito do rio Bacajás
 Relevo
 Vegetação Floresta
 Solo

TECTÔNICA
 Alt. da Cam.
 Alt. da Xist.
 Alt. do Lin.
 Frat.
 Outros

DADOS GEOLÓGICOS
 Lajedo dentro do rio. Rocha leucocrática, inequigranular, grã grossa, coloração creme a rosada, constituída de quartzo, feldspato e máficos, provavelmente biotita.
 - Radiação - 50 cps.
 Unidade Estrat. Suite Intrusiva Teles Pires

LITOLOGIA
 Rocha Granodiorito Porfiro
 Classe Ignea
 Amostra Sim Não



DESCRIÇÃO DE AFLORAMENTOS

CPRM

PREF.
LN

C/C

1757

Paleontológica

Sedimentológica

Mineralógica

Química

Petrográfica

N.º

11A

Caderneta

Altitude

Localização

Cad. Ocorrência

Ilustração

SB.22-V-D

DADOS GEográficos

Toponímia Proximidades rio Bacajás

Relevo

Vegetação Palmeiras, açazeiros

Solo

TECTÓNICA

Atit. da Cam.

Atit. da Xist.

Atit. do Lin.

Frat.

Outros

DADOS GEOLÓGICOS

Área de baixada. Rocha anisotrópica, leucocrática, inequigranular, granulometria grossa, coloração cinza, constituída por quartzo, feldspatos e biotita essencialmente.

- Radiação - 75 cps

Unidade Estrat. Complexo Xingu

LITOLOGIA

Rocha Biotita Gnaiss

Classe Metamórfica

Amostra



Sim



Não

Paleontológica

Sedimentológica

Mineralógica

Química

Petrográfica

N.º

11B

Caderneta

Altitude

Localização

Cad. Ocorrência

Ilustração

SB.22-V-D

DADOS GEográficos

Toponímia Pequeno riacho próximo rio Bacajás

Relevo

Vegetação Palmeiras, etc...

Solo

TECTÓNICA

Atit. da Cam.

Atit. da Xist.

Atit. do Lin.

Frat.

Outros

DADOS GEOLÓGICOS

Área de baixada. Rocha isotrópica, leucocrática, coloração rosada, inequigranular, grossa, sendo que o quartzo e feldspatos representam os minerais essenciais.

Unidade Estrat. Complexo Xingu

LITOLOGIA

Rocha Granito (Protoclastas)

Classe Metamórfica

Amostra



Sim



Não



DESCRIÇÃO DE AFLORAMENTOS

CPRM

PREF. LN C/C 1757

Paleontológica Sedimentológica Mineralógica Química Petrográfica

N.º 12

Caderneta Altitude Localização Cnd. Ocorrência Ilustração

SB.22-V-D

DADOS GEográficos

Toponímia

Relevo

Vegetação Floresta

Solo

DADOS GEOLÓGICOS

Lajeado à beira do rio. Rocha isotrópica, inequigranular, grosseira, de coloração rosada, constituída por quartzo, feldspatos e biotita essencialmente.

Unidade Estrat. Complexo Xingu

TECTÓNICA

Atlt. da Cam.

Atlt. do Xist.

Atlt. do Lin.

Frat.

Outros

LITOLOGIA

Rocha Granito

Classe Metamórfica

Amostra Sim Não

Paleontológica Sedimentológica Mineralógica Química Petrográfica

N.º 13A

Caderneta Altitude Localização Cnd. Ocorrência Ilustração

SB.22-V-A

DADOS GEográficos

Toponímia Rio Novo, próximo rio Iriri

Relevo

Vegetação Floresta

Solo

DADOS GEOLÓGICOS

Lajedos no rio de rocha metamórfica, isotrópica, leucocrática, inequigranular, granulometria predominantemente grosseira, de coloração rosada. Quartzo e feldspatos representam os minerais essenciais, sendo a biotita e o epidoto os máficos observados.

- Radiação - 85 cps
- Susceptibilidade Magnética 2.10^{-3} SIU

Unidade Estrat. Suíte Intrusiva Teles Pires

TECTÓNICA

Atlt. da Cam.

Atlt. do Xist.

Atlt. do Lin.

Frat. 300° NW

Outros

LITOLOGIA

Rocha Granodiorito Periroblástico

Classe Ignea

Amostra Sim Não



DESCRIÇÃO DE AFLORAMENTOS

CPRM

PREF. LN C/C 1757

Paleontológica	Sedimentológica	Mineralógica	Química	Petrográfica	N.º 13B
Caderneta	Altitude	Localização		Cad. Ocorrência	Ilustração
		SB.22-V-A			

DADOS GEográficos

Toponímia Rio Novo

Relevo

Vegetação Floresta

Solo

TECTÓNICA

Atit. da Cam.

Atit. da Xist.

Atit. do Lin.

Frat.

Outros

DADOS GEOLÓGICOS

Lajedos no rio de rocha metamórfica, anisotrópica, leucocrática, inequigranular, grã grossa de coloração cinza a rosa. Quartzo e feldspatos constituem os minerais essenciais, sendo a biotita o máfico observado. Ocorrem fe noblástos de feldspato rosa.

Unidade Estrat. Complexo Xingu

LITOLOGIA

Rocha Gnaisse Facoidal Milonítico

Classe Metamórfica

Amostra Sim Não

Paleontológica	Sedimentológica	Mineralógica	Química	Petrográfica	N.º 13E
Caderneta	Altitude	Localização		Cad. Ocorrência	Ilustração
		SB.22-V-A			

DADOS GEográficos

Toponímia Rio Novo

Relevo Ondulado

Vegetação Floresta

Solo

TECTÓNICA

Atit. da Cam.

Atit. da Xist.

Atit. do Lin.

Frat.

Outros

DADOS GEOLÓGICOS

Rocha metamórfica, leucocrática, inequigranular, granulometria predominantemente fina, coloração creme. Quartzo, feldspato e biotita constituem os elementos mineralógicos dominantes.

Unidade Estrat. Complexo Xingu

LITOLOGIA

Rocha Milonito

Classe Metamórfica

Amostra Sim Não



DESCRIÇÃO DE AFLORAMENTOS

CPRM

PREP.
LN

C/C
1757

Paleontológica

Sedimentológica

Mineralógica

Química

Petrográfica

N.º
13D

Caderneta

Altitude

Localização

Cad. Ocorrência

Ilustração

SB. 22-V-A

DADOS GEOGRÁFICOS

Toponímia Rio Novo

Relevo

Vegetação Floresta

Solo

Att. da Cam.

Att. da Xist.

Att. do Lin.

Frat. N300°W

Outros

TECTÓNICA

DADOS GEOLÓGICOS

Preenchendo fraturas no gnaisse, rocha leucocrática, isotrópica, equigranular, granulometria grosseira, coloração rosa, constituída de quartzo, feldspato e biotita, esta em pequena quantidade.

Unidade Estrat. Complexo Xingu

LITOLOGIA

Rocha Granito

Classe Metamórfica

Amostra Sim Não

Paleontológica

Sedimentológica

Mineralógica

Química

Petrográfica

N.º
14A

Caderneta

Altitude

Localização

Cad. Ocorrência

Ilustração

SB. 22-V-A

DADOS GEOGRÁFICOS

Toponímia Proximidades rio Novo

Relevo Morrotes

Vegetação Floresta

Solo

Att. da Cam.

Att. da Xist.

Att. do Lin.

Frat.

Outros

TECTÓNICA

DADOS GEOLÓGICOS

Afloramento de rocha metamórfica, anisotrópica, leucocrática, inequigranular, grã grossa, coloração cinza, constituída de quartzo e feldspatos, sendo a biotita e/ou piroxênio os máficos presentes.

Unidade Estrat. Complexo Xingu

LITOLOGIA

Rocha Tonalito-Gnaisse

Classe Metamórfica

Amostra Sim Não



DESCRIÇÃO DE AFLORAMENTOS

CPRM

PREP. LN C/C 1757

Paleontológica	Sedimentológica	Mineralógica	Química	Petrográfica	N.º 143
Caderneta	Altitude	Localização		Cad. Ocorrência	Ilustração
		SB.22-V-A			

DADOS GEOGRÁFICOS

Toponímia Proximidades rio Novo

Relievo _____

Vegetação Floresta

Solo _____

DADOS GEOLÓGICOS

Rocha metamórfica, leucocrática, equigranular, fanerítica, grã fina, coloração rosada. Quartzo e feldspatos são os minerais essenciais, sendo a biotita o máfico observado.

Unidade Estrat. Complexo Xingu

TECTÔNICA

Atit. da Cam. _____

Atit. da Xist. _____

Atit. do Lin. _____

Frat. _____

Outros _____

LITOLOGIA

Rocha Micro Granodiorito

Classe Metamórfica

Amostra Sim Não

Paleontológica	Sedimentológica	Mineralógica	Química	Petrográfica	N.º 15
				X	
Caderneta	Altitude	Localização		Cad. Ocorrência	Ilustração
		SB.22-V-A			

DADOS GEOGRÁFICOS

Toponímia _____

Relievo _____

Vegetação Floresta

Solo _____

DADOS GEOLÓGICOS

Lajeado no rio. Rocha holocristalina, leucocrática, isotrópica, inequigranular, granulometria grossa, coloração rosada. Quartzo e feldspatos representam os minerais essenciais, sendo a biotita o máfico observado.

- Radiação - 105 cps
- Susceptibilidade Magnética - $13 \cdot 10^{-3}$ SIU

Unidade Estrat. Suite Intrusiva Teles Pires

TECTÔNICA

Atit. da Cam. _____

Atit. da Xist. _____

Atit. do Lin. _____

Frat. N10°E

Outros _____

LITOLOGIA

Rocha Granito

Classe Ignea

Amostra Sim Não



DESCRIÇÃO DE AFLORAMENTOS

CPRM

PREF. LN C/C 1757

Paleontológica	Sedimentológica	Mineralógica	Química	Petrográfica	N.º 16
Caderneta	Altitude	Localização		Cad. Ocorrência	Ilustração
		SB. 22-V-A			

DADOS GEOGRÁFICOS

Toponímia Igarapé do Ipixuna

Relevo Suavemente ondulado a plano

Vegetação Floresta

Solo

DADOS GEOLÓGICOS

Lajedo dentro do igarapé Ipixuna, de rocha metamórfica, leucocrática, isotrópica, fanerítica, inequigranular, grão predominantemente grossa, coloração rosada. Quartzo e feldspatos são os minerais essenciais, sendo a biotita o máfico observado.

- Radiação - 95 cps
- Susceptibilidade Magnética - 11.10^{-3} SIU

Unidade Estrat. Complexo Xingu

TECTÔNICA

Atit. da Cam.

Atit. da Xist.

Atit. do Lin.

Frat.

Outros

LITOLOGIA

Rocha Granodiorito Porfiroblástico

Classe

Amostra Sim Não

Paleontológica	Sedimentológica	Mineralógica	Química	Petrográfica	N.º 17
Caderneta	Altitude	Localização		Cad. Ocorrência	Ilustração
		SE. 22-V-B		X	

DADOS GEOGRÁFICOS

Toponímia

Relevo Morro

Vegetação Floresta

Solo

DADOS GEOLÓGICOS

Rocha metamórfica, isotrópica, leucocrática, inequigranular, granulometria grossa, coloração cinza, constituída de quartzo, feldspatos, biotita e ou anfíbolio essencialmente.

Unidade Estrat. Complexo Xingu

TECTÔNICA

Atit. da Cam.

Atit. da Xist.

Atit. do Lin.

Frat.

Outros

LITOLOGIA

Rocha Granito Porfiroblástico

Classe Metamórfica

Amostra Sim Não



DESCRIÇÃO DE AFLORAMENTOS

CPRM

PREF. LN

C/C 1757

Paleontológica

Sedimentológica

Mineralógica

Química

Petrográfica

N.º 18

X

Caderneta

Altitude

Localização

Cad. Ocorrência

Ilustração

SB. 22-V-B

DADOS GEográficos

Toponímia

Relevo Morro

Vegetação Floresta

Solo

DADOS GEOLÓGICOS

Rocha aflorante em lajedos, leucocrática, isotrópica, inequigranular, grosseira, coloração rosada. Quartzo e feldspato representam quase a totalidade da massa rochosa, sendo a biotita o máfico dominante.

- Radiação - 90 cps
- Susceptibilidade Magnética- $14 \cdot 10^{-3}$ SIU

Unidade Estrat. Complexo Xingu

TECTÓNICA

Atlt. da Cam.

Atlt. da Xist.

Atlt. do Lin.

Frat.

Outros

LITOLÓGICA

Rocha Granito Porfiro blástico

Classe Metamórfica

Amostra Sim Não

Paleontológica

Sedimentológica

Mineralógica

Química

Petrográfica

N.º 19

Caderneta

Altitude

Localização

Cad. Ocorrência

Ilustração

SB. 22-V-B

DADOS GEográficos

Toponímia

Relevo Morro

Vegetação Floresta

Solo

DADOS GEOLÓGICOS

Afloramento de rocha metamórfica, isotrópica, equigranular, leucocrática, granulometria grosseira, coloração cinza, constituída essencialmente de quartzo e feldspato, sendo a biotita o máfico identificado.

- Radiação - 60 cps
- Susceptibilidade Magnética- $6 \cdot 10^{-3}$ SIU

Unidade Estrat. Complexo Xingu

TECTÓNICA

Atlt. da Cam.

Atlt. da Xist.

Atlt. do Lin.

Frat.

Outros

LITOLÓGICA

Rocha Granodiorito

Classe Metamórfica

Amostra Sim Não



DESCRIÇÃO DE AFLORAMENTOS

CPRM

PREF. LN

C/C 1757

Paleontológica

Sedimentológica

Mineralógica

Química

Petrográfica

N.º 20

X

Caderneta

Altitude

Localização

Cad. Ocorrência

Ilustração

SB. 22-V-B

DADOS GEOGRÁFICOS

Toponímia

Relevo Morrote baixo

Vegetação Floresta

Solo

TECTÔNICA

Att. da Cam.

Att. da Xist.

Att. do Lin.

Frat.

Outros

DADOS GEOLÓGICOS

Rocha metamórfica, isotrópica, leucocrática, inequigranular, rosada, granulometria predominantemente grosseira. Quartzo, feldspatos e biotita são os minerais essenciais.

- Radiação - 90 cps
- Susceptibilidade Magnética -6.10^{-3} SIU

LITOLOGIA

Rocha Granito

Classe Metamórfica

Amostra Sim Não

Unidade Estrat. Complexo Xingu

Paleontológica

Sedimentológica

Mineralógica

Química

Petrográfica

N.º 21

X

Caderneta

Altitude

Localização

Cad. Ocorrência

Ilustração

SB. 22-V-B

DADOS GEOGRÁFICOS

Toponímia

Relevo Morrote baixo

Vegetação Floresta

Solo

TECTÔNICA

Att. da Cam.

Att. da Xist.

Att. do Lin.

Frat.

Outros

DADOS GEOLÓGICOS

Rocha metamórfica, foliada, leucocrática, inequigranular, granulometria grosseira, coloração rosada. Quartzo, feldspatos e biotita são os minerais essenciais.

- Radiação - 100 cps
- Susceptibilidade Magnética -6.10^{-3} SIU

LITOLOGIA

Rocha Granito Porfiroblástico

Classe Metamórfica

Amostra Sim Não

Unidade Estrat. Complexo Xingu



DESCRIÇÃO DE AFLORAMENTOS

CPRM

PREF. LN C/C 1757

Paleontológica	Sedimentológica	Mineralógica	Química	Petrográfica	N.º 22
				X	
Caderneta	Altitude	Localização	Cad. Ocorrência	Ilustração	
		SB. 22-V-B			

DADOS GEOGRÁFICOS

Toponímia Igarapé Ipixuna

Relevo _____

Vegetação Floresta

Solo _____

TECTÔNICA

Atit. da Cam. _____

Atit. da Xist. _____

Atit. do Lin. _____

Frat. _____

Outros _____

DADOS GEOLÓGICOS

Rocha leucocrática, holocristalina, inequigranular, bandeada, granulometria grossa, coloração creme acinzentada. Quartzo, feldspato e biotita são os minerais essenciais.

- Radiação - 130 cps
- Susceptibilidade Magnética- 6.10^{-3} SIU

Unidade Estrat. Complexo Xingu

LITOLOGIA

Rocha Granito Porfiro blástico

Classe Metamórfica

Amostra Sim Não

Paleontológica	Sedimentológica	Mineralógica	Química	Petrográfica	N.º 23A
Caderneta	Altitude	Localização	Cad. Ocorrência	Ilustração	
		SB. 22-V-B			

DADOS GEOGRÁFICOS

Toponímia Igarapé Ipixuna

Relevo Suavemente ondulado

Vegetação Floresta

Solo _____

TECTÔNICA

Atit. da Cam. _____

Atit. da Xist. _____

Atit. do Lin. _____

Frat. N80°E

Outros _____

DADOS GEOLÓGICOS

Lajedos com blocos de rocha metamórfica, isotrópica, inequigranular, leucocrática, coloração rosada, grã grossa a grosseira. Quartzo e feldspatos são os minerais essenciais, sendo a biotita o máfico identificado.

- Radiação - 90 cps
- Susceptibilidade Magnética- 1.10^{-3} SIU

Unidade Estrat. Complexo Xingu

LITOLOGIA

Rocha Granodiorito Porfiroblástico

Classe _____

Amostra Sim Não



DESCRIÇÃO DE AFLORAMENTOS

CPRM

PREP. LN C/C 1757

Paleontológica Sedimentológica Mineralógica Química Petrográfica N.º 23B

Caderneta Altitude Localização SB.22-V-B Cad. Ocorrência Ilustração

DADOS GEOGRÁFICOS
 Toponímia Igarapé Ipixuna
 Relevo Suavemente ondulado
 Vegetação Floresta
 Solo

DADOS GEOLÓGICOS
 Lajedos de rocha metamórfica, leucocrática, mesotrópica, inequigranular, grã grossa, coloração rosada, constituída de quartzo e feldspatos essencialmente, sendo a biotita o máfico observado.
 Unidade Estrat. Complexo Xingu

TECTÔNICA
 Atit. da Cam.
 Atit. da Xist.
 Atit. do Lito.
 Frat.
 Outros

LITOLOGIA
 Rocha Tonalito Gnaisse
 Classe Metamórfica
 Amostra Sim Não

Paleontológica Sedimentológica Mineralógica Química Petrográfica N.º 24

Caderneta Altitude Localização SB.22-V-C Cad. Ocorrência Ilustração

DADOS GEOGRÁFICOS
 Toponímia
 Relevo Morro
 Vegetação Floresta
 Solo

DADOS GEOLÓGICOS
 Afloramento em forma de lajedo na base do morro de rocha isotrópica, leucocrática, inequigranular, granulometria grossa, de coloração rosada. Quartzo e feldspato representam os minerais essenciais.
 - Radiação - 70 cps
 - Susceptibilidade Magnética- 3.10^{-3} SIU
 Unidade Estrat. Complexo Xingu

TECTÔNICA
 Atit. da Cam.
 Atit. da Xist.
 Atit. do Lito.
 Frat.
 Outros

LITOLOGIA
 Rocha Granito (Protomilonito)
 Classe Metamórfica
 Amostra Sim Não



DESCRIÇÃO DE AFLORAMENTOS

CPRM

PREF. LN C/C 1757

Paleontológica Sedimentológica Mineralógica Química Petrográfica N.º 25

Caderneta Altitude Localização SB.22-V-C Cad. Ocorrência Ilustração

DADOS GEOGRÁFICOS Topônimo Rio Pardo Relevo Ondulado Vegetação Floresta Solo

DADOS GEOLÓGICOS Lajeões no leito do rio Pardo, de rocha metamórfica, mesocrática, anisotrópica, algo foliada, constituída essencialmente por ripas de plagioclásio e anfíbolio. - Radiação - 65 cps - Susceptibilidade Magnética-1.10⁻³SIU Unidade Estrat. Complexo Xingu

TECTÔNICA Atit. da Cam. Atit. da Xist. Atit. do Lito. Frat. Outros

LITOLOGIA Rocha Anfibolito Classe Metamórfica Amostra [X] Sim [] Não

Paleontológica Sedimentológica Mineralógica Química Petrográfica N.º 26

Caderneta Altitude Localização SB.22-V-C Cad. Ocorrência Ilustração

DADOS GEOGRÁFICOS Topônimo Rio Pardo Relevo Ondulado Vegetação Floresta Solo

DADOS GEOLÓGICOS Afloramento em lajeiro da rocha holocris talina, leucocrática, isotrópica, equigranular, granulometria grosseira, coloração rosada. Quartz e feldspatos são os constituintes essenciais, sendo a biotita e/ou piroxênio os máficos observados. - Radiação - 65 cps - Susceptibilidade Magnética-11.10⁻³SIU Unidade Estrat. Complexo Xingu

TECTÔNICA Atit. da Cam. Atit. da Xist. Atit. do Lito. Frat. Outros

LITOLOGIA Rocha Granodiorito Classe Metamórfica Amostra [X] Sim [] Não



DESCRIÇÃO DE AFLORAMENTOS

CPRM

PREF.
LN

CIC
1757

Paleontológica

Sedimentológica

Mineralógica

Química

Petrográfica

N.º
27

Caderneta

Altitude

Localização

Cad. Ocorrência

Ilustração

SB.22-V-C

DADOS GEGRÁFICOS

Toponímia Rio Pardo

Relevo Ondulado

Vegetação Floresta

Solo

TECTÔNICA

Atit. da Cam.

Atit. da Xist.

Atit. do Lin.

Frat. N330°W

Outros

DADOS GEOLÓGICOS

Lajedo no leito do rio, de rocha leucocrática, isotrópica, equigranular, grã grossa, coloração rosada, constituída de quartzo, feldspatos e biotita e/ou piroxênio.

- Radiação - 90 cps
- Susceptibilidade Magnética - $25 \cdot 10^{-3}$ SIU

Unidade Estrat. Complexo Xingu

LITOLOGIA

Rocha Granodiorito.

Classe Metamórfica

Amostra Sim Não

Paleontológica

Sedimentológica

Mineralógica

Química

Petrográfica

N.º
28

Caderneta

Altitude

Localização

Cad. Ocorrência

Ilustração

SB.22-V-C

DADOS GEGRÁFICOS

Toponímia Rio Pardo

Relevo Ondulado

Vegetação Floresta

Solo

TECTÔNICA

Atit. da Cam.

Atit. da Xist.

Atit. do Lin.

Frat. N320°W

Outros

DADOS GEOLÓGICOS

Lajedo atravessando o rio de rocha metamórfica, leucocrática, anisotrópica, algo bandada, granulometria grossa a média, coloração rosada, constituída essencialmente por quartzo e feldspato, sendo a biotita e a hornblenda os máficos observados.

- Radiação - 70 cps
- Susceptibilidade Magnética - $10 \cdot 10^{-3}$ SIU

Unidade Estrat. Complexo Xingu

LITOLOGIA

Rocha Biotita Hornblenda Gnaiss

Classe Metamórfica

Amostra Sim Não



DESCRIÇÃO DE AFLORAMENTOS

CPRM

PREP. LN

CIC 1757

Paleontológica

Sedimentológica

Mineralógica

Química

Petrográfica

N.º 29

Caderneta

Altitude

Localização

Cad. Ocorrência

Ilustração

SB.22-V-C

DADOS GEográficos

Toponímia Rio Pardo

Relevo Ondulado

Vegetação Floresta

Solo

DADOS GEOLÓGICOS

Lajedo atravessando o rio de rocha metamórfica, leucocrática, isotrópica, equigranular, granulometria grossa, coloração rosada, constituída essencialmente de quartzo e feldspato, sendo a biotita o máfico identificado.

- Radiação - 65 cps
- Susceptibilidade Magnética- 13.10^{-3} SIU

Unidade Estrat. Complexo Xingu

TECTÓNICA

Atit. da Cam.

Atit. da Xist.

Atit. do Lin.

Frat.

Outros

LITOLOGIA

Rocha Granodiorito

Classe Metamórfica

Amostra Sim Não

Paleontológica

Sedimentológica

Mineralógica

Química

Petrográfica

N.º 30A

Caderneta

Altitude

Localização

Cad. Ocorrência

Ilustração

SB.22-V-C

DADOS GEográficos

Toponímia Rio Pardo

Relevo Ondulado

Vegetação Floresta

Solo

DADOS GEOLÓGICOS

Lajedo no rio de rocha metamórfica, leucocrática, isotrópica, equigranular, fanerítica fina, coloração creme. Quartzo e feldspatos são os constituintes essenciais.

- Radiação - 60 cps
- Susceptibilidade Magnética- 12.10^{-3} SIU

Unidade Estrat. Complexo Xingu

TECTÓNICA

Atit. da Cam.

Atit. da Xist.

Atit. do Lin.

Frat. N270°W
N340°W

Outros

LITOLOGIA

Rocha Milonito

Classe Metamórfica

Amostra Sim Não



DESCRIÇÃO DE AFLORAMENTOS

CPRM

PREF. LN C/C 1757

Paleontológica Sedimentológica Mineralógica Química Petrográfica N.º 30B

Caderneta Altitude Localização SB.22-V-C Cad. Ocorrência Ilustração

DADOS GEGRÁFICOS
 Toponímia Rio Pardo
 Relevo Ondulado
 Vegetação Floresta
 Solo

DADOS GEOLÓGICOS
 Lajeado no rio de rocha metamórfica, leuco-crática, isotrópica, equigranular, fanerítica fina, coloração creme. Quartzo e feldspatos são os constituintes essenciais.
 - Radiação - 60 cps
 - Susceptibilidade Magnética- $12 \cdot 10^{-3}$ SIU
 Unidade Estrat. Complexo Xingu

TECTÔNICA
 Atit. da Cam.
 Atit. da Xist.
 Atit. do Ljn.
 Frst. N270°W
 Outros

LITOLOGIA
 Rocha Milonito.
 Classe Metamórfica
 Amostra Sim Não

Paleontológica Sedimentológica Mineralógica Química Petrográfica N.º 31

Caderneta Altitude Localização SB.22-V-A Cad. Ocorrência Ilustração

DADOS GEGRÁFICOS
 Toponímia
 Relevo Serra
 Vegetação Floresta
 Solo

DADOS GEOLÓGICOS
 Afloramento no topo da serra de rocha leucocrática, holocristalina, isotrópica, inequigranular, de coloração rosada, constituída essencialmente de quartzo, feldspato e biotita.
 - Radiação - 100 cps
 Unidade Estrat. Suite Intrusiva Teles Pires

TECTÔNICA
 Atit. da Cam.
 Atit. da Xist.
 Atit. do Ljn.
 Frst.
 Outros

LITOLOGIA
 Rocha Granito
 Classe Ignea
 Amostra Sim Não



DESCRIÇÃO DE AFLORAMENTOS

CPRM

PREP. LN C/C 1757

Paleontológica	Sedimentológica	Mineralógica	Química	Petrográfica	N.º 32
Caderneta	Altitude	Localização SA.22-Y-C	Cad. Ocorrência	Ilustração	

DADOS GEOGRÁFICOS

Toponímia

Relevo Ondulado

Vegetação Floresta

Solo

DADOS GEOLÓGICOS

Lajedo de rocha metamórfica, leucocrática, anisotrópica, inequigranular, grã grossa, de coração algo rosada. Quartzo e feldspato representam a quase totalidade dos elementos mineralógicos, sendo a biotita o máfico identificado.

Unidade Estrat. Complexo Xingu

TECTÔNICA

Atit. da Cam.

Atit. da Xist.

Atit. do Lin.

Frat.

Outros

LITOLOGIA

Rocha Cataclasito

Classe Metamórfica

Amostra Sim Não

Paleontológica	Sedimentológica	Mineralógica	Química	Petrográfica	N.º 33
Caderneta	Altitude	Localização SA.22-Y-C	Cad. Ocorrência	Ilustração	

DADOS GEOGRÁFICOS

Toponímia Rio Iriri (Ilha Grande)

Relevo Ondulado

Vegetação Floresta

Solo

DADOS GEOLÓGICOS

Lajedo de rocha metamórfica, leucocrática, anisotrópica, algo bandeada, grã grossa, coração rosada, constituída essencialmente de quartzo e feldspatos, sendo a biotita e a hornblenda os máficos identificados. Veios de quartzo seccionam o lajedo.

- Radiação - 100 cps

Unidade Estrat. Complexo Xingu

TECTÔNICA

Atit. da Cam.

Atit. da Xist.

Atit. do Lin.

Frat. N20° E
N60° E

Outros

LITOLOGIA

Rocha Biotita Hornblenda Gnaiss

Classe Metamórfica

Amostra Sim Não



DESCRIÇÃO DE AFLORAMENTOS

CPRM

PREP. LN C/C 1757

Paleontológica Sedimentológica Mineralógica Química Petrográfica N.º 34

Caderneta Altitude Localização SA.22-Y-C Cad. Ocorrência X Ilustração

DADOS GEOGRÁFICOS
 Toponímia Rio Iriri
 Relevo Ondulado
 Vegetação Floresta
 Solo

DADOS GEOLÓGICOS
 Afloramento em forma de lajedo, secciona do por veios de quartzo de rocha leucocrática, algo foliada, inequigranular, grã predominantemente média, coloração creme acastanhada. Quartzo, feldspato e biotita representam os minerais essenciais.

Unidade Estrat. Complexo Xingu

TECTÔNICA
 Atit. da Cam.
 Atit. da Xist.
 Atit. do Lin.
 Frat.
 Outros

LITOLOGIA
 Rocha Granodiorito (Protomilonito)
 Classe Metamórfica
 Amostra Sim Não

Paleontológica Sedimentológica Mineralógica Química Petrográfica N.º 35

Caderneta Altitude Localização SA.22-Y-C Cad. Ocorrência Ilustração

DADOS GEOGRÁFICOS
 Toponímia Rio Iriri
 Relevo Ondulado
 Vegetação Floresta
 Solo

DADOS GEOLÓGICOS
 Lajedo de rocha metamórfica, anisotrópica, leucocrática, inequigranular, grã predominantemente fina, coloração rosada, apresentando porfiróblastos feldspáticos tipo "augen". Quartzo, feldspatos e biotita são os elementos mineralógicos dominantes.

Unidade Estrat. Complexo Xingu

TECTÔNICA
 Atit. da Cam.
 Atit. da Xist.
 Atit. do Lin.
 Frat. N310°E
 N320°E
 Outros

LITOLOGIA
 Rocha Augen Gnaiss Milonítico
 Classe Metamórfica
 Amostra Sim Não



DESCRIÇÃO DE AFLORAMENTOS

CPRM

PREF. LN C/C 1757

Paleontológica	Sedimentológica	Mineralógica	Química	Petrográfica	N.º 36
Caderneta	Altitude	Localização		Cad. Ocorrência	Ilustração
		SB.22-X-A			

DADOS GEográficos

Toponímia

Relevo Ondulado

Vegetação Floresta

Solo

DADOS GEOLÓGICOS

Lajedo no rio de rocha metamórfica, anisotrópica, leucocrática, algo bandeada, granulometria média a grossa, coloração rosada a cinza. Quartzo, feldspato e biotita são os minerais essenciais.

- Radiação - 70 cps

Unidade Estrat. Complexo Xingu

TECTÓNICA

Atit. da Cam.

Atit. da Xist.

Atit. do Lta.

Frat. S190°W

Outros

LITOLOGIA

Rocha Biotita Gnaisse

Classe Metamórfica

Amostra Sim Não

Paleontológica	Sedimentológica	Mineralógica	Química	Petrográfica	N.º 37
				X	
Caderneta	Altitude	Localização		Cad. Ocorrência	Ilustração
		SB.22-X-A			

DADOS GEográficos

Toponímia

Relevo Ondulado

Vegetação Floresta

Solo

DADOS GEOLÓGICOS

Afloramento em forma de lajedo, de rocha holocristalina, isotrópica, leucocrática, inequigranular, granulometria média a grossa, coloração rosada, constituída essencialmente por quartzo, feldspatos e biotita.

Unidade Estrat. Complexo Xingu

TECTÓNICA

Atit. da Cam.

Atit. da Xist.

Atit. do Lta.

Frat.

Outros

LITOLOGIA

Rocha Granito Porfiro blástico

Classe Metamórfica

Amostra Sim Não



DESCRIÇÃO DE AFLORAMENTOS

CPRM

PREF. LN C/C 1757

Paleontológica	Sedimentológica	Mineralógica	Química	Petrográfica	N.º 38
				X	

Caderneta	Altitude	Localização	Cad. Ocorrência	Ilustração
		SB. 22-X-A		

DADOS GEográficos

Toponímia

Relevo Ondulado

Vegetação Floresta

Solo

DADOS GEOLÓGICOS

Afloramento em forma de lajedo, de rocha metamórfica, leucocrática, holocristalina, isotrópica, inequigranular, granulometria grossa, de coloração rosada. Quartzo, feldspatos e biotita são os minerais essenciais.

- Radiação - 200 cps
- Susceptibilidade Magnética - $8 \cdot 10^{-3}$ SIU

Unidade Estrat. Complexo Xingu

TECTÓNICA

Atit. da Cam.

Atit. da Xist.

Atit. do Lin.

Frat.

Outros

LITOLOGIA

Rocha Granito

Classe Metamórfica

Amostra Sim Não

Paleontológica	Sedimentológica	Mineralógica	Química	Petrográfica	N.º 39

Caderneta	Altitude	Localização	Cad. Ocorrência	Ilustração
		SB. 22-V-B		

DADOS GEográficos

Toponímia Rio Bacajás

Relevo Ondulado

Vegetação Floresta

Solo

DADOS GEOLÓGICOS

Lajeiro no leito do rio de rocha metamórfica, leucocrática, isotrópica, equigranular, grã grossa, coloração rosa, constituída essencialmente de quartzo e feldspato, sendo a biotita o máfico identificado.

- Radiação - 85 cps
- Susceptibilidade Magnética - $33 \cdot 10^{-3}$ SIU

Unidade Estrat. Complexo Xingu

TECTÓNICA

Atit. da Cam.

Atit. da Xist.

Atit. do Lin.

Frat.

Outros

LITOLOGIA

Rocha Granodiorito

Classe Metamórfica

Amostra Sim Não



DESCRIÇÃO DE AFLORAMENTOS

CPRM

PREF. LN	G/O 1757
-------------	-------------

Paleontológica	Sedimentológica	Mineralógica	Química	Petrográfica	N.º 40
				X	
Caderneta	Altitude	Localização		Cad. Ocorrência	Ilustração
		SB.22-V-B			

DADOS GEOGRÁFICOS

Toponímia Proximidade rio Bacajás

Relevo Ondulado

Vegetação Floresta

Solo

DADOS GEOLÓGICOS

Afloramento em forma de lajedo de rocha metamórfica, holocristalina, leucocrática, inequigranular, foliada, de granulometria predominantemente média. Quartzo, feldspato e biotita e/ou hornblenda.

- Radiação - 70 cps
- Susceptibilidade Magnética -16.10^{-3} SIU

Unidade Estrat. Complexo Xingu

TECTÔNICA

Atit. da Cam.

Atit. da Xist.

Atit. do Lin.

Frat.

Outros

LITOLOGIA

Rocha Biotita Granoblástito

Classe Metamórfica

Amostra Sim Não

Paleontológica	Sedimentológica	Mineralógica	Química	Petrográfica	N.º 41
Caderneta	Altitude	Localização		Cad. Ocorrência	Ilustração
		SA.22-Y-D			

DADOS GEOGRÁFICOS

Toponímia Igarapé

Relevo Ondulado

Vegetação Floresta

Solo

DADOS GEOLÓGICOS

Lajedo com blocos de até 5,0 m de diâmetro, de rocha metamórfica, leucocrática, isotrópica, equigranular, grã grossa, coloração rosada, constituída essencialmente d quartzo, feldspato e biotita.

- Radiação - 100 cps
- Susceptibilidade Magnética -34.10^{-3} SIU

Unidade Estrat. Complexo Xingu

TECTÔNICA

Atit. da Cam.

Atit. da Xist.

Atit. do Lin.

Frat. N320°W
N20°E

Outros

LITOLOGIA

Rocha Granito

Classe Metamórfica

Amostra Sim Não



DESCRIÇÃO DE AFLORAMENTOS

CPRM

PREF. LN

C/C 1757

Paleontológica

Sedimentológica

Mineralógica

Química

Petrográfica

N.º 42

Caderneta

Altitude

Localização

Cad. Ocorrência

Ilustração

SB.22-V-B

DADOS GEOGRÁFICOS

Toponímia Rio Bacajás

Relevo Ondulado

Vegetação Floresta

Solo

DADOS GEOLÓGICOS

Lajedo no leito do rio, com blocos de até 3,0 m de diâmetro, de rocha metamórfica, leucocrática, anisotrópica, algo bandeada, grã grossa, coloração rosada, constituída essencialmente de quartzo e feldspatos, sendo a biotita e a hornblenda os máficos identificados. O lajedo é seccionado por inúmeros veios de quartzo.

- Radiação - 50 cps
- Susceptibilidade Magnética $4,5 \cdot 10^{-3}$ SIU

Unidade Estrat. Complexo Xingu

TECTÔNICA

Atit. da Cam.

Atit. da Xist.

Atit. do Lito.

Frat. N330°W

N30°E

Outros

LITOLOGIA

Rocha Biotita Hornblenda Gnaiss

Classe Metamórfica

Amostra Sim Não

Paleontológica

Sedimentológica

Mineralógica

Química

Petrográfica

N.º 43

Caderneta

Altitude

Localização

Cad. Ocorrência

Ilustração

SA.22-Y-D

DADOS GEOGRÁFICOS

Toponímia Igarapé

Relevo Ondulado

Vegetação Floresta

Solo

DADOS GEOLÓGICOS

Lajedo no leito do igarapé de rocha metamórfica, leucocrática, anisotrópica, inequigranular, grã grossa, de coloração rosada. Quartzo e feldspato representam quase a totalidade dos elementos mineralógicos, sendo a biotita o máfico identificado.

- Radiação - 80 cps

Unidade Estrat. Complexo Xingu

TECTÔNICA

Atit. da Cam.

Atit. da Xist.

Atit. do Lito.

Frat.

Outros

LITOLOGIA

Rocha Cataclasito

Classe Metamórfica

Amostra Sim Não



DESCRIÇÃO DE AFLORAMENTOS

CPRM

PREF. LN C/C 1757

Paleontológica Sedimentológica Mineralógica Química Petrográfica N.º 44

Caderneta Altitude Localização SA.22-Y-D Cad. Ocorrência Ilustração

DADOS GEOGRÁFICOS
 Toponímia Proximidades do rio Xingu
 Relevo Ondulado
 Vegetação Floresta
 Solo

DADOS GEOLÓGICOS
 Afloramento de rocha metamórfica, mesocrática, anisotrópica, algo foliada, constituída essencialmente por ripas de plagioclasio e anfíbolio.
 - Radiação - 40 cps
 Unidade Estrat. Complexo Xingu

TECTÔNICA
 Atit. da Cam.
 Atit. da Xist.
 Atit. do Lin.
 Frat.
 Outros

LITOLOGIA
 Rocha Anfibolito
 Classe Metamórfica
 Amostra Sim Não

Paleontológica Sedimentológica Mineralógica Química Petrográfica N.º 45

Caderneta Altitude Localização SA.22-Y-C Cad. Ocorrência Ilustração

DADOS GEOGRÁFICOS
 Toponímia Transamazônica - Altamira-Itaituba
 Relevo Ondulado
 Vegetação Floresta
 Solo Vermelho

DADOS GEOLÓGICOS
 Pequenos blocos de até 0,80 m de diâmetro de rocha ígnea, de caráter subvulcânico, mesocrática, inequigranular, de granulometria média, coloração cinza médio. Plagioclasio e piroxênios constituem os únicos minerais macroscopicamente identificados.
 Unidade Estrat. Diabásio Penetecaua

TECTÔNICA
 Atit. da Cam.
 Atit. da Xist.
 Atit. do Lin.
 Frat.
 Outros

LITOLOGIA
 Rocha Diabásio
 Classe Ígnea Intrusiva Subvulcânica
 Amostra Sim Não



DESCRIÇÃO DE AFLORAMENTOS

CPRM

PREF. LN

C/C 1757

Paleontológica

Sedimentológica

Mineralógica

Química

Petrográfica

N.º 46

Caderneta

Altitude

Localização

Cad. Ocorrência

Ilustração

SA.22-Y-C

DADOS GEGRÁFICOS

Toponímia Transamazônica-Altamira/Itaituba

Relevo Ondulado

Vegetação Floresta

Solo

TECTÔNICA

Atit. da Cam.

Atit. da Xist.

Atit. do Lin.

Frat.

Outros

DADOS GEOLÓGICOS

Lajeado de rocha sedimentar, de coloração róseo-avermelhada, grã predominantemente fina, aparentemente equigranular, maciça, compacta. Apenas quartzo e feldspato foram observados entre os constituintes da rocha.

LITOLOGIA

Rocha Arenito

Classe Sedimentar

Amostra Sim Não

Unidade Estrat. Formação Erere

Paleontológica

Sedimentológica

Mineralógica

Química

Petrográfica

N.º 47

Caderneta

Altitude

Localização

Cad. Ocorrência

Ilustração

SA.22-Y-C

DADOS GEGRÁFICOS

Toponímia

Relevo Ondulado

Vegetação Floresta

Solo

TECTÔNICA

Atit. da Cam.

Atit. da Xist.

Atit. do Lin.

Frat.

Outros

DADOS GEOLÓGICOS

Pequenos blocos de rocha ígnea, de caráter subvulcânico, mesocrática, inequigranular, de granulometria média, coloração cinza médio. Plagioclásio e piroxênios constituem os minerais identificados macroscopicamente.

LITOLOGIA

Rocha Diadásio

Classe Ígnea

Amostra Sim Não

Unidade Estrat. Diabásio Penetecaua



DESCRIÇÃO DE AFLORAMENTOS

CPRM

PREF. LN C/C 1757

Paleontológica	Sedimentológica	Mineralógica	Química	Petrográfica	N.º 48
Caderneta	Altitude	Localização		Cad. Ocorrência	Ilustração
		SA.22-Y-C			

DADOS GEGRÁFICOS

Toponímia Transamazônica

Relevo Ondulado

Vegetação Floresta

Solo

DADOS GEOLÓGICOS

Blocos atravessando a estrada cerca de 130 Km distante de Altamira, na direção de Itaituba, de rocha sedimentar, coloração creme, granulometria fina, sendo quartzo e feldspato os constituintes observados.

Unidade Estrat. Formação Curuá

TECTÔNICA

Atit. da Cam.

Atit. da Xist.

Atit. do Lij.

Frat.

Outros

LITOLOGIA

Rocha Arenito

Classe Sedimentar

Amostra Sim Não

Paleontológica	Sedimentológica	Mineralógica	Química	Petrográfica	N.º 49
Caderneta	Altitude	Localização		Cad. Ocorrência	Ilustração
		SA.22-Y-C			

DADOS GEGRÁFICOS

Toponímia Rodovia Transamazônica-Altamira-Itaituba

Relevo Ondulado

Vegetação Floresta

Solo

DADOS GEOLÓGICOS

Blocos atravessando a estrada cerca de 130 Km distante de Altamira, na direção de Itaituba, de rocha sedimentar, coloração creme, granulometria fina, sendo quartzo e feldspato os constituintes observados.

Unidade Estrat. Formação Curuá

TECTÔNICA

Atit. da Cam.

Atit. da Xist.

Atit. do Lij.

Frat.

Outros

LITOLOGIA

Rocha Arenito

Classe Sedimentar

Amostra Sim Não



DESCRIÇÃO DE AFLORAMENTOS

CPRM

PREF. LN C/C 1757

Paleontológica	Sedimentológica	Mineralógica	Química	Petrográfica	N.º 50
				X	

Caderneta	Altitude	Localização	Cad. Ocorrência	Ilustração
		SA.22-Y-C		

DADOS GEGRÁFICOS

Toponímia Igarapé Lageado-Rodovia Transamazônica

Relevo Ondulado

Vegetação Floresta

Solo

DADOS GEOLÓGICOS

Rocha ígnea, mesocrática, inequigranular, granulometria média, coloração cinza médio. Plagioclásio e piroxênio constituem os únicos minerais observados.

Unidade Estrat. Diabásio Penetecaua

TECTÔNICA

Atit. da Cam.

Atit. da Xist.

Atit. do Lin.

Frat.

Outros

LITOLOGIA

Rocha Diabásio

Classe Ignea

Amostra Sim Não

Paleontológica	Sedimentológica	Mineralógica	Química	Petrográfica	N.º 51

Caderneta	Altitude	Localização	Cad. Ocorrência	Ilustração
		SA.22-Y-C		

DADOS GEGRÁFICOS

Toponímia Agrovila Monte Castelo

Relevo Ondulado

Vegetação Floresta

Solo

DADOS GEOLÓGICOS

Morros alinhados distantes cerca de 80 Km de Altamira. Blocos de quartzo esbranquiçado.

Unidade Estrat.

TECTÔNICA

Atit. da Cam.

Atit. da Xist.

Atit. do Lin.

Frat.

Outros

LITOLOGIA

Rocha Quartzo

Classe

Amostra Sim Não



DESCRIÇÃO DE AFLORAMENTOS

CPRM

PREP. LN C/C 1757

Paleontológica	Sedimentológica	Mineralógica	Química	Petrográfica	N.º 52
				X	
Caderneta	Altitude	Localização	Cad. Ocorrência	Ilustração	
		SA. 22-Y-C			

DADOS GEOGRÁFICOS

Toponímia Agrovila Tiradentes - Transamazônica

Relevo Ondulado

Vegetação Floresta

Solo

DADOS GEOLÓGICOS

Afloramento em forma de blocos de rocha leucocrática, isotrópica, inequigranular, granulometria grosseira, coloração rosada. Quartzo e feldspato são os minerais essenciais, sendo a biotita o máfico observado.

Unidade Estrat. Complexo Xingu

TECTÔNICA

Atit. da Cam.

Atit. da Xist.

Atit. do Lin.

Frat.

Outros

LITOLOGIA

Rocha Granito Porfiroblástico

Classe Metamórfica

Amostra Sim Não

Paleontológica	Sedimentológica	Mineralógica	Química	Petrográfica	N.º 53
				X	
Caderneta	Altitude	Localização	Cad. Ocorrência	Ilustração	
		SA. 22-Y-D			

DADOS GEOGRÁFICOS

Toponímia NE de Altamira

Relevo Ondulado

Vegetação Floresta

Solo

DADOS GEOLÓGICOS

Afloramento em forma de lajedos de rocha metamórfica, holocristalina, isotrópica, leucocrática, inequigranular, granulometria grosseira. Quartzo e feldspatos representam os minerais essenciais, sendo a biotita o máfico dominante.

Unidade Estrat. Complexo Xingu

TECTÔNICA

Atit. da Cam.

Atit. da Xist.

Atit. do Lin.

Frat.

Outros

LITOLOGIA

Rocha Granito (Protomilonito)

Classe Metamórfica

Amostra Sim Não



OA - ORLANDO JOSÉ BARROS DE ARAÚJO



DESCRIÇÃO DE AFLORAMENTOS

CPRM

PREF.
OA

C/C
1757

Paleontológica

Sedimentológica

Mineralógica

Química

Petrográfica

N.º

01

Caderneta

Altitude

Localização

Cad. Ocorrência

Ilustração

SB.22-V-C

DADOS GEGRÁFICOS

Toponímia

Relevo Montanhoso

Vegetação Tipo cerrado

Solo Inexistente

DADOS GEOLÓGICOS

Clareira natural de granito altamente potássico; granulação média a fina, com máfi cos subordinados em pequenos agregados:

Radiação - 150 a 180 cps
Susceptibilidade Magnética - $10 \cdot 10^{-3}$ SIU

Unidade Estrat.

Suite Intrusiva Teles Pires

TECTÔNICA

Atit. da Cam.....

Atit. da Xist.....

Atit. do Lta.....

Frat. N10°E e N80°W

Outros

LITOLÓGICA

Rocha Granito

Classe Ígnea ácida

Amostra

Sim

Não

Paleontológica

Sedimentológica

Mineralógica

Química

Petrográfica

N.º

02

Caderneta

Altitude

Localização

Cad. Ocorrência

Ilustração

SB.22-V-C

DADOS GEGRÁFICOS

Toponímia

Relevo Plano no local e montanhoso nas proximidades

Vegetação de mata alta

Solo Areno-argiloso

DADOS GEOLÓGICOS

Bloco de rocha cinza escura afanítica, provavelmente de natureza vulcânica ácida.

Unidade Estrat.

Formação Iriri

TECTÔNICA

Atit. da Cam.....

Atit. da Xist.....

Atit. do Lta.....

Frat.

Outros

LITOLÓGICA

Rocha Tufo Riolítico

Classe Vulcânica ácida

Amostra

Sim

Não



DESCRIÇÃO DE AFLORAMENTOS

CPRM

PREF. OA 1757

Paleontológica Sedimentológica Mineralógica Química Petrográfica N.º 03

Caderneta Altitude Localização SB.22-V-C Cad. Ocorrência Ilustração

DADOS GEOGRÁFICOS

Toponímia
 Relevo Penep plano
 Vegetação Mata alta
 Solo Areno-argiloso

TECTÔNICA

Atit. da Cam.
 Atit. da Xist.
 Atit. do Lin.
 Frat.
 Outros

DADOS GEOLÓGICOS

Sem afloramento, apenas leitura cintilométrica em material exposto por grande caída (60 cps), com "background" de 30 cps.
 Unidade Estrat.

LITOLOGIA

Rocha
 Classe
 Amostra Sim Não

Paleontológica Sedimentológica Mineralógica Química Petrográfica N.º 04

Caderneta Altitude Localização SB.21-X-D Cad. Ocorrência Ilustração

DADOS GEOGRÁFICOS

Toponímia Riozinho 300m a montante da foz.
 Relevo Ondulado às proximidades
 Vegetação Mata alta às proximidades
 Solo Inexistente

TECTÔNICA

Atit. da Cam.
 Atit. da Xist.
 Atit. do Lin.
 Frat. N30°E e N40°W
 Outros

DADOS GEOLÓGICOS

Blocos abaulados de rocha granítica com vestígios de metassomatismo (4a), juntos a outros de rocha máfica, possivelmente res tritos paleossomáticos (4b).
 Radiação (4a) - 70 cps
 Susceptibilidade Magnética (4a) $14 \cdot 10^{-3}$ SIU
 Radiação (4b) - 30 cps
 Susceptibilidade Magnética (4b) - $1 \cdot 10^{-3}$ SIU
 Unidade Estrat. Complexo Xingu

LITOLOGIA

Rocha a) Granito
 b) Actinolita xisto
 Classe Metamorficas
 Amostra Sim Não



DESCRIÇÃO DE AFLORAMENTOS

CPRM

PREF. OA C/C 1757

Paleontológica	Sedimentológica	Mineralógica	Química	Petrográfica	N.º 05
Caderneta	Altitude	Localização	SB. 21-X-D		Ilustração

DADOS GEGRÁFICOS

Toponímia Rio Iriri, 1km a jusante da foz do Riozinho.

Relevo

Vegetação

Solo

DADOS GEOLÓGICOS

Afloramento em forma de lajeiros de rocha vulcânica ácida, intensamente cataclada.

Radiação - 50 a 60 cps

Susceptibilidade Magnética - $3 \cdot 10^{-3}$ SIU

Unidade Estrat. Formação Iriri

TECTÔNICA

Atit. da Cam.

Atit. da Xist.

Atit. do Lin.

Frat.

Outros

LITOLOGIA

Rocha Riolito

Classe Vulcânica ácida

Amostra Sim Não

Paleontológica	Sedimentológica	Mineralógica	Química	Petrográfica	N.º 06
Caderneta	Altitude	Localização	SB. 21-X-D		Ilustração

DADOS GEGRÁFICOS

Toponímia

Relevo Ondulado às proximidades

Vegetação Cerrado no local

Solo Bastante arenoso

DADOS GEOLÓGICOS

Afloramento em forma de escarpa, com arenito ferruginoso, algo feldspático, granulação média a fina, apresentando estratificação cruzada ($16^\circ/N80^\circ E$ tomado no corte).

Radiação - 30 cps.

Unidade Estrat. Formação Cubencranquém

TECTÔNICA

Atit. da Cam. $12^\circ/N40^\circ W$

Atit. da Xist.

Atit. do Lin.

Frat.

Outros

LITOLOGIA

Rocha Arenito

Classe Sedimentar

Amostra Sim Não



DESCRIÇÃO DE AFLORAMENTOS

CPRM

PREF. OÁ

C/C 1757

Paleontológica

Sedimentológica

Mineralógica

Química

Petrográfica

N.º 07

Caderneta

Altitude

Localização

Cad. Ocorrência

Ilustração

SB. 21-X-D

DADOS GEOGRÁFICOS

Toponímia SB. 21-X-D

Relevo Montanhoso

Vegetação Baixa e aberta

Solo Arenoso nas proximidades

DADOS GEOLÓGICOS

Grande exposição de arenito ortoquartzítico aparentemente horizontal a sub-horizontal.

Radiação - 20 a 25 cps

Susceptibilidade Magnética - $0,4 \cdot 10^{-3}$ SIU

Unidade Estrat.

Formação Cubencranquém

TECTÓNICA

Atit. da Cam.

Atit. da Xist.

Atit. do Lin.

Frat. N40°E e N60°W

Outros

LITOLOGIA

Rocha Arenito

Classe Sedimentar

Amostra Sim Não

Paleontológica

Sedimentológica

Mineralógica

Química

Petrográfica

N.º 08

Caderneta

Altitude

Localização

Cad. Ocorrência

Ilustração

SB. 21-X-D

DADOS GEOGRÁFICOS

Toponímia Riozinho do Anfrízio

Relevo Ondulado às proximidades

Vegetação Mata alta às proximidades

Solo Inexistente

DADOS GEOLÓGICOS

Rocha mesocrática de granulação média a fina, composta de quartzo, feldspato (plagioclásio) e palhetas de biotita.

Radiação - 50 cps

Susceptibilidade Magnética - $37,5 \cdot 10^{-3}$ SIU

Unidade Estrat.

Complexo Xingu

TECTÓNICA

Atit. da Cam.

Atit. da Xist.

Atit. do Lin.

Frat. N40°W e N70°E

Outros

LITOLOGIA

Rocha Tonalito

Classe Metamórfica

Amostra Sim Não



DESCRIÇÃO DE AFLORAMENTOS

CPRM

PREF. OA C/C 1757

Paleontológica Sedimentológica Mineralógica Química Petrográfica N.º 09

Caderneta Altitude Localização SB.21-X-D Cad. Ocorrência Ilustração

DADOS GEOGRÁFICOS
 Toponímia Margem direita do Riozinho do Anfrízio
 Relevo Montanhoso
 Vegetação Mata alta
 Solo Areno-argiloso

DADOS GEOLÓGICOS
 Blocos gigantes de rocha granítica de granulometria média a pegmatóide com feno cristais centimétricos de feldspato potássico, quartzo e biotita.
 Radiação - 80 a 90 cps
 Susceptibilidade Magnética - 6.10^{-3} SIU
 Unidade Estrat. Suite Intrusiva Teles Pires

TECTÔNICA
 Atit. da Cam.
 Atit. da Xist.
 Atit. do Lin.
 Frat.
 Outros

LITOLOGIA
 Rocha Granito
 Classe Ígnea ácida
 Amostra Sim Não

Paleontológica Sedimentológica Mineralógica Química Petrográfica N.º 10

Caderneta Altitude Localização SB.21-X-D Cad. Ocorrência Ilustração

DADOS GEOGRÁFICOS
 Toponímia Riozinho a 30 km da foz e 1km da margem esquerda
 Relevo Suavemente ondulado
 Vegetação Mata alta
 Solo Areno-argiloso

DADOS GEOLÓGICOS
 Bloco de rocha clara, rosada, silicosa de granulação fina, essencialmente quartzo-feldspática (10a), próximo a blocos de granito equigranular médio com máficos subordinados (10b).
 Radiação (a,b) - 60 a 70 cps
 Susceptibilidade Magnética (a,b) - $22,5.10^{-3}$ SIU
 Unidade Estrat. Suite Intrusiva Teles Pires

TECTÔNICA
 Atit. da Cam.
 Atit. da Xist.
 Atit. do Lin.
 Frat.
 Outros

LITOLOGIA
 Rocha a) Microgranito
 b) Granito
 Classe a) Ígnea
 b) Ígnea
 Amostra Sim Não



DESCRIÇÃO DE AFLORAMENTOS

CPRM

PREF. OA C/C 1757

Paleontológica	Sedimentológica	Mineralógica	Química	Petrográfica	N.º
				X	11
Caderneta	Altitude	Localização		Cad. Ocorrência	Ilustração
		SB.21-X-D			

DADOS GEográficos

Toponímia Leito Riozinho, 30 km da foz

Relevo Ondulado às proximidades

Vegetação Mata alta às proximidades

Solo Inexistente

DADOS GEOLÓGICOS

Blocos de rocha mesotipo de aspecto isotrópico, essencialmente quartzo-feldspática.

Radiação - 30 a 40 cps

Susceptibilidade Magnética - $10 \cdot 10^{-3}$ SIU

Unidade Estrat. Granito Juruena

TECTÓNICA

Atit. da Cam.

Atit. da Xist.

Atit. do Lit.

Frat.

Outros

LITOLOGIA

Rocha Tonalito

Classe Ígnea ácida

Amostra Sim Não

Paleontológica	Sedimentológica	Mineralógica	Química	Petrográfica	N.º
				X (a)	12
Caderneta	Altitude	Localização		Cad. Ocorrência	Ilustração
		SB.21-X-D			

DADOS GEográficos

Toponímia 28 km da foz do Riozinho

Relevo Sub-ondulado

Vegetação Mata alta às proximidades

Solo Inexistente

DADOS GEOLÓGICOS

Blocos de rocha granítica porfiroblástica (OA-R-12a) e outros de rocha de granulometria mais fina (OA-R-12b). Próximo, há rocha algo alterada provável vulcânica ácida (OA-R-12c).

Radiação (12c) - 70 cps

Unidade Estrat. Complexo Xingu/Formação Iriri

TECTÓNICA

Atit. da Cam.

Atit. da Xist.

Atit. do Lit.

Frat.

Outros

LITOLOGIA

Rocha a) Granito
b) Granito
c) Riolito ?

Classe a) Metamórficas
b) Metamórficas
c) Vulcânica ácida

Amostra Sim Não



DESCRIÇÃO DE AFLORAMENTOS

CPRM

PREF. OA C/C 1757

Paleontológica	Sedimentológica	Mineralógica	Química	Petrográfica	N.º
					13
Caderneta	Altitude	Localização	Cad. Ocorrência	Ilustração	
		SB. 21-X-D			

DADOS GEográficos

Toponímia 24 km da foz do Riozinho

Relevo Sub-ondulado

Vegetação Alta às proximidades

Solo Inexistente

DADOS GEOLÓGICOS

Grande afloramento de rocha vulcânica, ácida cataclástica acinzentada (OA-R-13).

Radiação - 120 cps

Unidade Estrat. Formação Iriri

TECTÓNICA

Atit. da Cam.

Atit. da Xist.

Atit. do Lin.

Frat. N45° E e N40° W

Outros

LITOLÓGIA

Rocha Riolito

Classe Vulcânica ácida

Amostra Sim Não

Paleontológica	Sedimentológica	Mineralógica	Química	Petrográfica	N.º
				X	14
Caderneta	Altitude	Localização	Cad. Ocorrência	Ilustração	
		SB. 21-X-D			

DADOS GEográficos

Toponímia

Relevo

Vegetação

Solo

DADOS GEOLÓGICOS

Blocos gigantesco de granito grã-grossa com fenocristais de quartzo e feldspato potássico e agregados de hornblenda e/ou biotita.

Radiação - 250 a 300 cps

Unidade Estrat. Complexo Xingu

TECTÓNICA

Atit. da Cam.

Atit. da Xist.

Atit. do Lin.

Frat.

Outros

LITOLÓGIA

Rocha Granito

Classe Metamórfica

Amostra Sim Não



DESCRIÇÃO DE AFLORAMENTOS

CPRM

PREF.
OA

C/C
1757

Paleontológica

Sedimentológica

Mineralógica

Química

Petrográfica

N.º
15

Caderno

Altitude

Localização

Cad. Ocorrência

Ilustração

SB. 21-X-D

DADOS GEOGRÁFICOS

Toponímia 3,5 km a jusante do Riozinho

Relevo

Vegetação

Solo

TECTÔNICA

Atit. da Cam.

Atit. da Xist.

Atit. do Lta.

Frat.

Outros

DADOS GEOLÓGICOS

Blocos de rocha grã-média, porfirítica, essencialmente potássica.

Radiação - 90 cps
 Susceptibilidade Magnética - $4,5 \cdot 10^{-3}$ SIU

LITOLOGIA

Rocha Riolito Pórfiro

Classe Vulcânica ácida

Amostra Sim Não

Unidade Estrat. Formação Iriri

Paleontológica

Sedimentológica

Mineralógica

Química

Petrográfica

N.º
16

Caderno

Altitude

Localização

Cad. Ocorrência

Ilustração

SB. 21-X-D

DADOS GEOGRÁFICOS

Toponímia Rio Iriri

Relevo

Vegetação

Solo

TECTÔNICA

Atit. da Cam.

Atit. da Xist.

Atit. do Lta.

Frat. N60W e N30E

Outros

DADOS GEOLÓGICOS

Afloramento de rocha semelhante à OA-R-15, localmente com material bem mais potássico (OA-R-16).

Radiação - 120 cps
 Susceptibilidade Magnética - $4,5 \cdot 10^{-3}$ SIU

LITOLOGIA

Rocha Riolito Pórfiro

Classe Vulcânica ácida

Amostra Sim Não

Unidade Estrat. Formação Iriri



DESCRIÇÃO DE AFLORAMENTOS

CPRM

PREF. OA C/C 1757

Paleontológica	Sedimentológica	Mineralógica	Química	Petrográfica	N.º 17
Caderno	Altitude	Localização SB.21-X-D	Cad. Ocorrência	Ilustração	

DADOS GEOGRÁFICOS

Toponímia Rio Iriri

Relevo

Vegetação

Solo

DADOS GEOLÓGICOS

Grandes blocos de rocha matriz fina com fenocristais de feldspato em tons claros a esverdeados.

Radiação - 110 cps
Susceptibilidade Magnética - $4,5 \cdot 10^{-3}$ SIU

Unidade Estrat. Formação Iriri.

TECTÔNICA

Atit. da Cam.

Atit. da Xist.

Atit. do Lin.

Frat.

Outros

LITOLOGIA

Rocha Dácito

Classe Vulcânica ácida

Amostra Sim Não

Paleontológica	Sedimentológica	Mineralógica	Química	Petrográfica	N.º 18
Caderno	Altitude	Localização SB.21-X-D	Cad. Ocorrência	Ilustração	

DADOS GEOGRÁFICOS

Toponímia Rio Iriri

Relevo

Vegetação

Solo

DADOS GEOLÓGICOS

Afloramento de rocha granítica, leucocrática, de granulometria média, e cataclada.

Radiação - 100 cps

Unidade Estrat. Suite Intrusiva Teles Pires

TECTÔNICA

Atit. da Cam.

Atit. da Xist.

Atit. do Lin.

Frat. N45°E e N50°W

Outros

LITOLOGIA

Rocha Granito

Classe Ígnea ácida

Amostra Sim Não



DESCRIÇÃO DE AFLORAMENTOS

CPRM

PREF. OA C/C 1757

Paleontológica	Sedimentológica	Mineralógica	Química	Petrográfica	N.º 19
Caderneta	Altitude	Localização SB.21-X-D	Cad. Ocorrência	Ilustração	

DADOS GEOGRÁFICOS

Toponímia Rio Iriri

Relevo

Vegetação

Solo

DADOS GEOLÓGICOS

Grande afloramento de rocha vulcânica ácida cataclástica.
Radiação - 80 cps

Unidade Estrat. Formação Iriri

TECTÔNICA

Atit. da Cam.

Atit. da Xist.

Atit. do Lin.

Frat. NS e EW, NE e NW

Outros

LITOLOGIA

Rocha Riolito

Classe Vulcânica ácida

Amostra Sim Não

Paleontológica	Sedimentológica	Mineralógica	Química	Petrográfica	N.º 20a e b
Caderneta	Altitude	Localização SB.21-X-D	Cad. Ocorrência	Ilustração	

DADOS GEOGRÁFICOS

Toponímia Rio Iriri

Relevo Montanhoso às proximidades

Vegetação

Solo

DADOS GEOLÓGICOS

No leito, rocha vulcânica bastante cataclástica, com veios silicosos (20a), e na margem rocha granular provavelmente granítica.
Radiação - 90 cps

Unidade Estrat. Formação Iriri/Suite Intrusiva Teles

TECTÔNICA

Atit. da Cam.

Atit. da Xist.

Atit. do Lin.

Frat. N60W e N30E (b)

Outros

LITOLOGIA

Rocha a) Riolito
b) Granito

Classe a) Vulcânica ácida.
b) Ígnea ácida

Amostra Sim Não



DESCRIÇÃO DE AFLORAMENTOS

CPRM

PREF. OA C/C 1757

Paleontológica	Sedimentológica	Mineralógica	Química	Petrográfica	N.º 21a
Caderneta	Altitude	Localização	SB.21-X-D		Ilustração

DADOS GEGRÁFICOS

Toponímia Rio Iriri, próximo ao povoado de Cachoeirinha

Relevo

Vegetação

Solo

DADOS GEOLÓGICOS

Grande afloramento de rocha riolítica, recoberto localmente por blocos de arenito ferruginoso, bastante grosseiro, de idade recente.

Radiação - no riolito 60 cps e no arenito, 25 cps.

Unidade Estrat. Formação Iriri

TECTÔNICA

Atit. da Cam.

Atit. da Xist.

Atit. do Lta.

Frat. N30W e N30E

Outros

LITOLOGIA

Rocha Riolito

Classe Vulcânica ácida

Amostra Sim Não

Paleontológica	Sedimentológica	Mineralógica	Química	Petrográfica	N.º 22
Caderneta	Altitude	Localização	SB.21-X-D		Ilustração

DADOS GEGRÁFICOS

Toponímia Rio Iriri, 5 km a montante de Entre Rios, picada SW pela margem esquerda.

Relevo Plano ondulado às proximidades

Vegetação Mata alta

Solo Argilo-arenoso

DADOS GEOLÓGICOS

Em pequena serra, aflora rocha afanítica potássica, com alguns fenocristais de feldspato, quartzo e agregados máficos, e pontuações de sulfetos.

Radiação - 65 cps

Unidade Estrat. Formação Iriri

TECTÔNICA

Atit. da Cam.

Atit. da Xist.

Atit. do Lta.

Frat. EW

Outros

LITOLOGIA

Rocha Dácito

Classe Vulcânica ácida

Amostra Sim Não



DESCRIÇÃO DE AFLORAMENTOS

CPRM

PREF.
OA

C/C
1757

Paleontológica

Sedimentológica

Mineralógica

Química

Petrográfica

N.º

23a e b

Caderneta

Altitude

Localização

Cad. Ocorrência

Ilustração

SB.21-X-C

DADOS GEográficos

Toponímia Afluente da margem esquerda do rio Jamanxim.

Relevo Ondulado

Vegetação Mata alta

Solo Areno-argiloso

DADOS GEOLÓGICOS

Afloramento de rocha vulcânica a sub-vulcânica ácida, cataclástica (23a).

(23b) Perfil radiométrico com 650 ms
(ver ficha modelo)

a) Radiação - 80 cps
Susceptibilidade magnética - $25 \cdot 10^{-3}$ SIU

Unidade Estrat.

Formação Iriri

TECTÓNICA

Atit. da Cam.

Atit. da Xist.

Atit. do Lin.

Frat. a) N/S, E/W, N30E

Outros

LITOLÓGIA

Rocha Riolito

Classe Vulcânica ácida

Amostra



Sim



Não

Paleontológica

Sedimentológica

Mineralógica

Química

Petrográfica

N.º

24

Caderneta

Altitude

Localização

Cad. Ocorrência

Ilustração

SB.21-X-D

DADOS GEográficos

Toponímia

Relevo Montanhoso

Vegetação Rara a ausente no local

Solo Inexiste no local

DADOS GEOLÓGICOS

Clareira natural com lajeiro de rocha granítica de granulação média a fina.

Radiação - 220 cps
Susceptibilidade Magnética - $20 \cdot 10^{-3}$ SIU

Unidade Estrat.

Suite Intrusiva Teles Pires

TECTÓNICA

Atit. da Cam.

Atit. da Xist.

Atit. do Lin.

Frat. N30E

Outros

LITOLÓGIA

Rocha Granito

Classe Ígnea ácida

Amostra



Sim



Não



DESCRIÇÃO DE AFLORAMENTOS

CPRM

PREF. OA C/C 1757

Paleontológica	Sedimentológica	Mineralógica	Química	Petrográfica	N.º 25
Caderneta	Altitude	Localização SB.22-Y-A		Cad. Ocorrência	Ilustração

DADOS GEGRÁFICOS

Toponímia

Relevo Montanhoso

Vegetação Escassa

Solo

DADOS GEOLÓGICOS

Blocos de arenito orto-quartzítico bem consolidado, algo ferruginoso, dando à rocha um aspecto de pseudo bandeamento.

Radiação - 45 cps

Unidade Estrat. Formação Gorotire

TECTÔNICA

Atit. da Cam.

Atit. da Xist.

Atit. do Lin.

Frat.

Outros

LITOLOGIA

Rocha Arenito

Classe Sedimentar

Amostra Sim Não

Paleontológica	Sedimentológica	Mineralógica	Química	Petrográfica	N.º 26
Caderneta	Altitude	Localização SB.22-V-C		Cad. Ocorrência	Ilustração

DADOS GEGRÁFICOS

Toponímia

Relevo Sub-aplainado

Vegetação Mata alta às proximidades

Solo Inexiste no local

DADOS GEOLÓGICOS

Pequeno lajeiro com rocha mesotipo granular média com alguns cristais mais desenvolvidos de feldspato e agregados máficos.

Radiação - 70 cps

Unidade Estrat. Suite Intrusiva Teles Pires

TECTÔNICA

Atit. da Cam.

Atit. da Xist.

Atit. do Lin.

Frat.

Outros

LITOLOGIA

Rocha Granodiorito Porfiro

Classe Ígnea ácida

Amostra Sim Não



DESCRIÇÃO DE AFLORAMENTOS

CPRM

PREF. OA C/C 1757

Paleontológica	Sedimentológica	Mineralógica	Química	Petrográfica	N.º
					27
Caderneta	Altitude	Localização	Cad. Ocorrência	Ilustração	
		SB.22-V-C			

DADOS GEOGRÁFICOS

Toponímia Serra do Pilão

Relevo Montanhoso

Vegetação No local, rara

Solo Inexiste no local

DADOS GEOLÓGICOS

Grandes exposições em clareiras naturais, com lajeiros de rocha granítica mesocrática, localmente sugerindo uma metassomatose silicosa.

Radiação - 150 cps

Unidade Estrat. Granito Juruena

TECTÔNICA

Att. da Cam.

Att. da Xist.

Att. do Lin.

Frat.

Outros

LITOLOGIA

Rocha Granito

Classe Ígnea ácida

Amostra Sim Não

Paleontológica	Sedimentológica	Mineralógica	Química	Petrográfica	N.º
					28
Caderneta	Altitude	Localização	Cad. Ocorrência	Ilustração	
		SB.22-V-A			

DADOS GEOGRÁFICOS

Toponímia Afluente da margem direita do rio Novo

Relevo Sub-ondulado

Vegetação Mata alta às proximidades

Solo Inexistente

DADOS GEOLÓGICOS

Lajeiro de rocha granular, cor escura, essencialmente máfica (biotita, hornblenda e magnetita) além de quartzo e feldspato e sulfetos disseminados (OA-R-28).

Radiação - 60 cps

Susceptibilidade Magnética - $200 \cdot 10^{-3}$ SIU

Unidade Estrat. Granito Juruena (?)

TECTÔNICA

Att. da Cam.

Att. da Xist.

Att. do Lin.

Frat.

Outros

LITOLOGIA

Rocha Quartzo diorito

Classe Ígnea ácida

Amostra Sim Não



DESCRIÇÃO DE AFLORAMENTOS

CPRM

Paleontológica	Sedimentológica	Mineralógica	Química	Petrográfica	PREF. OA	C/C 1757
				X		N.º 29
Caderneta	Altitude	Localização SB.22-V-A		Cad. Ocorrência	Ilustração	

DADOS GEOGRÁFICOS

Toponímia Mais a jusante do afluente da margem direita do rio Novo.

Relevo Sub-ondulado

Vegetação Mata alta às proximidades

Solo Inexistente

DADOS GEOLÓGICOS

Lajeiro de rocha granular, cor escura, essencialmente máfica (biotita, hornblenda e magnetita), além de quartzo e feldspato e sul fetos disseminados (OA-R-28)

Radiação - 50 a 60 cps
Susceptibilidade Magnética - $125 \cdot 10^{-3}$ SIU

Unidade Estrat. Granito Juruena (?)

TECTÔNICA

Att. da Cam.

Att. da Xist.

Att. do Lin.

Frat.

Outros

LITOLOGIA

Rocha Quartzo diorito

Classe Ígnea ácida

Amostra Sim Não

Paleontológica	Sedimentológica	Mineralógica	Química	Petrográfica	N.º 30a/b
Caderneta	Altitude	Localização SB.22-V-A		Cad. Ocorrência	Ilustração

DADOS GEOGRÁFICOS

Toponímia Rio Iriri

Relevo Sub-montanhoso

Vegetação Alta às proximidades

Solo Inexistente

DADOS GEOLÓGICOS

Lajeiro de rocha grã-fina, essencialmente silicosa, com raros máficos, provavelmente vulcânica (OA-R-30a), (OA-R-30b).

Radiação - 90 a 100 cps
Susceptibilidade Magnética - $22,5 \cdot 10^{-3}$ SIU

Unidade Estrat. Suite Intrusiva Teles Pires

TECTÔNICA

Att. da Cam.

Att. da Xist.

Att. do Lin.

Frat. N70°E e N40°W

Outros

LITOLOGIA

Rocha Microgranito

Classe Ígnea ácida

Amostra Sim Não



DESCRIÇÃO DE AFLORAMENTOS

CPRM

PREF. OA C/C 1757

Paleontológica	Sedimentológica	Mineralógica	Química	Petrográfica	N.º
				X	31
Caderneta	Altitude	Localização	Cad. Ocorrência	Ilustração	
		SB.22-V-A			

DADOS GEGRÁFICOS

Toponímia Rio Iriri, mais a jusante

Relevo Ondulado a sub-ondulado

Vegetação Alta às proximidades

Solo Inexistente

DADOS GEOLÓGICOS

Lajeiro de granito de grã-média a grossa, com fenocristais de feldspato potássico.

Radiação - 85 a 90 cps

Susceptibilidade Magnética - $20 \cdot 10^{-3}$ SIU

Unidade Estrat. Suite Intrusiva Teles Pires

TECTÔNICA

Atit. da Cam.

Atit. da Xist.

Atit. do Lta.

Frat. N60°E, N70°E e N60°W

Outros

LITOLOGIA

Rocha Granito

Classe Ígnea ácida

Amostra Sim Não

Paleontológica	Sedimentológica	Mineralógica	Química	Petrográfica	N.º
					32
Caderneta	Altitude	Localização	Cad. Ocorrência	Ilustração	
		SB.22-V-A			

DADOS GEGRÁFICOS

Toponímia Rio Iriri

Relevo Sub-ondulado

Vegetação Alta às proximidades

Solo Inexistente

DADOS GEOLÓGICOS

Blocos de gnaissé apresentando máficos encurvados pelo crescimento metassomático dos feldspatos.

Radiação - 75 cps

Susceptibilidade Magnética - $35 \cdot 10^{-3}$ SIU

Unidade Estrat. Complexo Xingu

TECTÔNICA

Atit. da Cam.

Atit. da Xist.

Atit. do Lta.

Frat.

Outros

LITOLOGIA

Rocha Gnaissé

Classe Metamórfica

Amostra Sim Não



DESCRIÇÃO DE AFLORAMENTOS

CPRM

PREF.
OA

C/C
1757

Paleontológica

Sedimentológica

Mineralógica

Química

Petrográfica

N.º
33

Caderneta

Altitude

Localização

Cad. Ocorrência

Ilustração

SB.22-V-C

DADOS GEGRÁFICOS

Toponímia Leste do rio Novo

Relevo Ondulado a sub-montanoso

Vegetação Mata alta próximo

Solo Areno-argiloso

TECTÔNICA

Atlt. da Cam.

Atlt. da Xist.

Atlt. do Lta.

Frat.

Outros

DADOS GEOLÓGICOS

Morrote de granito, grã-média, cor rosada, com máficos localmente concentrado.

Radiação - 100 a 120 cps

Susceptibilidade Magnética - 9.10^{-3} SIU

LITOLOGIA

Rocha Granito

Classe Metamórfica

Amostra Sim Não

Unidade Estrat.

Complexo Xingu

Paleontológica

Sedimentológica

Mineralógica

Química

Petrográfica

N.º
34

Caderneta

Altitude

Localização

Cad. Ocorrência

Ilustração

SB.22-V-C

DADOS GEGRÁFICOS

Toponímia Afluente do rio Novo

Relevo Sub-ondulado

Vegetação Alta às proximidades

Solo Inexistente

TECTÔNICA

Atlt. da Cam.

Atlt. da Xist.

Atlt. do Lta.

Frat.

Outros

DADOS GEOLÓGICOS

Lajeiro de rocha granular isotrópica, cor escura, essencialmente máfica.

Radiação - 30 a 40 cps

Susceptibilidade Magnética - 100.10^{-3} SIU

LITOLOGIA

Rocha Quartzo diorito

Classe Ígnea ácida

Amostra Sim Não

Unidade Estrat.

Granito Juruena



DESCRIÇÃO DE AFLORAMENTOS

CPRM

PREF. OA C/C 1757

Paleontológica	Sedimentológica	Mineralógica	Química	Petrográfica	N.º
					35
Caderneta	Altitude	Localização	Cad. Ocorrência	Ilustração	
		SB.22-V-C			

DADOS GEográficos

Toponímia Noroeste de Belo Horizonte

Relevo Ondulado

Vegetação Mata alta

Solo Areno-argiloso

TECTÓNICA

Atit. da Cam.

Atit. da Xist.

Atit. do Lin.

Frat.

Outros

DADOS GEOLÓGICOS

Blocos de rocha granítica, grã-média, isotrópica e mesocrática.

Radiação - 120 cps

Susceptibilidade Magnética - 7.10^{-3} SIU

Unidade Estrat. Complexo Xingu

LITOLOGIA

Rocha Granito

Classe Metamórfica

Amostra Sim Não

Paleontológica	Sedimentológica	Mineralógica	Química	Petrográfica	N.º
					36
Caderneta	Altitude	Localização	Cad. Ocorrência	Ilustração	
		SB.22-V-C			

DADOS GEográficos

Toponímia Igarapé a NW de Belo Horizonte

Relevo Sub-ondulado

Vegetação Alta às proximidades

Solo Inexistente

TECTÓNICA

Atit. da Cam.

Atit. da Xist.

Atit. do Lin.

Frat.

Outros

DADOS GEOLÓGICOS

Blocos de rocha granítica, com concentração local de máficos.

Radiação - 60 cps

Susceptibilidade Magnética - 50.10^{-3} SIU

Unidade Estrat. Suíte Intrusiva Teles Pires

LITOLOGIA

Rocha Trondjemito

Classe Ígnea ácida

Amostra Sim Não



DESCRIÇÃO DE AFLORAMENTOS

CPRM

PREF. OA C/C 1757

Paleontológica Sedimentológica Mineralógica Química Petrográfica N.º 37

Caderneta Altitude Localização SB.22-V-C Cad. Ocorrência Ilustração

DADOS GEográficos
 Toponímia Noroeste da Fazenda Belo Horizonte
 Relevo Ondulado a sub-ondulado
 Vegetação Rocaço
 Solo Areno-argiloso

DADOS GEOLÓGICOS
 Blocos de rocha granítica, grã-média, mesocrática, com pontuações de sulfeto.
 Radiação - 40 a 50 cps
 Unidade Estrat. Granito Juruena

TECTÓNICA
 Att. da Cam.
 Att. da Xist.
 Att. do Lta.
 Frat.
 Outros

LITOLÓGIA
 Rocha Granito
 Classe Ígnea ácida
 Amostra Sim Não

Paleontológica Sedimentológica Mineralógica Química Petrográfica N.º 38

Caderneta Altitude Localização SB.22-V-C Cad. Ocorrência Ilustração

DADOS GEográficos
 Toponímia Montante do rio Xingu, limite área Projeto.
 Relevo Ondulado
 Vegetação Mata alta às proximidades
 Solo Inexistente

DADOS GEOLÓGICOS
 Afloramento de migmatito, com paleosso ma agmático, localmente nebulítico e/ou flebítico. O neossoma é predominantemente granítico (OA-R-38a e b).
 Radiação (neo e paleo) - em média 45 a 50 cps.
 Radiação (neo) - muito localmente 100 cps
 Unidade Estrat. Complexo Xingu

TECTÓNICA
 Att. da Cam.
 Att. da Xist.
 Att. do Lta.
 Frat.
 Outros

LITOLÓGIA
 Rocha Granito
 Classe Metamórfica
 Amostra Sim Não



DESCRIÇÃO DE AFLORAMENTOS

CPRM

PREF. OA C/C 1757

Paleontológica	Sedimentológica	Mineralógica	Química	Petrográfica	N.º 39a/b
Caderneta	Altitude	Localização	SB.22-V-C		Ilustração

DADOS GEOGRÁFICOS

Toponímia Rio Xingu, mais à jusante 5 km

Relevo Sub-ondulado a ondulado

Vegetação Mata alta às proximidades

Solo Inexistente

TECTÔNICA

Atit. da Cam.

Atit. da Xist.

Atit. do Lin.

Frat. N70°E e N20°W

Outros

DADOS GEOLÓGICOS

Blocos de rocha afanítica, cinza esverdeada com pontuações de sulfeto, possivelmente anfibolítica, moderadamente magnética.

Radiação - 80 à 100 cps

Unidade Estrat. Complexo Xingu

LITOLOGIA

Rocha Anfibolito

Classe Metamórfica

Amostra Sim Não

Paleontológica	Sedimentológica	Mineralógica	Química	Petrográfica	N.º 40
Caderneta	Altitude	Localização	SB.22-V-C		Ilustração

DADOS GEOGRÁFICOS

Toponímia Rio Xingu, 1,5 km mais a jusante

Relevo Ondulado às proximidades

Vegetação Mata alta às proximidades

Solo Inexistente

TECTÔNICA

Atit. da Cam.

Atit. da Xist.

Atit. do Lin.

Frat. N30°W e N60°E

Outros

DADOS GEOLÓGICOS

Lajeiro intensamente fraturado onde se observa porções de vulcânica intermediária (OA-R-40a) e outras menos fraturadas de granito (OA-R-40b).

Radiação (40a) - 60 cps

Radiação (40b) - 90 cps

Unidade Estrat. Formação Iriri/Complexo Xingu

LITOLOGIA

Rocha a) Andesito?
b) Granito

Classe a) Vulcânica intermediária?
b) Metamórfica

Amostra Sim Não



DESCRIÇÃO DE AFLORAMENTOS

CPRM

PREF. OA CIC 1757

Paleontológica Sedimentológica Mineralógica Química Petrográfica N.º 41

Caderneta Altitude Localização SB.22-V-C Cad. Ocorrência Ilustração

DADOS GEográficos

Toponímia Rio Xingu, ainda mais à jusante 5 km

Relevo Ondulado às proximidades

Vegetação Mata alta às proximidades

Solo Inexistente

DADOS GEOLÓGICOS

Rocha afanítica essencialmente silico-
sa (OA-R-41) possivelmente ígnea ácida.
Radiação - 120 a 130 cps

Unidade Estrat. Suite Intrusiva Teles Pires

TECTÓNICA

Att. da Cam.

Att. da Xist.

Att. do Lin.

Frat. N70°E e N20°W

Outros

LITOLÓGICA

Rocha Micro Granito

Classe Ígnea ácida

Amostra Sim Não

Paleontológica Sedimentológica Mineralógica Química Petrográfica N.º 42

Caderneta Altitude Localização SB.22-V-C Cad. Ocorrência Ilustração

DADOS GEográficos

Toponímia Rio Xingu, ainda mais à jusante 4 km

Relevo Ondulado às proximidades

Vegetação Mata alta às proximidades

Solo Inexistente

DADOS GEOLÓGICOS

Lajeiro de rocha vulcânica ácida (OA-R-42a). Próximo a margem lajeiro de micro-granito (OA-R-42b).

Radiação(42a) 130cps (ao ímã não magnética)
Radiação(42b) 130 a 140 cps (ao ímã fracamente magnética).

Unidade Estrat. Formação Iriri/Complexo Xingu

TECTÓNICA

Att. da Cam.

Att. da Xist.

Att. do Lin.

Frat.

Outros

LITOLÓGICA

Rocha a) Riolito
b) Granito

Classe Vulcânica ácida
Metamórfica

Amostra Sim Não



DESCRIÇÃO DE AFLORAMENTOS

CPRM

PREF. OA C/C 1757

Paleontológica	Sedimentológica	Mineralógica	Química	Petrográfica	N.º 43a e b
Caderneta	Altitude	Localização SB.22-V-C	Cad. Ocorrência	Ilustração	

DADOS GEGRÁFICOS

Toponímia Rio Xingu, a jusante da fazenda Belo Horizonte.
 Relevo Ondulado às proximidades
 Vegetação Mata alta nas proximidades
 Solo Inexiste no local

DADOS GEOLÓGICOS

Grandes lajeiros de rocha possivelmente vulcânica ácida, localmente com aspecto granítico, bastante afetados tectonicamente.
 Radiação - 140 cps

Unidade Estrat. Fm. Iriri/Suite Intrusiva Teles Pires

TECTÔNICA

Atit. da Cam.
 Atit. da Xist.
 Atit. do Lin.
 Frat.
 Outros

LITOLOGIA

Rocha a) Riolito?
 b) Granito?
 Classe a) Vulcânica
 b) Sub-vulcânica
 Amostra Sim Não

Paleontológica	Sedimentológica	Mineralógica	Química	Petrográfica	N.º 44a e b
Caderneta	Altitude	Localização SB.22-V-C	Cad. Ocorrência	Ilustração	

DADOS GEGRÁFICOS

Toponímia Rio Xingu, a jusante da fazenda Belo Horizonte.
 Relevo Ondulado às proximidades
 Vegetação
 Solo

DADOS GEOLÓGICOS

Lajeiros com rocha granítica metassomática (44a) e às proximidades arenito mal relacionado localmente conglomerático, e bastante feldspático.
 Radiação - a) 70 cps
 b) 150 cps

Unidade Estrat. Complexo Xingu/Formação Gorotire

TECTÔNICA

Atit. da Cam.
 Atit. da Xist.
 Atit. do Lin.
 Frat. b) N/S
 Outros

LITOLOGIA

Rocha a) Granito
 b) Arenito
 Classe a) Metamórfica
 b) Sedimentar
 Amostra Sim Não



DESCRIÇÃO DE AFLORAMENTOS

CPRM

PREF. OA CIC 1757

Paleontológica Sedimentológica Mineralógica Química Petrográfica N.º 45

Caderneta Altitude Localização SB.22-V-A Cad. Ocorrência Ilustração

DADOS GEOGRÁFICOS

Toponímia .. Margem esquerda do rio Xingu

Relevo ..

Vegetação ..

Solo ..

TECTÓNICA

Atit. da Cam.

Atit. da Xist.

Atit. do Lin.

Frat.

Outros

DADOS GEOLÓGICOS

Morro tipo Pão de Açúcar, com rocha granítica, grosseira, com fenocristais de feldspato potássico.

Radiação - 70 cps
Susceptibilidade Magnética - 7.10^{-3} SIU

Unidade Estrat. **Complexo Xingu**

LITOLOGIA

Rocha Granito

Classe Metamórfica

Amostra Sim Não

Paleontológica Sedimentológica Mineralógica Química Petrográfica N.º 46

Caderneta Altitude Localização SB.22-V-A Cad. Ocorrência Ilustração

DADOS GEOGRÁFICOS

Toponímia .. Rio Xingu

Relevo .. Sub-aplainado nas proximidades

Vegetação .. Mata alta às proximidades

Solo .. Inexiste no local

TECTÓNICA

Atit. da Cam.

Atit. da Xist.

Atit. do Lin.

Frat. .. E/W

Outros

DADOS GEOLÓGICOS

Blocos alinhados aproximadamente E/W com rocha composta de quartzo, feldspato, mica e granada, de aspecto isotrópico.

Unidade Estrat. **Complexo Xingu**

LITOLOGIA

Rocha Kinzigito

Classe Metamórfica

Amostra Sim Não



DESCRIÇÃO DE AFLORAMENTOS

CPRM

PREF. OA C/C 1757

Paleontológica	Sedimentológica	Mineralógica	Química	Petrográfica	N.º 47
Caderneta	Altitude	Localização SB.22-V-A	Cad. Ocorrência	Ilustração	

DADOS GEGRÁFICOS

Toponímia Afluente do rio Xingu da margem direita.

Relevo Sub-aplainado nas proximidades

Vegetação Mata alta às proximidades

Solo Inexiste no local

DADOS GEOLÓGICOS

Afloramento em forma de lajeiro de rocha gnáissica, de composição granítica, e localmente (47b), ígnea básica.

a) Radiação - 120 cps
b) Radiação - 70 cps
Susceptibilidade Magnética - $25 \cdot 10^{-3}$ SIU

Unidade Estrat. Complexo Xingu

TECTÔNICA

Atit. da Cam.

Atit. da Xist.

Atit. do Lin.

Frat.

Outros

LITOLOGIA

Rocha a) Gnaisse
b) Diabásio

Classe a) Metamórfica
b) Ígnea básica

Amostra Sim Não

Paleontológica	Sedimentológica	Mineralógica	Química	Petrográfica	N.º 48a e b
Caderneta	Altitude	Localização SA.22-Y-C	Cad. Ocorrência	Ilustração	

DADOS GEGRÁFICOS

Toponímia Rio Xingu

Relevo Ondulado às proximidades

Vegetação Mata alta

Solo No caminhamento, areno-argiloso

DADOS GEOLÓGICOS

No leito do rio, migmatito com estruturas variadas.

Radiação (48a) - 200 cps (neo) e 60 (paleo)
Susceptibilidade Magnética (48a) - $100 \cdot 10^{-3}$ SIU
Radiação (48b) - 100 cps
Susceptibilidade Magnética (48b) - $30 \cdot 10^{-3}$ SIU

Unidade Estrat. Complexo Xingu

TECTÔNICA

Atit. da Cam.

Atit. da Xist.

Atit. do Lin.

Frat. a) N80°W

Outros

LITOLOGIA

Rocha a) Biotita gnaisse
se.
b) Biot. Gnaisse

Classe Metamórfica

Amostra Sim Não



DESCRIÇÃO DE AFLORAMENTOS

CPRM

PREF. OA CIC 1757

Paleontológica Sedimentológica Mineralógica Química Petrográfica N.º 49

Caderneta Altitude Localização SA.22-Y-C Cad. Ocorrência Ilustração

DADOS GEOGRÁFICOS

Toponímia Rio Xingu

Relevo

Vegetação

Solo

DADOS GEOLÓGICOS

Extenso afloramento de rocha granítica metassomática.

Radiação - 70 a 90 cps
Susceptibilidade Magnética - 2.10^{-3} SIU

Unidade Estrat. Complexo Xingu

TECTÔNICA

Atit. da Cam.

Atit. da Xist.

Atit. do Lta.

Frat. Preferencial NE

Outros

LITOLOGIA

Rocha Granito

Classe Metamórfica

Amostra Sim Não

Paleontológica Sedimentológica Mineralógica Química Petrográfica N.º 50

Caderneta Altitude Localização SA.22-Y-C Cad. Ocorrência Ilustração

DADOS GEOGRÁFICOS

Toponímia Rio Xingu

Relevo

Vegetação

Solo

DADOS GEOLÓGICOS

Lajeiros abaulados de rocha migmatítica, com estruturas variadas, acusando no leucossoma 200 cps e no melanossoma 100 cps.

Susceptibilidade Magnética - 2.10^{-3} SIU

Unidade Estrat. Complexo Xingu

TECTÔNICA

Atit. da Cam.

Atit. da Xist.

Atit. do Lta.

Frat. NE preferencial e NW subordinado

Outros

LITOLOGIA

Rocha Milonito

Classe Metamórfica

Amostra Sim Não



DESCRIÇÃO DE AFLORAMENTOS

CPRM

PREF.
OA

C/C
1757

Paleontológica

Sedimentológica

Mineralógica

Química

Petrográfica

N.
51

Caderneta

Altitude

Localização

Cad. Ocorrência

Ilustração

SA.22-Y-D

DADOS GEGRÁFICOS

Toponímia Rio Xingu

Relevo Ondulado

Vegetação

Solo

TECTÔNICA

Atit. da Cam.

Atit. da Xist.

Atit. do Lin.

Frat. E/NE

Outros

DADOS GEOLÓGICOS

Migmatito com estruturas oftálmicas preferencialmente.

Radiação - 200 cps.

LITOLOGIA

Rocha Biotita/Gnaiss

Classe Metamórfica

Amostra Sim Não

Unidade Estrat.

Complexo Xingu

Paleontológica

Sedimentológica

Mineralógica

Química

Petrográfica

N.
52

Caderneta

Altitude

Localização

Cad. Ocorrência

Ilustração

SA.22-Y-D

DADOS GEGRÁFICOS

Toponímia Rio Xingu

Relevo

Vegetação

Solo

TECTÔNICA

Atit. da Cam.

Atit. da Xist.

Atit. do Lin.

Frat. N60°W

Outros

DADOS GEOLÓGICOS

Afloramento de gnaiss migmatítico, com coleta apenas do material menos afetado pela metassomatose.

LITOLOGIA

Rocha Gnaiss

Classe Metamórfica

Amostra Sim Não

Unidade Estrat.

Complexo Xingu



DESCRIÇÃO DE AFLORAMENTOS

CPRM

PREF.
OA

C/C
1757

Paleontológica

Sedimentológica

Mineralógica

Química

Petrográfica

N.º

53

Caderneta

Altitude

Localização

Cad. Ocorrência

Ilustração

SA.22-Y-D

DADOS GEGRÁFICOS

Toponímia Margem esquerda do rio Xingu

Relevo

Vegetação

Solo

Att. da Cam.

Att. da Xist.

Att. do Lta.

Frat.

Outros

TECTÓNICA

DADOS GEOLÓGICOS

Em encosta de morro, grandes blocos de migmatito com estruturas aquáticas.

Radiação - 90 a 100 cps

Rocha Migmatito

Classe Metamórfica

Amostra Sim Não

LITOLOGIA

Unidade Estrat.

Complexo Xingu

Paleontológica

Sedimentológica

Mineralógica

Química

Petrográfica

N.º

54

Caderneta

Altitude

Localização

Cad. Ocorrência

Ilustração

SA.22-Y-D

DADOS GEGRÁFICOS

Toponímia Afluente da margem direita do rio Xingu

Relevo Montanhoso

Vegetação Mata alta às proximidades

Solo

Att. da Cam.

Att. da Xist.

Att. do Lta.

Frat. N60° W

Outros

TECTÓNICA

DADOS GEOLÓGICOS

Afloramento de rocha granítica, localmente exibindo uma orientação de máficos, sugerindo metamorfismo.

Radiação - 150 a 400 cps

Rocha Granito

Classe Metamórfica

Amostra Sim Não

LITOLOGIA

Unidade Estrat.

Complexo Xingu



DESCRIÇÃO DE AFLORAMENTOS

CPRM

PREP. OA C/C 1757

Paleontológica	Sedimentológica	Mineralógica	Química	Petrográfica	N.º 55
Caderneta	Altitude	Localização	Cad. Ocorrência		Ilustração
		SB.22-V-B			

DADOS GEGRÁFICOS

Toponímia

Relevo Montanhoso às proximidades

Vegetação Mata alta

Solo Inexiste no local

DADOS GEOLÓGICOS

Lajeiro de migmatito com estruturas variadas.

Radiação - 100 a 120 cps

Susceptibilidade Magnética - 9.10^{-3} SIU

Unidade Estrat.

TECTÓNICA

Atit. da Cam.

Atit. da Xist.

Atit. do Lin.

Frat. N30° E

Outros

LITOLOGIA

Rocha Migmatito

Classe Metamórfica

Amostra Sim Não

Paleontológica	Sedimentológica	Mineralógica	Química	Petrográfica	N.º 56
Caderneta	Altitude	Localização	Cad. Ocorrência		Ilustração
		SB.22-V-A			

DADOS GEGRÁFICOS

Toponímia Serra a W do rio Xingu

Relevo Montanhoso

Vegetação Mata alta

Solo Arenoso

DADOS GEOLÓGICOS

No topo e nas meia-encostas, blocos de rocha essencialmente quartzosa, com palhetas de muscovita e rara biotita.

Radiação - 30 cps

Susceptibilidade Magnética - 2.10^{-3} SIU

Unidade Estrat. Grupo Grão Pará

TECTÓNICA

Atit. da Cam.

Atit. da Xist.

Atit. do Lin.

Frat.

Outros

LITOLOGIA

Rocha Quartzito

Classe Metamórfica

Amostra Sim Não



DESCRIÇÃO DE AFLORAMENTOS

CPRM

PREF. OA C/C 1757

Paleontológica Sedimentológica Mineralógica Química Petrográfica N.º 57

Caderneta Altitude Localização SB.22-V-A Cad. Ocorrência Ilustração

DADOS GEográficos
Toponímia Serra a W do rio Xingu
Relevo Montanhoso
Vegetação Mata alta
Solo Arenoso

DADOS GEOLÓGICOS
Grandes blocos de material sílico-ferruginoso, altamente magnético, exibindo localmente um bandeamento bem definido da sílica e ferro.
Radiação - 5 cps
Susceptibilidade Magnética - $150 \cdot 10^{-3}$ SIU
Unidade Estrat. Grupo Grão Pará

TECTÓNICA
Atit. da Cam. $30^\circ / N20^\circ E$
Atit. da Xist.
Atit. do Lin.
Frat.
Outros

LITOLÓGICA
Rocha Itabirito
Classe Metamórfica
Amostra Sim Não

Paleontológica Sedimentológica Mineralógica Química Petrográfica N.º 58a e b

Caderneta Altitude Localização SB.21-X-B Cad. Ocorrência Ilustração

DADOS GEográficos
Toponímia Vicinal sul entre as glebas 21 e 23 - Rodo via Transamazônica
Relevo Ondulado
Vegetação Mata alta
Solo Areno-argiloso

DADOS GEOLÓGICOS
Lajeiro de rocha granítica intensamente fraturada (OA-R-58a). Em pequena elevação blocos de rocha semelhante a anterior com bloco pequeno de matriz mais fina e quartzo bipiramidal (OA-R-58b).
Radiação (58a) - 250 cps
Susceptibilidade Magnética (58a) - $1,5 \cdot 10^{-3}$ SIU
Radiação (58b) - 200 cps
Susceptibilidade Magnética (58b) - $5 \cdot 10^{-3}$ SIU
Unidade Estrat. Suite Intrusiva Teles Pires

TECTÓNICA
Atit. da Cam.
Atit. da Xist.
Atit. do Lin.
Frat. $N30^\circ E$
Outros

LITOLÓGICA
Rocha a) Granito
b) Granito
Classe a) ígnea Ácida
b) ígnea Ácida
Amostra Sim Não



DESCRIÇÃO DE AFLORAMENTOS

CPRM

PREF. OA C/C 1757

Paleontológica Sedimentológica Mineralógica Química Petrográfica N.º 59

Caderneta Altitude Localização SA.21-X-B Cad. Ocorrência Ilustração

DADOS GEOGRÁFICOS
Toponímia Rodovia Transamazônica, leito igarapé Ipi-xuna
Relevo Ondulado
Vegetação Mata alta às proximidades
Solo Inexistente

DADOS GEOLÓGICOS
Blocos de granito semelhante ao da estação 58a.
Radiação - 150 cps
Susceptibilidade Magnética - $1,5 \cdot 10^{-3}$ SIU
Unidade Estrat. Suite Intrusiva Teles Pires

TECTÔNICA
Atit. da Cam.
Atit. da Xist.
Atit. do Lin.
Frat.
Outros

LITOLOGIA
Rocha Granito
Classe Ígnea Ácida
Amostra Sim Não

Paleontológica Sedimentológica Mineralógica Química Petrográfica N.º 60

Caderneta Altitude Localização SB.21-X-B Cad. Ocorrência Ilustração

DADOS GEOGRÁFICOS
Toponímia Rodovia Transamazônica
Relevo Ondulado
Vegetação Mata alta às proximidades
Solo Areno-argiloso

DADOS GEOLÓGICOS
Blocos de rocha granítica semelhante a da estação 58a.
Radiação - 100 cps
Susceptibilidade Magnética - $12 \cdot 10^{-3}$ SIU
Unidade Estrat. Suite Intrusiva Teles Pires

TECTÔNICA
Atit. da Cam.
Atit. da Xist.
Atit. do Lin.
Frat.
Outros

LITOLOGIA
Rocha Granito
Classe Ígnea Ácida
Amostra Sim Não



DESCRIÇÃO DE AFLORAMENTOS

CPRM

PREF. OA C/C 1757

Paleontológica	Sedimentológica	Mineralógica	Química	Petrográfica	N.º 61
----------------	-----------------	--------------	---------	--------------	--------

Caderneta	Altitude	Localização SB.21-X-B	Cad. Ocorrência	Ilustração
-----------	----------	-----------------------	-----------------	------------

DADOS GEGRÁFICOS

Toponímia Rodovia Transamazônica

Relevo Ondulado

Vegetação Mata alta às proximidades

Solo Argilo-arenoso

DADOS GEOLÓGICOS

Corte de estrada com material granítico caulinizado, recoberto por arenito friável, conglomerático na base, passando a síltico no topo (OA-R-61a). Sobrejacente, folhelho negro, ferruginoso no contato (OA-R-61b).

Radiação (61a) - 100 a 150 cps
 Radiação (61b) - 100 a 130 cps
 Susceptibilidade Magnética - $6 \cdot 10^{-3}$ SIU

Unidade Estrat. Formação Trombetas

TECTÔNICA

Atit. da Cam.

Atit. da Xist.

Atit. do Lin.

Frat. N30° E (folhelho)

Outros

LITOLOGIA

Rocha: a) Arenito
b) Folhelho

Classe a e b) Sedimentar

Amostra Sim Não

Paleontológica	Sedimentológica	Mineralógica	Química	Petrográfica	N.º 62
----------------	-----------------	--------------	---------	--------------	--------

Caderneta	Altitude	Localização SB.21-X-B	Cad. Ocorrência	Ilustração
-----------	----------	-----------------------	-----------------	------------

DADOS GEGRÁFICOS

Toponímia Rodovia Transamazônica

Relevo Ondulado

Vegetação Mata alta às proximidades

Solo Inexistente

DADOS GEOLÓGICOS

Lajeiro em grotta, de rocha de matriz fina potássica, coloração rosada, intensamente fraturada e preenchida por vênulas de quartzo, possivelmente vulcânica ácida.

Radiação - 130 a 140 cps

Unidade Estrat. Formação Iriri

TECTÔNICA

Atit. da Cam.

Atit. da Xist.

Atit. do Lin.

Frat. N70° E; N80° E;
N20° E

Outros

LITOLOGIA

Rocha Riolito

Classe Vulcânica Ácida

Amostra Sim Não



DESCRIÇÃO DE AFLORAMENTOS

CPRM

PREF. OA C/C 1757

Paleontológica	Sedimentológica	Mineralógica	Química	Petrográfica	N.º 63
Caderneta	Altitude	Localização	Cad. Ocorrência	Ilustração	
		SB.21-X-B			

DADOS GEográficos

Toponímia Rodovia Transamazônica
 Relevo Ondulado
 Vegetação Mata alta às proximidades
 Solo Areno-argiloso

DADOS GEOLÓGICOS

Blocos de rocha possivelmente vulcânica ácida (OA-R-63)
 Radiação - 100 cps
 Susceptibilidade Magnética - $10 \cdot 10^{-3}$ SIU
 e localmente Susceptibilidade Magnética $20 \cdot 10^{-3}$ SIU

Unidade Estrat. Formação Iriri

TECTÓNICA

Atit. da Cam.
 Atit. da Xist.
 Atit. do Lin.
 Frat.
 Outros

LITOLÓGICA

Rocha Riolito
 Classe Vulcânica Ácida
 Amostra Sim Não

Paleontológica	Sedimentológica	Mineralógica	Química	Petrográfica	N.º 64
Caderneta	Altitude	Localização	Cad. Ocorrência	Ilustração	
		SB.21-X-B			

DADOS GEográficos

Toponímia Rodovia Transamazônica
 Relevo Suavemente ondulado
 Vegetação Mata alta às proximidades
 Solo Areno-argiloso

DADOS GEOLÓGICOS

Corte de estrada exibindo arenito friável com estratificação cruzada 17° p/ $N60^\circ$ E (Est. OA-69 do PROSAC).
 Radiação - 30 cps

Unidade Estrat. Formação Maecuru

TECTÓNICA

Atit. da Cam.
 Atit. da Xist.
 Atit. do Lin.
 Frat.
 Outros

LITOLÓGICA

Rocha Arenito
 Classe Sedimentar
 Amostra Sim Não



DESCRIÇÃO DE AFLORAMENTOS

CPRM

PREF. OA CIC 1757

Paleontológica	Sedimentológica	Mineralógica	Química	Petrográfica	N.º 65
Caderneta	Altitude	Localização	Cad. Ocorrência	Ilustração	
		SB.21-X-B			

DADOS GEOGRÁFICOS

Toponímia Rodovia Transamazônica

Relevo Suavemente ondulado

Vegetação Mata alta às proximidades

Solo Argilo-arenoso

DADOS GEOLÓGICOS

Corte de estrada exibindo folhelho cinza plúmbeo (Est. OA-71 do PROSAC) com níveis ferruginosos areníticos.

Radiação - 100 cps

Unidade Estrat. Formação Trombetas

TECTÔNICA

Atit. da Cam.

Atit. da Xist.

Atit. do Lin.

Frat.

Outros

LITOLOGIA

Rocha Folhelho

Classe Sedimentar

Amostra Sim Não

Paleontológica	Sedimentológica	Mineralógica	Química	Petrográfica	N.º 66
Caderneta	Altitude	Localização	Cad. Ocorrência	Ilustração	
		SB.21-X-B			

DADOS GEOGRÁFICOS

Toponímia Rodovia Transamazônica

Relevo Suavemente ondulado

Vegetação Mata alta às proximidades

Solo Areno-argiloso

DADOS GEOLÓGICOS

Corte de estrada com arenito síltico, localmente fossilífero com "artrophycus halani" (Est. OA-75 do PROSAC).

Radiação - 50 - 60 cps

Unidade Estrat. Formação Maecuru

TECTÔNICA

Atit. da Cam. 8º p/E

Atit. da Xist.

Atit. do Lin.

Frat.

Outros

LITOLOGIA

Rocha Arenito

Classe Sedimentar

Amostra Sim Não



DESCRIÇÃO DE AFLORAMENTOS

CPRM

PREF. OA C/C 1757

Paleontológica	Sedimentológica	Mineralógica	Química	Petrográfica	N.º 67
Caderneta	Altitude	Localização	Cad. Ocorrência		Ilustração
		SB.21-X-B			

DADOS GEGRÁFICOS

Toponímia Rodovia Transamazônica

Relevo Suavemente ondulado

Vegetação Mata alta às proximidades

Solo Argilo-arenoso às proximidades

DADOS GEOLÓGICOS

Blocos de rocha afanítica escura, provavelmente vulcânica de natureza ácida com alguma pontuação de sulfeto.

Radiação - 100 cps

Susceptibilidade Magnética - $25 \cdot 10^{-3}$ SIU

Unidade Estrat. Formação Iriri

TECTÔNICA

Atit. da Cam.

Atit. da Xist.

Atit. do Lin.

Frat.

Outros

LITOLOGIA

Rocha Dacito

Classe Vulcânica Ácida

Amostra Sim Não

Paleontológica	Sedimentológica	Mineralógica	Química	Petrográfica	N.º 68a e b
Caderneta	Altitude	Localização	Cad. Ocorrência		Ilustração
		SB.21-X-B			

DADOS GEGRÁFICOS

Toponímia Rodovia Transamazônica

Relevo Suavemente ondulado

Vegetação Mata alta

Solo Argilo-arenoso

DADOS GEOLÓGICOS

No final da seção, blocos de arenito ferruginoso (68a), e a 600m do final, rocha afanítica escura, provavelmente vulcânica (68b). *Seção geofísica completa com cintilômetro, kappa meter e magnetômetro.

Unidade Estrat. Formação Trombetas/Formação Iriri

TECTÔNICA

Atit. da Cam.

Atit. da Xist.

Atit. do Lin.

Frat.

Outros

LITOLOGIA

Rocha a) Arenito
b) Riolito

Classe a) Sedimentar.
b) Vulcânica Ácida

Amostra Sim Não



DESCRIÇÃO DE AFLORAMENTOS

CPRM

PREP. OA C/C 1757

Paleontológica	Sedimentológica	Mineralógica	Química	Petrográfica	N.º 69
Caderneta	Altitude	Localização		Cad. Ocorrência	Ilustração
		SB.21-X-B			

DADOS GEGRÁFICOS

Toponímia Rodovia Transamazônica

Relevo Suavemente ondulado

Vegetação Mata alta às proximidades

Solo Areno-argiloso

DADOS GEOLÓGICOS

Blocos de rocha granítica (69a) e de rocha vulcânica, provavelmente dacítica (69b) sem controle definido.

a) Radiação - 120 cps
Susceptibilidade Magnética - $15 \cdot 10^{-3}$ SIU

b) Radiação - 35 cps
Susceptibilidade Magnética - $17,5 \cdot 10^{-3}$ SIU

Unidade Estrat. Suite Intrusiva Teles Pires/Fm. Iriri

TECTÔNICA

Atit. da Cam.

Atit. da Xist.

Atit. do Lit.

Frat.

Outros

LITOLOGIA

Rocha a) Granito
b) Dacito

Classe a) Ígnea Ácida
b) Vulcânica Ácida

Amostra Sim Não

Paleontológica	Sedimentológica	Mineralógica	Química	Petrográfica	N.º 70
Caderneta	Altitude	Localização		Cad. Ocorrência	Ilustração
		SB.21-X-B			

DADOS GEGRÁFICOS

Toponímia Rodovia Transamazônica

Relevo Ondulado

Vegetação Mata alta às proximidades

Solo Argiloso

DADOS GEOLÓGICOS

Corte de estrada expando folhelho alterado (a) em contato com material alterado argiloso, provavelmente do Uatumã (b)

Radiação - 100 cps (ambos)
Susceptibilidade Magnética - $8 \cdot 10^{-3}$ SIU (Uatumã)

Unidade Estrat. Fm. Trombetas/Suite Intrusiva Teles Pires

TECTÔNICA

Atit. da Cam.

Atit. da Xist.

Atit. do Lit.

Frat.

Outros

LITOLOGIA

Rocha a) Folhelho
b) Granito

Classe a) Sedimentar
b) Ígnea Ácida

Amostra Sim Não



DESCRIÇÃO DE AFLORAMENTOS

CPRM

PREF. OA C/C 1757

Paleontológica	Sedimentológica	Mineralógica	Química	Petrográfica	N.º 71
Caderneta	Altitude	Localização SB.21-X-B	Cad. Ocorrência	Ilustração	

DADOS GEOGRÁFICOS

Toponímia Rodovia Transamazônica, leito igarapé
Quarupe

Relevo Ondulado

Vegetação Mata alta às proximidades

Solo Areno-argiloso

DADOS GEOLÓGICOS

Blocos de rocha cinza, grã-fina a média, localmente afanítica, apresentando muito localmente enriquecimento potássico (OA-R-71).

Radiação - 90 cps

Susceptibilidade Magnética - $22,5 \cdot 10^{-3}$ SIU

Unidade Estrat. Formação Iriri

TECTÔNICA

Atit. da Cam.

Atit. da Xist.

Atit. do Lin.

Frat.

Outros

LITOLOGIA

Rocha Dacito

Classe Vulcânica Ácida

Amostra Sim Não

Paleontológica	Sedimentológica	Mineralógica	Química	Petrográfica	N.º 72
Caderneta	Altitude	Localização SB.21-X-B	Cad. Ocorrência	Ilustração	

DADOS GEOGRÁFICOS

Toponímia Rodovia Transamazônica

Relevo Ondulado

Vegetação Mata alta às proximidades

Solo Areno-argiloso

DADOS GEOLÓGICOS

Blocos gigantesco de rocha potássica granítica, grã grosseira a pegmatóide.

Radiação - 160 cps

Unidade Estrat. Suite Intrusiva Teles Pires

TECTÔNICA

Atit. da Cam.

Atit. da Xist.

Atit. do Lin.

Frat.

Outros

LITOLOGIA

Rocha Granito

Classe ígnea Ácida

Amostra Sim Não



DESCRIÇÃO DE AFLORAMENTOS

CPRM

PREF.
OA

C/C
1757

Paleontológica

Sedimentológica

Mineralógica

Química

Petrográfica

N.º
73

Caderneta

Altitude

Localização

Cad. Ocorrência

Ilustração

SB.21-X-B

DADOS GEGRÁFICOS

Toponímia Rodovia Transamazônica

Relevo Suavemente ondulado

Vegetação Mata alta às proximidades

Solo Areno-argiloso

TECTÔNICA

Atit. da Cam.

Atit. da Xist.

Atit. do Lin.

Frat.

Outros

DADOS GEOLÓGICOS

Blocos de arenito fino a síltico, friável, provavelmente relacionado à base da bacia.

Radiação - 40 cps

Unidade Estrat. Formação Trombetas

LITOLOGIA

Rocha Arenito

Classe Sedimentar

Amostra Sim Não

Paleontológica

Sedimentológica

Mineralógica

Química

Petrográfica

N.º
74a

Caderneta

Altitude

Localização

Cad. Ocorrência

Ilustração

SB.21-X-B

DADOS GEGRÁFICOS

Toponímia Rodovia Transamazônica

Relevo Montanhoso

Vegetação Mata alta

Solo Areno-argiloso

TECTÔNICA

Atit. da Cam.

Atit. da Xist.

Atit. do Lin.

Frat.

Outros

DADOS GEOLÓGICOS

A 1,4 km da margem da estrada (início da seção geofísica de retorno) ocorrência generalizada de arenito ferruginoso bem consolidado e algo feldspático.

Radiação - 50 cps

Susceptibilidade Magnética - $1,5 \cdot 10^{-3}$ SIU

* Ver fichas de geofísica

Unidade Estrat. Formação Curuá

LITOLOGIA

Rocha Arenito

Classe Sedimentar

Amostra Sim Não



DESCRIÇÃO DE AFLORAMENTOS

CPRM

PREF. OA. CIC 1757

Paleontológica	Sedimentológica	Mineralógica	Química	Petrográfica	N.º 75
Caderneta	Altitude	Localização SB.21-X-B		Cad. Ocorrência	Ilustração

DADOS GEGRÁFICOS

Toponímia Rodovia Transamazônica

Relevo Ondulado

Vegetação Mata alta

Solo Argilo-arenoso

TECTÔNICA

Atit. da Cam. 5° p/NE

Atit. da Xist.

Atit. do Lin.

Frat.

Outros

DADOS GEOLÓGICOS

Em corte de estrada, folhelho cinza plúmbeo intercalado com siltito ferruginoso em vários níveis.

Folhelho: Radiação - 125 cps

Siltito : Radiação - 80 cps

Susceptibilidade Magnética - $1,2 \cdot 10^{-3}$ SIU

Unidade Estrat. Formação Curuá

LITOLOGIA

Rocha Folhelho
Siltito

Classe Sedimentar

Amostra Sim Não

Paleontológica	Sedimentológica	Mineralógica	Química	Petrográfica	N.º 76
Caderneta	Altitude	Localização SE.21-X-B		Cad. Ocorrência	Ilustração

DADOS GEGRÁFICOS

Toponímia Rodovia Transamazônica

Relevo Sub-ondulado

Vegetação Mata alta às proximidades

Solo Argilo-arenoso

TECTÔNICA

Atit. da Cam.

Atit. da Xist.

Atit. do Lin.

Frat.

Outros

DADOS GEOLÓGICOS

Exposição de arenito ferruginoso intercalado com folhelho alterado, cinza arroxeadado e apresentando enriquecimento ferruginoso concêntrico local (OA-R-76).

Arenito: Radiação - 45 a 50 cps e

Susceptibilidade Magnética - $5 \cdot 10^{-3}$ SIU

Folhelho: Radiação - 90 cps e

Susceptibilidade Magnética - $0,6 \cdot 10^{-3}$ SIU

Enriquecimento: Radiação - 50 cps e

Susceptibilidade Magnética - $8 \cdot 10^{-3}$ SIU

Unidade Estrat. Formação Curuá

LITOLOGIA

Rocha a) Arenito
b) Folhelho

Classe a) Sedimentar
b) "

Amostra Sim Não



DESCRIÇÃO DE AFLORAMENTOS

CPRM

PREF. OA C/C 1757

Paleontológica	Sedimentológica	Mineralógica	Química	Petrográfica	N.º 77
Caderneta	Altitude	Localização	Cad. Ocorrência		Ilustração
		SB.21-X-B			

DADOS GEOGRÁFICOS

Toponímia Rodovia Transamazônica

Relevo Sub-ondulado

Vegetação Mata alta às proximidades

Solo Areno-argiloso

DADOS GEOLÓGICOS

Blocos de arenito ferruginoso semelhante ao da estação 74. Inferior a este há folhelho alterado

Arenito: - Radiação - 70 cps
Susceptibilidade Magnética - $2,5 \cdot 10^{-3}$ SIU

Folhelho: Radiação - 120 a 130 cps

Unidade Estrat. Formação Curuá

TECTÔNICA

Atit. da Cam.

Atit. da Xist.

Atit. do Lin.

Frat.

Outros

LITOLOGIA

Rocha a) Arenito
b) Folhelho

Classe a) Sedimentar
b) "

Amostra Sim Não

Paleontológica	Sedimentológica	Mineralógica	Química	Petrográfica	N.º 78
Caderneta	Altitude	Localização	Cad. Ocorrência		Ilustração
		SA.21-Z-D			

DADOS GEOGRÁFICOS

Toponímia Rodovia Transamazônica

Relevo Sub-ondulado

Vegetação Mata alta às proximidades

Solo Areno-argiloso

DADOS GEOLÓGICOS

Corte de estrada com arenito friável estratificado, grã média a fina, algo feldspático e ferruginoso. Em contato inferior, folhelho alterado, no contato arenito siltico con crecionário.

Arenito: Radiação - 30 cps
Folhelho: Radiação - 100 cps

Unidade Estrat. Formação Curuá

TECTÔNICA

Atit. da Cam.

Atit. da Xist.

Atit. do Lin.

Frat.

Outros

LITOLOGIA

Rocha a) Arenito
b) Folhelho

Classe a) Sedimentar
b) "

Amostra Sim Não



DESCRIÇÃO DE AFLORAMENTOS

CPRM

PREF.
OA

C/C
1757

Paleontológica

Sedimentológica

Mineralógica

Química

Petrográfica

N.º
79

Caderneta

Altitude

Localização

Cad. Ocorrência

Ilustração

SA.21-Z-D

DADOS GEOGRÁFICOS

Toponímia Rodovia Transamazônica

Relevo Suavemente ondulado

Vegetação Mata alta

Solo Areno-argiloso

TECTÔNICA

Atit. da Cam.

Atit. da Xist.

Atit. do Lin.

Frat.

Outros

DADOS GEOLÓGICOS

Sem afloramento, apenas foi feito levantamento cintilométrico para checar anomalia radiométrica. Ver ficha padrão.

Unidade Estrat.

LITOLOGIA

Rocha

Classe

Amostra Sim Não

Paleontológica

Sedimentológica

Mineralógica

Química

Petrográfica

N.º
80

Caderneta

Altitude

Localização

Cad. Ocorrência

Ilustração

SA.21-Z-D

DADOS GEOGRÁFICOS

Toponímia Rodovia Transamazônica

Relevo Sub-ondulado

Vegetação Mata alta às proximidades

Solo Argiloso

TECTÔNICA

Atit. da Cam.

Atit. da Xist.

Atit. do Lin.

Frat.

Outros

DADOS GEOLÓGICOS

Blocos de rocha básica (OA-R-80)

Radiação - 15 a 20 cps

Susceptibilidade Magnética - $25 \cdot 10^{-3}$ SIU

Unidade Estrat. Diabásio Penetecaua

LITOLOGIA

Rocha Diabásio

Classe Ígnea Básica

Amostra Sim Não



DESCRIÇÃO DE AFLORAMENTOS

CPRM

PREF. OA C/C 1757

Paleontológica	Sedimentológica	Mineralógica	Química	Petrográfica	N.º 81
Caderneta	Altitude	Localização		Cad. Ocorrência	Ilustração
		SA.21-Z-D			

DADOS GEOGRÁFICOS

Toponímia Rodovia Transamazônica

Relevo Sub-ondulado

Vegetação Mata alta às proximidades

Solo Argiloso

TECTÔNICA

Atit. da Cam.

Atit. da Xist.

Atit. do Lin.

Frat.

Outros

DADOS GEOLÓGICOS

Blocos de rocha vulcânica básica, seme-
lhante a da estação 80. Início levantamento mag-
netométrico ao longo da estrada. Ver ficha pa-
drão.

Unidade Estrat. DIABÁSIO PENETECAUA

LITOLOGIA

Rocha Diabásio

Classe Ígnea Básica

Amostra Sim Não

Paleontológica	Sedimentológica	Mineralógica	Química	Petrográfica	N.º 82
Caderneta	Altitude	Localização		Cad. Ocorrência	Ilustração
		SA.21-Z-D			

DADOS GEOGRÁFICOS

Toponímia Rodovia Transamazônica

Relevo Suavemente ondulado

Vegetação Mata alta

Solo Argilo-arenoso

TECTÔNICA

Atit. da Cam.

Atit. da Xist.

Atit. do Lin.

Frat.

Outros

DADOS GEOLÓGICOS

Corte de estrada exibindo folhelho cin-
za com níveis negros. Superior a ele há blocos
esparsos de diabásio.

Folhelho: Radiação - 60 a 70 cps

Unidade Estrat. Formação Curuá/Diabásio Penetecaua

LITOLOGIA

Rocha Folhelho
Diabásio

Classe Sedimentar
Ígnea Básica

Amostra Sim Não



DESCRIÇÃO DE AFLORAMENTOS

CPRM

PREF. 0A C/C 1757

Paleontológica Sedimentológica Mineralógica Química Petrográfica N.º 83

Caderneta Altitude Localização SA.21-Z-D Cad. Ocorrência Ilustração

DADOS GEOGRÁFICOS
 Toponímia 6,2 km para sul na Rodovia Transamazônica
 Relevo Suavemente ondulado
 Vegetação Mata alta
 Solo Areno-argiloso

DADOS GEOLÓGICOS
 Sem afloramentos, apenas feito levantamento cintilométrico para checar anomalia ra diométrica. Ver ficha padrão.
 Unidade Estrat.

TECTÔNICA
 Atit. da Cam.
 Atit. da Xist.
 Atit. do Lin.
 Frat.
 Outros

LITOLOGIA
 Rocha
 Classe
 Amostra Sim Não

Paleontológica Sedimentológica Mineralógica Química Petrográfica N.º 84

Caderneta Altitude Localização SA.21-Z-D Cad. Ocorrência Ilustração

DADOS GEOGRÁFICOS
 Toponímia Rodovia Transamazônica entre as glebas 57 e 59.
 Relevo Suavemente ondulado
 Vegetação Mata alta
 Solo Argilo-arenoso

DADOS GEOLÓGICOS
 Sem afloramentos, apenas feito levantamento cintilométrico para checar anomalia ra diométrica. Ver ficha padrão.
 Unidade Estrat.

TECTÔNICA
 Atit. da Cam.
 Atit. da Xist.
 Atit. do Lin.
 Frat.
 Outros

LITOLOGIA
 Rocha
 Classe
 Amostra Sim Não



DESCRIÇÃO DE AFLORAMENTOS

CPRM

PREF. OA C/C 1757

Paleontológica	Sedimentológica	Mineralógica	Química	Petrográfica	N.º 85
Caderneta	Altitude	Localização SA.21-Z-D	Cad. Ocorrência	Ilustração	

DADOS GEOGRÁFICOS

Toponímia Rodovia Transamazônica, vicinal entre as glebas 90 e 88

Relevo Ondulado

Vegetação Mata alta às proximidades

Solo Argilo-arenoso

DADOS GEOLÓGICOS

Blocos de diabásio em suave elevação.
 Radiação - 25 cps
 Susceptibilidade Magnética - $30 \cdot 10^{-3}$ SIU

Seção geofísica completa com cintilômetro, kappameter e magnetômetro, até a unidade sedimentar. Ver ficha padrão.

Unidade Estrat. Diabásio Penetecaua

TECTÔNICA

Atit. da Cam.

Atit. da Xist.

Atit. do Lit.

Frat.

Outros

LITOLOGIA

Rocha Diabásio

Classe Ígnea Básica

Amostra Sim Não

Paleontológica	Sedimentológica	Mineralógica	Química	Petrográfica	N.º 86
Caderneta	Altitude	Localização SA.21-Z-D	Cad. Ocorrência	Ilustração	

DADOS GEOGRÁFICOS

Toponímia Rodovia Transamazônica

Relevo Ondulado

Vegetação Mata alta às proximidades

Solo Argilo-arenoso

DADOS GEOLÓGICOS

Exposição de folhelho alterado, com níveis acinzentados e/ou amarelados.
 Radiação - 80 cps

Unidade Estrat. Formação Curuá

TECTÔNICA

Atit. da Cam.

Atit. da Xist.

Atit. do Lit.

Frat.

Outros

LITOLOGIA

Rocha Folhelho

Classe Sedimentar

Amostra Sim Não



DESCRIÇÃO DE AFLORAMENTOS

CPRM

PREP. OA C/C 1757

Paleontológica Sedimentológica Mineralógica Química Petrográfica

Caderneta Altitude Localização SA.21-Z-D Cad. Ocorrência Ilustração

DADOS GEográficos

Toponímia Rodovia Transamazônica
 Relevo Ondulado
 Vegetação Mata alta às proximidades
 Solo Argilo-arenoso

TECTÓNICA

Atit. da Cam.
 Atit. da Xist.
 Atit. do Lín.
 Frat.
 Outros

DADOS GEOLÓGICOS

Blocos de rocha sedimentar síltico-argilosa, altamente calcífera de cor cinza.
 Radiação - 70 cps
 Susceptibilidade Magnética - $3 \cdot 10^{-3}$ SIU

LITOLÓGICA

Rocha Marga
 Classe Sedimentar
 Amostra Sim Não

Paleontológica Sedimentológica Mineralógica Química Petrográfica

Caderneta Altitude Localização SA.21-Z-D Cad. Ocorrência Ilustração

DADOS GEográficos

Toponímia Rodovia Transamazônica
 Relevo Ondulado
 Vegetação Mata alta às proximidades
 Solo Argilo-arenoso

TECTÓNICA

Atit. da Cam.
 Atit. da Xist.
 Atit. do Lín.
 Frat.
 Outros

DADOS GEOLÓGICOS

Corte de estrada expando rocha calcífera semelhante a OA-R-87, e inferior a ela há folhelho cinza plúmbeo esverdeado, localmente bastante alterado.
 Folhelho: Radiação - 100 a 120 cps.

LITOLÓGICA

Rocha Folhelho
 Classe Sedimentar
 Amostra Sim Não



DESCRIÇÃO DE AFLORAMENTOS

CPRM

PREF.
OA

C/C
1757

Paleontológica

Sedimentológica

Mineralógica

Química

Petrográfica

N.º
89

Caderneta

Altitude

Localização

Cad. Ocorrência

Ilustração

SA.21-Z-D

DADOS GEOGRÁFICOS

Toponímia Rodovia Transamazônica km 220, 4 km para norte.

Relevo Ondulado

Vegetação Mata alta às proximidades

Solo Argilo-arenoso

TECTÔNICA

Atit. da Cam.

Atit. da Xist.

Atit. do Lin.

Frat.

Outros

DADOS GEOLÓGICOS

Sem afloramento, apenas perfil radiométrico para checar anomalia.

LITOLOGIA

Rocha

Classe

Amostra Sim Não

Unidade Estrat.

Paleontológica

Sedimentológica

Mineralógica

Química

Petrográfica

N.º
90

Caderneta

Altitude

Localização

Cad. Ocorrência

Ilustração

SB.21-X-C

DADOS GEOGRÁFICOS

Toponímia Rio Aruri, margem esquerda

Relevo Ondulado

Vegetação Mata alta

Solo Argilo-arenoso

TECTÔNICA

Atit. da Cam.

Atit. da Xist.

Atit. do Lin.

Frat.

Outros

DADOS GEOLÓGICOS

No barranco do rio, blocos de rocha bastante tectonizada, microcristalina, potássica, com vênulas silicosas.

Radiação - 50 a 60 cps.

LITOLOGIA

Rocha Arenito

Classe Sedimentar

Amostra Sim Não

Unidade Estrat.

Formação Cubencranquem



DESCRIÇÃO DE AFLORAMENTOS

CPRM

PREF. OA	CIC 1757
-------------	-------------

Paleontológica	Sedimentológica	Mineralógica	Química	Petrográfica	N.º 91
				X	
Caderneta	Altitude	Localização		Cad. Ocorrência	Ilustração
		SB.21-X-C			

DADOS GEográficos

Toponímia Rodovia Santarém/Cuiabá, a 10 km. da ponte sobre o rio Aruri, para norte

Relevo Montanhoso

Vegetação No local roçado e mata alta às proximidades

Solo Argilo-arenoso

TECTÔNICA

Atit. da Cam.

Atit. da Xist.

Atit. do Lin.

Frat.

Outros

DADOS GEOLÓGICOS

Blocos de rocha leucocrática de granulação média e composição granítica.

Radiação - 80 cps

Susceptibilidade Magnética - $7,5 \cdot 10^{-3}$ SIU

Unidade Estrat. Suite Intrusiva Teles Pires

LITOLOGIA

Rocha Granito

Classe Ígnea Ácida

Amostra Sim Não

Paleontológica	Sedimentológica	Mineralógica	Química	Petrográfica	N.º 92
Caderneta	Altitude	Localização		Cad. Ocorrência	Ilustração
		SB.21-X-C			

DADOS GEográficos

Toponímia Rodovia Santarém/Cuiabá a 5 km da ponte sobre o rio Aruri para norte

Relevo Montanhoso

Vegetação No local roçado e mata alta às proximidades

Solo Argiloso

TECTÔNICA

Atit. da Cam.

Atit. da Xist.

Atit. do Lin.

Frat.

Outros

DADOS GEOLÓGICOS

Fragmentos de rocha cinza de aspecto an desítico 82a, e inferior cinza microcristalina, possivelmente tratando-se de um dacito.

b) Radiação - 80 cps

Susceptibilidade Magnética - $50 \cdot 10^{-3}$ SIU

Unidade Estrat. Formação Iriri

LITOLOGIA

Rocha a) Andesito
b) Dacito

Classe Vulcânica
a) Intermediária
b) Ácida

Amostra Sim Não



DESCRIÇÃO DE AFLORAMENTOS

CPRM

PREP. OA C/C 1757

Paleontológica	Sedimentológica	Mineralógica	Química	Petrográfica	N.º 93
Caderneta	Altitude	Localização		Cad. Ocorrência	Ilustração
		SB. 21-X-C			

DADOS GEOGRÁFICOS

Toponímia Rodovia Santarém/Cuiabá, a 2 km da ponte sobre o rio Aruri para norte

Relevo Montanhoso

Vegetação Mata alta às proximidades

Solo Argiloso

TECTÔNICA

Att. da Cam.

Att. da Xist.

Att. do Lin.

Frat.

Outros

DADOS GEOLÓGICOS

Em corte de estrada, inúmeros blocos de rocha milonitizada, altamente potássica.

Radiação - 90 cps

Susceptibilidade Magnética - 2.10^{-3} SIU

Unidade Estrat. Formação Iriri

LITOLOGIA

Rocha Milonito

Classe Vulcânica Cataclástica

Amostra Sim Não

Paleontológica	Sedimentológica	Mineralógica	Química	Petrográfica	N.º 94
Caderneta	Altitude	Localização		Cad. Ocorrência	Ilustração
		SB. 21-X-C			

DADOS GEOGRÁFICOS

Toponímia Rodovia Santarém/Cuiabá em picue para S40W 58 km para sul da ponte sobre o rio Aruri

Relevo Ondulado

Vegetação Mata alta

Solo Areno-argiloso

TECTÔNICA

Att. da Cam.

Att. da Xist.

Att. do Lin.

Frat.

Outros

DADOS GEOLÓGICOS

Perfil com rochas vulcânicas ácidas (a e b), sedimentar (c) e básica (d)

Unidade Estrat. Formação Cubencranquem ?

LITOLOGIA

Rocha a) Tufo riolítico
b) Tufo riolítico
c) Arenito
d) Diabasio

Classe a) Vulcânica Ácida
b) " "
c) Sedimentar
d) Ignea básica

Amostra Sim Não



DESCRIÇÃO DE AFLORAMENTOS

CPRM

PREF. OA C/C 1757

Paleontológica	Sedimentológica	Mineralógica	Química	Petrográfica	N.º 95
				X	
Caderneta	Altitude	Localização	Cad. Ocorrência	Ilustração	
		SB. 21-X-C			

DADOS GEGRÁFICOS

Toponímia Rio Jamanxim, margem esquerda

Relevo Montanhoso

Vegetação Mata alta

Solo Argilo-arenoso

DADOS GEOLÓGICOS

Em serra próximo ao rio, blocos de arenito ferruginoso mal selecionado e feldspático.

Radiação - 45 cps

Unidade Estrat. Formação Cubencranquem ?

TECTÔNICA

Atit. da Cam.

Atit. da Xist.

Atit. do Lin.

Frat.

Outros

LITOLOGIA

Rocha Arenito

Classe Sedimentar

Amostra Sim Não

Paleontológica	Sedimentológica	Mineralógica	Química	Petrográfica	N.º 96
Caderneta	Altitude	Localização	Cad. Ocorrência	Ilustração	
		SB. 21-X-C			

DADOS GEGRÁFICOS

Toponímia Rio Jamanxim, margem esquerda, 7 km a jusante da estação anterior.

Relevo Montanhoso

Vegetação Mata alta

Solo Argilo-arenoso

DADOS GEOLÓGICOS

Em serra próximo à margem, há rocha semelhante à anterior.

Radiação - 45 cps

Unidade Estrat. Formação Cubencranquem ?

TECTÔNICA

Atit. da Cam.

Atit. da Xist.

Atit. do Lin.

Frat.

Outros

LITOLOGIA

Rocha Arenito

Classe Sedimentar

Amostra Sim Não



DESCRIÇÃO DE AFLORAMENTOS

CPRM

PREF. OA 1757

Paleontológica	Sedimentológica	Mineralógica	Química	Petrográfica	N.º 97
Caderneta	Altitude	Localização SB.21-X-C		Cad. Ocorrência	Ilustração

DADOS GEGRÁFICOS

Toponímia Rio Jamanxim

Relevo Montanhoso

Vegetação Mata alta

Solo Argilo-arenoso

TECTÔNICA

Att. da Cam.

Att. da Xist.

Att. do Lin.

Frat.

Outros

DADOS GEOLÓGICOS

No leito do rio, laje de vulcânica ácida (97a), e na serra próxima à margem, rocha esverdeada com aspecto milonítico (97b).

a) Radiação - 90 cps

b) Radiação - 75 cps

Susceptibilidade Magnética - $1,4 \cdot 10^{-3}$ SIU

Unidade Estrat. Formação Iriri

LITOLOGIA

Rocha a) Riolito
b) Milonito ?

Classe a) Vulcânica Ácida
b) Cataclástica

Amostra Sim Não

Paleontológica	Sedimentológica	Mineralógica	Química	Petrográfica	N.º 98
Caderneta	Altitude	Localização SB.21-X-C		Cad. Ocorrência	Ilustração

DADOS GEGRÁFICOS

Toponímia Rio Jamanxim, margem direita

Relevo Montanhoso

Vegetação Mata alta

Solo Argilo-arenoso

TECTÔNICA

Att. da Cam.

Att. da Xist.

Att. do Lin.

Frat.

Outros

DADOS GEOLÓGICOS

Próximo à margem, fragmentos de rocha cinza, microcristalina de aspecto vulcânico (97a) e adiante variedades potássicas ácidas de aspecto granítico (97b) e riolítico (97c).

a) Radiação - 50 cps

b) Radiação - 70 cps

Unidade Estrat. a e c) Formação Iriri
b) Suite Intrusiva Teles Pires

LITOLOGIA

Rocha a) Andesito
b) Granito
c) Riolito

Classe b) Ígnea Ácida
a) Vulcânica intermediária
c) Vulcânica Ácida

Amostra Sim Não



DESCRIÇÃO DE AFLORAMENTOS

CPRM

PREF. OA 1757

Paleontológica	Sedimentológica	Mineralógica	Química	Petrográfica	N.º 99
Caderneta	Altitude	Localização	SB. 21-Z-A		Ilustração

DADOS GEGRÁFICOS

Toponímia Rio Novo, margem direita

Relevo Ondulado

Vegetação Mata alta

Solo Argilo-arenoso

DADOS GEOLÓGICOS

Em serra próximo à margem, afloramento a baulado de rocha granítica, clara, de grã média com os máficos sugerindo possível orientação.

Radiação - 75 cps
Susceptibilidade Magnética - $21 \cdot 10^{-3}$ SIU

Unidade Estrat. Complexo Xingu

TECTÔNICA

Atlt. da Cam.

Atlt. da Xist.

Atlt. do Lin.

Frat.

Outros

LITOLOGIA

Rocha Granito

Classe Metamórfica

Amostra Sim Não

Paleontológica	Sedimentológica	Mineralógica	Química	Petrográfica	N.º 100
Caderneta	Altitude	Localização	SB. 21-Z-A		Ilustração

DADOS GEGRÁFICOS

Toponímia Rio Novo, margem direita, 5 km a jusante da estação anterior.

Relevo Montanhoso

Vegetação Mata alta

Solo

DADOS GEOLÓGICOS

Em barranco da margem grandes blocos de rocha granítica, aqui aparentemente mais isotrópica e mais potássica.

Radiação - 70 cps
Susceptibilidade Magnética - $30 \cdot 10^{-3}$ SIU

Unidade Estrat. Granito Juruena

TECTÔNICA

Atlt. da Cam.

Atlt. da Xist.

Atlt. do Lin.

Frat.

Outros

LITOLOGIA

Rocha Granito

Classe Ígnea Ácida

Amostra Sim Não



DESCRIÇÃO DE AFLORAMENTOS

CPRM

PREF. OA
CIC 1757

Paleontológica	Sedimentológica	Mineralógica	Química	Petrográfica	N.º 101
Caderneta	Altitude	Localização	SB. 21-Z-A		Ilustração

DADOS GEGRÁFICOS

Toponímia Rio Novo para jusante da estação anterior, margem esquerda

Relevo

Vegetação

Solo

DADOS GEOLÓGICOS

Lajeiro cataclasado de rocha microcristalina de aspecto vulcânico e composição riolítica.

Radiação - 90 cps
Susceptibilidade Magnética - $13 \cdot 10^{-3}$ SIU

Unidade Estrat. Formação Iriri

TECTÓNICA

Atit. da Cam.

Atit. da Xist.

Atit. do Lin.

Frat. N30°E e N20°W

Outros

LITOLOGIA

Rocha Riolito

Classe Vulcânica Ácida

Amostra Sim Não

Paleontológica	Sedimentológica	Mineralógica	Química	Petrográfica	N.º 102
Caderneta	Altitude	Localização	SB. 21-Z-A		Ilustração

DADOS GEGRÁFICOS

Toponímia Rio Novo, para jusante da estação anterior em pique de 40 m, pela margem direita

Relevo Ondulado

Vegetação Mata alta

Solo Areno-argiloso

DADOS GEOLÓGICOS

Blocos de rocha riolítica cataclástica na encosta de um morro.

Radiação - 75 cps
Susceptibilidade Magnética - $12 \cdot 10^{-3}$ SIU

Unidade Estrat. Formação Iriri

TECTÓNICA

Atit. da Cam.

Atit. da Xist.

Atit. do Lin.

Frat.

Outros

LITOLOGIA

Rocha Riolito

Classe Vulcânica Ácida

Amostra Sim Não



DESCRIÇÃO DE AFLORAMENTOS

CPRM

PREF. OA C/C 1757

Paleontológica	Sedimentológica	Mineralógica	Química	Petrográfica	N.º 103
----------------	-----------------	--------------	---------	--------------	---------

Caderneta	Altitude	Localização	Cad. Ocorrência	Ilustração
		SB. 21-Z-A		

DADOS GEográficos

Toponímia Rodovia Santarém/Cuiabá a 320 km de Itaituba

Relevo Ondulado

Vegetação

Solo

DADOS GEOLÓGICOS

Apenas seção geofísica com magnetômetro e cintilômetro. No perfil não foi observado nada além de fragmentos de laterita, de posicionamento duvidoso.

Unidade Estrat.

TECTÔNICA

Atit. da Cam.

Atit. da Xist.

Atit. do Lin.

Frat.

Outros

LITOLÓGICA

Rocha

Classe

Amostra Sim Não

Paleontológica	Sedimentológica	Mineralógica	Química	Petrográfica	N.º 104
----------------	-----------------	--------------	---------	--------------	---------

Caderneta	Altitude	Localização	Cad. Ocorrência	Ilustração
		SB. 21-X-C		

DADOS GEográficos

Toponímia Rodovia Santarém/Cuiabá a 190 km de Itaituba

Relevo Ondulado

Vegetação

Solo

DADOS GEOLÓGICOS

Grandes blocos em corte de estrada, exibindo rocha básica com pontuações de sulfeto metálico.

Radiação - 50 cps

Susceptibilidade Magnética - $30 \cdot 10^{-3}$ SIU

Unidade Estrat. Diabásio Penetecaua

TECTÔNICA

Atit. da Cam.

Atit. da Xist.

Atit. do Lin.

Frat.

Outros

LITOLÓGICA

Rocha Diabásio

Classe Ígnea Básica

Amostra Sim Não



DESCRIÇÃO DE AFLORAMENTOS

CPRM

PREF.
OA

CIC
1757

Paleontológica

Sedimentológica

Mineralógica

Química

Petrográfica

N.º
105

Caderneta

Altitude

Localização

Cad. Ocorrência

Ilustração

SB.21-X-A

DADOS GEOGRÁFICOS

Toponímia Rodovia Santarém/Cuiabá, a 85 km de Itaituba

Relevo Montanhoso

Vegetação

Solo

TECTÔNICA

Atit. da Cam.

Atit. da Xist.

Atit. do Lin.

Frat.

Outros

DADOS GEOLÓGICOS

Em grande conjunto de serras a rocha é granular isotrópica, de cor rosada e composição granítica.

Radiação - 90 cps

Susceptibilidade Magnética - $10 \cdot 10^{-3}$ SIU

Unidade Estrat. Suite Intrusiva Teles Pires

LITOLOGIA

Rocha Granito

Classe Ígnea Ácida

Amostra Sim Não

Paleontológica

Sedimentológica

Mineralógica

Química

Petrográfica

N.º

Caderneta

Altitude

Localização

Cad. Ocorrência

Ilustração

DADOS GEOGRÁFICOS

Toponímia

Relevo

Vegetação

Solo

TECTÔNICA

Atit. da Cam.

Atit. da Xist.

Atit. do Lin.

Frat.

Outros

DADOS GEOLÓGICOS

Unidade Estrat.

LITOLOGIA

Rocha

Classe

Amostra Sim Não



RM - RUY CÉLIO MARTINS



DESCRIÇÃO DE AFLORAMENTOS

CPRM

PREF. RM C/C 1757

Paleontológica	Sedimentológica	Mineralógica	Química	Petrográfica	N.º 01
Caderneta	Altitude	Localização		Cad. Ocorrência	Ilustração
		SB.22-Y-A			

DADOS GEGRÁFICOS

Toponímia 15 Km a leste do rio Iriri

Relevo Suave no ponto com morros esparsos

Vegetação Mata alta fechada

Solo Arenoso no ponto

DADOS GEOLÓGICOS

Extenso afloramento em lages fraturadas. A rocha encontra-se parcialmente alterada em superfície. Na amostra coletada são visíveis microfaturas, massa feldspática e pequenos leitos silicosos.

- Radiação - 100 cps
- Susceptibilidade Magnética - $13.6 \cdot 10^{-3}$ SIU

Unidade Estrat. Formação Iriri

TECTÔNICA

Atit. da Cam.

Atit. da Xist.

Atit. do Lin.

Frat. N60W

Outros

LITOLOGIA

Rocha Riolito

Classe Vulcânica Ácida

Amostra Sim Não

Paleontológica	Sedimentológica	Mineralógica	Química	Petrográfica	N.º 02
Caderneta	Altitude	Localização		Cad. Ocorrência	Ilustração
		SB.22-Y-A		X	

DADOS GEGRÁFICOS

Toponímia Margem esquerda do igarapé da Bola

Relevo Ondulado

Vegetação Mata alta fechada

Solo Arenoso

DADOS GEOLÓGICOS

O afloramento no ponto forma um travessão no rio, em blocos fraturados. A rocha é semelhante a anterior, porém mais alterada. É atraída pelo imã de mão.

- Radiação - 70 cps
- Susceptibilidade Magnética - $6,8 \cdot 10^{-3}$ SIU

Unidade Estrat. Formação Iriri

TECTÔNICA

Atit. da Cam.

Atit. da Xist.

Atit. do Lin.

Frat. 520W

Outros

LITOLOGIA

Rocha Riolito

Classe Vulcânica Ácida

Amostra Sim Não



DESCRIÇÃO DE AFLORAMENTOS

CPRM

PREF. RM CIC 1757

Paleontológica	Sedimentológica	Mineralógica	Química	Petrográfica	N.º 03
				X	
Caderneta	Altitude	Localização	Cad. Ocorrência	Ilustração	
		SB.22-V-C			

DADOS GEGRÁFICOS

Toponímia A Sudoeste da folha

Relevo Serra

Vegetação Mato cerrado no local

Solo Nenhum no local

TECTÔNICA

Atit. da Cam. N30E/15° NW

Atit. da Xist.

Atit. do Lign.

Frat. N40W

E-W

Outros

DADOS GEOLÓGICOS

O afloramento visitado faz parte de uma serra constituída unicamente de rocha sedimentar. Foi coletado um arenito de granulação fina, de coloração cinza claro, manchado de marron em consequência da penetração de oxido de ferro.

- Radiação - 20 cps
- Susceptibilidade Magnética - $0,8 \cdot 10^{-3}$ SIU

Unidade Estrat. Formação Gorotire

LITOLOGIA

Rocha Arenito

Classe Sedimentar

Amostra Sim Não

Paleontológica	Sedimentológica	Mineralógica	Química	Petrográfica	N.º 04
				X	
Caderneta	Altitude	Localização	Cad. Ocorrência	Ilustração	
		SB.21-X-B			

DADOS GEGRÁFICOS

Toponímia A Sudoeste da folha

Relevo Acidentado

Vegetação Mata alta fechada

Solo Arenoso

TECTÔNICA

Atit. da Cam.

Atit. da Xist.

Atit. do Lign.

Frat.

Outros

DADOS GEOLÓGICOS

Grande lage soltando blocos esparsos. A rocha é maciça isotrópica contendo essencialmente minerais biotíticos, feldspáticos alcalino e potássico. Rocha fortemente atraída pelo imã de mão, podendo, justificar o forte baixo magnético aí existente.

- Radiação - 110 cps
- Susceptibilidade Magnética - $3,8 \cdot 10^{-3}$ SIU

Unidade Estrat. Suite Intrusiva Teles Pires

LITOLOGIA

Rocha Granito

Classe Ignea Ácida

Amostra Sim Não



DESCRIÇÃO DE AFLORAMENTOS

CPRM

PREP. RM C/C 1757

Paleontológica Sedimentológica Mineralógica Química Petrográfica N.º 05

Caderneta Altitude Localização SB.21-X-D Cad. Ocorrência Ilustração

DADOS GEOGRÁFICOS
 Toponímia A nordeste da folha
 Relevo Plano a ondulado
 Vegetação Fechada
 Solo Arenoso

DADOS GEOLÓGICOS
 Em um pequeno morro ocorre rocha escura maciça, com fina capa de alteração. Rocha vulcânica riolítica, atraída pelo imã.
 - Radiação - 70 cps
 - Susceptibilidade Magnética- $5,5 \cdot 10^{-3}$ SIU
 Unidade Estrat. Formação Iriri

TECTÔNICA
 Atit. da Cam.
 Atit. da Xist.
 Atit. do Lin.
 Frat.
 Outros

LITOLOGIA
 Rocha Riolito
 Classe Vulcânica Ácida
 Amostra Sim Não

Paleontológica Sedimentológica Mineralógica Química Petrográfica N.º 07A

Caderneta Altitude Localização SB.21-X-D Cad. Ocorrência Ilustração

DADOS GEOGRÁFICOS
 Toponímia Ao norte da folha
 Relevo Ondulado
 Vegetação Mata alta fechada
 Solo Arenoso

DADOS GEOLÓGICOS
 Afloram blocos (subida de um pequeno morro) de rocha cinza escura, envolvida por uma capa de alteração. Não atraída pelo imã.
 - Radiação 80 cps
 - Susceptibilidade Magnética- $9,2 \cdot 10^{-3}$ SIU
 Unidade Estrat. Formação Iriri

TECTÔNICA
 Atit. da Cam.
 Atit. da Xist.
 Atit. do Lin.
 Frat.
 Outros

LITOLOGIA
 Rocha Riolito
 Classe Vulcânica Ácida
 Amostra Sim Não



DESCRIÇÃO DE AFLORAMENTOS

CPRM

PREF.
RM

C/C
1757

Paleontológica

Sedimentológica

Mineralógica

Química

Petrográfica

N.º
07B

Caderneta

Altitude

Localização

Cad. Ocorrência

Ilustração

SB.21-X-D

DADOS GEOGRÁFICOS

Toponímia Ao norte da folha

Relevo Ondulado

Vegetação Mata alta fechada

Solo

TECTÔNICA

Att. da Cam.

Att. da Xist.

Att. do Lin.

Frat.

Outros

DADOS GEOLÓGICOS

Afloramento em lages e blocos soltos no leito de um igarapé próximo ao anterior. A rocha é mesocrática, maciça, formada por uma massa feldspática e minerais máficos. Rica em pirita e não é atraída pelo imã.

- Radiação - 80 cps
- Susceptibilidade Magnética- $9,2 \cdot 10^{-3}$ SIU

LITOLOGIA

Rocha Riolito Tectonizado

Classe Vulcânica Ácida

Amostra Sim Não

Unidade Estrat.

Formação Iriri

Paleontológica

Sedimentológica

Mineralógica

Química

Petrográfica

N.º
08A

Caderneta

Altitude

Localização

Cad. Ocorrência

Ilustração

SB.21-X-D

DADOS GEOGRÁFICOS

Toponímia Ao norte da folha

Relevo Suave

Vegetação Lateralmente fechada

Solo

TECTÔNICA

Att. da Cam.

Att. da Xist.

Att. do Lin.

Frat.

Outros

DADOS GEOLÓGICOS

Extensa lage (leito de um igarapé) de rocha maciça, mesocrática, constituída de uma massa feldspática e minerais máficos. Não atraída pelo imã.

- Radiação - 120 cps
- Susceptibilidade Magnética- $4,8 \cdot 10^{-3}$ SIU

LITOLOGIA

Rocha Riolito

Classe Vulcânica Ácida

Amostra Sim Não

Unidade Estrat.

Formação Iriri



DESCRIÇÃO DE AFLORAMENTOS

CPRM

PREF. RM C/C 1757

Paleontológica Sedimentológica Mineralógica Química Petrográfica N.º 08B

Caderneta Altitude Localização SB.21-X.D Cad. Ocorrência Ilustração

DADOS GEOGRÁFICOS
Toponímia Ao norte da folha
Relevo Suave
Vegetação Lateralmente fechada
Solo

DADOS GEOLÓGICOS
A amostra coletada pertence ao mesmo afloramento anterior, aparentemente o conteúdo mineralógico é o mesmo, apresentando porém uma massa mais fina, bastante recristalizada, micro fraturada, não atraída pelo imã.
- Radiação - 120 cps
- Susceptibilidade Magnética $4,8 \cdot 10^{-3}$ SIU
Unidade Estrat. Formação Iriri

TECTÔNICA
Atit. da Cam.
Atit. da Xist.
Atit. do Lin.
Frat.
Outros

LITOLOGIA
Rocha Riolito
Classe Vulcânica Ácida
Amostra Sim Não

Paleontológica Sedimentológica Mineralógica Química Petrográfica N.º 09

Caderneta Altitude Localização SB.21-X-D Cad. Ocorrência Ilustração

DADOS GEOGRÁFICOS
Toponímia Igarapé - ao norte da folha
Relevo Suave
Vegetação Lateralmente fechada
Solo

DADOS GEOLÓGICOS
Extenso afloramento em lages de uma rocha maciça, constituída por micro minerais. Fracamente atraída pelo imã de mão.
- Radiação - 140 cps
- Susceptibilidade Magnética $10 \cdot 10^{-3}$ SIU
Unidade Estrat. Formação Iriri

TECTÔNICA
Atit. da Cam.
Atit. da Xist.
Atit. do Lin.
Frat. N10E
N70W
Outros

LITOLOGIA
Rocha Riolito (?)
Classe Vulcânica Ácida
Amostra Sim Não



DESCRIÇÃO DE AFLORAMENTOS

CPRM

PREF. RM

C/C 1757

Paleontológica

Sedimentológica

Mineralógica

Química

Petrográfica

N.º 10

Caderneta

Altitude

Localização

Cad. Ocorrência

Ilustração

SB. 21-X-D

DADOS GEográficos

Toponímia Serra - ao norte da folha

Relevo Montanhoso

Vegetação Mata alta fechada

Solo

TECTÓNICA

Att. da Cam.

Att. da Xist.

Att. do Lin.

Frat.

Outros

DADOS GEOLÓGICOS

Extensos afloramentos de rocha maciça, mesocrática, constituída de micro minerais. Fracamente magnética.

- Radiação - 140 cps
- Susceptibilidade Magnética- $10 \cdot 10^{-3}$ SIU

Unidade Estrat. Formação Iriri

LITOLOGIA

Rocha Riolito

Classe Vulcânica Ácida

Amostra Sim Não

Paleontológica

Sedimentológica

Mineralógica

Química

Petrográfica

N.º 11A

Caderneta

Altitude

Localização

Cad. Ocorrência

Ilustração

SB. 21-Z-B

DADOS GEográficos

Toponímia A noroeste da folha

Relevo Plano

Vegetação Mata alta fechada

Solo Arenoso

TECTÓNICA

Att. da Cam.

Att. da Xist.

Att. do Lin.

Frat. N20W

Outros

DADOS GEOLÓGICOS

Afloramento em lage de rocha evidenciando uma massa feldspática cinza avermelhada e grãos esparsos de quartzo. Rocha atraída pelo imã.

- Radiação - 80 cps
- Susceptibilidade Magnética- $2 \cdot 10^{-3}$ SIU

Unidade Estrat. Formação Iriri

LITOLOGIA

Rocha Riolito

Classe Vulcânica Ácida

Amostra Sim Não



DESCRIÇÃO DE AFLORAMENTOS

CPRM

PREF. RM C/C 1757

Paleontológica Sedimentológica Mineralógica Química Petrográfica N.º 11B

Caderneta Altitude Localização SB.21-Z-B Cad. Ocorrência Ilustração

DADOS GEGRÁFICOS

Toponímia A noroeste da folha
 Relevo Plano
 Vegetação Mata alta fechada
 Solo Arenoso

DADOS GEOLÓGICOS

Afloramento em blocos esparsos a 200 metros do ponto anterior (11A), no rumo 270°. A rocha é cinza, fanerítica, fracamente magnética.
 - Radiação - 60 cps
 Unidade Estrat. Formação Iriri

TECTÔNICA

Atit. da Cam.
 Atit. da Xist.
 Atit. do Lin.
 Frat.
 Outros

LITOLOGIA

Rocha Riolito
 Classe Vulcânica Ácida
 Amostra Sim Não

Paleontológica Sedimentológica Mineralógica Química Petrográfica N.º 12

Caderneta Altitude Localização SB.21-Z-B Cad. Ocorrência Ilustração

DADOS GEGRÁFICOS

Toponímia A noroeste da folha
 Relevo Acidentado
 Vegetação Mata alta fechada
 Solo

DADOS GEOLÓGICOS

Extensa serra expando uma rocha avermelha da constituída de uma massa feldspática embeben do grãos esparsos de quartzo. Não atraída pelo imã.
 - Radiação - 120 cps
 - Susceptibilidade Magnética- $12 \cdot 10^{-3}$ SIU
 Unidade Estrat. Formação Iriri

TECTÔNICA

Atit. da Cam.
 Atit. da Xist.
 Atit. do Lin.
 Frat.
 Outros

LITOLOGIA

Rocha Riolito
 Classe Vulcânica Ácida
 Amostra Sim Não



DESCRIÇÃO DE AFLORAMENTOS

CPRM

PREF. RM C/C 1757

Paleontológica	Sedimentológica	Mineralógica	Química	Petrográfica	N.º
				X	13A
Caderneta	Altitude	Localização		Cad. Ocorrência	Ilustração
		SB.21-Z-B			

DADOS GEOGRÁFICOS

Toponímia A noroeste da folha

Relevo Montanhoso

Vegetação Mato cerrado

Solo

DADOS GEOLÓGICOS

Grande exposição num conjunto de serras constituídas de rocha formada por grandes cristais de feldspato e quartzo. Esparsamente exhibe palhetas de biotita.

- Radiação - 200 cps.
- Susceptibilidade Magnética $-1,4 \cdot 10^{-3}$ SIU

Unidade Estrat. Suite Intrusiva Teles Pires

TECTÔNICA

Atit. da Cam.

Atit. da Xist.

Atit. do Lin.

Frat.

Outros

LITOLOGIA

Rocha Granito

Classe Ignea Ácida

Amostra Sim Não

Paleontológica	Sedimentológica	Mineralógica	Química	Petrográfica	N.º
					13B
Caderneta	Altitude	Localização		Cad. Ocorrência	Ilustração
		SB.21-Z-B			

DADOS GEOGRÁFICOS

Toponímia A noroeste da folha

Relevo Montanhoso

Vegetação Mato cerrado

Solo

DADOS GEOLÓGICOS

Coletada no mesmo afloramento anterior. São longos veios de pequena largura cortando a massa maior, constituídos do mesmo granito anterior (13A), mas de uma granulação bem fina.

- Radiação - 350 cps
- Susceptibilidade Magnética $-1,4 \cdot 10^{-3}$ SIU

Unidade Estrat. Suite Intrusiva Teles Pires

TECTÔNICA

Atit. da Cam.

Atit. da Xist.

Atit. do Lin.

Frat.

Outros

LITOLOGIA

Rocha Granito

Classe Ignea Ácida

Amostra Sim Não



DESCRIÇÃO DE AFLORAMENTOS

CPRM

Paleontológica	Sedimentológica	Mineralógica	Química	Petrográfica	PREF. RM	C/C 1757
						N.º 14
Caderneta	Altitude	Localização			Cad. Ocorrência	Ilustração
		SB.21-X-D				

DADOS GEOGRÁFICOS

Toponímia A sudoeste da folha

Relevo

Vegetação Mata alta fechada

Solo

DADOS GEOLÓGICOS

Grande exposição em blocos, bastante fraturados, evidenciando zona de falha. A rocha é micro fraturada exibindo uma massa feldspática avermelhada e minerais quartzosos. Nas zonas de fraturas exhibe raramente um mineral metálico (galena?). Rocha atraída pelo imã.

- Radiação - 100 cps
- Susceptibilidade Magnética -3.10^{-3} SIU

Unidade Estrat. Formação Iriri

TECTÔNICA

Atit. da Cam.

Atit. da Xist.

Atit. do Lit.

Frat. N10E/N50E/N50W

Outros

LITOLOGIA

Rocha Riolito

Classe Vulcânica Ácida

Amostra Sim Não

Paleontológica	Sedimentológica	Mineralógica	Química	Petrográfica	N.º 15	
Caderneta	Altitude	Localização			Cad. Ocorrência	Ilustração
		SB.21-X-D				

DADOS GEOGRÁFICOS

Toponímia Ao sul da folha

Relevo Ondulado

Vegetação Mata alta fechada

Solo

DADOS GEOLÓGICOS

Afloramento em lage de rocha avermelhada, com minerais de granulação bem fina.

Unidade Estrat. Formação Iriri

TECTÔNICA

Atit. da Cam.

Atit. da Xist.

Atit. do Lit.

Frat.

Outros

LITOLOGIA

Rocha Riolito

Classe Vulcânica Ácida

Amostra Sim Não



DESCRIÇÃO DE AFLORAMENTOS

CPRM

PREF. RM	C/C 1757
-------------	-------------

Paleontológica	Sedimentológica	Mineralógica	Química	Petrográfica	N.º 16
Caderneta	Altitude	Localização	SB. 21-X-D		Ilustração

DADOS GEOGRÁFICOS

Toponímia Igarapé Limão

Relevo Montanhoso

Vegetação Mata alta fechada

Solo Arenoso

DADOS GEOLÓGICOS

Afloramento desde a margem direita do igarapé Limão até o alto da serra. A rocha é de composição granítica, evidenciando uma massa feldspática cinza clara, grãos de quartzo e pintas de biotita. Fracamente magnética.

- Radiação - 50 cps
- Susceptibilidade Magnética - 8.10^{-3} SIU

Unidade Estrat. Complexo Xingu

TECTÔNICA

Atit. da Cam.

Atit. da Xist.

Atit. do Lin.

Frat.

Outros

LITOLOGIA

Rocha Granito

Classe Metamórfica

Amostra Sim Não

Paleontológica	Sedimentológica	Mineralógica	Química	Petrográfica	N.º 17
Caderneta	Altitude	Localização	SB. 21-X-D		Ilustração

DADOS GEOGRÁFICOS

Toponímia Igarapé Limão

Relevo

Vegetação Mata alta lateralmente

Solo

DADOS GEOLÓGICOS

Afloramento em lages (no leito do igarapé) de rocha escura constituída de feldspato, piroxênio e biotita? Fracamente magnética.

- Radiação - 40 cps
- Susceptibilidade Magnética - $5,2.10^{-3}$ SIU

Unidade Estrat.

TECTÔNICA

Atit. da Cam.

Atit. da Xist.

Atit. do Lin.

Frat.

Outros

LITOLOGIA

Rocha Diabásio

Classe Ignea Básica

Amostra Sim Não



DESCRIÇÃO DE AFLORAMENTOS

CPRM

PREF. RM

C/C 1757

Paleontológica

Sedimentológica

Mineralógica

Química

Petrográfica

N.º 18

X

Caderneta

Altitude

Localização

Cad. Ocorrência

Ilustração

SB.21-X-D

DADOS GEOGRÁFICOS

Toponímia Rio Curuá

Relevo

Vegetação Mata alta lateralmente

Solo

DADOS GEOLÓGICOS

Afloramento no leito do rio. Rocha de composição granítica, evidenciando minerais feldspáticos, quartzo e máficos. Fracamente magnética.

- Radiação - 70 cps
- Susceptibilidade Magnética- $6,4 \cdot 10^{-3}$ SIU

Unidade Estrat. Granito Juruena?

TECTÔNICA

Atit. da Cam.

Atit. da Xist.

Atit. do Lin.

Frat.

Outros

LITOLOGIA

Rocha Microtonalito

Classe Ignea Ácida

Amostra Sim Não

Paleontológica

Sedimentológica

Mineralógica

Química

Petrográfica

N.º 19

X

Caderneta

Altitude

Localização

Cad. Ocorrência

Ilustração

SB.21-X-D

DADOS GEOGRÁFICOS

Toponímia Rio Curuá

Relevo

Vegetação Mata fechada lateralmente

Solo

DADOS GEOLÓGICOS

Afloramento em blocos no leito do rio. Rocha de composição granítica evidenciando grãos de feldspatos, quartzo e palhetas de biotita. Fracamente magnética.

- Radiação - 50 cps
- Susceptibilidade Magnética- $7,6 \cdot 10^{-3}$ SIU

Unidade Estrat. Granito Juruena

TECTÔNICA

Atit. da Cam.

Atit. da Xist.

Atit. do Lin.

Frat.

Outros

LITOLOGIA

Rocha Granito

Classe Ignea Ácida

Amostra Sim Não



DESCRIÇÃO DE AFLORAMENTOS

CPRM

PREF. RM 1757

Paleontológica Sedimentológica Mineralógica Química Petrográfica

Caderneta Altitude Localização Cad. Ocorrência Ilustração

SB. 21-X-D

DADOS GEOGRÁFICOS

Topônimo Rio Curuá

Relevo _____

Vegetação Mata alta lateralmente

Solo _____

DADOS GEOLÓGICOS

O afloramento faz parte do prolongamento de uma serra constituída de rocha granítica, des tacando-se minerais feldspáticos e grãos de quartzo. Raramente ocorrem máficos com leve magnetização.

- Radiação - 120 cps
- Susceptibilidade Magnética -4.10^{-3} SIU

Unidade Estrat. Suite Intrusiva Teles Pires

TECTÔNICA

Atit. da Cam. _____

Atit. da Xist. _____

Atit. do Lito. _____

Frat. _____

Outros _____

LITOLOGIA

Rocha Granito

Classe Ignea Ácida

Amostra Sim Não

Paleontológica Sedimentológica Mineralógica Química Petrográfica

Caderneta Altitude Localização Cad. Ocorrência Ilustração

SB. 21-X-D

DADOS GEOGRÁFICOS

Topônimo Rio Curuá

Relevo _____

Vegetação Mata alta lateralmente

Solo _____

DADOS GEOLÓGICOS

Afloramento em blocos bastante quebrados, evidenciando falhamento no local. A rocha é micro fraturada, amarronzada, constituída por uma massa e grãos de quartzo. Em partes exhibe restos de uma rocha esverdeada (21B). Fracamente magnética.

- Radiação - 90 cps
- Susceptibilidade Magnética -6.10^{-3} SIU

Unidade Estrat. Formação Iriri

TECTÔNICA

Atit. da Cam. _____

Atit. da Xist. _____

Atit. do Lito. _____

Frat. _____

Outros _____

LITOLOGIA

Rocha Riolito

Classe Vulcânica Ácida

Amostra Sim Não



DESCRIÇÃO DE AFLORAMENTOS

CPRM

PREF.
RM

C/C
1757

Paleontológica

Sedimentológica

Mineralógica

Química

Petrográfica

X

N.º
21B

Caderneta

Altitude

Localização

SB. 21-X-D

Cad. Ocorrência

Ilustração

DADOS GEOGRÁFICOS

Toponímia Rio Curuá

Relevo

Vegetação Mata alta lateralmente

Solo

DADOS GEOLÓGICOS

No mesmo afloramento anterior, ocorre grande extensão de rocha esverdeada, muito fina, com aspecto de rocha básica. Fortemente magnética.

- Radiação - 40 cps
- Susceptibilidade Magnética - $15 \cdot 10^{-3}$ SIU

Unidade Estrat. Formação Iriri

TECTÔNICA

Atit. da Cam.

Atit. da Xist.

Atit. do Lin.

Frat.

Outros

LITOLOGIA

Rocha Andesito

Classe Vulcânica Intermediária

Amostra Sim Não

Paleontológica

Sedimentológica

Mineralógica

Química

Petrográfica

N.º
22

Caderneta

Altitude

Localização

SB. 21-X-D

Cad. Ocorrência

Ilustração

DADOS GEOGRÁFICOS

Toponímia Rio Curuá

Relevo

Vegetação Mata alta lateralmente

Solo

DADOS GEOLÓGICOS

Afloramento em lages no leito do rio. A rocha é cinza escura constituída por uma massa de minerais afaníticos. Esparsamente ocorrem grãos de quartzo e granada? Fracamente magnética.

Unidade Estrat. Formação Iriri

TECTÔNICA

Atit. da Cam.

Atit. da Xist.

Atit. do Lin.

Frat.

Outros

LITOLOGIA

Rocha Andesito

Classe Vulcânica Intermediária

Amostra Sim Não



DESCRIÇÃO DE AFLORAMENTOS

CPRM

PREP.
RM

C/C
1757

Paleontológica

Sedimentológica

Mineralógica

Química

Petrográfica

N.º 23

Caderneta

Altitude

Localização

Cad. Ocorrência

Ilustração

SB. 21-X-D

DADOS GEOGRÁFICOS

Toponímia Rio Curuá

Relevo

Vegetação Mata alta lateralmente

Solo

DADOS GEOLÓGICOS

Afloramento em lages soltando blocos fraturados. A rocha é constituída por uma massa cinza escura, palhetas esverdeadas de feldspatos, grãos de quartzo. Fracamente magnética.

- Radiação - 60 cps
- Susceptibilidade Magnética -2.10^{-3} SIU

Unidade Estrat. Formação Iriri

TECTÔNICA

Atit. da Cam.

Atit. da Xist.

Atit. do Lin.

Frat.

Outros

LITOLOGIA

Rocha Andesito

Classe Vulcânica Intermediária

Amostra Sim Não

Paleontológica

Sedimentológica

Mineralógica

Química

Petrográfica

N.º 24

Caderneta

Altitude

Localização

Cad. Ocorrência

Ilustração

SB. 21-X-D

DADOS GEOGRÁFICOS

Toponímia Rio Curuá

Relevo

Vegetação Mata alta lateralmente

Solo

DADOS GEOLÓGICOS

Afloramento em blocos na margem direita do rio Curuá. A rocha é avermelhada, constituída por uma massa e grãos cinza escuro e esverdeados. Fracamente magnética.

- Radiação - 60 cps
- Susceptibilidade Magnética $-5,4.10^{-3}$ SIU

Unidade Estrat. Formação Iriri

TECTÔNICA

Atit. da Cam.

Atit. da Xist.

Atit. do Lin.

Frat.

Outros

LITOLOGIA

Rocha Riolito

Classe Vulcânica Ácida

Amostra Sim Não



DESCRIÇÃO DE AFLORAMENTOS

CPRM

PREF. RM

C/C 1757

Paleontológica

Sedimentológica

Mineralógica

Química

Petrográfica

N.º 25

X

Caderneta

Altitude

Localização

Cad. Ocorrência

Ilustração

SB. 21-X-D

DADOS GEográficos

Toponímia Rio Curuá

Relevo _____

Vegetação Mata alta lateralmente

Solo _____

DADOS GEOLÓGICOS

Afloramento em lages no leito do rio Curuá, logo a montante da localidade Entre Rios. A rocha é cinza escura constituída de feldspato e hornblenda (?). Fortemente magnética.

Unidade Estrat. Formação Iriri

TECTÓNICA

Atit. da Cam. _____

Atit. da Xist. _____

Atit. do Lin. _____

Frat. _____

Outros _____

LITOLOGIA

Rocha Andesito

Classe Vulcânica Intermediária

Amostra Sim Não

Paleontológica

Sedimentológica

Mineralógica

Química

Petrográfica

N.º 26

Caderneta

Altitude

Localização

Cad. Ocorrência

Ilustração

SB. 21-X-D

DADOS GEográficos

Toponímia Rio Curuá

Relevo _____

Vegetação Mata alta lateralmente

Solo _____

DADOS GEOLÓGICOS

Afloramento em grandes blocos de rocha granítica, tendo como constituintes principais feldspato avermelhado, quartzo e biotita. Fracamente magnética.

Unidade Estrat. Suite Intrusiva Teles Pires

TECTÓNICA

Atit. da Cam. _____

Atit. da Xist. _____

Atit. do Lin. _____

Frat. _____

Outros _____

LITOLOGIA

Rocha Granito

Classe Ignea Ácida

Amostra Sim Não



DESCRIÇÃO DE AFLORAMENTOS

CPRM

PREF. RM C/C 1757

Paleontológica	Sedimentológica	Mineralógica	Química	Petrográfica	N.º 27
----------------	-----------------	--------------	---------	--------------	--------

Caderneta	Altitude	Localização	Cad. Ocorrência	Ilustração
		SB. 21-X-D		

DADOS GEGRÁFICOS

Toponímia Rio Curuá

Relevo

Vegetação Mata alta lateralmente

Solo

DADOS GEOLÓGICOS

Afloramento em lages, de rocha vulcânica, avermelhada e cinza escura. Fracamente magnética.

Unidade Estrat. Formação Iriri

TECTÓNICA

Atit. da Cam.

Atit. da Xist.

Atit. do Lin.

Frat.

Outros

LITOLOGIA

Rocha Riolito

Classe Vulcânica Ácida

Amostra Sim Não

Paleontológica	Sedimentológica	Mineralógica	Química	Petrográfica	N.º 28
----------------	-----------------	--------------	---------	--------------	--------

Caderneta	Altitude	Localização	Cad. Ocorrência	Ilustração
		SB. 21-X-D		

DADOS GEGRÁFICOS

Toponímia Rio Curuá

Relevo

Vegetação Mata alta lateralmente

Solo

DADOS GEOLÓGICOS

Afloramento em lages no leito do rio Curuá. A rocha é de composição granítica(?) destacando-se grãos de feldspatos, minerais máficos. Magneticamente com boa atração.

Unidade Estrat. Granito Juruena

TECTÓNICA

Atit. da Cam.

Atit. da Xist.

Atit. do Lin.

Frat.

Outros

LITOLOGIA

Rocha Quartzo Monzonito

Classe Ignea Ácida

Amostra Sim Não



DESCRIÇÃO DE AFLORAMENTOS

CPRM

PREF. RM C/C 1757

Paleontológica	Sedimentológica	Mineralógica	Química	Petrográfica	N.º 29
Caderneta	Altitude	Localização	Cad. Ocorrência	Ilustração	
		SB.21-X-D			

DADOS GEOGRÁFICOS

Toponímia Rio Curuá

Relevo _____

Vegetação Mata alta lateralmente

Solo _____

DADOS GEOLÓGICOS

Afloramento em lages de uma rocha avermelhada com aspecto de vulcânica. Fracamente magnética.

Unidade Estrat. Formação Iriri

TECTÔNICA

Atit. da Cam. _____

Atit. da Xist. _____

Atit. do Lin. _____

Frat. _____

Outros _____

LITOLOGIA

Rocha Riolito

Classe Vulcânica Ácida

Amostra Sim Não

Paleontológica	Sedimentológica	Mineralógica	Química	Petrográfica	N.º 30
Caderneta	Altitude	Localização	Cad. Ocorrência	Ilustração	
		SB.22-V-C			

DADOS GEOGRÁFICOS

Toponímia A NW da Fazenda Belo Horizonte

Relevo Plano

Vegetação Mata alta fechada

Solo Argiloso

DADOS GEOLÓGICOS

Afloramento em blocos do leito de um igapapé. Trata-se de rocha maciça, mesocrática, destacando-se grandes cristais de feldspato, grãos de quartzo(?) e uma massa de minerais máficos. Rocha migmatizada, bastante micro fraturada. Fracamente magnética em alguns máficos.

- Radiação - 90 cps

Unidade Estrat. Complexo Xingu

TECTÔNICA

Atit. da Cam. _____

Atit. da Xist. _____

Atit. do Lin. _____

Frat. _____

Outros _____

LITOLOGIA

Rocha Granito Milonitizado

Classe Metamórfica

Amostra Sim Não



DESCRIÇÃO DE AFLORAMENTOS

CPRM

PREP. RM C/C 1757

Paleontológica	Sedimentológica	Mineralógica	Química	Petrográfica	N.º 31
<input type="checkbox"/>	<input type="checkbox"/>	<input type="checkbox"/>	<input type="checkbox"/>	X	
Caderneta	Altitude	Localização		Cad. Ocorrência	Ilustração
<input type="checkbox"/>	<input type="checkbox"/>	SB.22-Y-A		<input type="checkbox"/>	<input type="checkbox"/>

DADOS GEOGRÁFICOS

Toponímia A leste da folha

Relevo Montanhoso

Vegetação No morro baixa e aberta

Solo Nenhum

TECTÔNICA

Atit. da Cam.

Atit. da Xist.

Atit. do Lin.

Frat.

Outros

DADOS GEOLÓGICOS

Extenso morro de rocha formando um só bloco constituído de uma massa cinza amarronzada, mostrando apenas grãos feldspáticos esparsos. Não magnética.

- Radiação - 75 cps
- Susceptibilidade magnética- 1.10^{-3} SIU

Unidade Estrat. Formação Iriri

LITOLOGIA

Rocha Dacito

Classe Vulcânica Ácida

Amostra Sim Não

Paleontológica	Sedimentológica	Mineralógica	Química	Petrográfica	N.º 32
<input type="checkbox"/>	<input type="checkbox"/>	<input type="checkbox"/>	<input type="checkbox"/>	X	
Caderneta	Altitude	Localização		Cad. Ocorrência	Ilustração
<input type="checkbox"/>	<input type="checkbox"/>	SB.22-V-C		<input type="checkbox"/>	<input type="checkbox"/>

DADOS GEOGRÁFICOS

Toponímia A SW da Fazenda Belo Horizonte

Relevo Montanhoso

Vegetação Baixa e aberta

Solo Nenhum

TECTÔNICA

Atit. da Cam.

Atit. da Xist.

Atit. do Lin.

Frat.

Outros

DADOS GEOLÓGICOS

Extensa serra alongada, formada por afloramentos em lages de uma rocha sedimentar, formada por grãos de quartzo e feldspato parcialmente alterado. Não atraída pelo imã de mão.

Unidade Estrat. Formação Gorotire

LITOLOGIA

Rocha Grauvaca Lítica

Classe Sedimentar

Amostra Sim Não



DESCRIÇÃO DE AFLORAMENTOS

CPRM

PREF. RM C/C 1757

Paleontológica Sedimentológica Mineralógica Química Petrográfica N.º 33

Caderneta Altitude Localização SB.22-V-C Cad. Ocorrência Ilustração

DADOS GEOGRÁFICOS

Toponímia A NW da folha
Relevo Plano
Vegetação Mata fechada
Solo Areno-argiloso

DADOS GEOLÓGICOS

Afloramento em blocos na margem de um rio. Trata-se de uma rocha cinza a esverdeada, destacando-se minerais de feldspato cinza e uma massa escura com ripas de hornblenda. Rocha com boa atração magnética através do imã de mão.
- Radiação - 75 cps
Unidade Estrat. Formação Iriri

TECTÔNICA

Atit. da Cam.
Atit. da Xist.
Atit. do Lin.
Frat.
Outros

LITOLOGIA

Rocha Dácito
Classe Vulcânica Ácida
Amostra Sim Não

Paleontológica Sedimentológica Mineralógica Química Petrográfica N.º 34A

Caderneta Altitude Localização SB.22-V-C Cad. Ocorrência Ilustração

DADOS GEOGRÁFICOS

Toponímia A NW da folha
Relevo
Vegetação Lateralmente fechada
Solo

DADOS GEOLÓGICOS

Afloramento em lages no leito de um rio. Rocha cinza avermelhada constituída de uma massa e grãos de quartzo. Não magnética.
- Radiação - 140 cps
Unidade Estrat. Complexo Xingu

TECTÔNICA

Atit. da Cam.
Atit. da Xist.
Atit. do Lin.
Frat.
Outros

LITOLOGIA

Rocha Milonito
Classe Metamórfica
Amostra Sim Não



DESCRIÇÃO DE AFLORAMENTOS

CPRM

PREP. RM C/C 1757

Paleontológica Sedimentológica Mineralógica Química Petrográfica N.º 34B

Caderneta Altitude Localização SB.22-V-C Cad. Ocorrência Ilustração

DADOS GEOGRÁFICOS

Toponímia A NW da folha
 Relevo
 Vegetação Lateralmente fechada
 Solo

TECTÔNICA

Atit. da Cam.
 Atit. da Xist.
 Atit. do Lin.
 Frat.
 Outros

DADOS GEOLÓGICOS

No mesmo afloramento anterior. Trata-se de uma rocha cinza escura, em contato brusco com a anterior. Seus minerais são afaníticos e atraídos pelo imã de mão.
 - Radiação - 40 cps
 Unidade Estrat. Complexo Xingu

LITOLOGIA

Rocha Anfibolito
 Classe Metamórfica
 Amostra Sim Não

Paleontológica Sedimentológica Mineralógica Química Petrográfica N.º 35

Caderneta Altitude Localização SB.22-V-C Cad. Ocorrência Ilustração

DADOS GEOGRÁFICOS

Toponímia Leito do igarapé Humaitá
 Relevo Plano
 Vegetação Mata alta fechada
 Solo

TECTÔNICA

Atit. da Cam.
 Atit. da Xist.
 Atit. do Lin.
 Frat.
 Outros

DADOS GEOLÓGICOS

Lages aflorando no leito do igarapé. Trata-se de uma rocha de composição granítica, milonitizada, micro fraturada. Fortemente magnética.
 - Radiação - 75 cps
 - Susceptibilidade Magnética - 40 cps
 Unidade Estrat. Complexo Xingu

LITOLOGIA

Rocha Gnaiss Milonítico
 Classe Metamórfica
 Amostra Sim Não



DESCRIÇÃO DE AFLORAMENTOS

CPRM

PREP. RM	c/c 1757
N.º 36	

Paleontológica	Sedimentológica	Mineralógica	Química	Petrográfica	Cad. Ocorrência	Ilustração
				X		
Caderneta	Altitude	Localização				
		SB.22-V-C				

DADOS GEOGRÁFICOS

Toponímia A oeste da Fazenda Belo Horizonte

Relevo Montanhoso

Vegetação Mata baixa

Solo

TECTÔNICA

Att. da Cam.

Att. da Xist.

Att. do Ltn.

Frat.

Outros

DADOS GEOLÓGICOS

Extensos afloramentos de rocha maciça constituída de minerais feldspáticos, grãos de quartzo e palhetas de biotita. Fracamente magnética.

- Radiação - 180 cps

Unidade Estrat. Complexo Xingu

LITOLOGIA

Rocha Granito

Classe Metamórfica

Amostra Sim Não

Paleontológica	Sedimentológica	Mineralógica	Química	Petrográfica	Cad. Ocorrência	Ilustração
				X		
Caderneta		Altitude	Localização			
			SB.22-V-A			

DADOS GEOGRÁFICOS

Toponímia Rio Xingu

Relevo

Vegetação

Solo

TECTÔNICA

Att. da Cam.

Att. da Xist.

Att. do Ltn.

Frat.

Outros

DADOS GEOLÓGICOS

Extensas lages de rocha de composição granítica, exibindo porções de um paleosoma anfibolítico. Toda ela é fracamente magnética. Presença de pirita na parte máfica.

- Radiação - 200 cps

Unidade Estrat. Complexo Xingu

LITOLOGIA

Rocha Granito

Classe Metamórfica

Amostra Sim Não



DESCRIÇÃO DE AFLORAMENTOS

CPRM

PREP. RM

C/C 1757

Paleontológica

Sedimentológica

Mineralógica

Química

Petrográfica

N.º 38

X

Caderneta

Altitude

Localização

Cad. Ocorrência

Ilustração

SB. 22-V-A

DADOS GEGRÁFICOS

Toponímia Rio Xingu

Relevo

Vegetação

Solo

DADOS GEOLÓGICOS

Afloramento em lages no leito do rio. Trata-se de uma rocha granítica exibindo cristais feldspáticos, quartzosos e palhetas de biotita. Fracamente magnética.

- Radiação - 150 cps

Unidade Estrat. Complexo Xingu

TECTÓNICA

Atit. da Cam.

Atit. da Xist.

Atit. do Lin.

Frat.

Outros

LITOLÓGICA

Rocha Biotita-Hornblenda Gnaiss

Classe Metamórfica

Amostra Sim Não

Paleontológica

Sedimentológica

Mineralógica

Química

Petrográfica

N.º 39

X

Caderneta

Altitude

Localização

Cad. Ocorrência

Ilustração

SB. 22-V-A

DADOS GEGRÁFICOS

Toponímia Rio Xingu

Relevo

Vegetação

Solo

DADOS GEOLÓGICOS

Afloramento em lages exibindo rocha de composição granítica, migmatizada, possuindo paleosoma anfibolítico, presente na amostra. Fortemente magnética.

- Radiação - 50 cps

Unidade Estrat. Complexo Xingu

TECTÓNICA

Atit. da Cam.

Atit. da Xist.

Atit. do Lin.

Frat.

Outros

LITOLÓGICA

Rocha Granito

Classe Metamórfica

Amostra Sim Não



DESCRIÇÃO DE AFLORAMENTOS

CPRM

PREP. RM C/C 1757

Paleontológica	Sedimentológica	Mineralógica	Química	Petrográfica	N.º 40
				X	
Caderneta	Altitude	Localização	Cad. Ocorrência	Ilustração	
		SB.22-V-A			

DADOS GEGRÁFICOS

Toponímia Próximo ao centro da folha

Relevo Montanhoso

Vegetação Mata alta fechada

Solo Arenoso

DADOS GEOLÓGICOS

Afloramento em lages de rocha de composição granítica, fina, avermelhada. Não atraída pelo imã de mão.

- Radiação - 200 cps

Unidade Estrat. Complexo Xingu

TECTÔNICA

Atit. da Cam.

Atit. da Xist.

Atit. do Lin.

Frat.

Outros

LITOLOGIA

Rocha Cordierita Grano blástico

Classe Metamórfica

Amostra Sim Não

Paleontológica	Sedimentológica	Mineralógica	Química	Petrográfica	N.º 41
Caderneta	Altitude	Localização	Cad. Ocorrência	Ilustração	
		SB.22-V-A			

DADOS GEGRÁFICOS

Toponímia Próximo ao centro da folha

Relevo Montanhoso

Vegetação Mata aberta

Solo

DADOS GEOLÓGICOS

Extenso morro onde aflora rocha de composição granítica, migmatizada, micro fraturada. Muito fracamente magnética.

- Radiação - 100 cps

Unidade Estrat. Complexo Xingu

TECTÔNICA

Atit. da Cam.

Atit. da Xist.

Atit. do Lin.

Frat.

Outros

LITOLOGIA

Rocha Gnaisse

Classe Metamórfica

Amostra Sim Não



DESCRIÇÃO DE AFLORAMENTOS

CPRM

PREF. RM

CID 1757

Paleontológica

Sedimentológica

Mineralógica

Química

Petrográfica

N.º 42

Caderneta

Altitude

Localização

Cad. Ocorrência

Ilustração

SB.22-V-A

DADOS GEGRÁFICOS

Toponímia Próximo ao centro da folha

Relevo Montanhoso

Vegetação Mata aberta

Solo

TECTÔNICA

Atit. da Cam.

Atit. da Xist.

Atit. do Lin.

Frat.

Outros

DADOS GEOLÓGICOS

Extenso afloramento com as mesmas características do anterior, formado por uma rocha também migmatítica, mas de coloração diferente. Muito fracamente magnética.

- Radiação - 90 cps

Unidade Estrat. Complexo Xingu

LITOLOGIA

Rocha Gnaisse

Classe Metamórfica

Amostra Sim Não

Paleontológica

Sedimentológica

Mineralógica

Química

Petrográfica

N.º 43

Caderneta

Altitude

Localização

Cad. Ocorrência

Ilustração

SB.22-V-A

DADOS GEGRÁFICOS

Toponímia A SE da folha

Relevo Plano no local

Vegetação Mata fechada

Solo

TECTÔNICA

Atit. da Cam.

Atit. da Xist.

Atit. do Lin.

Frat.

Outros

DADOS GEOLÓGICOS

Afloramento em lages (em um igarapé), de rocha maciça, constituída de feldspato cinza e minerais máficos não identificados. Não magnética.

Unidade Estrat. Complexo Xingu

LITOLOGIA

Rocha Granodiorito

Classe Metamórfica

Amostra Sim Não



DESCRIÇÃO DE AFLORAMENTOS

CPRM

PREF. RM

C/C 1757

Paleontológica

Sedimentológica

Mineralógica

Química

Petrográfica

N.º 44

X

Caderneta

Altitude

Localização

Cad. Ocorrência

Ilustração

SB.22-X-A

DADOS GEGRÁFICOS

Toponímia Próximo ao rio Tueré

Relevo Montanhoso

Vegetação Mata fechada

Solo Arenoso

DADOS GEOLÓGICOS

Afloramento em blocos no alto de um morro. Trata-se de uma rocha gran-fina, isotrópica, constituída de feldspato cinza, quartzo e biotita. Moderadamente magnética.

- Radiação - 250 cps

Unidade Estrat. Complexo Xingu

TECTÔNICA

Atit. da Cam.

Atit. da Xist.

Atit. do Lin.

Frat.

Outros

LITOLOGIA

Rocha Biotita Gnaisse

Classe Metamórfica

Amostra Sim Não

Paleontológica

Sedimentológica

Mineralógica

Química

Petrográfica

N.º 45

X

Caderneta

Altitude

Localização

Cad. Ocorrência

Ilustração

SB.22-X-A

DADOS GEGRÁFICOS

Toponímia Rio Tueré

Relevo

Vegetação

Solo

DADOS GEOLÓGICOS

Extenso lageiro cortando o rio. A rocha apresenta-se listada com partes anfibolíticas e graníticas, denotando ação migmática parcialmente digerida. Na amostra coletada a parte anfibolítica é fortemente magnética e a parte granítica é fracamente magnética.

- Radiação - felsica (350 cps)
 máfica (150 cps)

- Susceptibilidade Magnética

- felsica (8.10^{-3} SIU)

- máfica (18.10^{-3} SIU)

Unidade Estrat. Complexo Xingu

TECTÔNICA

Atit. da Cam.

Atit. da Xist.

Atit. do Lin.

Frat.

Outros

LITOLOGIA

Rocha Biotita Gnaisse

Classe Metamórfica

Amostra Sim Não



DESCRIÇÃO DE AFLORAMENTOS

CPRM

PREP.
RM

C/C
1757

Paleontológica

Sedimentológica

Mineralógica

Química

Petrográfica

N.º
46

Caderneta

Altitude

Localização

Cad. Ocorrência

Ilustração

SB.22-V-B

DADOS GEGRÁFICOS

Toponímia A NE da folha

Relevo Montanhoso

Vegetação Mata aberta

Solo

DADOS GEOLÓGICOS

Extensas serras expõem afloramento de rocha mesocrática, fanerítica, constituída de grãos de quartzo, feldspato cinza claro e biotita. Fracamente magnética.

- Radiação - 80 cps
- Susceptibilidade Magnética $4 \cdot 10^{-3}$ SIU

Unidade Estrat. Complexo Xingu

TECTÔNICA

Att. da Cam.

Att. da Xist.

Att. do Lin.

Frat.

Outros

LITOLOGIA

Rocha Gnaisse

Classe Metamórfica

Amostra Sim Não

Paleontológica

Sedimentológica

Mineralógica

Química

Petrográfica

N.º
47

Caderneta

Altitude

Localização

Cad. Ocorrência

Ilustração

SB.22-V-B

DADOS GEGRÁFICOS

Toponímia A NE da folha

Relevo Montanhoso

Vegetação Mata aberta

Solo

DADOS GEOLÓGICOS

Conjunto de serras expõem rocha mesocrática, fanerítica, constituída de grãos de quartzo, feldspato cinza claro e avermelhado e palhetas de biotita. Moderadamente magnética na capa de alteração e menos magnética no seu interior.

Unidade Estrat. Complexo Xingu

TECTÔNICA

Att. da Cam.

Att. da Xist.

Att. do Lin.

Frat.

Outros

LITOLOGIA

Rocha Gnaisse

Classe Metamórfica

Amostra Sim Não



DESCRIÇÃO DE AFLORAMENTOS

CPRM

PREP.
RM

C/C

1757

Paleontológica

Sedimentológica

Mineralógica

Química

Petrográfica

N.º

48

Caderneta

Altitude

Localização

Cad. Ocorrência

Ilustração

SB.22-V-B

DADOS GEGRÁFICOS

Toponímia A NE da folha

Relevo Plano no local

Vegetação Fechada lateralmente

Solo Arenoso

DADOS GEOLÓGICOS

Afloramento em lages, expondo rocha mesocrática, com cristais feldspáticos evidenciando migmatização, palhetas de biotita preservando certa gnaissificação. Grãos de quartzo esparsos. Moderadamente magnética.

Unidade Estrat. Complexo Xingu

TECTÔNICA

Atit. da Cam.

Atit. da Xist.

Atit. do Lln.

Frat.

Outros

LITOLOGIA

Rocha Gnaisse

Classe Metamórfica

Amostra Sim Não

Paleontológica

Sedimentológica

Mineralógica

Química

Petrográfica

N.º

50

Caderneta

Altitude

Localização

Cad. Ocorrência

Ilustração

SB.22-X-A

DADOS GEGRÁFICOS

Toponímia A SE da folha

Relevo

Vegetação Mata aberta

Solo Argiloso

DADOS GEOLÓGICOS

Afloramento em blocos formando um morro. Rocha mesocrática, destacando-se quartzo, feldspato cinza e biotita. Rocha magnética.

- Radiação - 75 cps

Unidade Estrat. Complexo Xingu

TECTÔNICA

Atit. da Cam.

Atit. da Xist.

Atit. do Lln.

Frat.

Outros

LITOLOGIA

Rocha Tonalito

Classe Ignea Ácida

Amostra Sim Não



DESCRIÇÃO DE AFLORAMENTOS

CPRM

PREP. RM C/C 1757

Paleontológica	Sedimentológica	Mineralógica	Química	Petrográfica	N.º 51
Caderneta	Altitude	Localização SB.22-X-A		Cad. Ocorrência	Ilustração

DADOS GEográficos

Toponímia A SE da folha

Relevo Ondulado

Vegetação Mata fechada

Solo Argiloso

DADOS GEOLÓGICOS

Afloramento em lages. Trata-se de um gnaiss, cortado por lentes feldspáticas/ quartzosa. Rocha não magnética.

- Radiação - 120 cps

Unidade Estrat. Complexo Xingu

TECTÓNICA

Atit. da Cam.

Atit. da Xist.

Atit. do Lin.

Frat.

Outros

LITOLÓGIA

Rocha Biotita Gnaiss

Classe Metamórfica

Amostra Sim Não

Paleontológica	Sedimentológica	Mineralógica	Química	Petrográfica X	N.º 52
Caderneta	Altitude	Localização SB.22-X-A		Cad. Ocorrência	Ilustração

DADOS GEográficos

Toponímia Rodovia Transamazônica

Relevo Ondulado

Vegetação Mata fechada

Solo Arenoso

DADOS GEOLÓGICOS

Afloramento em blocos de rocha mesocrática, com fina capa de alteração. Sua constituição é granítica a granodiorítica migmatizada. Rocha magnética.

- Radiação - 50 cps

Unidade Estrat. Complexo Xingu

TECTÓNICA

Atit. da Cam.

Atit. da Xist.

Atit. do Lin.

Frat.

Outros

LITOLÓGIA

Rocha Granodiorito

Classe Metamórfica

Amostra Sim Não



DESCRIÇÃO DE AFLORAMENTOS

CPRM

PREF. RM

C/C 1757

Paleontológica

Sedimentológica

Mineralógica

Química

Petrográfica

N.º 53

Caderneta

Altitude

Localização

Cad. Ocorrência

Ilustração

SB.22-X-A

DADOS GEGRÁFICOS

Toponímia Rodovia Transamazônica

Relevo Ondulado

Vegetação Mata fechada

Solo Argiloso

DADOS GEOLÓGICOS

Afloramento em blocos de rocha tonalítica, cortada por veios fraturados de quartzo. Rocha fracamente magnética.

- Radiação - 90 cps

Unidade Estrat. Complexo Xingu

TECTÔNICA

Atit. da Cam.

Atit. da Xist.

Atit. do Lin.

Frat.

Outros

LITOLOGIA

Rocha Tonalito

Classe Metamórfica

Amostra Sim Não

Paleontológica

Sedimentológica

Mineralógica

Química

Petrográfica

N.º 54

Caderneta

Altitude

Localização

Cad. Ocorrência

Ilustração

SB.22-X-A

DADOS GEGRÁFICOS

Toponímia Rodovia Transamazônica

Relevo Ondulado

Vegetação Mata fechada

Solo Arenoso

DADOS GEOLÓGICOS

Afloramento em blocos de rocha mesocrática, constituída de grãos feldspáticos e minerais máficos não identificados. Rocha moderadamente magnética.

- Radiação - 150 cps
 - Susceptibilidade Magnética - $17,2 \cdot 10^{-3}$ SIU

Unidade Estrat. Complexo Xingu

TECTÔNICA

Atit. da Cam.

Atit. da Xist.

Atit. do Lin.

Frat.

Outros

LITOLOGIA

Rocha Granodiorito

Classe Metamórfica

Amostra Sim Não



DESCRIÇÃO DE AFLORAMENTOS

CPRM

PREF. RM

C/C 1757

Paleontológica

Sedimentológica

Mineralógica

Química

Petrográfica

N.º 55

Caderneta

Altitude

Localização

Cad. Ocorrência

Ilustração

SB.22-X-A

DADOS GEOGRÁFICOS

Toponímia Rodovia Transamazônica

Relevo Ondulado

Vegetação Mata fechada

Solo Arenoso

TECTÔNICA

Atit. da Cam.

Atit. da Xist.

Atit. do Lin.

Frat.

Outros

DADOS GEOLÓGICOS

Afloramento em blocos de rocha com aspecto composicional de um granodiorito e granulação muito fina. Rocha parcialmente alterada e fracamente magnética.

- Radiação - 150 cps
- Susceptibilidade Magnética- $15 \cdot 10^{-3}$ SIU

LITOLOGIA

Rocha Granodiorito

Classe Metamórfica

Amostra Sim Não

Unidade Estrat. Complexo Xingu

Paleontológica

Sedimentológica

Mineralógica

Química

Petrográfica

N.º 56A

Caderneta

Altitude

Localização

Cad. Ocorrência

Ilustração

SB.22-X-A

DADOS GEOGRÁFICOS

Toponímia Rio Arataú

Relevo

Vegetação

Solo

TECTÔNICA

Atit. da Cam.

Atit. da Xist.

Atit. do Lin.

Frat.

Outros

DADOS GEOLÓGICOS

Extenso afloramento de rocha em blocos, mesocrática, constituída de quartzo, feldspato cinza e biotita. Fracamente magnética.

LITOLOGIA

Rocha Granodiorito

Classe Metamórfica

Amostra Sim Não

Unidade Estrat. Complexo Xingu



DESCRIÇÃO DE AFLORAMENTOS

CPRM

PREF. RM C/C 1757

Paleontológica	Sedimentológica	Mineralógica	Química	Petrográfica	N.º 56B
----------------	-----------------	--------------	---------	--------------	---------

Caderneta	Altitude	Localização	Cad. Ocorrência	Ilustração
		SB.22-X-A		

DADOS GEGRÁFICOS

Toponímia Rio Arataú

Relevo

Vegetação

Solo

DADOS GEOLÓGICOS

Afloramento anterior. Esta rocha é uma variedade leucocrática na extensão do afloramento. Rocha mais magnética que a anterior.

Unidade Estrat. Complexo Xingu

TECTÔNICA

Atit. da Cam.

Atit. da Xist.

Atit. do Lin.

Frat.

Outros

LITOLOGIA

Rocha Granodiorito

Classe Metamórfica

Amostra Sim Não

Paleontológica	Sedimentológica	Mineralógica	Química	Petrográfica	N.º 57
----------------	-----------------	--------------	---------	--------------	--------

Caderneta	Altitude	Localização	Cad. Ocorrência	Ilustração
		SB.22-X-A		

DADOS GEGRÁFICOS

Toponímia Rio Arataú

Relevo

Vegetação

Solo

DADOS GEOLÓGICOS

Extenso afloramento em lages no leito do rio. A rocha é leucocrática, maciça, metamorfiada, de composição granítica. Fracamente magnética.

- Radiação - 200 cps

Unidade Estrat. Complexo Xingu

TECTÔNICA

Atit. da Cam.

Atit. da Xist.

Atit. do Lin.

Frat.

Outros

LITOLOGIA

Rocha Granodiorito

Classe Metamórfica

Amostra Sim Não



DESCRIÇÃO DE AFLORAMENTOS

CPRM

PREF. RM C/C 1757

Paleontológica	Sedimentológica	Mineralógica	Química	Petrográfica	N.º 58
Caderno	Altitude	Localização		Cad. Ocorrência	Ilustração
		SB.22-X-A			

DADOS GEGRÁFICOS

Toponímia Rio Tueré

Relevo

Vegetação

Solo

TECTÔNICA

Atit. da Cam.

Atit. da Xist.

Atit. do Lin. E-W/47°N

Frat.

Outros

DADOS GEOLÓGICOS

Afloramento em blocos e lages no leito do rio. Trata-se de rocha gnaissificada, maciça, de composição granítica. Fracamente magnética.

- Radiação - 75 cps

Unidade Estrat. Complexo Xingu

LITOLOGIA

Rocha Granito-Gnaisse

Classe Metamórfica

Amostra Sim Não

Paleontológica	Sedimentológica	Mineralógica	Química	Petrográfica	N.º 59A
Caderno	Altitude	Localização		Cad. Ocorrência	Ilustração
		SB.22-X-A			

DADOS GEGRÁFICOS

Toponímia Rio Tueré

Relevo

Vegetação

Solo

TECTÔNICA

Atit. da Cam.

Atit. da Xist.

Atit. do Lin.

Frat.

Outros

DADOS GEOLÓGICOS

Extenso afloramento em blocos de rocha máfica, cortada por veios feldspáticos. Moderadamente magnética.

Unidade Estrat. Complexo Xingu

LITOLOGIA

Rocha Granodiorito

Classe Metamórfica

Amostra Sim Não



DESCRIÇÃO DE AFLORAMENTOS

CPRM

PREF. RM

C/C 1757

Paleontológica

Sedimentológica

Mineralógica

Química

Petrográfica

N.º 59B

Caderneta

Altitude

Localização

Cad. Ocorrência

Ilustração

SB. 22-X-A

DADOS GEGRÁFICOS

Toponímia Rio Tueré

Relevo

Vegetação

Solo

DADOS GEOLÓGICOS

Mesmo afloramento anterior a 20 m ao sul. A rocha é de composição granítica com grãos de quartzo e feldspato. Fracamente magnética.

Unidade Estrat. Complexo Xingu

TECTÔNICA

Atit. da Cam.

Atit. da Xist.

Atit. do Lín.

Frat.

Outros

LITOLOGIA

Rocha Granito

Classe Metamórfica

Amostra Sim Não

Paleontológica

Sedimentológica

Mineralógica

Química

Petrográfica

N.º 59C

Caderneta

Altitude

Localização

Cad. Ocorrência

Ilustração

SB. 22-X-A

DADOS GEGRÁFICOS

Toponímia Rio Tueré

Relevo

Vegetação

Solo

DADOS GEOLÓGICOS

Mesmo afloramento anterior. A rocha ocorre a 60 m do ponto 59A. Rocha de composição granítica com grandes cristais de feldspatos cor de carne. Não magnética.

Unidade Estrat. Complexo Xingu

TECTÔNICA

Atit. da Cam.

Atit. da Xist.

Atit. do Lín.

Frat.

Outros

LITOLOGIA

Rocha Granito

Classe Metamórfica

Amostra Sim Não



DESCRIÇÃO DE AFLORAMENTOS

CPRM

PREF. RM

C/C 1757

Paleontológica

Sedimentológica

Mineralógica

Química

Petrográfica

N.º 59D

Caderneta

Altitude

Localização

Cad. Ocorrência

Ilustração

SB. 22-X-A

DADOS GEGRÁFICOS

Toponímia Rio Tueré

Relevo

Vegetação

Solo

DADOS GEOLÓGICOS

Mesmo afloramento a 280 m do ponto 59A. A rocha é leucocrática, brechada. Não magnética.

Unidade Estrat. Complexo Xingu

TECTÔNICA

Atit. da Cam.

Atit. da Xist.

Atit. do Lin.

Frat.

Outros

LITOLOGIA

Rocha Granito

Classe Metamórfica

Amostra Sim Não

Paleontológica

Sedimentológica

Mineralógica

Química

Petrográfica

N.º 59E

Caderneta

Altitude

Localização

Cad. Ocorrência

Ilustração

SB. 22-X-A

DADOS GEGRÁFICOS

Toponímia Rio Tueré

Relevo

Vegetação

Solo

DADOS GEOLÓGICOS

Mesmo afloramento anterior a 300 m do ponto 59A. Rocha brechada, com predominância de máficos. Não magnética.

Unidade Estrat. Complexo Xingu

TECTÔNICA

Atit. da Cam.

Atit. da Xist.

Atit. do Lin.

Frat.

Outros

LITOLOGIA

Rocha Granito

Classe Metamórfica

Amostra Sim Não



DESCRIÇÃO DE AFLORAMENTOS

CPRM

PREF. RM C/C 1757

Paleontológica Sedimentológica Mineralógica Química Petrográfica N.º 59F

Caderneta Altitude Localização SB.22-X-A Cad. Ocorrência Ilustração

DADOS GEOGRÁFICOS
 Toponímia Rio Tueré
 Relevo
 Vegetação
 Solo

DADOS GEOLÓGICOS
 Mesmo afloramento anterior, a 420 m do ponto 59A. Rocha brechada, essencialmente máfica, pintalgada de feldspato avermelhado. Não magnética.
 Unidade Estrat. Complexo Xingu

TECTÔNICA
 Atit. da Cam.
 Atit. da Xist.
 Atit. do Lin.
 Frat.
 Outros

LITOLOGIA
 Rocha Granito
 Classe Metamórfica
 Amostra Sim Não

Paleontológica Sedimentológica Mineralógica Química Petrográfica N.º 60A

Caderneta Altitude Localização SB.22-X-A Cad. Ocorrência Ilustração

DADOS GEOGRÁFICOS
 Toponímia Rio Tueré
 Relevo
 Vegetação
 Solo

DADOS GEOLÓGICOS
 Extenso afloramento de rocha gnaissica, migmatizada, de composição granítica, com restos de paleossoma. Esta rocha é um gnaisse bem bandeado. Não magnética.
 Unidade Estrat. Complexo Xingu

TECTÔNICA
 Atit. da Cam.
 Atit. da Xist.
 Atit. do Lin.
 Frat.
 Outros

LITOLOGIA
 Rocha Gnaisse
 Classe Metamórfica
 Amostra Sim Não



DESCRIÇÃO DE AFLORAMENTOS

CPRM

PREF.
RM

C/C
1757

Paleontológica

Sedimentológica

Mineralógica

Química

Petrográfica

N.º
60B

Caderneta

Altitude

Localização

Cad. Ocorrência

Ilustração

SB.22-X-A

DADOS GEOGRÁFICOS

Toponímia Rio Tueré

Relevo

Vegetação

Solo

TECTÔNICA

Att. da Cam.

Att. da Xist.

Att. do Lin.

Frat.

Oútros

DADOS GEOLÓGICOS

Mesmo afloramento anterior. A rocha coletada é também um gnaiss bastante leucocrático. Não magnética.

LITOLOGIA

Rocha Gnaiss

Classe Metamórfica

Amostra Sim Não

Unidade Estrat. Complexo Xingu

Paleontológica

Sedimentológica

Mineralógica

Química

Petrográfica

N.º
60C

Caderneta

Altitude

Localização

Cad. Ocorrência

Ilustração

SB.22-X-A

DADOS GEOGRÁFICOS

Toponímia Rio Tueré

Relevo

Vegetação

Solo

TECTÔNICA

Att. da Cam.

Att. da Xist.

Att. do Lin.

Frat.

Oútros

DADOS GEOLÓGICOS

Mesmo afloramento anterior. A rocha coletada é um anfibolito que representa restitos paleossomáticos da migmatização. Não magnética.

LITOLOGIA

Rocha Anfibolito

Classe Metamórfica

Amostra Sim Não

Unidade Estrat. Complexo Xingu



DESCRIÇÃO DE AFLORAMENTOS

CPRM

PREF. RM

C/C 1757

Paleontológica

Sedimentológica

Mineralógica

Química

Petrográfica

N.º 60D

Caderneta

Altitude

Localização

Cad. Ocorrência

Ilustração

SB.22-X-A

DADOS GEGRÁFICOS

Toponímia Rio Tueré

Relevo

Vegetação

Solo

DADOS GEOLÓGICOS

Mesmo afloramento anterior. A rocha coletada é uma mistura de gnaiss e anfibolito. Não magnética.

Unidade Estrat. Complexo Xingu

TECTÔNICA

Atit. da Cam.

Atit. da Xist.

Atit. do Lin.

Frat.

Outros

LITOLOGIA

Rocha Anfibolito

Classe Metamórfica

Amostra Sim Não

Paleontológica

Sedimentológica

Mineralógica

Química

Petrográfica

N.º 60E

Caderneta

Altitude

Localização

Cad. Ocorrência

Ilustração

SB.22-X-A

DADOS GEGRÁFICOS

Toponímia Rio Tueré

Relevo

Vegetação

Solo

DADOS GEOLÓGICOS

Mesmo afloramento anterior. A rocha coletada é um gnaiss com predominância dos minerais máficos. Não magnética.

Unidade Estrat. Complexo Xingu

TECTÔNICA

Atit. da Cam.

Atit. da Xist.

Atit. do Lin.

Frat.

Outros

LITOLOGIA

Rocha Gnaiss

Classe Metamórfica

Amostra Sim Não



DESCRIÇÃO DE AFLORAMENTOS

CPRM

PREF. RM C/C 1757

Paleontológica Sedimentológica Mineralógica Química Petrográfica N.º 60F

Caderneta Altitude Localização SB.22-X-A Cad. Ocorrência Ilustração

DADOS GEOGRÁFICOS
 Toponímia Rio Turé
 Relevo
 Vegetação
 Solo

DADOS GEOLÓGICOS
 Mesmo afloramento anterior. A rocha é um leuco-gnaisse apresentando grãos finos. Rocha não magnética.
 Unidade Estrat. Complexo Xingu

TECTÔNICA
 Atit. da Cam.
 Atit. da Xist.
 Atit. do Lin.
 Frat.
 Outros

LITOLOGIA
 Rocha Gnaisse
 Classe Metamórfica
 Amostra Sim Não

Paleontológica Sedimentológica Mineralógica Química Petrográfica N.º 60G

Caderneta Altitude Localização SB.22-X-A Cad. Ocorrência Ilustração

DADOS GEOGRÁFICOS
 Toponímia Rio Turé
 Relevo
 Vegetação
 Solo

DADOS GEOLÓGICOS
 Mesmo afloramento anterior. A rocha coletada apresenta grandes cristais de feldspato avermelhado e anfíbolio.
 Unidade Estrat. Complexo Xingu

TECTÔNICA
 Atit. da Cam.
 Atit. da Xist.
 Atit. do Lin.
 Frat.
 Outros

LITOLOGIA
 Rocha Granito
 Classe Metamórfica
 Amostra Sim Não



DESCRIÇÃO DE AFLORAMENTOS

CPRM

PREF. RM

C/C 1757

Paleontológica

Sedimentológica

Mineralógica

Química

Petrográfica

N.º 61A

Caderneta

Altitude

Localização SB.21-X-C

Cad. Ocorrência

Ilustração

DADOS GEGRÁFICOS

Toponímia Margem esquerda do rio Aruri

Relevo

Vegetação

Solo

DADOS GEOLÓGICOS

Blocos fraturados na margem do rio. O afloramento é extensamente fraturado evidenciando zona de falhamento. Expõe rocha esverdeada constituída de uma massa afanítica. Não magnética.

- Radiação - 60 cps
- Susceptibilidade Magnética $-1,6 \cdot 10^{-3}$ SIU

Unidade Estrat. Formação Gorotire ?

TECTÔNICA

Atit. da Cam.

Atit. da Xist.

Atit. do Lta.

Frat.

Outros

LITOLOGIA

Rocha Arenito Arcósico

Classe Sedimentar

Amostra Sim Não

Paleontológica

Sedimentológica

Mineralógica

Química

Petrográfica

N.º 61B

Caderneta

Altitude

Localização SB.21-X-C

Cad. Ocorrência

Ilustração

DADOS GEGRÁFICOS

Toponímia Rio Aruri (Picada)

Relevo

Vegetação

Solo

DADOS GEOLÓGICOS

Ocorre no leito de um igarapé. A rocha é avermelhada contendo uma capa de alteração. Aflora em lagés. Não magnética.

- Radiação - 60 cps
- Susceptibilidade Magnética $-1,6 \cdot 10^{-3}$ SIU

Unidade Estrat. Formação Gorotire ?

TECTÔNICA

Atit. da Cam.

Atit. da Xist.

Atit. do Lta.

Frat.

Outros

LITOLOGIA

Rocha Arenito Arcósico

Classe Sedimentar

Amostra Sim Não



DESCRIÇÃO DE AFLORAMENTOS

CPRM

PREF. RM

C/C 1757

Paleontológica

Sedimentológica

Mineralógica

Química

Petrográfica X

N.º 610

Caderneta

Altitude

Localização SB.21-X-C

Cad. Ocorrência

Ilustração

DADOS GEOGRÁFICOS

Toponímia Rio Aruri (Picada)

Relevo

Vegetação

Solo

DADOS GEOLÓGICOS

Coletada no mesmo local da rocha anterior. Pode tratar-se de uma mesma rocha com maior grau de alteração. Não magnética.

- Radiação - 60 cps
- Susceptibilidade Magnética- $1,6 \cdot 10^{-3}$ SIU

Unidade Estrat. Formação Gorotire ?

TECTÔNICA

Atit. da Cam.

Atit. da Xist.

Atit. do Lito.

Frat.

Outros

LITOLOGIA

Rocha Arenito Arcósico

Classe Sedimentar

Amostra Sim Não

Paleontológica

Sedimentológica

Mineralógica

Química

Petrográfica X

N.º 62

Caderneta

Altitude

Localização SB.21-X-C

Cad. Ocorrência

Ilustração

DADOS GEOGRÁFICOS

Toponímia Rio Aruri

Relevo Ondulado

Vegetação Floresta fechada

Solo Argiloso

DADOS GEOLÓGICOS

Afloramento em blocos pequenos e esparsos. A rocha é altamente alterada, e evidenciando granito, semelhante ao Granito Maloquinha. Não magnética.

- Radiação - 110 cps
- Susceptibilidade Magnética- $5 \cdot 10^{-3}$ SIU

Unidade Estrat. Suite Intrusiva Teles Pires

TECTÔNICA

Atit. da Cam.

Atit. da Xist.

Atit. do Lito.

Frat.

Outros

LITOLOGIA

Rocha Granito

Classe Ignea Ácida

Amostra Sim Não



DESCRIÇÃO DE AFLORAMENTOS

CPRM

PREF. RM C/C 1757

Paleontológica	Sedimentológica	Mineralógica	Química	Petrográfica	N.º 63A
Caderneta	Altitude	Localização	SB.21-X-C		Ilustração

DADOS GEográficos

Toponímia Rodovia Santarém-Cuiabá

Relevo Ondulado

Vegetação Floresta fechada

Solo Argilo-arenoso

DADOS GEOLÓGICOS

Afloramento em blocos no leito de uma gr^ota. Trata-se de rocha vulcânica maciça, mineralizada em pirita, parcialmente alterada. Moderadamente magnética.

- Radiação - 60 cps
- Susceptibilidade Magnética- $27 \cdot 10^{-3}$ SIU

Unidade Estrat. Formação Iriri

TECTÔNICA

Att. da Cam.

Att. da Xist.

Att. do Lin.

Frat.

Outros

LITOLOGIA

Rocha Riolito

Classe Vulcânica Ácida

Amostra Sim Não

Paleontológica	Sedimentológica	Mineralógica	Química	Petrográfica	N.º 63B
Caderneta	Altitude	Localização	SB.21-X-C		Ilustração

DADOS GEográficos

Toponímia Rodovia Santarém-Cuiabá

Relevo Ondulado

Vegetação Floresta fechada

Solo Argilo-arenoso

DADOS GEOLÓGICOS

Maiores exposições de rocha que a anterior. Contém porém visivelmente ripas de feldspato. Moderadamente magnética.

- Radiação - 60 cps
- Susceptibilidade Magnética- $3,8 \cdot 10^{-3}$ SIU

Unidade Estrat. Formação Iriri

TECTÔNICA

Att. da Cam.

Att. da Xist.

Att. do Lin.

Frat.

Outros

LITOLOGIA

Rocha Riolito

Classe Vulcânica Ácida

Amostra Sim Não



DESCRIÇÃO DE AFLORAMENTOS

CPRM

PREF.
RM

C/C
1757

Paleontológica

Sedimentológica

Mineralógica

Química

Petrográfica

N.º
64

Caderneta

Altitude

Localização

Cad. Ocorrência

Ilustração

SB.21-X-C

DADOS GEGRÁFICOS

Toponímia Rodovia Santarém-Cuiabá

Relevo Ondulado

Vegetação Floresta fechada

Solo Argilo-arenoso

DADOS GEOLÓGICOS

Extensos afloramentos em blocos de rocha vulcânica, fanerítica, evidenciando ripas de feldspatos e anfíbolio(?). Fracamente magnética.

- Radiação - 90 cps
- Susceptibilidade Magnética - $6,4 \cdot 10^{-3}$ SIU

Unidade Estrat. Formação Iriri

TECTÓNICA

Atit. da Cam.

Atit. da Xist.

Atit. do Lin.

Frat.

Outros

LITOLOGIA

Rocha Riolito

Classe Vulcânica Ácida

Amostra Sim Não

Paleontológica

Sedimentológica

Mineralógica

Química

Petrográfica

N.º
65

Caderneta

Altitude

Localização

Cad. Ocorrência

Ilustração

SB.21-Z-A

DADOS GEGRÁFICOS

Toponímia Rodovia Santarém-Cuiabá

Relevo

Vegetação

Solo

DADOS GEOLÓGICOS

Afloramento em blocos no leito da estrada. A rocha é um granito, destacando-se minerais de feldspato avermelhado, biotita e quartzo. Fracamente magnética.

- Radiação - 120 cps

Unidade Estrat. Suite Intrusiva Teles Pires

TECTÓNICA

Atit. da Cam.

Atit. da Xist.

Atit. do Lin.

Frat.

Outros

LITOLOGIA

Rocha Granito

Classe Ignea Ácida

Amostra Sim Não



DESCRIÇÃO DE AFLORAMENTOS

CPRM

PREF. RM C/C 1757

Paleontológica Sedimentológica Mineralógica Química Petrográfica N.º 66

Caderneta Altitude Localização SB.21-X-C Cad. Ocorrência Ilustração

DADOS GEográficos
 Toponímia Rodovia Santarém-Cuiabá
 Relevo Ondulado
 Vegetação Mata fechada
 Solo Argilo-arenoso

DADOS GEOLÓGICOS
 Afloramento em blocos de rocha semelhante a anterior. Evidencia fraturamento, dando as pecto cisalhado a rocha. Fracamente magnética.
 Unidade Estrat. Suite Intrusiva Teles Pires

TECTÓNICA
 Atit. da Cam.
 Atit. da Xist.
 Atit. do Lin.
 Frat.
 Outros

LITOLOGIA
 Rocha Granito
 Classe Ignea Ácida
 Amostra Sim Não

Paleontológica Sedimentológica Mineralógica Química Petrográfica N.º 67

Caderneta Altitude Localização SB.21-Z-A Cad. Ocorrência Ilustração

DADOS GEográficos
 Toponímia Rio Novo
 Relevo Plano
 Vegetação Mata fechada
 Solo Argilo-arenoso

DADOS GEOLÓGICOS
 Rocha coletada a 2.400 m da margem do rio Novo. Trata-se de uma laterita, amarelada, constituída de argilo minerais em parte ferruginosa. Não atraída pelo imã de mão.
 - Radiação - 55 cps
 - Susceptibilidade Magnética- $5 \cdot 10^{-3}$ SIU
 Unidade Estrat.

TECTÓNICA
 Atit. da Cam.
 Atit. da Xist.
 Atit. do Lin.
 Frat.
 Outros

LITOLOGIA
 Rocha Laterita
 Classe
 Amostra Sim Não



DESCRIÇÃO DE AFLORAMENTOS

CPRM

PREF. RM

CIC 1757

Paleontológica	Sedimentológica	Mineralógica	Química	Petrográfica	N.º 68
				X	
Caderneta	Altitude	Localização		Cad. Ocorrência	Ilustração
		SB. 21-Z-A			

DADOS GEGRÁFICOS

Toponímia Rio Novo

Relevo Plano

Vegetação Mata fechada

Solo Argilo-arenoso

DADOS GEOLÓGICOS

Afloramento em blocos esparsos de rocha de composição granítica, micro fraturada em partes. Coletada a 3.500 m da margem do rio. Evidencia aspecto maciço a rocha. Moderadamente magnética.

- Radiação - 90 cps
- Susceptibilidade Magnética -40.10^{-3} SIU

Unidade Estrat. Suite Intrusiva Teles Pires

TECTÓNICA

Atit. da Cam.

Atit. da Xist.

Atit. do Lin.

Frat.

Outros

LITOLOGIA

Rocha Granito

Classe Ignea Ácida

Amostra Sim Não

Paleontológica	Sedimentológica	Mineralógica	Química	Petrográfica	N.º 69
				X	
Caderneta	Altitude	Localização		Cad. Ocorrência	Ilustração
		SB. 21-Z-A			

DADOS GEGRÁFICOS

Toponímia Rio Novo

Relevo Ondulado

Vegetação Mata fechada

Solo Argiloso (avermelhado)

DADOS GEOLÓGICOS

O afloramento ocorre na margem direita do rio, no sopé de uma serra, representando a litologia da mesma serra. A rocha é rica em máficos e feldspato potássico. Fracamente magnética.

- Radiação - 75 cps
- Susceptibilidade Magnética -15.10^{-3} SIU

Unidade Estrat. Suite Intrusiva Teles Pires

TECTÓNICA

Atit. da Cam.

Atit. da Xist.

Atit. do Lin.

Frat.

Outros

LITOLOGIA

Rocha Granito

Classe Ignea Ácida

Amostra Sim Não



DESCRIÇÃO DE AFLORAMENTOS

CPRM

PREF. RM

C/C 1757

Paleontológica

Sedimentológica

Mineralógica

Química

Petrográfica

N.º 70A

Caderneta

Altitude

Localização

Cad. Ocorrência

Ilustração

SB.21-Z-A

DADOS GEGRÁFICOS

Toponímia Rodovia Santarém-Cuiabá

Relevo Ondulado

Vegetação Mata fechada

Solo Argiloso

DADOS GEOLÓGICOS

Afloramento a 1.200 m da estrada. Ocorre em blocos pequenos no alto de um morro. A rocha é de composição granítica inteiramente alterada. Rocha não magnética.

- Radiação - 30 cps
- Susceptibilidade Magnética-

Unidade Estrat. Suite Intrusiva Teles Pires

TECTÔNICA

Atit. da Cam.

Atit. da Xist.

Atit. do Lin.

Frat.

Outros

LITOLOGIA

Rocha Granodiorito

Classe Ignea Ácida

Amostra Sim Não

Paleontológica

Sedimentológica

Mineralógica

Química

Petrográfica

N.º 70B

Caderneta

Altitude

Localização

Cad. Ocorrência

Ilustração

SB.21-Z-A

DADOS GEGRÁFICOS

Toponímia Rodovia Santarém-Cuiabá

Relevo Ondulado

Vegetação Mata fechada

Solo Argiloso

DADOS GEOLÓGICOS

No mesmo morro anterior, ocorrem blocos de quartzo em veio, não sendo possível obter sua direção.

- Radiação - 30 cps

Unidade Estrat.

TECTÔNICA

Atit. da Cam.

Atit. da Xist.

Atit. do Lin.

Frat.

Outros

LITOLOGIA

Rocha Quartzo

Classe

Amostra Sim Não



DESCRIÇÃO DE AFLORAMENTOS

CPRM

PREF. RM C/C 1757

Paleontológica	Sedimentológica	Mineralógica	Química	Petrográfica	X	N.º 71
Caderneta	Altitude	Localização			Cad. Ocorrência	Ilustração
		SB. 21-Z-A				

DADOS GEOGRÁFICOS

Toponímia Rodovia Santarém-Cuiabá

Relevo Ondulado

Vegetação Mata fechada

Solo Argiloso

DADOS GEOLÓGICOS

Afloramento em blocos a 2.300 m da estrada, em um morro, de rocha (encocrática de com posição granítica). Não magnética.

- Radiação - 35 cps

Unidade Estrat. Suite Intrusiva Teles Pires

TECTÔNICA

Atit. da Cam.

Atit. da Xist.

Atit. do Lin.

Frat.

Outros

LITOLOGIA

Rocha Granito

Classe Ignea Ácida

Amostra Sim Não

Paleontológica	Sedimentológica	Mineralógica	Química	Petrográfica	N.º 72	
Caderneta	Altitude	Localização			Cad. Ocorrência	Ilustração
		SA. 22-Y-D				

DADOS GEOGRÁFICOS

Toponímia Rio Xingu - Cachoeira Cajueiro

Relevo Ondulado

Vegetação Mata fechada

Solo Argiloso

DADOS GEOLÓGICOS

Grandes afloramentos em blocos quebrados de rocha mesocrática, grãos grossos, constituída de quartzo, feldspato, potássico e biotita. Moderadamente magnética.

- Radiação - 110 cps

Unidade Estrat. Complexo Xingu

TECTÔNICA

Atit. da Cam.

Atit. da Xist.

Atit. do Lin.

Frat.

Outros

LITOLOGIA

Rocha Granito (?)

Classe Metamórfica

Amostra Sim Não



DESCRIÇÃO DE AFLORAMENTOS

CPRM

PREF. RM C/C 1757

Paleontológica	Sedimentológica	Mineralógica	Química	Petrográfica	N.º 73
				X	
Caderneta	Altitude	Localização	Cad. Ocorrência	Ilustração	
		SA.22-Y-D			

DADOS GEGRÁFICOS

Topônimo Rio Xingu - Cachoeira Cajueiro

Relevo Ondulado

Vegetação Mata fechada

Solo Argiloso

DADOS GEOLÓGICOS

Extenso afloramento de rocha maciça, grãos grossos, de composição granítica. Moderadamente magnética. Rocha do embasamento.

Unidade Estrat. Complexo Xingu

TECTÔNICA

Atit. da Cam.

Atit. da Xist.

Atit. do Lin.

Frat.

Outros

LITOLOGIA

Rocha Granito

Classe Metamórfica

Amostra Sim Não

Paleontológica	Sedimentológica	Mineralógica	Química	Petrográfica	N.º 74A
Caderneta	Altitude	Localização	Cad. Ocorrência	Ilustração	
		SA.22-Y-D			

DADOS GEGRÁFICOS

Topônimo Rio Xingu - Cachoeira Cajueiro

Relevo Ondulado

Vegetação Mata fechada

Solo Argiloso

DADOS GEOLÓGICOS

Afloramento em blocos soltos de rocha gran-fina, fanerítica, de consituição granítica como a anterior. Moderadamente magnética.

- Radiação - 220 cps

Unidade Estrat. Complexo Xingu

TECTÔNICA

Atit. da Cam.

Atit. da Xist.

Atit. do Lin.

Frat.

Outros

LITOLOGIA

Rocha Granito

Classe Metamórfica

Amostra Sim Não



DESCRIÇÃO DE AFLORAMENTOS

CPRM

PREF. RM

C/C 1757

Paleontológica

Sedimentológica

Mineralógica

Química

Petrográfica

N.º 74B

Caderno

Altitude

Localização

Cad. Ocorrência

Ilustração

SA.22-Y-D

DADOS GEOGRÁFICOS

Topônimo Rio Xingu - Cachoeira Cajueiro

Relevo Ondulado

Vegetação Mata fechada

Solo Argiloso

DADOS GEOLÓGICOS

Afloramento em grandes blocos logo a 100m do anterior. A rocha é semelhante a (73). Magneticamente semelhante a 73.

- Radiação - 100 cps

Unidade Estrat. Complexo Xingu

TECTÔNICA

Atit. da Cam.

Atit. da Xist.

Atit. do Lin.

Frat.

Outros

LITOLOGIA

Rocha Granito

Classe Metamórfica

Amostra Sim Não

Paleontológica

Sedimentológica

Mineralógica

Química

Petrográfica

N.º 75

Caderno

Altitude

Localização

Cad. Ocorrência

Ilustração

SA.22-Y-D

DADOS GEOGRÁFICOS

Topônimo Rio Xingu - Cachoeira Cajueiro

Relevo Ondulado

Vegetação Mata fechada

Solo Argiloso

DADOS GEOLÓGICOS

Afloramento em blocos de rocha migmatítica, evidenciando neossoma de composição granítica e paleossoma de mesma composição, mas bem fina mineralogicamente.

- Radiação - 150 cps
- Susceptibilidade Magnética -45.10^{-3} SIU

Unidade Estrat. Complexo Xingu

TECTÔNICA

Atit. da Cam.

Atit. da Xist.

Atit. do Lin.

Frat.

Outros

LITOLOGIA

Rocha Granito

Classe Metamórfica

Amostra Sim Não



DESCRIÇÃO DE AFLORAMENTOS

CPRM

PREF. RM

CIC 1757

Paleontológica

Sedimentológica

Mineralógica

Química

Petrográfica

N.º 76

Caderneta

Altitude

Localização

Cad. Ocorrência

Ilustração

SA. 22-Y-D

DADOS GEOGRÁFICOS

Topônimo Rio Xingu (Picada)

Relevo Plano

Vegetação Mata alta fechada

Solo Arenoso

DADOS GEOLÓGICOS

Afloramento em blocos soltos. A rocha é silicosa, com pintas de ouro e pirita (?).

- Radiação - 10 cps

Unidade Estrat.

TECTÔNICA

Att. da Cam.

Att. da Xist.

Att. do Lin.

Frat.

Outros

LITOLOGIA

Rocha Milonito

Classe

Amostra Sim Não

Paleontológica

Sedimentológica

Mineralógica

Química

Petrográfica

N.º 78

Caderneta

Altitude

Localização

Cad. Ocorrência

Ilustração

SA. 22-Y-D

DADOS GEOGRÁFICOS

Topônimo Rio Xingu (Picada)

Relevo Plano

Vegetação Mata alta fechada

Solo Arenoso

DADOS GEOLÓGICOS

A rocha foi removida do local por garimpeiros a procura de ouro. Ocorre sob forma de veio, quebrado, e atualmente não mais existe nesse local.

- Radiação - 50 cps

Unidade Estrat.

TECTÔNICA

Att. da Cam.

Att. da Xist.

Att. do Lin.

Frat.

Outros

LITOLOGIA

Rocha Sheelita

Classe

Amostra Sim Não



DESCRIÇÃO DE AFLORAMENTOS

CPRM

PREF. RM C/C 1757

Paleontológica	Sedimentológica	Mineralógica	Química	Petrográfica	N.º 81
Caderneta	Altitude	Localização		Cad. Ocorrência	Ilustração
		SB. 22-Y-D			

DADOS GEOGRÁFICOS

Toponímia Rio Xingu (Picada)

Relevo Montanhoso

Vegetação Mata alta fechada

Solo Arenoso

DADOS GEOLÓGICOS

Afloramento de grandes blocos, de rocha meso a melanocrática, cortada por frequentes veios de quartzo. Fracamente magnética.

Unidade Estrat. Complexo Xingu

TECTÔNICA

Atit. da Cam.

Atit. da Xist.

Atit. do Lin.

Frat.

Outros

LITOLOGIA

Rocha Anfibolito

Classe Metamórfica

Amostra Sim Não

Paleontológica	Sedimentológica	Mineralógica	Química	Petrográfica	N.º 82
Caderneta	Altitude	Localização		Cad. Ocorrência	Ilustração
		SA. 22-Y-D			

DADOS GEOGRÁFICOS

Toponímia Rio Xingu (Picada)

Relevo Montanhoso

Vegetação Mata alta fechada

Solo Arenoso

DADOS GEOLÓGICOS

Trata-se de afloramento de quartzo em veio.

Unidade Estrat.

TECTÔNICA

Atit. da Cam.

Atit. da Xist.

Atit. do Lin.

Frat.

Outros

LITOLOGIA

Rocha Quartzo

Classe

Amostra Sim Não



DESCRIÇÃO DE AFLORAMENTOS

CPRM

PREF. RM C/C 1757

Paleontológica Sedimentológica Mineralógica Química Petrográfica N.º 83

Caderneta Altitude Localização SA.22-Y-D Cad. Ocorrência Ilustração

DADOS GEGRÁFICOS
Toponímia Rio Xingu (Picada)
Relevo Montanhoso
Vegetação Mata alta fechada
Solo Arenoso

DADOS GEOLÓGICOS
Grande afloramento em blocos quebrados de rocha afanítica.
Unidade Estrat. Complexo Xingu

TECTÔNICA
Atit. da Cam.
Atit. da Xist.
Atit. do Lin.
Frat.
Outros

LITOLOGIA
Rocha Microtonalito
Classe Metamórfica
Amostra Sim Não

Paleontológica Sedimentológica Mineralógica Química Petrográfica N.º 90

Caderneta Altitude Localização SA.22-Y-D Cad. Ocorrência Ilustração

DADOS GEGRÁFICOS
Toponímia Rio Xingu
Relevo
Vegetação
Solo

DADOS GEOLÓGICOS
Grande afloramento na margem do rio, constituído de rocha de composição granodiorítica, cortada por veios de quartzo.
- Radiação - 90 cps
- Susceptibilidade Magnética -13.10^{-3} SIU
Unidade Estrat. Complexo Xingu

TECTÔNICA
Atit. da Cam.
Atit. da Xist.
Atit. do Lin.
Frat.
Outros

LITOLOGIA
Rocha Granodiorito
Classe Metamórfica
Amostra Sim Não



DESCRIÇÃO DE AFLORAMENTOS

CPRM

PREF. RM C/C 1757

Paleontológica	Sedimentológica	Mineralógica	Química	Petrográfica	N.º 91
Caderno	Altitude	Localização	Cad. Ocorrência		Ilustração
		SA. 22-Y-D			

DADOS GEOGRÁFICOS

Topônimo Rio Xingu (Picada)

Relevo Ondulado

Vegetação Mata alta fechada

Solo Arenoso

DADOS GEOLÓGICOS

Afloramento em blocos abaulados de rocha de composição granodiorítica, afanítica.

- Radiação - 75 cps
- Susceptibilidade Magnética -50.10^{-3} SIU

Unidade Estrat. Complexo Xingu

TECTÔNICA

Atit. da Cam.

Atit. da Xist.

Atit. do Lin.

Frat.

Outros

LITOLOGIA

Rocha Granodiorito

Classe Metamórfica

Amostra Sim Não

Paleontológica	Sedimentológica	Mineralógica	Química	Petrográfica	N.º 92
Caderno	Altitude	Localização	Cad. Ocorrência		Ilustração
		SA. 22-Y-D			

DADOS GEOGRÁFICOS

Topônimo Rio Xingu (Picada)

Relevo Ondulado

Vegetação Mata alta fechada

Solo Arenoso

DADOS GEOLÓGICOS

Vários blocos de laterita são frequentemente ocorrentes.

Unidade Estrat.

TECTÔNICA

Atit. da Cam.

Atit. da Xist.

Atit. do Lin.

Frat.

Outros

LITOLOGIA

Rocha Canga

Classe

Amostra Sim Não



DESCRIÇÃO DE AFLORAMENTOS

CPRM

PREF. RM

C/C 1757

Paleontológica

Sedimentológica

Mineralógica

Química

Petrográfica

N.º 93

Caderneta

Altitude

Localização

Cad. Ocorrência

Ilustração

[Empty box]

[Empty box]

SA.22-Y-D

[Empty box]

[Empty box]

DADOS GEGRÁFICOS

Toponímia Rio Xingu (Picada)

Relevo Ondulado

Vegetação Mata alta fechada

Solo Arenoso

DADOS GEOLÓGICOS

Afloramento constituído de rocha formada por quartzo, feldspato e biotita.

- Radiação - 60 cps
- Susceptibilidade Magnética 5.10^{-3} SIU

Unidade Estrat. Complexo Xingu

TECTÓNICA

Att. da Cam.

Att. da Xist.

Att. do Lin.

Frat.

Outros

LITOLOGIA

Rocha Tonalito

Classe Metamórfica

Amostra Sim Não

Paleontológica

Sedimentológica

Mineralógica

Química

Petrográfica

N.º 94

Caderneta

Altitude

Localização

Cad. Ocorrência

Ilustração

[Empty box]

[Empty box]

SA.22-Y-D

[Empty box]

[Empty box]

DADOS GEGRÁFICOS

Toponímia Rio Xingu (Picada)

Relevo Ondulado

Vegetação Mata alta fechada

Solo Arenoso

DADOS GEOLÓGICOS

Afloramento em blocos de rocha leucocrática de composição granodiorítica.

- Radiação - 90 cps
- Susceptibilidade Magnética 5.10^{-3} SIU

Unidade Estrat. Complexo Xingu

TECTÓNICA

Att. da Cam.

Att. da Xist.

Att. do Lin.

Frat.

Outros

LITOLOGIA

Rocha Granodiorito

Classe Metamórfica

Amostra Sim Não



DESCRIÇÃO DE AFLORAMENTOS

CPRM

PREF. RVI C/C 1757

Paleontológica	Sedimentológica	Mineralógica	Química	Petrográfica	N.º 95
Caderneta	Altitude	Localização	Cad. Ocorrência	Ilustração	
		SA.22-Y-D			

DADOS GEGRÁFICOS

Toponímia Rio Xingu (Picada)

Relevo Ondulado

Vegetação Mata alta fechada

Solo Arenoso

TECTÔNICA

Att. da Cam.

Att. da Xist.

Att. do Lin.

Frat.

Outros

DADOS GEOLÓGICOS

Afloramento de rocha rica em minerais máficos, mas de composição tonalítica.

- Radiação - 75 cps
- Susceptibilidade Magnética -9.10^{-3} SIU

Unidade Estrat. Complexo Xingu

LITOLOGIA

Rocha Tonalito

Classe Metamórfica

Amostra Sim Não

Paleontológica	Sedimentológica	Mineralógica	Química	Petrográfica	N.º 96A
Caderneta	Altitude	Localização	Cad. Ocorrência	Ilustração	
		Sa.22-Y-D			

DADOS GEGRÁFICOS

Toponímia Rio Xingu (Picada)

Relevo Ondulado

Vegetação Mata alta fechada

Solo Arenoso

TECTÔNICA

Att. da Cam.

Att. da Xist.

Att. do Lin.

Frat.

Outros

DADOS GEOLÓGICOS

Afloramento de rocha básica, em blocos abaulados.

- Radiação - 60 cps
- Susceptibilidade Magnética -50.10^{-3} SIU

Unidade Estrat. Complexo Xingu

LITOLOGIA

Rocha Anfibolito

Classe Metamórfica

Amostra Sim Não



DESCRIÇÃO DE AFLORAMENTOS

CPRM

PREF. RM

C/C 1757

Paleontológica

Sedimentológica

Mineralógica

Química

Petrográfica X

N.º 96B

Caderneta

Altitude

Localização SA.22-Y-D

Cad. Ocorrência

Ilustração

DADOS GEOGRÁFICOS

Toponímia Rio Xingu (Picada)

Relevo Ondulado

Vegetação Mata fechada

Solo Arenoso

DADOS GEOLÓGICOS

Afloramento em blocos, no mesmo local da amostra anterior (96A), de rocha de composição granítica.

- Radiação - 110 cps
- Susceptibilidade Magnética $10 \cdot 10^{-3}$ SIU

Unidade Estrat. Complexo Xingu

TECTÔNICA

Atit. da Cam.

Atit. da Xist.

Atit. do Lin.

Frat.

Outros

LITOLOGIA

Rocha Granito

Classe Metamórfica

Amostra Sim Não

Paleontológica

Sedimentológica

Mineralógica

Química

Petrográfica

N.º

Caderneta

Altitude

Localização

Cad. Ocorrência

Ilustração

DADOS GEOGRÁFICOS

Toponímia

Relevo

Vegetação

Solo

DADOS GEOLÓGICOS

Unidade Estrat.

TECTÔNICA

Atit. da Cam.

Atit. da Xist.

Atit. do Lin.

Frat.

Outros

LITOLOGIA

Rocha

Classe

Amostra Sim Não



BOLETINS DE ANÁLISES QUÍMICAS



CPRM

RESULTADOS DE ANÁLISE — MÉTODOS RÁPIDOS

1
2

PERF.	Data	PERF / CONF	Data

Requisição: 062/SUREG/BE/79

Lote nº 291/BE

79-80

Projeto: Sul do Para-1757

Cortão nº 28

S	E	Q	Data														
			27/06		27/06												
			Método	RA	RA												
Nº de Campo			Elemento	PIII Ru	PIII No												
			Analista	Harisa	CKM												
			Código	1-2 10	10-11 18	19-20	28-29	37-38	46-47	55-56							
			Nº de Lab 71 - 78	3	4-9	12	13-18	21	22-27	30	31-36	39	40-45	48	49-54	57	58-63
1			R-11B	DBB427	N	0.05	N	2									
2			12	428													
3			15	429													
4			20	430													
5			24	431													
6			38	432													
7			LN-R-53	433													
8			DA-R-01	434													
9			09	435													
10			10A	436													
11			11	437			V	V									
12			12B	438			N	2									
13			27	439			L	2									
14			30A	440			L	2									
15			30B	441	V	V	L	2									
16			31	442	N	0.05	N	2									
17			34	443	L	0.05	L	2									
18			37	444	N	0.05	L	2									
19			40B	445			L	2									
20			DA-R-01	446			L	2									
21			50A	447	V	V		2									
22			91	448	N	0.05	L	2									
23			99B	449	L	0.05	N	2									
24			100	450	N	0.05	L	2									
25			105	451	N	0.05	L	2									

Obs: 1) Para os det. de Ni, do am. ...
 2) Para os det. de Ni, do am. ...
 3) Para os det. de Ni, do am. ...
 4) Para os det. de Ni, do am. ...

Menor que o valor registrado
 Maior que o valor registrado
 Não determinado
 Interferência

B não solicitado
 P amostra perdida
 I amostra instável



CPRM

RESULTADOS DE ANÁLISE — MÉTODOS RÁPIDOS

2 / 2

PERF.	Data	PERF./CONF.	Data
-------	------	-------------	------

Requisição: 062/SUREG/BE/89 Lote nº 291/BE 79-80
 Projeto: Sul do Pará-1757 Cartão nº 28

S	E	Nº de Campo	Data		Método		Elemento		Analista		Código		Nº de Lab			
			27/06	27/06	AA	AA	PPM P/Au	PPM P/Au	Maisa	CMU	1-2	10-11	19-20	28-29	37-38	46-47
			3	4-9	12	13-18	21	22-27	30	31-36	39	40-45	48	49-54	57	58-63
1	R	04	DBB452	N	0.05	2										
2		13A	453	N	0.05	N	2									
3		18	454	L	0.05	L	2									
4		19	455	N	0.05	N	2									
5		28	456	N	0.05	N	2									
6	RM-R-66		DBB457	N	0.05	N	2									
7																
8																
9																
10																
11																
12																
13																
14																
15																
16																
17																
18																
19																
20																
21																
22																
23																
24																
25																

OBS: *vide obs folha 1/2*

L = menor que o valor registrado
 G = maior que o valor registrado
 N = não detectado
 H = interferência
 B = não solicitado
 P = amostra perdida
 I = amostra insuficiente



CPRM

RESULTADOS DE ANÁLISE — MÉTODOS RÁPIDOS

1
2

PERF.	Data	PERF./CONF.	Data
-------	------	-------------	------

Requisição: 0062/BE/79 Lote nº 0291/BE 79-80Projeto: SUL DO PARÁ II - 1757.610

Cartão nº 28

S	E	Nº de Campo	Data														
Q			Método														
			Elemento														
			Analista														
			Código	1-2	10-11	19-20	28-29	37-38	46-47	55-56							
			Nº de Lab 71-78	3	4-9	12	13-18	21	22-27	30	31-36	39	40-45	48	49-54	57	58-63
		11B	DBB427	N	10		70										
		12	428				250										
		15	429				800										
		20	430				600										
		24	431				500										
		38	432				90										
		LN - 53	433				120										
		OA - C1	434				800										
		09	435				600										
		10A	436				600										
		11	437				600										
		12B	438				475										
		27	439				3000										
		30A	440				500										
		30B	441				200										
		31	442				700										
		34	443				600										
		37	444				120										
		40B	445				1100										
		41	446				170										
		58A	447				1400										
		91	448				700										
		98B	449				170										
		100	450				800										
		105	DEB451	N	10		800										

OBS:

L=menor que o valor registrado
 G=maior que o valor registrado
 N=não detectado
 H=interferência

B= não solicitado
 P= amostra perdida
 I= amostra insuficiente



CPRM

RESULTADOS DE ANÁLISE — MÉTODOS RÁPIDOS

2
2

PERF.	Data	PERF./CONF.	Data
-------	------	-------------	------

Requisição: 0062/BE/79Lote nº 0291/BE

79-80

Projeto: SUL DO PARÁ II - 1757.610

Cartão nº 28

S	E	Q	Nº de Campo	Data		Método		Elemento		Analista		Código		Nº de Lab 71-78		
				24.05.79	30.05.79	Cromat.	E.I.E	V PPM	F PPM	Alchato	Alchato	1-2	10-11	19-20	28-29	37-38
1			04	DBB452	N	10		700								
2			13A	453	I			1400								
3			18	454	I			700								
4			19	455	I			475								
5			28	456	↓	↓		600								
6			RM - 66	DBB457	N	10		275								
7																
8																
9																
10																
11																
12																
13																
14																
15																
16																
17																
18																
19																
20																
21																
22																
23																
24																
25																

OBS:

L = menor que o valor registrado
 G = maior que o valor registrado
 N = não detectado
 I = interferência

B = não solicitado
 P = amostra perdida
 I = amostra insuficiente



RESULTADOS DE ANÁLISE — MÉTODOS RÁPIDOS

1 / 2

PERF.	Data	PERF./CONF.	Data
-------	------	-------------	------

Requisição: 062/SUREG/BE/79 Lote nº 0291/BE 79-80
 Projeto: Sul do Pará - c.c. 1757.610 Cartão nº 28

S	E	Q	Data		Método		Elemento		Analista	Código		Nº de Lab				
			10/03/79	10/03/79	COL.	COL.	ppm	ppm		1-2	10-11	19-20	28-29	37-38	46-47	55-56
Nº do Campo			3	4-9	12	13-18	21	22-27	30	31-36	39	40-45	48	49-54	57	58-63
1	LN-11B		DBB427	50,0		60										
2	12		428	25,0		60										
3	15		429	12,5		48										
4	20		430	25,0		80										
5	24		431	12,5		60										
6	38		432	12,5		48										
7	LN-53		433	12,5		32										
8	OA-01		434	12,5		60										
9	09		435	12,5		60										
10	10A		436	12,5		48										
11	11		437	12,5		60										
12	12B		438	12,5		40										
13	21		439	12,5		40										
14	30A		440	12,5		48										
15	30B		441	12,5		48										
16	31		442	12,5		60										
17	34		443	12,5		80										
18	37		444	12,5		60										
19	40B		445	12,5		60										
20	41		DBB446	15,0		60										
21	58A		447	25,0		80										
22	91		448	12,5		60										
23	93B		449	L 12,5		60										
24	V/100		450	L 12,5		60										
25	105		DBB451	L 12,5		48										

OBS:

Carlos Machado
GEOQUÍMICA
 Serviços Geológicos e Analíticos Ltda.

L = menor que o valor registrado
 G = maior que o valor registrado
 N = não detectado
 H = interferência
 B = não solicitado
 P = amostra perdida
 I = amostra insuficiente



PERF.	Data	PERF./CONF.	Data

Requisição: 062/SUREG/PE/79 Lote nº 0291/BE 79-80
 Projeto: Sul do Pará -- c.c. 1757.610 Cartão nº 28

S	E	Q	Nº de Campo	Data															
				10/08/79	10/08/79														
				Método	Método														
Elemento		Elemento																	
Analista		Analista																	
Código		Código																	
Nº de Lab 71-78		Nº de Lab 71-78																	
1	RE-04	DRB452	L	12,5	48														
2	13A	453	L	12,5	48														
3	18	454		12,5	60														
4	19	455		12,5	60														
5	28	456		12,5	48														
6	RE-66	DRB457		12,5	60														
7																			
8																			
9																			
10																			
11																			
12																			
13																			
14																			
15																			
16																			
17																			
18																			
19																			
20																			
21																			
22																			
23																			
24																			
25																			

OBS:

José Fogliarini
 GEOQUÍMICA
 Serviços Geológicos e Análises Ltda.

L = menor que o valor registrado
 G = maior que o valor registrado
 N = não detectado
 H = interferência
 B = não solicitado
 P = amostra perdida
 I = amostra insuficiente



CPRM

RESULTADOS DE ANÁLISE — MÉTODOS RÁPIDOS

1/1

PERF.	Data	PERF./CONF.	Data
-------	------	-------------	------

Requisição: 0061/BE/79

Lote nº 0290/BE

79-80

Projeto: SUL DO PARÁ II - 1757.610

Cartão nº 28

Nº de Campo	Date	24.05.79												
	Método	Cromat.												
Elemento	U ppm													
Analista	Hohato													
Código	1-2	10-11	19-20	28-29	37-38	46-47	55-56							
Nº de Lab 71 - 78	3	4-9	12	13-18	21	22-27	30	31-36	39	40-45	48	49-54	57	58-63
LN - 46	DBB419	N	10											
OA - 44B	420													
90	421													
94C	422													
95	423													
OA - 97B	424													
RM - 03	425	↓	↓											
RM - 61C	DBB426	N	10											

OBS:

L = menor que o valor registrado B = não solicitado
 G = maior que o valor registrado P = amostra perdida
 N = não detectado I = amostra insuflada
 H = interferência



CPRM

RESULTADOS DE ANÁLISE — MÉTODOS RÁPIDOS

1/1

PERF.	Data	PERF./CONF.	Data
-------	------	-------------	------

Requisição: 0060/EE/79 Lote nº 0289/BE 79-80

Projeto: Sul do Pará II - 1757-610

Cartão nº 28

S E Q	Nº. de Campo	Data	31/5/79											
		Método	A.A.		A.A.	A.A.	A.A.							
		Elemento	Pb ppm		Pb ppm	Zn ppm	Al ppm							
Analista	01	02	03	10										
Código	1-2	10-11	19-20	28-29	37-38	46-47	55-56							
Nº de Lab 71-78	3	4-9	12	13-18	21	22-27	30	31-36	39	40-45	48	49-54	57	58-63
28	DBB417	150	15	70	L	0,05								
29	DBB418	54	40	90	L	0,05								

OBS:

Julio Cesar
Alunos do Brasil Geologia e Pesquisas Ltda

L = menor que o valor registrado
 G = maior que o valor registrado
 N = não detectado
 I = interferência
 B = não solicitado
 P = amostra perdida
 I = amostra insuficiente



RESULTADOS DE ANÁLISES — RAIOS X

PERF.	Data	PERF./CONF.	Data
-------	------	-------------	------

Requisição : 061/SUREG/BE/79
 Projeto : Sul do Pará - 1757

Lote nº : 290/BE
 Data do registro : 04/6/79
 79-80
 Cartão nº 22

S	E	Nº de Campo	Método										
			Determinação										
Q			Analista										
			Código	1-2	10-11		19-20		28-29		37-38		
			Nº de Lab 71-78	3	4-9	12	13-18	21	22-27	30	31-36	39	40-45
1		LN-R-46	DBB419	L	100								
2		OA-R-44B	420										
3		90	421										
4		94C	422										
5		95	423										
6		97B	424										
7		RM-R-03	425										
8		61C	DBB 426	L	100								
9	/												
10	/												
11	/												
12	/												
13	/												
14	/												
15	/												
16	/												
17	/												
18	/												
19	/												
20	/												

OBS:

M. H. Salabellu

L = menor que o valor registrado
 G = maior que o valor registrado
 N = não detectado
 H = interferência
 B = não solicitado
 P = amostra perdida
 I = amostra insuficiente



Diretorio de Operações — LAMIN

RESULTADOS DE ANÁLISES — RAIOS X

PERF.	Data	PERF./CONF.	Data
-------	------	-------------	------

Requisição: 062/SUREG/BE/79

Lote nº: 291/BE

79-80

Projeto: Sul do Para-1757

Data do registro: 03/7/79

Cortão nº 22

S E Q	Nº de Campo	Método																			
		Determinação																			
		Analista																			
		Código	10-11		19-20		28-29		37-38												
Nº de Lab 71-78	3	4-9	12	13-18	21	22-27	30	31-36	39	40-45											
1	LN-R-11B	DBB427	L	100																	
2	12	428																			
3	15	429																			
4	20	430																			
5	24	431																			
6	38	432																			
7	LN-R-53	433																			
8	OA-R-01	434																			
9	09	435																			
10	10A	436																			
11	11	437																			
12	12B	438																			
13	27	439																			
14	30A	440																			
15	30B	441																			
16	31	442																			
17	34	443																			
18	37	444																			
19	40B	445																			
20	OA-R-41	DBB 446	L	100																	

OBS:

pl. 46. Salada

L = menor que o valor registrado
 G = maior que o valor registrado
 N = não detectado
 M = interferência
 B = não solicitado
 P = amostra perdida
 I = amostra insuficiente



Diretorio de Operações — LAMIN

RESULTADOS DE ANÁLISES — RAIOS X

PERF.	Data	PERF./CONF.	Data
-------	------	-------------	------

Requisição : 062/SUREG/BE/79

Lote nº : 291/BE

79-80

Projeto : Sul do Para-1757

Data do registro : 03 / 7 / 79

Cartão nº 22

S	E	Q	Método													
			Determinação	Analista												
Nº de Campo			Semi-Quantit													
			ppm Th													
			12													
Nº de Lab			71 - 78													
			3	4 - 9	10-11	12	13-18	19-20	21	22-27	28-29	30	31-36	37-38	39	40-45
1	DA-R-58A		DBB447	L	100											
2	91		448													
3	98B		449													
4	100		450													
5	DA-R-105		451													
6	RM-R-04		452													
7	13A		453													
8	18		454													
9	19		455													
10	28		456													
11	RM-R-66		DBB457	L	100											
12																
13																
14																
15																
16																
17																
18																
19																
20																

OBS:

M. H. Salatella

L = menor que o valor registrado
 G = maior que o valor registrado
 N = não detectado
 H = interferência
 B = não solicitado
 P = amostra perdida
 I = amostra insuficiente



RESULTADOS DE ANÁLISE DE CONCENTRADO

- QUALITATIVA (%)
- SEMIQUANTITATIVA (%)
- QUANTITATIVA (g/m³)

PERF.	Data	PERF/CONF	Data
-------	------	-----------	------

Requisição: 0022/BE/79 . Lote nº 0252/BE

79-80

Projeto: SUL DO PARA II - C.C.: 1757.610

Cartão nº 42

Nº de Campo	Mineral	pesos (gramas)												MAGNETITA	ILMENITA	CASSITERITA	RUTILA	S E Q		
		TOTAL		QUARTEADO		CONCENTRADO		28-29		37-38		46-47							55-56	
		1-2	58	10-11	59	19-20	60	30	31-36	39	40-45	48	49-54						57	58-63
01	DBA020		560				0,9	S	01	S	40						1			
02	021		33,0				0,9	S	01	S	03	S	01	S	01		2			
03	022		350				0,1	S	01	S	40			S	01		3			
04	023		915				0,4	S	01	S	40	S	01				4			
05	024		924				40	S	40	S	03	S	01	S	01		5			
06	025		1190				90	S	15	S	15						6			
07	026		268				0,2	S	01	S	15			S	01		7			
BD-08	DBA027		257				0,1	S	01	S	15			S	01		8			
																	9			
																	10			
																	11			
																	12			
																	13			
																	14			
																	15			
																	16			
																	17			
																	18			
																	19			
																	20			

QUALITATIVA

Qualificador	Significado
X	> 50 %
Y	5 - 50 %
Z	< 5 %

P = amostra perdida
I = amostra insuficiente

DATA: 24/04/79

ANALISTA: JOY KOPLER

SEMIQUANTIT

NORMAL

Qualificador	Significado
S	75 - 100 %
S	50 - 75 %
S	25 - 50 %
S	5 - 25 %
S	1 - 5 %

S		
E		



RESULTADOS DE ANÁLISE DE CONCENTRADO

- QUALITATIVA (%)
- SEMIQUANTITATIVA (%)
- QUANTITATIVA (g/m³)

PERF.	Data	PERF/CONF	Data
-------	------	-----------	------

Requisição: 0022/BE/79 Lote nº 0252/BE
 Projeto: SUL DO PARA II C.C.: 1757.610

79-80

Cartão nº 42

S E Q	Nº de Campo	Mineral	MONAZITA		ZINCO		XENOTÍMIO		ANATÁSIO		TORRILIO		GRANADA		TURMALINA		S E Q		
			1-2		10-11		19-20		28-29		37-38		46-47		55-56				
			Código		12		13		14		15		28		29			33	
Nº de Lab 71-78		3	4-9	12	13-18	21	22-27	30	31-36	39	40-45	48	49-54	57	58-63				
1	01	DBA020			S	40	S	01	S	03							1		
2	02	021	S	01	S	60			S	01	S	01				S	01	2	
3	03	022	S	01	S	40			S	01	S	01	S	01				3	
4	04	023	S	01	S	40			S	01						S	01	4	
5	05	024			S	40			S	01	S	01						5	
6	06	025			S	40			S	01	S	01						6	
7	07	026	S	01	S	40			S	01	S	01				S	01	7	
8	08	DBA027			S	60			S	01	S	01	S	01			S	01	8
9																		9	
10																		10	
11																		11	
12																		12	
13																		13	
14																		14	
15																		15	
16																		16	
17																		17	
18																		18	
19																		19	
20																		20	

DBS:



RESULTADOS DE ANÁLISE DE CONCENTRADO

- QUALITATIVA (%)
- SEMIQUANTITATIVA (%)
- QUANTITATIVA (g/m³)

PERF.	Data	PERF/CONF	Data
-------	------	-----------	------

Requisição: 0022/BE/79 Lote nº 0252/BE
 Projeto: SUL DO PARA II C.C.: 1757.610

79-80

Cortão nº 42

S E Q	Nº de Campo	Mineral	ESTRUCOLITA		ANDRUSITA		EPIDOTO		GARNITA		ESPINÉLIOSL		FOSFATO SL		LEUCOXÊNIO	
			1-2		10-11		19-20		28-29		37-38		46-47		55-56	
			Código		35		36		38		41		42		46	
Nº de Lab 71-78		3	4-9	12	13-18	21	22-27	30	31-36	39	40-45	48	49-54	57	58-63	
1	81-01	DBA020			S	01	S	01					S	01	S	03
2	02	021					S	01			S	01			S	01
3	03	022	S	01			S	01	S	01			S	01	S	01
4	04	023	S	01			S	01			S	01			S	03
5	05	024					S	01							S	03
6	06	025					S	01							S	03
7	07	026					S	01					S	01	S	01
8	88-03	DBA027					S	01							S	01
9																
10																
11																
12																
13																
14																
15																
16																
17																
18																
19																
20																

REMARKS:



RESULTADOS DE ANÁLISE DE CONCENTRADO

- QUALITATIVA (%)
- SEMIQUANTITATIVA (%)
- QUANTITATIVA (g/m³)

PERF.	Data	PERF/CONF	Data
-------	------	-----------	------

Requisição: 0022/DE/79 Lote nº 0252/BE

79-80

Cartão nº 42

Projeto: SUL DO PARA XI C.C.: 1757.610

S E Q	Nº de Campo	Mineral	AMBITA		MUCAS		OX FERRO								S E Q		
			1-2		10-11		19-20		28-29		37-38		46-47			55-56	
			Código		50		54		57								
Nº de Lab 71-78		3	4-9	12	13-18	21	22-27	30	31-36	39	40-45	48	49-54	57	58-63		
1	01	D3A020					S 15									1	
2	02	021					S 15									2	
3	03	022	S	01			S 15									3	
4	04	023					S 15									4	
5	05	024	S	01			S 15									5	
6	06	025			S	01	S 15									6	
7	07	026					S 15									7	
8	08-09	D3A027					S 15									8	
9																9	
10																10	
11																11	
12																12	
13																13	
14																14	
15																15	
16																16	
17																17	
18																18	
19																19	
20																20	

OBS:



RESULTADOS DE ANÁLISE DE CONCENTRADO

- QUALITATIVA (%)
- SEMIQUANTITATIVA (%)
- QUANTITATIVA (g/m³)

PERF.	Data	PERF/CONF	Data
-------	------	-----------	------

Requisição: 0046/BE/79 Lote nº 0275/BE
 Projeto: SUL DO PARA II - C.C.: 1757.620

79-80

Cartão nº 42

Nº de Campo	Mineral	pesos (grãos)														S E Q								
		TOTAL		QUARTEADO				CONCENTRADO				MANGUEITA		MANGUEITA			SCHEELITA		RUTILO					
		1-2	58	10-11		59	19-20		60	28-29		01	37-38		03		46-47		08	55-56		10		
Nº de Lab 71-78	3	4-9	12	13-18	21	22-27	30	31-36	39	40-45	48	49-54	57	58-63										
PM-77	DBA522		57,3		12,7		3,6								Z		Y						1	
79	523		58,8		30,6		2,5								Z		Z						2	
80	524		63,9		31,3		4,9		Z						Z		Z						3	
84	525		66,0		34,0		2,3								Z		Z			Z			4	
85	526		63,7		18,1		2,4								Z		Z						5	
86	527		63,2		16,6		4,6		Z						Z								6	
87	528		80,8		20,7		3,1		Z						Z		Z			Z			7	
88	529		74,9		27,9		2,7		Z						Y		Z						8	
PM-89	DBA530		109,7		87,8		2,7								X					Z			9	
																							10	
																								11
																								12
																								13
																								14
																								15
																								16
																								17
																								18
																								19
																								20

QUALITATIVA

Qualificador	Significado
X	> 50 %
Y	5 - 50 %
Z	< 5 %

P = amostra perdida
 I = amostra insuficiente

DATA: 17.04.79

ANALISTA: F. Wolff

SEMIQUANTITATIVA NORMAL

Qualificador	Nº de Lab 71-78	Significado
S	65	75 - 100 %
S	60	50 - 75 %
S	40	25 - 50 %
S	15	5 - 25 %
S	03	1 - 5 %
S	01	< 1 %

S			
E			
Q			



RESULTADOS DE ANÁLISE DE CONCENTRADO

- QUALITATIVA (%)
- SEMIQUANTITATIVA (%)
- QUANTITATIVA (g/m³)

PERF.	Data	PERF/CONF	Data
-------	------	-----------	------

79-80

Requisição: 0046/BE/79 Lote nº 0276/BE

Cartão nº 42

Projeto: SUL DO PARA II C.G.: 1757.620

S E Q	Nº de Campo	Mineral	ZIRCON		ANATÁSIA		OURVO		PIRITA		GRANATA		AMFIBÓLIO		TURQUINHA		S E Q
			1-2		10-11		19-20		28-29		37-38		46-47		55-56		
			Código		Código		Código		Código		Código		Código		Código		
Nº de Lab 71-78			3	4-9	12	13-18	21	22-27	30	31-36	39	40-45	48	49-54	57	58-63	
1	77	DBA522	Z				Z		Z				X		Z		1
2	79	523	Z								Z		X		Z		2
3	80	524	Y										X		Z		3
4	84	525	Z		Z								Y		Z		4
5	85	526	Z				Z						X		Z		5
6	86	527	Z				Z						Z		Z		6
7	87	528	Y				Z						Y		Z		7
8	88	529	Z		Z		Z				Z		Z		Y		8
9	RM-89	DBA530	Z								Z		Z		Y		9
10																	10
11																	11
12																	12
13																	13
14																	14
15																	15
16																	16
17																	17
18																	18
19																	19
20																	20

OBS:



RESULTADOS DE ANÁLISE DE CONCENTRADO

- QUALITATIVA (%)
- SEMIQUANTITATIVA (%)
- QUANTITATIVA (g/m³)

PERF.	Data	PERF/CONF	Data
-------	------	-----------	------

Requisição: 0046/BE/79 Lote nº 0278/BE
 Projeto: SUL DO PARA II - C.C. 1757.620

79-80

Cortão nº 42

S E Q	Nº de Campo	Mineral	CIANITA		AMALUZITA		EPIDOTO		CORINDON		ESPINÉLIO S.L.		LÉIXOXÊNIO		APATITA		S E Q
			Código		Código		Código		Código		Código		Código		Código		
			1-2	34	10-11	36	19-20	38	28-29	39	37-38	42	46-47	48	55-56	50	
Nº de Lab 71-78		3	4-9	12	13-18	21	22-27	30	31-36	39	40-45	48	49-54	57	58-63		
1	77	DBA522							Z				Z		Z		1
2	78	523											Z		Z		2
3	80	524									Z		Z		Z		3
4	84	525	Z										Z		Z		4
5	85	526											Z				5
6	86	527											Z				6
7	87	528													Z		7
8	88	529			Z		Z				Z						8
9	PH-89	DBA530	Z				Z				Z		Z				9
10																	10
11																	11
12																	12
13																	13
14																	14
15																	15
16																	16
17																	17
18																	18
19																	19
20																	20

OBS:



RESULTADOS DE ANÁLISE DE CONCENTRADO

- QUALITATIVA (%)
- SEMIQUANTITATIVA (%)
- QUANTITATIVA (g/m³)

PERF.	Data	PERF/CONF	Data
-------	------	-----------	------

Requisição: 0046/BE/79 Lote nº 0276/BE
 Projeto: SUL DO PISA II - C.C. 1757.023

79-90

Cartão nº 42

S E Q	Nº de Campo	Mineral	Micas		OXÍDO DE FERRO										S E Q		
			Código		Código		19-20		28-29		37-38		46-47			55-56	
			Nº de Lab 71-78		3	4-9	12	13-18	21	22-27	30	31-36	39	40-45		48	49-54
1	77	0222	Z		Z											1	
2	79	023			Y											2	
3	80	024	Z		Y											3	
4	84	026			Y											4	
5	85	026			Y											5	
6	86	027			X											6	
7	87	028			X											7	
8	88	029			X											8	
9	89	030			Z											9	
10																10	
11																11	
12																12	
13																13	
14																14	
15																15	
16																16	
17																17	
18																18	
19																19	
20																20	

BS:



CPRM

Diretoria de Operações — LAMIN

ANÁLISE ESPECTROGRÁFICA SEMIQUANTITATIVA

REQUISIÇÃO: 023/BE/79

PROJETO: SUL DO PARÁ II - C.C.: 1757.610

PERF	PERF/CONF
Date	Date

1/3

LOTE Nº: 253/BE

FILME Nº: III-1-118

S E Q	(0,05) Fe %	(0,02) Mg %	(0,05) Ca %	(0,002) Ti %	(10) Mn	(0,5) Ag	(200) As	(10) Au	(10) B	(20) Bo	Nº DE LABORATÓRIO			Nº DE CAMPO		S												
	1	2-7	8	9-14	15	16-21	22	23-28	29	30-35	36	37-42	43	44-49	50		51-56	57	58-63	64	65-70	71-76	77	78	79-80			
1	15	2	5	G 1		1500	N	0,5	N	200	N	10	L	10	1000											BCR	1	
2																											09	2
3																											09	3
4																											09	4
5																											09	5
6																											09	6
7																											09	7
8																											09	8
9																											09	9
10																											09	10
11																											09	11
12																											09	12
13	0,5	0,05	L	0,05	G 1		70	N	0,5	N	200	N	10		30	150				DBA028						09	80-101	13
14	3	0,15	L	0,05	G 1		700								30	300					029					09	102	14
15	0,7	0,05	L	0,05	G 1		300								10	500					030					09	103	15
16	3	0,1		0,07	1		700								50	700					031					09	104	16
17	3	0,07	L	0,05	1		300								10	500					032					09	105	17
18	1	0,15			G 1		200								30	700					033					09	106	18
19	1	0,1			G 1		150								20	700					034					09	107	19
20	2	0,05	L	0,05	G 1		1000	N	0,5	N	200	N	10		10	700				DBA035						09	80-108	20
21																											09	21
22																											09	22
23																											09	23
24																											09	24

NOTA: Fe, Mg, Ca e Ti estão expressos em %, todos os outros elementos estão expressos em ppm. Os resultados obedecem a série 1; 0,7; 0,5; 0,3; 0,2; 0,15; 0,1 etc.

Os limites inferiores de detecção estão entre parênteses.

PERF.	PERF./CONT.
Data	Data

2/3

DATA: 21.5.77 ANALISTA: Hely

LOTE Nº: 253/NE
FILME Nº: III-4-118

S	(1)	(10)	(20)	(5)	(10)	(5)	(20)	(5)	(10)	(5)	(10)	(5)	Nº DE LABORATÓRIO				Nº DE CAMPO	S								
	Be	Bi	Cd	Co	Cr	Cu	La	Mo	Nb	Ni	CARTÃO															
Q	1	2-7	8	9-14	15	16-21	22	23-28	29	30-35	36	37-42	43	44-49	50	51-56	57	58-63	64	65-70	71-76	77	78	79-80		
1	L	1	N	10	N	20		50		20		10		20	N	5	L	10		15					BCR	1
2																								10		2
3																								10		3
4																								10		4
5																								10		5
6																								10		6
7																								10		7
8																								10		8
9																								10		9
10																								10		10
11																								10		11
12																								10		12
13		1	N	10	N	20	N	5	L	10	L	5	30	N	5	70	N	5	DBA028		10				BD-101	13
14		1						5		20	L	5	30			10	5	029		10					102	14
15		1						L	5	L	10	L	5	20		50	N	5	030		10				103	15
16	L	1						5		10		7	30			L	10	L	5	031		10			104	16
17	L	1						L	5	20		10	50			L	10	L	5	032		10			105	17
18		1.5						L	5	10		5	30			10	L	5	033		10				106	18
19		1						N	5	10		7	30			15	L	5	034		10				107	19
20	L	1	N	10	N	20	L	5		20		5	50	N	5	100	N	5	DBA035		10				BD-109	20
21																								10		21
22																								10		22
23																								10		23
24																								10		24

Q = Maior que o valor registrado (limite superior de detecção) N = Interferência
 L = Menor que o valor registrado (limite inferior de detecção) N = Não detectado

PERF.	Date	PERF./CONT.	Date
-------	------	-------------	------

3/3

DATA: 21.5.179 ANALISTA: Helio José da Luz
 TEL. QUÍMICO - CER-3537-11-3º R. S. Q. 100

LOTE Nº..... 253/RK.....
 FILME Nº..... III-1-113.....

S E	(10) Pb		(100) Sb		(5) Sc		(10) Sn		(100) Sr		(10) V		(50) W		(10) Y		(200) Zn		(10) Zr		Nº DE LABORATÓRIO		CARTÃO	Nº DE CAMPO	S E				
	1	2-7	8	9-14	15	16-21	22	23-28	29	30-35	36	37-42	43	44-49	50	51-56	57	58-63	64	65-70	71-76	77	78	79-80					
1		15	N	100		30	N	10		300		500	N	50		50	L	200		150						BCR	1		
2																													
3																													
4																													
5																													
6																													
7																													
8																													
9																													
10																													
11																													
12																													
13		10	N	100	H	10	N	10	L	100	L	10	N	50		70	N	200	G	1000					03A028		BC-101	13	
14		20			H	15	N	10	L	100		50				20									029		102	14	
15		15			H	5		10	N	100		15				30									030		103	15	
16		20			H	10	L	10		100		70				15									031		104	16	
17		20			H	10	L	10	N	100		70				15									032		105	17	
18		50			H	15	N	10	L	100		30				20									033		106	18	
19		20	V	V	H	10	N	10	N	100		20	V	V		20	V	V	V	V	V	V	V	V	V	034		107	19
20		30	N	100	H	30	G	1000	L	100		50	N	50		150	N	200	G	1000					03A035		BC-103	20	
21																													
22																													
23																													
24																													

OBS: BCR É UMA REFERÊNCIA PARA CONTROLE DO FILME. O BAIXO TEOR DE NA NAS AMOSTRAS PODEM AFETAR OS RESULTADOS
 MOD 303. 301: JÁ ELEMENTOS CONSIDERADOS VOLÁTEIS PARA ANÁLISE ESPECTROGRÁFICA TAIS COMO AS, Pb E Zn



CPRM

REQUISIÇÃO: 062/BE/79

PROJETO: SUL DO PARÁ

ANALISE ESPECTROGRÁFICA SEMIQUANTITATIVA

C.C.: 1757.610

Directorio de Operações - LAMIN

PLRF	Date	PLRF / Cont	Date
------	------	-------------	------

LOTE Nº: 291/BE

FILME Nº: III-0-152

S E Q	(0,05) Fe %		(0,02) Mg %		(0,05) Ca %		(0,002) Ti %		(10) Mn		(0,5) Ag		(200) As		(10) Au		(10) B		(20) Ba		Nº DE LABORATÓRIO				Nº DE CAMPO	S
	1	2-7	8	9-14	15	16-21	22	23-28	29	30-35	36	37-42	43	44-49	50	51-56	57	58-63	64	65-70	71-76	77	78	79-80		
1	15		15		3	G	1		1500	N	0,5	N	200	N	10	L	10		1000						BCR	1
2	0,7		0,07		0,5		0,07		150	N	0,5	N	200	N	10		10		3000		DBB427			09	LN-11 B	2
3	2		0,5		0,7		0,2		750										3000		428			09	12	3
4	2		0,3		0,7		0,3		300										1000		429			09	15	4
5	3		0,3		1		0,5		200										1500		430			09	20	5
6	2		0,3		1		0,3		200	V									1500		431			09	24	6
7	1		0,07		0,3		0,05		70	N	0,5								3000		432			09	38	7
8	1		0,1		0,5		0,05		150		0,7								500		433			09	LN-53	8
9	15		0,2		0,2		0,3		150	N	0,5								500		434			09	0A-01	9
10	2		0,2		0,5		0,15		300		0,5								700		435			09	09	10
11	3		0,5		0,5		0,5		1000	N	0,5								10	5000	436			09	10 A	11
12	10		2		1,5		0,5		700										L 10	1000	437			09	11	12
13	15		0,2		0,5		0,2		700										L 10	700	438			09	12 B	13
14	5		0,5		0,7		0,5		500										10	2000	439			09	27	14
15	3		0,3		0,7		0,2		500										10	2000	440			09	30 A	15
16	2		0,1		0,3		0,15		300										L 10	1500	441			09	30 B	16
17	3		0,7		1,5		0,2		700	V									L 10	2000	442			09	31	17
18	7		3		3		0,3		1500	N	0,5								L 10	1000	443			09	34	18
19	1		0,07		0,5		0,05		200	L	0,5								10	700	444			09	37	19
20	7		1		2		0,7		1500	N	0,5								L 10	2000	445			09	40 B	20
21	2		0,1		0,3		0,15		1000										10	1000	446			09	41	21
22	15		0,5		0,5		0,3		700	V									10	1000	447			09	58 A	22
23	1,5		0,3		0,5		0,5		700	N	0,5	V	V	V	V				10	1500	448			09	91	23
24	0,7		0,1		0,15		0,3		150	L	0,5	N	200	N	10				20	500	DBB449			09	0A-98 B	24

NOTA Fe, Mg, Ca e Ti estão expressos em %, todos os outros elementos estão expressos em ppm. Os resultados obedecem a série 1, 0,7, 0,5, 0,3, 0,2, 0,15, 0,1 etc.
Os limites inferiores de detecção estão entre parênteses.

PERF.	PERF./CONF.
Data	Data

23

DATA: 5.16.79 ANALISTA: *Ally*

LOTE Nº: 291/BE
FILME Nº: III-~~1~~-152

S E O	(1) Be		(10) Bi		(20) Cd		(5) Co		(10) Cr		(5) Cu		(20) La		(5) Mo		(10) Nb		(5) Ni		Nº DE LABORATÓRIO		CARTÃO	Nº DE CAMPO		S E O	
	1	2-7	8	9-14	15	16-21	22	23-28	29	30-35	36	37-42	43	44-49	50	51-56	57	58-63	64	65-70	71-76	77	78	79-80			
1	L	1	N	10	N	20		70		20		10		30	N	5	L	10		15						BCR	1
2	L	1	N	10	N	20		5	L	10		30		20	N	5	L	10	N	5				10		LN-11 B	2
3								7		15		5		30					L	5				10		12	3
4								5		10		10		150					N	5				10		15	4
5	V	V						7		10		7		500	V	V			L	5				10		20	5
6	L	1						5		10		10		200	N	5			L	5				10		24	6
7	N	1						L	5	10		10		500	L	5			N	5				10		38	7
8	L	1						L	5	L	10		7	70	L	5			L	5				10		LN-53	8
9		1						5		15		10		50	L	5			L	5				10		OA-01	9
10		1						5	L	10		70		50	N	5			L	5				10		09	10
11		1						5		10		5		70	L	5			L	5				10		10 A	11
12	N	1						50		700		30		30	N	5	V	V		70				10		11	12
13		1						5		15		7		70	N	5	L	10	L	5				10		12 B	13
14	L	1						10		15		5		700	L	5		15	L	5				10		27	14
15	L	1						L	5	L	10		5	100	L	5	L	10	N	5				10		30 A	15
16		1						L	5	N	10		7	100	L	5			N	5				10		30 B	16
17	L	1						10		15		5		70	N	5			L	5				10		31	17
18	N	1						50		150		70		30	N	5				20				10		34	18
19		15						N	5	N	10		5	70	L	5	V	V	N	5				10		37	19
20	L	1						15		30		10		100	L	5	L	10		7				10		40 B	20
21	L	1						L	5	10		5		150	L	5		10	N	5				10		41	21
22		3						7		10		5		100		7		10	L	5				10		50 A	22
23		2	V	V	V	V		5	L	10		5		150		5	L	10	L	5				10		91	23
24		2	N	10	N	20	L	5	N	10	L	5		30	N	5		10	N	5				10		OA-98 B	24

Q = Maior que o valor registrado (limite superior de detecção)
L = Menor que o valor registrado (limite inferior de detecção)
N = Interferência
V = Não detectado

DATA: 5.6.79

ANALISTA: Hélio José da Luz
 TEL. GUINILLO - CRQ - 3537-M-3ª Região

PLAF _____ Data _____ PLAF 10/10/79 Data _____

LOTE Nº: 291/82

FILME Nº: III-7-152

3

S E	(10) Pb		(100) Sb		(5) Sc		(10) Sn		(100) Sr		(10) V		(50) W		(10) Y		(200) Zn		(10) Zr		Nº DE LABORATÓRIO				Nº DE CAMPO	S E			
	1	2-7	8	9-14	15	16-21	22	23-28	29	30-35	36	37-42	43	44-49	50	51-56	57	58-63	64	65-70	71-76	77	78	79-80					
1		15	N	100		30	N	10		300		500	N	50		50	L	200		150						BCR	1		
2		50	N	100	N	5	N	10		200		20	N	50	N	10	N	200		150						000427	11	LN-11 B	2
3		30			L	5	N	10		700		30			L	10				100						428	11	12	3
4		30				7	L	10		150		20				20				700						429	11	15	4
5		50			L	5	N	10		200		30				15				300						430	11	20	5
6		30				7	L	10		300		30				15				200						431	11	24	6
7		70			N	5	N	10		150	L	10				70				500						432	11	38	7
8		30			N	5	N	10		150		10			N	10				70						433	11	LN-53	8
9		20			L	5	L	10		100		20				30				150						434	11	0A-01	9
10		75			L	5	L	10		100		10				30				150						435	11	09	10
11		30				15	L	10		300		10				30				500						436	11	10 A	11
12		20				15	N	10		300		100				20				100						437	11	11	12
13		30				5	N	10		150		20				30				150						438	11	12 B	13
14		50				10	L	10		150		50				150				1000						439	11	27	14
15		50				7	L	10		200	L	10				30				200						440	11	30 A	15
16		30				7	L	10		100	L	10				20	V			300						441	11	30 B	16
17		50				10	L	10		500		30				30	N	200		150						442	11	31	17
18		10				20	H	10		700		150				20	L	200		30						443	11	34	18
19		50			L	5	L	10		100	L	10				20	N	200		100						444	11	37	19
20		30				20	N	10		700		30				30				300						445	11	40 B	20
21		30				7	L	10		100	L	10				70				300						446	11	41	21
22		50				5	L	10		100		30				50				300						447	11	50 A	22
23		30	V	V		5	L	10		150		30	V	V		70	V	V		200						448	11	91	23
24		30	N	100		5	N	10	N	100		10	N	50		20	N	200		150						000449	11	0A-08 B	24

Obs: BCR É UMA REFERÊNCIA PARA CONTROLE DO FILME.



CPRM

REQUISIÇÃO: 062/BE/79

PROJETO: SUL DO PARÁ

Diretoria de Operações — LAMIN

ANALISE ESPECTROGRÁFICA SEMIQUANTITATIVA

C.G.: 1757.610

PERF.

PERF/CONF.

Data

Data

3

LOTE Nº: 291/BE

FILME Nº: III-0-153

S E D	(0,05) Fe %		(0,02) Mg %		(0,05) Ca %		(0,002) Ti %		(10) Mn		(0,5) Ag		(200) As		(10) Au		(10) B		(20) Bo		Nº DE LABORATÓRIO		CARTÃO	Nº DE CAMPO		S				
	1	2-7	8	9-14	15	16-21	22	23-28	29	30-35	36	37-42	43	44-49	50	51-56	57	58-63	64	65-70	71-76	77	78	79-80						
1	15		3		3		1		1000	N	0,5	N	200	N	10	L	10		1000										BCR	1
2	3		1,5		1,5		0,5		1000	N	0,5	N	200	N	10	L	10		2000	DBB450				09				0A-100	2	
3	2		0,5		0,7		0,3		300										2000	451				09			0A-105	3		
4	3		0,7		1		0,3		500										1500	452				09			RM- 04	4		
5	1		0,03		0,15		0,05		100										70	453				09			13 A	5		
6	3		0,5		0,7		0,3		700										1000	454				09			18	6		
7	1,5		0,3		0,7		0,15		300										10	1500	455			09			19	7		
8	7		2		2		0,3		700										100	1500	456			09			28	8		
9	3		0,3		0,7		0,3		500	N	0,5	N	200	N	10	L	10		1500	DBB457				09			RM- 66	9		
10																								09					10	
11																								09						11
12																								09						12
13																								09						13
14																								09						14
15																								09						15
16																								09						16
17																								09						17
18																								09						18
19																								09						19
20																								09						20
21																								09						21
22																								09						22
23																								09						23
24																								09						24

NOTA: Fe, Mg, Ca e Ti estão expressos em %, todos os outros elementos estão expressos em ppm. Os resultados obedecem a série 1, 0,7, 0,5, 0,3, 0,2, 0,15, 0,1 etc.
 Os limites inferiores de detecção estão entre parênteses.
 MOP 303-10 P1

DATA: 5, 6, 1979

ANALISTA: Helio José da Silva
 TEL. 811116 - CR8-3537 - III-3º REGIÃO

LOTE Nº: 291/0E
 FILME Nº: III-0-153

S	(1)		(10)		(20)		(5)		(10)		(5)		(20)		(5)		(10)		(5)		Nº DE LABORATÓRIO			Nº DE CAMPO	S	
	Be	Bi	Cd	Co	Cr	Cu	La	Mo	Nb	NI	71-76	77	78	79-80												
0	1	2-7	8	9-14	15	16-21	22	23-28	29	30-35	36	37-42	43	44-49	50	51-56	57	58-63	64	65-70						
1	L	1	N	10	N	20		70		20		10		30	N	5	L	10		15					BCR	1
2	L	1	N	10	N	20		10		30		10		50	N	5	L	10		10		DBD450		10	DA-100	2
3		1						7		15		10		30	N	5			L	5		451		10	DA-105	3
4	L	1						10		30		50		70	N	5				15		452		10	RM-04	4
5		7					N	5	L	10	L	5		300	L	5			L	5		453		10	13 A	5
6		1						10		15		20		30	N	5				10		454		10	18	6
7	L	1						5		20		5		20	N	5				10		455		10	19	7
8	L	1	7	7	7	7		30		150		50		50	N	5	7	7		30		456		10	28	8
9	L	1	N	10	N	20		10		10		5		30	L	5	L	10	L	5		DBD457		10	RIA-66	9
10																								10		10
11																								10		11
12																								10		12
13																								10		13
14																								10		14
15																								10		15
16																								10		16
17																								10		17
18																								10		18
19																								10		19
20																								10		20
21																								10		21
22																								10		22
23																								10		23
24																								10		24

G = Maior que o valor registrado (limite superior de detecção) H = Interferência
 L = Menor que o valor registrado (limite inferior de detecção) N = Não detectado

PERF.	PERF. CORR.
Date	Date

3/3

DATA: 5.16.1979 ANALISTA: Helio José da Silva

LOTE Nº: 291/8E
FILME Nº: III-Ø-153

S E	(10) Pb	(100) Sb	(8) Sc	(10) Sn	(100) Sr	(10) V	(50) W	(10) Y	(200) Zn	(10) Zr	Nº DE LABORATÓRIO			CARTÃO	Nº DE CAMPO		S E													
	1	2-7	8	9-14	15	16-21	22	23-28	29	30-35	36	37-42	43	44-49	50	51-56		57	58-63	64	65-70	71-76	77	78	79-80					
1		20	N	100		30	N	10		300		500	N	50		50	L	200		150							DCR	1		
2		30	N	100		15	L	10		500		50	N	50		30	N	200		200							DBB450	11	CA-100	2
3		20				5	N	10		700		30			L	10				150							451	11	CA-105	3
4		30				7	L	10		300		50				30				100							452	11	RM-04	4
5		30				5	L	10	N	100	L	10				150				200							453	11	13 A	5
6		30				5	L	10		150		30				20				100							454	11	19	6
7		30				5	N	10		700		20				10				100							455	11	19	7
8		30	Y	7		15	L	10		700		70	Y	Y		30	Y	Y		100							456	11	23	8
9		20	N	100		7	L	10		300		50	N	50		20	N	200		100							DBB457	11	RM-66	9
10																														10
11																														11
12																														12
13																														13
14																														14
15																														15
16																														16
17																														17
18																														18
19																														19
20																														20
21																														21
22																														22
23																														23
24																														24

OBS: BCR É UMA REFERÊNCIA PARA CONTROLE DO FILME.



CPRM

REQUISIÇÃO: 060/BE/79

PROJETO: SUL DO PARÁ - C.C.: 1752.610

Diretoria de Operações - LAMIN

ANÁLISE ESPECTROGRÁFICA SEMIQUANTITATIVA

PERF.	Date	PERF/CONF.	Date
-------	------	------------	------

LOTE Nº: 289/BE

FILME Nº: III-0-153

1/3

S E Q	(0,05) Fe %	(0,02) Mg %	(0,05) Ca %	(0,002) Ti %	(10) Mn	(0,5) Ag	(200) As	(10) Au	(10) B	(20) Bo	Nº DE LABORATÓRIO			CARTÃO	Nº DE CAMPO		S E Q												
	1	2-7	8	9-14	15	16-21	22	23-28	29	30-35	36	37-42	43	44-49	50	51-56		57	58-63	64	65-70	71-76	77	78	79-80				
1	15	3	3	1	1000 N	0,5 N	200 N	10 L	10	1000																BCR	1		
2																										09	2		
3																										09	3		
4																										09	4		
5																										09	5		
6																										09	6		
7																										09	7		
8																										09	8		
9																										09	9		
10																										09	10		
11																										09	11		
12																										09	12		
13																										09	13		
14																										09	14		
15																										09	15		
16																										09	16		
17																										09	17		
18																										09	18		
19																										09	19		
20																										09	20		
21	10	3	2	0,5	1500 N	0,5 N	200 N	10 L	10	1500																DBB417	09	0A-28	21
22	7	3	1,5	0,3	1000 N	0,5 N	200 N	10	15	1500																DBB418	09	0A-29	22
23																										09		23	
24																										09		24	

NOTA: Fe, Mg, Ca e Ti estão expressos em %, todos os outros elementos estão expressos em ppm. Os resultados obedecem a série 1, 0,7, 0,5, 0,3, 0,2, 0,15, 0,1 etc. Os limites inferiores de detecção estão entre parênteses.

PERF.	PERF./CONT.
Date	Date

2/1

DATA: 5.16.79

ANALISTA: *fly*

LOTE Nº: 289/RE

FILME Nº: III-1-153

S	(1)	(10)	(20)	(5)	(10)	(5)	(20)	(5)	(10)	(5)	Nº DE LABORATÓRIO	CARTÃO	Nº DE CAMPO	S													
	Be	Bi	Cd	Co	Cr	Cu	Lo	Mo	Nb	NI																	
Q	1	2-7	8	9-14	15	16-21	22	23-28	29	30-35	36	37-42	43	44-49	50	51-56	57	58-63	64	65-70	71-76	77	78	79-80			
1	L		N	10	N	20		70		20		10		30	N	5	L	10		15						BCR	1
2																								10		2	
3																								10		3	
4																								10		4	
5																								10		5	
6																								10		6	
7																								10		7	
8																								10		8	
9																								10		9	
10																								10		10	
11																								10		11	
12																								10		12	
13																								10		13	
14																								10		14	
15																								10		15	
16																								10		16	
17																								10		17	
18																								10		18	
19																								10		19	
20																								10		20	
21	L	1	N	10	N	20		100		50		150		20	N	5	L	10		30	DBB417			10	0A-28	21	
22	L	1	N	10	N	20		50		100		70		30	N	5	L	10		30	DBB418			10	0A-29	22	
23																								10		23	
24																								10		24	

O = Maior que o valor registrado (limite superior de detecção) N = Interferência
 L = Menor que o valor registrado (limite inferior de detecção) N = Não detectado

PERF.	PLAF/CONF.
Date	Date

3/3

DATA: 5.16.79

ANALISTA: Helio José da Silva
 TEL. SUINILDO - C.K.B. - 3537 - M-3 - R. 100

LOTE Nº: 200/01E

FILME Nº: III-1-153

S	(10)		(100)		(8)		(10)		(100)		(10)		(30)		(10)		(200)		(10)		Nº DE LABORATÓRIO		CARTÃO	Nº DE CAMPO		S	
	E	Pb	Sb	Sc	Sn	Sr	V	W	Y	Zn	Zr	71-76		77	78	79-80								E			
Q	1	2-7	8	9-14	15	16-21	22	23-28	29	30-35	36	37-42	43	44-49	50	51-56	57	58-63	64	65-70						0	
1		20 N	100		30 N	10		300		500 N	50		50	L	200	150										DCB	1
2																							11			2	
3																							11			3	
4																							11			4	
5																							11			5	
6																							11			6	
7																							11			7	
8																							11			8	
9																							11			9	
10																							11			10	
11																							11			11	
12																							11			12	
13																							11			13	
14																							11			14	
15																							11			15	
16																							11			16	
17																							11			17	
18																							11			18	
19																							11			19	
20																							11			20	
21		15 N	100		30 N	10		500		300 N	50		20 N	200	15								DCB417	11	0A-28	21	
22		20 N	100		20 N	10		500		150 N	50		15 N	200	100								DCB418	11	0A-29	22	
23																							11			23	
24																							11			24	

OBS: SER UMA REFERÊNCIA PARA CONTROLE DO FILME.



CPRM

REQUISIÇÃO: 046/BE/79

PROJETO: SUL DO PARÁ II

ANALISE ESPECTROGRÁFICA SEMIQUANTITATIVA

C.C.: 1757.620

Diretorio de Operações — LAMIN

PERF.	Date	PERF/CONF.	Date
-------	------	------------	------

1/3

LOTE Nº: 276/BE

FILME Nº: III-126

S E Q	(0,05) Fe %	(0,02) Mg %	(0,05) Ca %	(0,002) Ti %	(10) Mn	(0,5) Ag	(200) As	(10) Au	(10) B	(20) Ba	Nº DE LABORATÓRIO / CARTÃO				Nº DE CAMPO	S E Q
	1 2-7	8 9-14	15 16-21	22 23-28	29 30-35	36 37-42	43 44-49	50 51-56	57 58-63	64 65-70	71-76	77	78	79-80		
1	15	15	3	1	1000 N	0,5 N	200 N	10 L	10	700					BCR	1
2															09	2
3															09	3
4															09	4
5															09	5
6															09	6
7															09	7
8															09	8
9															09	9
10															09	10
11															09	11
12															09	12
13															09	13
14															09	14
15															09	15
16	10	5	15	1	2000	30	200	300	15	70	DBA522			09	RM-77	16
17	15	5	10	0,7	1500 N	0,5	200 N	10	70	150	523			09	79	17
18	20	3	10	1	700		L 200 L	10	70	200	524			09	80	18
19	G 20	1,5	3	1	500		700 N	10	1000	200	525			09	84	19
20		7	15	0,5	700		500 L	10	50	150	526			09	85	20
21		0,15	0,1	0,7	300		3000 N	10	700	150	527			09	86	21
22		1	0,7	G 1	300		700 L	10	1500	150	528			09	87	22
23	G 20	0,3	0,1	G 1	1000		500 N	10	G 2000	150	529			09	88	23
24	15	1	0,2	G 1	700 N	0,5 N	200 N	10	G 2000	20	DBA530			09	RM-89	24

NOTA: Fe, Mg, Ca e Ti: sendo expressor em %, todos os outros elementos sendo expressor em ppm. Os resultados obedecem a série 1; 0,7; 0,5; 0,3; 0,2; 0,15; 0,1 etc.
Os limites inferiores de detecção estão entre parênteses.

PERF. _____ Date _____ PERF 70047 _____ Date _____ 2/3

DATA: 25.5.79 ANALISTA: Fluy

LOTE Nº: 276/DE
FILME Nº: III-7-126

S	(1)		(10)		(20)		(5)		(10)		(5)		(20)		(5)		(10)		(5)		Nº DE LABORATÓRIO			Nº DE CAMPO	S	
	Be	Bi	Cd	Co	Cr	Cu	Lo	Mo	Nb	Ni	71-76			77-78			79-80									
0																										
1	L	N	10	N	20	70	20	N	5	L	10	N	15												DCR	1
2																										2
3																										3
4																										4
5																										5
6																										6
7																										7
8																										8
9																										9
10																										10
11																										11
12																										12
13																										13
14																										14
15																										15
16	1.5		70	N	20	100	1500	50	100	200	50	300	DBA522											10	RII-77	16
17	1	N	10			50	5000	30	20	L	5	L	10	200	523									10	79	17
18	L					70	5000	30	20	N	5		200	524										10	80	18
19	L					30	5000	50	30	N	5		150	525										10	84	19
20	1					30	5000	30	20	L	5		200	526										10	85	20
21	1.5					30	5000	70	30		5		150	527										10	86	21
22	L					20	5000	50	30	L	5		150	528										10	87	22
23	L					50	3000	50	20	N	5		100	529										10	88	23
24	N	N	10	N	20	70	2000	15	20	N	5	L	10	50	DBA530									10	RII-89	24

De Maior que o valor registrado (limite superior de detecção) N= Interferência
 De Menor que o valor registrado (limite inferior de detecção) N= Não detectado

PERT	Date	PLAT/CONF.	Date
------	------	------------	------

3/3

DATA: 25.5.79

ANALISTA: Helio José da Luz
 TEL. QUINIL 2-3537-MIN 3^o R. EGÍDIO

LOTE Nº: 276/NE

FILME Nº III-4-126

S	(10)		(100)		(8)		(10)		(100)		(10)		(50)		(10)		(200)		(10)		Nº DE LABORATÓRIO			CARTÃO	Nº DE CAMPO		S	
	E	Pb	Sb	Sc	Sn	Sr	V	W	Y	Zn	Zr												E					
0	1	2-7	8	9-14	15	16-21	22	23-28	29	30-35	36	37-42	43	44-49	50	51-56	57	58-63	64	65-70	71-76	77	78	79-80			0	
1		20 N	100		30 N	10		300		500 N	50		50	L	200		150										BCR	1
2																									11			2
3																									11			3
4																									11			4
5																									11			5
6																									11			6
7																									11			7
8																									11			8
9																									11			9
10																									11			10
11																									11			11
12																									11			12
13																									11			13
14																									11			14
15																									11			15
16		15 N	100	H	50 H	10		200		100 G	2000		100 N	200 G	1000										DBA522	11	RM-77	16
17		30		H	70 N	10	N	100		150	70		100												523	11	79	17
18		70		G	100 N	10	L	100		300	50		150												524	11	80	18
19		50		G	100 N	10		100		300	50		70												525	11	84	19
20		30		H	100 N	10	N	100		300	50		70												526	11	85	20
21		50		H	50 N	10	N	100		700	50		30												527	11	06	21
22		50		H	70 H	10	L	100		300	700		70												528	11	07	22
23		70		H	50 H	10	L	100		300	50		30												529	11	03	23
24		70 N	100		15 H	10	N	100		50	50		30 N	200		700									DBA530	11	RM-09	24

OBS: BCR É UMA REFERÊNCIA PARA CONTROLE DO FILME. (2) O BAIXO TQR DE NA NAS AMOSTRAS PODEM AFETAR OS RESULTADOS DOS ELEMENTOS CONSIDERADOS VOLÁTEIS PARA ANÁLISE ESPECTROGRÁFICA TAIS COMO AS, Pb e Zn



CPRM

REQUISIÇÃO: 008/DE/79
PROJETO: Sul do Para II

Diretório de Operações — LAMIN
ANALISE ESPECTROGRÁFICA SEMIQUANTITATIVA
cc. 1757.610

PERF Date PERF/CONF Date

LOTE Nº: 233/BE
FILME Nº: III-6-97

3

S E Q	(0,05) Fe %	(0,02) Mg %	(0,05) Co %	(0,002) Ti %	(10) Mn	(0,5) Ag	(200) As	(10) Au	(10) B	(20) Bo	Nº DE LABORATÓRIO				CARTÃO	Nº DE CAMPO	S												
	1	2-7	8	9-14	15	16-21	22	23-28	29	30-35	36	37-42	43	44-49	50	51-56	57	58-63	64	65-70	71-76	77	78	79-90					
1	15	2	5	1	1500	N	0,5	N	200	N	10	L	10	1000												BCR	1		
2	3	0,15	0,3	0,7	700	N	0,5	N	200	N	10	L	10	500	DAZ 613		09									RM-36A	2		
3	5	0,3	0,3	1	700							L	10	1500	614		09									36B	3		
4	3	0,15	0,15	1	1000							L	10	1000	615		09									36C	4		
5		0,05	0,05	G 1	700							L	10	700	616		09									36D	5		
6		0,02	L 0,05	1	700									10	500	617		09								36E	6		
7				1	500									10	300	618		09								36F	7		
8				1	300								L	10	300	619		09								36G	8		
9	3			G 1	500									500	620		09									36H	9		
10	2			G 1	700									500	621		09									I	10		
11	3	0,02		G 1	700									300	622		09									J	11		
12	2	L 0,02		1	500								L	10	200	623		09								K	12		
13	2	L 0,02	L 0,05	1	700									10	200	624		09								L	13		
14	2	0,02	0,05	1	700									10	200	625		09								M	14		
15	3	0,02	0,07	1	500									10	150	626		09								N	15		
16	2	0,02	L 0,05	1	700									10	200	627		09								Ø	16		
17	3	0,03	0,07	0,7	700								L	10	300	628		09								P	17		
18	2	L 0,02	0,15	G 1	700									10	200	629		09								Q	18		
19	3	0,02	L 0,05	1	700									10		630		09								R	19		
20	3	L 0,02	L 0,05	G 1	700									10		631		09								S	20		
21	3	0,03	L 0,05	G 1	1000	N	0,5	N	200	N	10			10	200	DAZ 632		09								RM-36T	21		
22																		09										22	
23																		09											23
24																		09											24

NOTA: Fe, Mg, Co e Ti estão expressos em %, todos os outros elementos estão expressos em ppm. Os resultados obedecem a série: 1, 0,7, 0,5, 0,3, 0,2, 0,1 etc. Os limites inferiores de detecção estão entre parênteses.

PERF.	PERF/CONF.
Date	Date

2/3

DATA: 2.15.79

ANALISTA: *Heuz*

LOTE Nº: 238/UB

FILME Nº: III-ø-97

S	(1)		(10)		(20)		(5)		(10)		(5)		(10)		(5)		Nº DE LABORATÓRIO		CARTÃO	Nº DE CAMPO	S	
	Be	Bi	Cd	Co	Cr	Cu	Lo	Mo	Nb	NI	71-76	77	78	79-80	71-76	77	78	79-80				E
1	L	1	N	10	N	20	70	20	15	20	N	5	L	10	15						BCR	1
2	L	1	N	10	N	20	5	10	30	30	N	5	L	10	5	DAZ 613			10		RM-36A	2
3	L	1					7	20	20	50			L	10	10	614			10		36B	3
4	L	1					5	30	10	50				10	7	615			10		36C	4
5	L	1					5	30	5	30			L	10	10	616			10		36D	5
6	N	1					L	5	20	5	50		L	10	7	617			10		36E	6
7							5	30	7	30				10	7	618			10		36F	7
8								20	7	70				10	7	619			10		36G	8
9								30	5	50				10	5	620			10		36H	9
10								20	L	5	50		L	10	5	621			10		I	10
11								30	L	5	70			10	5	622			10		J	11
12								15		7	30		L	10	7	623			10		K	12
13								20		7	30			10	7	624			10		L	13
14								20		10	50			10	10	625			10		M	14
15								20		7	70		L	10	10	626			10		N	15
16								30		7	50			10	10	627			10		ø	16
17								5		20	10		L	10	10	628			10		P	17
18								7		20	5			10	10	629			10		Q	18
19								5		30	5		L	10	15	630			10		R	19
20	N	1	ø	ø	ø	ø	7	30	7	50	ø	ø	L	10	15	631			10		S	20
21	L	1	N	10	N	20	7	70	15	70	N	5		10	20	DAZ 632			10		RM-36T	21
22																			10			22
23																			10			23
24																			10			24

Lo Maior que o valor registrado (limite superior de detecção)
Lm Menor que o valor registrado (limite inferior de detecção)

Nº Interferência
Nº Não detectado



FICHAS DE ANÁLISES PETROGRÁFICAS
PROJETO INTEGRAÇÃO GEOLÓGICO-GEOFÍSICA SUL DO PARÁ



BD - BENEDITO CARLOS DAMASCENO



C P R M

ANÁLISE

PETROGRÁFICA

REQUISIÇÃO:

LOTE Nº:

Nº DE CAMPO: 1757-BD-24

Nº DE LABORATÓRIO:

Características Mesoscópicas

Rocha ígnea, intrusiva, isotrópica, leucocrática, algo inequigranular, grã média a grossa, de coloração róseo-avermelhada. Quartzo e feldspato potássico representam a quase totalidade da rocha, com a biotita presente, em quantidades subordinadas.

Composição Mineralógica

Minerais

ORTOCLÁSIO
 QUARTZO
 OPACOS
 ARGILOMINERAIS
 BIOTITA CLORITIZADA

Minerais

Classe

ÍGNEA INTRUSIVA ABISSAL

Rocha

ALCALI FELDSPATO GRANITO

Informações Complementares

GRANITO TELES PIRES

Petrógrafo

JOSÉ DE MOURA CARREIRA

REQUISIÇÃO:

LOTE Nº:

Nº DE CAMPO: 1757-BD-25

Nº DE LABORATÓRIO:

Características Mesoscópicas

Rocha ígnea, intrusiva, isotrópica, leucocrática, inequigranular, grã grossa, de coloração rosada. A rocha apresenta-se essencialmente constituída de quartzo e feldspatos (ortoclásio e plagioclásio), sendo a biotita o único máfico mesoscopicamente identificado.

Composição Mineralógica

Minerais

ORTOCLÁSIO
 QUARTZO
 PLAGIOCLÁSIO
 ARGILOMINERAIS
 BIOTITA
 OPACOS

Minerais

EPIDOTO
 MUSCOVITA

Classe

ÍGNEA INTRUSIVA ABISSAL

Rocha

ALCALI FELDSPATO GRANITO

Informações Complementares

GRANITO TELES PIRES

Petrógrafo

JOSÉ DE MOURA CARREIRA

Observações: As amostras BD-24 e 25 são do tipo rapakivi.



C P R M

ANÁLISE PETROGRÁFICA

REQUISIÇÃO:

LOTE Nº:

Nº DE CAMPO: 1757-BD-29

Nº DE LABORATÓRIO:

Características Mesoscópicas

Rocha ígnea, intrusiva, isotrópica, leucocrática, inequigranular, grã predominantemente média, de coloração rosada. Apresenta-se essencialmente constituída de feldspatos e quartzo, sendo a biotita o máfico dominante. Grãos de feldspato manteados, com núcleo ortoclásico e bordas plagioclásicas, são microscopicamente observáveis.

Composição Mineralógica
<p>Minerais</p> <p>ORTOCLÁSIO OLIGOCLÁSIO QUARTZO SERECITA ARGILOMINERAIS BIOTITA</p>

Composição Mineralógica
<p>Minerais</p> <p>OPACOS FLUORITA</p>

Classe

ÍGNEA INTRUSIVA ABISSAL

Rocha

GRANITO PÓRFIRO

Informações Complementares

GRANITO TELES PIRES

Petrógrafo

JOSÉ DE MOURA CARREIRA

REQUISIÇÃO:

LOTE Nº:

Nº DE CAMPO:

Nº DE LABORATÓRIO:

Características Mesoscópicas

[Empty box for mesoscopic characteristics]

Composição Mineralógica
<p>Minerais</p>

Composição Mineralógica
<p>Minerais</p>

Classe

[Empty box]

Rocha

[Empty box]

Informações Complementares

[Empty box]

Petrógrafo

[Empty box]

Observações:

[Empty box for observations]



LN - LUIZ FERNANDES NEVES



C P R M

ANÁLISE

PETROGRÁFICA

REQUISIÇÃO:

LOTE Nº:

Nº DE CAMPO: 1757-LN-03

Nº DE LABORATÓRIO:

Características Mesoscópicas

Rocha metamórfica, aparentemente isotrópica, leucocrática, inequigranular, de granulometria predominantemente média. Quartzo e feldspatos ocorrem majoritariamente, sendo a biotita o máfico dominante.

Composição Mineralógica

Minerais
MICROCLINA
QUARTZO
OLIGOCLÁSIO
BIOTITA
EPIDOTO
ARGILOMINERAIS

Minerais
SERICITA
TITANITA
APATITA
MIRMEQUITA

Classe

METAMÓRFICA

Rocha

GRANITO

Informações Complementares

COMPLEXO XINGU

Petrógrafo

JOSÉ DE MOURA CARREIRA

REQUISIÇÃO:

LOTE Nº:

Nº DE CAMPO: 1757-LN-04

Nº DE LABORATÓRIO:

Características Mesoscópicas

Rocha metamórfica, aparentemente anisotrópica, inequigranular, grã predominantemente média. Quartzo e feldspatos ocorrem majoritariamente, sendo a biotita o máfico dominante e único mesoscopicamente observado.

Composição Mineralógica

Minerais
MICROCLINA
QUARTZO
OLIGOCLÁSIO
BIOTITA
OPACOS
APATITA
MIRMEQUITA

Minerais

Classe

METAMÓRFICA

Rocha

GRANITO FORFIRCELÁSTICO

Informações Complementares

COMPLEXO XINGU

Petrógrafo

JOSÉ DE MOURA CARREIRA

Observações:



C P R M

ANÁLISE

PETROGRÁFICA

REQUISIÇÃO:

LOTE Nº:

Nº DE CAMPO: 1757-LN-06

Nº DE LABORATÓRIO:

Características Mesoscópicas

Rocha ígnea, intrusiva, de caráter subvulcânico, leucocrática, inequigranular, grã predominantemente grossa, de coloração rosada. Quartzo, feldspatos e biotita constituem a quase totalidade da massa rochosa.

Composição Mineralógica

Minerais

OLIGOCLÁSIO
 QUARTZO
 ORTOCLÁSIO PERTÍTICO
 BIOTITA
 OPACOS
 EPIDOTO

Minerais

Classe

ÍGNEA INTRUSIVA SUBVULCÂNICA

Rocha

GRANITO PÓRFIRO (RAPAKIVI)

Informações Complementares

GRANITO TELES PIRES

Petrógrafo

JOSÉ DE MOURA CARREIRA

REQUISIÇÃO:

LOTE Nº:

Nº DE CAMPO: 1757-LN-10

Nº DE LABORATÓRIO:

Características Mesoscópicas

Rocha ígnea, de caráter subvulcânico, leucocrática, inequigranular, grã grossa a grosseira, de coloração variando de creme a vagamente rosada. Quartzo e feldspatos ocorrem majoritariamente, sendo os máficos do tipo biopirobólitos.

Composição Mineralógica

Minerais

OLIGOCLÁSIO
 ORTOCLÁSIO PERTÍTICO
 QUARTZO
 HORNBLENDA
 BIOTITA (CLORITIZADA)
 OPACOS
 PIROXÊNIO

Minerais

APATITA
 SERICITA
 CALCITA
 ZIRCÃO

Classe

ÍGNEA INTRUSIVA SUBVULCÂNICA

Rocha

GRANODIORITO PÓRFIRO

Informações Complementares

GRANITO TELES PIRES

Petrógrafo

JOSÉ DE MOURA CARREIRA

Observações:



C P R M

ANÁLISE PETROGRÁFICA

REQUISIÇÃO:

LOTE Nº:

Nº DE CAMPO: 1757-LN-11a

Nº DE LABORATÓRIO:

Características Mesoscópicas

Rocha metamórfica, anisotrópica, leucocrática, inequigranular, grã grossa de coloração cinza. Quartzo e feldspatos constituem os elementos mineralógicos essenciais, sendo a biotita o máfico dominante.

Composição Mineralógica

Minerais
MICROCLINA
OLIGOCLÁSIO
QUARTZO
BIOTITA
OPACOS
TITANITA

Minerais
APATITA
ZIRCÃO

Classe

METAMÓRFICA

Rocha

BIOTITA GNAISSE

Informações Complementares

COMPLEXO XINGU

Petrógrafo

JOSÉ DE MOURA CARREIRA

REQUISIÇÃO:

LOTE Nº:

Nº DE CAMPO: 1757-LN-11b

Nº DE LABORATÓRIO:

Características Mesoscópicas

Rocha metamórfica, aparentemente isotrópica, leucocrática, inequigranular, grã predominantemente grossa, de coloração rosada. Quartzo e feldspatos representam os minerais essenciais, sendo a biotita o máfico dominante.

Composição Mineralógica

Minerais
MICROCLINA
PLAGIOCLÁSIO
QUARTZO
BIOTITA
SERICITA
OPACOS

Minerais

Classe

METAMÓRFICA

Rocha

GRANITO (PROTOKATACLASITO)

Informações Complementares

COMPLEXO XINGU

Petrógrafo

JOSÉ DE MOURA CARREIRA

Observações:



C P R M

ANÁLISE

PETROGRÁFICA

REQUISIÇÃO:

LOTE Nº:

Nº DE CAMPO: 1757-LN-12

Nº DE LABORATÓRIO:

Características Mesoscópicas

Rocha metamórfica, aparentemente isotrópica, leucocrática, inequigranular, grã predominantemente grossa, de coloração rosada. Quartzo e feldspatos representam os minerais essenciais, sendo a biotita o máfico dominante.

Composição Mineralógica

Minerais
OLIGOCLÁSIO
QUARTZO
MICROCLINA
BIOTITA (CLORITIZADA)
SERICITA
ARGILOMINERAIS

Minerais
APATITA
TITANITA
ZIRCÃO

Classe

METAMÓRFICA

Rocha

GRANITO

Informações Complementares

COMPLEXO XINGU

Petrógrafo

JOSÉ DE MOURA CARREIRA

REQUISIÇÃO:

LOTE Nº:

Nº DE CAMPO: 1757-LN-15

Nº DE LABORATÓRIO:

Características Mesoscópicas

Rocha ígnea, intrusiva, holocristalina, leucocrática, isotrópica, inequigranular, grã grossa de coloração rosada. Quartzo e feldspatos representam a quase totalidade dos elementos mineralógicos, sendo a biotita o máfico dominante.

Composição Mineralógica

Minerais
ORTOCLÁSIO PERTÍTICO
MICROCLINA
OLIGOCLÁSIO
QUARTZO
BIOTITA
OPACOS
HORNBLENDA

Minerais
TITANITA
APATITA
EPIDOTO
SERICITA

Classe

ÍGNEA INTRUSIVA ABISSAL

Rocha

GRANITO

Informações Complementares

GRANITO TELES PIRES

Petrógrafo

JOSÉ DE MOURA CARREIRA

Observações: A amostra LN-15 apresenta características rapakivíticas.



C P R M

ANÁLISE

PETROGRÁFICA

REQUISIÇÃO:

LOTE Nº:

Nº DE CAMPO: 1757-LN-17

Nº DE LABORATÓRIO:

Características Mesoscópicas

Rocha metamórfica, isotrópica, leucocrática, inequigranular, grã variando de grossa a grosseira, de coloração cinza. Quartzo e feldspatos ocorrem essencialmente, sendo os máficos presentes, predominantemente do tipo biotita e/ou anfibólio.

Composição Mineralógica

Minerais
MICROCLINA
OLIGOCLÁSIO
QUARTZO
BIOTITA
HORNBLENDA
OPACOS

Minerais
TITANITA
APATITA
ZIRCÃO
MUSCOVITA

Classe

METAMÓRFICA

Rocha

GRANITO PORFIROBLÁSTICO

Informações Complementares

COMPLEXO XINGU

Petrógrafo

JOSÉ DE MOURA CARREIRA

REQUISIÇÃO:

LOTE Nº:

Nº DE CAMPO: 1757-LN-18

Nº DE LABORATÓRIO:

Características Mesoscópicas

Rocha metamórfica, isotrópica, leucocrática, grã variando de grossa a grosseira, inequigranular, de coloração rosada. Quartzo e feldspato representam a quase totalidade da massa rochosa, sendo a biotita o máfico dominante.

Composição Mineralógica

Minerais
MICROCLINA
QUARTZO
PLAGIOCLÁSIO
BIOTITA (CLORITIZADA)
SERICITA
OPACOS

Minerais
ZIRCÃO
APATITA
MIRMEQUITA

Classe

METAMÓRFICA

Rocha

GRANITO PORFIROBLÁSTICO (PROTOMIENITO)

Informações Complementares

COMPLEXO XINGU

Petrógrafo

JOSÉ DE MOURA CARREIRA

Observações:



C P R M

ANÁLISE

PETROGRÁFICA

REQUISIÇÃO:

LOTE Nº:

Nº DE CAMPO: 1757-LN-20

Nº DE LABORATÓRIO:

Características Mesoscópicas

Rocha metamórfica, aparentemente isotrópica, leucocrática, inequigranular, grã predominantemente grossa, de coloração rosada. Quartzo e feldspatos representam os minerais essenciais, sendo a biotita o máfico dominante.

Composição Mineralógica

Minerais
MICROCLINA
PLAGIOCLÁSIO
QUARTZO
BIOTITA
OPACOS

Minerais
APATITA
ZIRCÃO

Classe

METAMÓRFICA

Rocha

GRANITO

Informações Complementares

COMPLEXO XINGU

Petrógrafo

JOSÉ DE MOURA CARREIRA

REQUISIÇÃO:

LOTE Nº:

Nº DE CAMPO: 1757-LN-21

Nº DE LABORATÓRIO:

Características Mesoscópicas

Rocha metamórfica, mui vagamente foliada, leucocrática, inequigranular, grã grossa de coloração rosada. Apresenta-se essencialmente constituída de quartzo e feldspatos com a biotita dominando entre os máficos. A rocha apresenta-se cataclasada.

Composição Mineralógica

Minerais
PLAGIOCLÁSIO
MICROCLINA
QUARTZO
BIOTITA (TITANÍFERA)
CLORITA
OPACOS

Minerais
SERICITA
ZIRCÃO
APATITA

Classe

METAMÓRFICA

Rocha

GRANITO PORFIROBLÁSTICO

Informações Complementares

COMPLEXO XINGU

Petrógrafo

JOSÉ DE MOURA CARREIRA

Observações:



C P R M

ANÁLISE

PETROGRÁFICA

REQUISIÇÃO:

LOTE Nº:

Nº DE CAMPO: 1757-LN-22

Nº DE LABORATÓRIO:

Características Mesoscópicas

Rocha metamórfica, bandeada, leucocrática, inequigranular, grã grossa a grosseira, de coloração creme-acinzentada. Quartzo, feldspato e biotita foram os elementos mineralógicos, mesoscopicamente identificados.

Composição Mineralógica

Minerais

OLIGOCLÁSIO
 MICROCLINA
 QUARTZO
 BIOTITA
 SERICITA
 OPACOS

Minerais

ZIRCÃO
 MIRMEQUITA

Classe

METAMÓRFICA

Rocha

GRANITO PORFIROBLÁSTICO

Informações Complementares

COMPLEXO XINGU

Petrógrafo

JOSÉ DE MOURA CARREIRA

REQUISIÇÃO:

LOTE Nº:

Nº DE CAMPO: 1757-LN-24

Nº DE LABORATÓRIO:

Características Mesoscópicas

Rocha metamórfica, aparentemente isotrópica, leucocrática, inequigranular, grã predominantemente grossa, de coloração rosada. Quartzo e feldspatos representam os minerais essenciais, sendo a biotita o máfico dominante.

Composição Mineralógica

Minerais

MICROCLINA
 OLIGOCLÁSIO
 QUARTZO
 BIOTITA
 HORNBLENDA
 APATITA

Minerais

ZIRCÃO
 SERICITA
 ARGILOMINERAIS
 EPIDOTO

Classe

METAMÓRFICA

Rocha

GRANITO (PROTOMILONITO)

Informações Complementares

COMPLEXO XINGU

Petrógrafo

JOSÉ DE MOURA CARREIRA

Observações:



C P R M

ANÁLISE

PETROGRÁFICA

REQUISIÇÃO:

LOTE Nº:

Nº DE CAMPO: 1757-LN-31

Nº DE LABORATÓRIO:

Características Mesoscópicas

Rocha ígnea, isotrópica, leucocrática, grã variando de grossa a grosseira, inequigranular, de coloração rosada. Quartzo e feldspatos ocorrem como minerais essenciais, com máficos do tipo biopirobolio (?) presentes.

Composição Mineralógica

Minerais

ORTOCLÁSIO PERTÍTICO
OLIGOCLÁSIO
QUARTZO
MICROCLINA
BIOTITA
HORNBLENDA
SERICITA

Minerais

OPACOS
TITANITA
APATITA
ZIRCÃO
EPIDOTO

Classe

ÍGNEA INTRUSIVA ABISSAL

Rocha

GRANITO

Informações Complementares

GRANITO TELES PIRES

Petrógrafo

JOSÉ DE MOURA CARREIRA

REQUISIÇÃO:

LOTE Nº:

Nº DE CAMPO: 1757-LN-34

Nº DE LABORATÓRIO:

Características Mesoscópicas

Rocha metamórfica, algo foliada, leucocrática, inequigranular, grã predominantemente média, de coloração creme-acastanhada. Quartzo e feldspato representam os minerais essenciais, com a biotita e granada abundantes entre os máficos. A rocha exibe aspecto protomilonitizado.

Composição Mineralógica

Minerais

OLIGOCLÁSIO
QUARTZO
BIOTITA
GRANADA
MICROCLINA
SERICITA

Minerais

OPACOS
EPIDOTO
ZIRCÃO

Classe

METAMÓRFICA

Rocha

GRANODIORITO (PROTOMILONITO)

Informações Complementares

COMPLEXO XINGU

Petrógrafo

JOSÉ DE MOURA CARREIRA

Observações:



C P R M

ANÁLISE PETROGRÁFICA

REQUISIÇÃO:

LOTE Nº:

Nº DE CAMPO: 1757-LN-37

Nº DE LABORATÓRIO:

Características Mesoscópicas

Rocha metamórfica, aparentemente isotrópica, leucocrática, inequigranular, grã variando de média a grossa, de coloração rosada. Quartzo, feldspatos e biotita foram os únicos minerais mesoscopicamente observados.

Composição Mineralógica

Minerais

MICROCLINA
 QUARTZO
 OLIGOCLÁSIO
 BIOTITA
 OPACOS
 EPIDOTO

Minerais

ZIRCÃO
 MIRMEQUITA

Classe

METAMÓRFICA

Rocha

GRANITO PORFIROBLÁSTICO

Informações Complementares

COMPLEXO XINGU

Petrógrafo

JOSÉ DE MOURA CARREIRA

REQUISIÇÃO:

LOTE Nº:

Nº DE CAMPO: 1757-LN-38

Nº DE LABORATÓRIO:

Características Mesoscópicas

Rocha metamórfica, aparentemente isotrópica, leucocrática, inequigranular, grã predominantemente grossa, de coloração rosada. Quartzo e feldspatos representam os minerais essenciais, sendo a biotita o máfico dominante.

Composição Mineralógica

Minerais

MICROCLINA
 OLIGOCLÁSIO
 QUARTZO
 BIOTITA
 EPIDOTO
 OPACOS

Minerais

SERICITA
 MIRMEQUITA

Classe

METAMÓRFICA

Rocha

GRANITO

Informações Complementares

COMPLEXO XINGU

Petrógrafo

JOSÉ DE MOURA CARREIRA

Observações:



C P R M

ANÁLISE PETROGRÁFICA

REQUISIÇÃO:

LOTE Nº:

Nº DE CAMPO: 1757-LN-40

Nº DE LABORATÓRIO:

Características Mesoscópicas

Rocha metamórfica, foliada, leucocrática, inequigranular, de granulação predominantemente média. Quartzo, feldspato e biotita e/ou hornblenda representam os elementos mineralógicos mesoscopicamente identificados.

Composição Mineralógica

Minerais

OLIGOCLÁSIO
MICROCLINA
QUARTZO
BIOTITA
HORNBLENDA
OPACOS
APATITA

Minerais

ZIRCÃO
MIRMEQUITA

Classe

METAMÓRFICA

Rocha

BIOTITA GRANOBLASTITO

Informações Complementares

COMPLEXO XINGU

Petrógrafo

JOSÉ DE MOURA CARREIRA

REQUISIÇÃO:

LOTE Nº:

Nº DE CAMPO: 1757-LN-50

Nº DE LABORATÓRIO:

Características Mesoscópicas

Rocha ígnea, de caráter subvulcânico, mesotipo, inequigranular, de granulometria média, de coloração cinza médio. Plagioclásio e piroxênios constituem os únicos minerais mesoscopicamente observados.

Composição Mineralógica

Minerais

LABRADORITA
AUGITA
OPACOS
URALITA
BIOTITA

Minerais

Classe

ÍGNEA INTRUSIVA SUBVULCÂNICA

Rocha

DIABÁSIO

Informações Complementares

Petrógrafo

JOSÉ DE MOURA CARREIRA

Observações:



C P R M

ANÁLISE

PETROGRÁFICA

REQUISIÇÃO:

LOTE Nº:

Nº DE CAMPO: 1757-LN-52

Nº DE LABORATÓRIO:

Características Mesoscópicas

Rocha metamórfica, isotrópica, leucocrática, grã variando de grossa a grosseira, inequigranular, de coloração rosada. Quartzo e fel₂spato representam a quase totalidade da massa rochosa, sendo a biotita o máfico dominante.

Composição Mineralógica

Minerais

MICROCLINA
OLIGOCLÁSIO
QUARTZO
BIOTITA
OPACOS
APATITA
ALANITA ?

Minerais

Classe

METAMÓRFICA

Rocha

GRANITO PORFIROBLÁSTICO

Informações Complementares

COMPLEXO XINGU

Petrógrafo

JOSÉ DE MOURA CARREIRA

REQUISIÇÃO:

LOTE Nº:

Nº DE CAMPO: 1757-LN-53

Nº DE LABORATÓRIO:

Características Mesoscópicas

Rocha metamórfica, aparentemente isotrópica, leucocrática, inequigranular, grã predominantemente grossa, de coloração rosada. Quartzo e fel₂spatos representam os minerais essenciais, sendo a biotita o máfico dominante.

Composição Mineralógica

Minerais

MICROCLINA
OLIGOCLÁSIO
QUARTZO
BIOTITA (CLORITIZADA)
OPACOS
SERICITA

Minerais

Classe

METAMÓRFICA

Rocha

GRANITO (PROTOMILONITO)

Informações Complementares

COMPLETO XINGU

Petrógrafo

JOSÉ DE MOURA CARREIRA

Observações:



OA - ORLANDO JOSÉ BARROS DE ARAÚJO



C P R M

ANÁLISE

PETROGRÁFICA

REQUISIÇÃO:

LOTE Nº:

Nº DE CAMPO: 1757-0A-01

Nº DE LABORATÓRIO:

Características Mesoscópicas

Rocha ígnea, holocristalina, isotrópica, leucocrática, inequigranular, grã média a grossa, de coloração rosada. Quartzo e feldspato representam os elementos mineralógicos, sendo a biotita e o epidoto os máficos observados à vista desarmada.

Composição Mineralógica

Minerais
ORTOCLÁSIO PERTÍTICO
QUARTZO
OLIGOCLÁSIO
TITANITA
OPACOS
BIOTITA CLORITIZADA
SERICITA

Minerais
APATITA
FLUORITA
CLORITA
EPIDOTO

Classe

ÍGNEA INTRUSIVA ABISSAL

Rocha

GRANITO

Informações Complementares

GRANITO TELES PIRES

Petrógrafo

JOSÉ DE MOURA CARREIRA

REQUISIÇÃO:

LOTE Nº:

Nº DE CAMPO: 1757-0A-4a

Nº DE LABORATÓRIO:

Características Mesoscópicas

Rocha metamórfica, de aspecto isotrópico, leucocrática, inequigranular, grã predominantemente grossa, de coloração creme-rosada. Quartzo e feldspatos representam os elementos mineralógicos essenciais, sendo a biotita e o epidoto os únicos máficos mesoscopicamente identificados.

Composição Mineralógica

Minerais
MICROCLINA
OLIGOCLÁSIO
QUARTZO
BIOTITA
TITANITA
SERICITA

Minerais
EPIDOTO
OPACOS
APATITA

Classe

METAMÓRFICA

Rocha

GRANITO

Informações Complementares

COMPLEXO KINGU

Petrógrafo

JOSÉ DE MOURA CARREIRA

Observações: A amostra 0A-01 exhibe características rapakivíticas.



C P R M

ANÁLISE PETROGRÁFICA

REQUISIÇÃO:

LOTE Nº:

Nº DE CAMPO: 1757-OA-4b

Nº DE LABORATÓRIO:

Características Mesoscópicas

Rocha metamórfica, isotrópica, mesotipo, inequigranular, grã fina a média de coloração cinza esverdeada. Apresenta-se essencialmente constituída de plagioclásio e anfibólio. Pintas de metálicos tipo sulfetos foram observadas, disseminadas na massa rochosa.

Composição Mineralógica

Minerais
PLAGIOCLÁSIO (SERICITIZADO)
ACTINOLITA/TREMOLITA
EPIDOTO
CALCITA
OPACOS
CLORITA

Minerais
TITANITA

Classe

METAMÓRFICA

Rocha

ACTINOLITA TERMOLITA XISTO

Informações Complementares

COMPLEXO XINGU

Petrógrafo

JOSÉ DE MOURA CARREIRA

REQUISIÇÃO:

LOTE Nº:

Nº DE CAMPO: 1757-OA-09

Nº DE LABORATÓRIO:

Características Mesoscópicas

Rocha ígnea, intrusiva, fanerítica, leucocrática, inequigranular, grã grossa a grosseira, de coloração rósea. Quartzo e feldspatos (plagioclásio e ortoclásio) ocorrem predominantemente na rocha, sendo a biotita o máfico mesoscopicamente identificado.

Composição Mineralógica

Minerais
ORTOCLÁSIO PERTÍTICO
MICROCLINA
OLIGOCLÁSIO
QUARTZO
BIOTITA
SERICITA
ARGILOMINERAIS

Minerais
HORNBLENDA
OPACOS
APATITA
ZIRCÃO
EPIDOTO

Classe

ÍGNEA INTRUSIVA ABISSAL

Rocha

GRANITO

Informações Complementares

GRANITO TELES PIRES

Petrógrafo

JOSÉ DE MOURA CARREIRA

Observações: A amostra OA-09 é do tipo rapakivi, exibindo, em amostras de mão, feldspato manteado com o núcleo de feldspato potássico e as bordas calco-alcalinas.



C P R M

ANÁLISE

PETROGRÁFICA

REQUISIÇÃO:

LOTE Nº:

Nº DE CAMPO: 1757-0A-10a

Nº DE LABORATÓRIO:

Características Mesoscópicas

Rocha ígnea, microfanerítica, isotrópica, leucocrática, aproximadamente equigranular, grã fina. A rocha apresenta-se quase que totalmente constituída de quartzo e feldspatos. O máfico é provavelmente a biotita, ocorrendo disseminada na rocha.

Composição Mineralógica

Minerais
MICROCLINA
OLIGOCLÁSIO
QUARTZO
BIOTITA
EPIDOTO
SERICITA

Minerais
OPACOS
ALANITA

Classe

ÍGNEA INTRUSIVA SUBVULCÂNICA?

Rocha

MICROGRANITO

Informações Complementares

GRANITO TELES PIRES

Petrógrafo

JOSÉ DE MOURA CARREIRA

REQUISIÇÃO:

LOTE Nº:

Nº DE CAMPO: 1757-0A-11

Nº DE LABORATÓRIO:

Características Mesoscópicas

Rocha metamórfica, de aspecto isotrópico, mesotipo, inequigranular, grã média, de coloração cinza. Quartzo e feldspatos representam os elementos mineralógicos majoritários, sendo anfibólio e biotita os máficos identificados mesoscopicamente.

Composição Mineralógica

Minerais
OLIGOCLÁSIO
QUARTZO
ACTINOLITA
BIOTITA
MICROCLINA
SERICITA

Minerais
OPACOS
EPIDOTO
APATITA

Classe

ÍGNEA INTRUSIVA ABISSAL

Rocha

TONALITO (PROTOCATACLASITO)

Informações Complementares

GRANITO JURUENA (?)

Petrógrafo

JOSÉ DE MOURA CARREIRA

Observações:



C P R M

ANÁLISE

PETROGRÁFICA

REQUISIÇÃO:

LOTE Nº:

Nº DE CAMPO: 1757-0A-12a

Nº DE LABORATÓRIO:

Características Mesoscópicas

Rocha metamórfica, isotrópica, leucocrática, inequigranular, grã fina, de coloração rosada. A rocha apresenta-se quase que totalmente, constituída de quartzo e feldspatos, tendo sido a biotita o único máfico mesoscopicamente identificado.

Composição Mineralógica

Minerais
MICROCLINA
PLAGIOCLÁSIO
QUARTZO
BIOTITA
OPACOS
SERICITA

Minerais
EPIDOTO
ZIRCÃO

Classe

METAMÓRFICA

Rocha

GRANITO PORFIROBLÁSTICO

Informações Complementares

COMPLEXO XINGU

Petrógrafo

JOSÉ DE MOURA CARREIRA

REQUISIÇÃO:

LOTE Nº:

Nº DE CAMPO: 1757-0A-12b

Nº DE LABORATÓRIO:

Características Mesoscópicas

Rocha metamórfica, aparentemente isotrópica, leucocrática, algo equigranular, grã predominantemente fina de coloração creme acinzentada, com tons rosados. O quartzo e o feldspato representam a fase mineralógica quase que exclusiva, com alguns máficos provavelmente do tipo biotita

Composição Mineralógica

Minerais
MICROCLINA
PLAGIOCLÁSIO
BIOTITA
OPACOS
EPIDOTO
SERICITA

Minerais

Classe

METAMÓRFICA

Rocha

GRANITO

Informações Complementares

COMPLEXO XINGU

Petrógrafo

JOSÉ DE MOURA CARREIRA

Observações:



C P R M

ANÁLISE PETROGRÁFICA

REQUISIÇÃO:

LOTE Nº:

Nº DE CAMPO: 1757-OA-14

Nº DE LABORATÓRIO:

Características Mesoscópicas

Rocha metamórfica, de aspecto isotrópico, leucocrática, inequi granular, grã predominantemente grossa, de coloração creme rosada. Quartzo e feldspatos representam os elementos mineralógicos essenciais, sendo a biotita e o epidoto os únicos máficos mesoscopicamente identificados.

Composição Mineralógica

Minerais
PLAGIOCLÁSIO
MICROCLINA
QUARTZO
SERICITA
BIOTITA
OPACOS
MUSCOVITA

Minerais
APATITA
EPIDOTO
ZIRCÃO

Classe

METAMÓRFICA

Rocha

GRANITO PORFIROBLÁSTICO

Informações Complementares

COMPLEXO XINGU

Petrógrafo

JOSÉ DE MOURA CARREIRA

REQUISIÇÃO:

LOTE Nº:

Nº DE CAMPO: 1757-OA-14a

Nº DE LABORATÓRIO:

Características Mesoscópicas

[Empty box for mesoscopic characteristics]

Composição Mineralógica

Minerais
PLAGIOCLÁSIO
MICROCLINA
QUARTZO
BIOTITA
APATITA

Minerais
EPIDOTO
ZIRCÃO
MUSCOVITA
OPACOS

Classe

METAMÓRFICA

Rocha

GRANODIORITO PORFIROBLÁSTICO (PROEC

Informações Complementares

COMPLEXO XINGU

Petrógrafo

JOSÉ DE MOURA CARREIRA

MILONITO)

Observações:

[Empty box for observations]



C P R M

ANÁLISE

PETROGRÁFICA

REQUISIÇÃO:

LOTE Nº:

Nº DE CAMPO: 1757-OA-22

Nº DE LABORATÓRIO:

Características Mesoscópicas

Rocha ígnea, extrusiva, inequigranular, leucocrática, de granulo metria predominantemente fina e coloração róseo-avermelhada. A rocha apresenta-se predominantemente constituída de quartzo e feldspato sendo o máfi co do tipo biotita cloritizada (?). Pintas de sulfetos ocorrem disseminados na rocha.

Composição Mineralógica

Minerais
OLIGOCLÁSIO
QUARTZO
ORTOCLÁSIO
EPIDOTO
OPACOS
SERICITA
CALCITA

Minerais
APATITA
CLORITA
FLUORITA

Classe

ÍGNEA EFUSIVA

Rocha

DACITO

Informações Complementares

FORMAÇÃO IRIRI

Petrógrafo

JOSÉ DE MOURA CARREIRA

REQUISIÇÃO:

LOTE Nº:

Nº DE CAMPO: 1757-OA-25

Nº DE LABORATÓRIO:

Características Mesoscópicas

Rocha sedimentar de coloração creme, maciça, compacta, algo inequigranular. A rocha apresenta-se essencialmente constituída de grãos de quartzo. Fragmentos de rocha foram observados, dispersos na massa ro chosa.

Composição Mineralógica

Minerais
QUARTZO
FRAGMENTOS DE CHERT
FELDSPATO
FRAGMENTOS TUFO
FRAGMENTOS DE ITABIRITO
OPACOS

Minerais
SERICITA

Classe

SEDIMENTAR CLÁSTICA

Rocha

ARENITO LÍTICO SUBFELDSPÁTICO

Informações Complementares

Petrógrafo

JOSÉ DE MOURA CARREIRA

Observações:



C P R M

ANÁLISE

PETROGRÁFICA

REQUISIÇÃO:

LOTE Nº:

Nº DE CAMPO: 1757-OA-27

Nº DE LABORATÓRIO:

Características Mesoscópicas

Rocha ígnea, intrusiva, hololeucocrática, isotrópica, inequigranular, grã média, de coloração creme-acinzentada. A rocha apresenta-se essencialmente constituída de quartzo e feldspato, sendo o máfico dominante a biotita.

Composição Mineralógica

Minerais
MICROCLINA
OLIGOCLÁSIO
QUARTZO
BIOTITA
OPACOS
TITANITA

Minerais
SERICITA
EPIDOTO
APATITA
ZIRCÃO

Classe

ÍGNEA INTRUSIVA ABISSAL

Rocha

GRANITO

Informações Complementares

GRANITO JURUENA (?)

Petrógrafo

JOSÉ DE MOURA CARREIRA

REQUISIÇÃO:

LOTE Nº:

Nº DE CAMPO: 1757-OA-28

Nº DE LABORATÓRIO:

Características Mesoscópicas

Rocha ígnea, intrusiva, isotrópica, mesocrática, inequigranular, grã variando de média a grossa, de coloração cinza esverdeada. A rocha apresenta-se essencialmente constituída de plagioclásio e biopirobólios com algum quartzo presente. Manchas de sulfetos (?) estão presentes na rocha.

Composição Mineralógica

Minerais
OLIGOCLÁSIO
AUGITA
HORNBLENDA
BIOTITA
OPACOS
QUARTZO

Minerais
SERICITA
EPIDOTO
APATITA

Classe

ÍGNEA INTRUSIVA SUBVULCÂNICA

Rocha

QUARTZO DIORITO

Informações Complementares

Petrógrafo

JOSÉ DE MOURA CARREIRA

Observações:



C P R M

ANÁLISE

PETROGRÁFICA

REQUISIÇÃO:

LOTE Nº:

Nº DE CAMPO: 1757-0A-29

Nº DE LABORATÓRIO:

Características Mesoscópicas

Rocha ígnea, intrusiva, isotrópica, mesotipo, grã predominantemente média de cor cinzenta. Quartzo e plagioclásio representam os minerais essenciais, sendo o anfibólio e a biotita os máficos dominantes.

Composição Mineralógica

Minerais
OLIGOCLÁSIO
QUARTZO
ACTINOLITA
BIOTITA
MICROCLINA
OPACOS
SERICITA

Minerais
EPIDOTO
APATITA
TITANITA
ZIRCÃO

Classe

ÍGNEA INTRUSIVA ABISSAL

Rocha

QUARTZO DIORITO

Informações Complementares

GRANITO JURUENA (?)

Petrógrafo

JOSÉ DE MOURA CARREIRA

REQUISIÇÃO:

LOTE Nº:

Nº DE CAMPO: 1757-0A-30a

Nº DE LABORATÓRIO:

Características Mesoscópicas

Rocha ígnea, isotrópica, microfanerítica, leucocrática, algo equi granular, de coloração rosada e granulometria fina. Apenas quartzo e feldspatos foram mesoscopicamente identificados.

Composição Mineralógica

Minerais
ORTOCLÁSIO
MICROCLINA
QUARTZO
OLIGOCLÁSIO
OPACOS
SERICITA

Minerais
ZIRCÃO

Classe

ÍGNEA INTRUSIVA SUBVULCÂNICA

Rocha

MICROGRANITO

Informações Complementares

GRANITO TELES PIRES

Petrógrafo

JOSÉ DE MOURA CARREIRA

Observações:



C P R M

ANÁLISE

PETROGRÁFICA

REQUISIÇÃO:

LOTE Nº:

Nº DE CAMPO: 1757-OA-30b

Nº DE LABORATÓRIO:

Características Mesoscópicas

Rocha ígnea, isotrópica, microfanerítica, leucocrática, algo equigranular, de coloração rosada e granulometria fina. Apenas quartzo e feldspatos foram mesoscopicamente identificados.

Composição Mineralógica

Minerais

OLIGOCLÁSIO
 QUARTZO
 BIOTITA
 OPACOS
 EPIDOTO
 ZIRCÃO

Minerais

Classe

ÍGNEA EXTRUSIVA SUBVULCÂNICA

Rocha

MICROGRANITO

Informações Complementares

GRANITO TELES PIRES

Petrógrafo

JOSÉ DE MOURA CARREIRA

REQUISIÇÃO:

LOTE Nº:

Nº DE CAMPO: 1757-OA-31

Nº DE LABORATÓRIO:

Características Mesoscópicas

Rocha ígnea, intrusiva, holocristalina, isotrópica, inequigranular, grã média, de coloração creme-acinzentada. A rocha apresenta-se essencialmente constituída de quartzo e feldspato, sendo o máfico dominante a biotita.

Composição Mineralógica

Minerais

ORTOCLÁSIO PERTÍTICO
 OLIGOCLÁSIO
 MICROCLINA
 QUARTZO
 BIOTITA
 HORNBLENDA
 CLORITA

Minerais

OPACOS
 EPIDOTO
 SERICITA
 TITANITA
 APATITA
 ZIRCÃO

Classe

ÍGNEA INTRUSIVA ABISSAL

Rocha

GRANITO

Informações Complementares

GRANITO TELES PIRES

Petrógrafo

JOSÉ DE MOURA CARREIRA

Observações: A amostra OA-31 é do tipo rapakivi.



C P R M

ANÁLISE PETROGRÁFICA

REQUISIÇÃO:

LOTE Nº:

Nº DE CAMPO: 1757-0A-33

Nº DE LABORATÓRIO:

Características Mesoscópicas

Rocha ígnea, intrusiva, leucocrática, isotrópico, equigranular, grã grossa de coloração rosada. Quartzo e feldspato ocorrem majoritariamente, sendo a biotita e/ou hornblenda (?). Máfico presente e mesocopicamente observado.

Composição Mineralógica

Minerais
ORTOCLÁSIO
MICROCLINA
QUARTZO
PLAGIOCLÁSIO
BIOTITA
EPIDOTO

Minerais
SERICITA
OPACOS
ZIRCÃO

Classe

ÍGNEA INTRUSIVA ABISSAL

Rocha

GRANITO

Informações Complementares

GRANITO TELES PIRES

Petrógrafo

JOSÉ DE MOURA CARREIRA

REQUISIÇÃO:

LOTE Nº:

Nº DE CAMPO: 1757-0A-34

Nº DE LABORATÓRIO:

Características Mesoscópicas

Rocha ígnea, intrusiva, isotrópica, mesotipo, inequigranular, grã média a grossa de coloração cinza. A rocha apresenta-se essencialmente constituída de plagioclásio e quartzo com máficos do tipo anfíbolios e biotita.

Composição Mineralógica

Minerais
OLIGOCLÁSIO
QUARTZO
HORNBLENDA
BIOTITA
OPACOS
APATITA

Minerais
EPIDOTO
CALCITA

Classe

ÍGNEA INTRUSIVA ABISSAL

Rocha

QUARTZO DIORITO

Informações Complementares

GRANITO JURUENA (?)

Petrógrafo

JOSÉ DE MOURA CARREIRA

Observações:



C P R M

ANÁLISE

PETROGRÁFICA

REQUISIÇÃO:

LOTE Nº:

Nº DE CAMPO: 1757-OA-35

Nº DE LABORATÓRIO:

Características Mesoscópicas

Rocha metamórfica, isotrópica, leucocrática, grã grossa a grossa, inequigranular de coloração algo rosada. A rocha apresenta-se essencialmente constituída de quartzo e feldspatos, sendo a biotita o único mesoscopicamente identificado.

Composição Mineralógica

Minerais
OLIGOCLÁSIO
QUARTZO
MICROCLINA
BIOTITA
TITANITA
EPIDOTO
APATITA

Minerais
OPACOS
ZIRCÃO

Classe

METAMÓRFICA

Rocha

BIOTITA GNAISSE

Informações Complementares

COMPLEXO XINGU

Petrógrafo

JOSÉ DE MOURA CARREIRA

REQUISIÇÃO:

LOTE Nº:

Nº DE CAMPO: 1757-OA-36

Nº DE LABORATÓRIO:

Características Mesoscópicas

Rocha ígnea, leucocrática, isotrópica, inequigranular, grã predominantemente média, de coloração cinza clara. Plagioclásio e quartzo apresentam os minerais essenciais, sendo a biotita e o anfibólio os máficos mesoscopicamente identificados.

Composição Mineralógica

Minerais
OLIGOCLÁSIO/ANDESINA
QUARTZO
BIOTITA (CLORITIZADA)
HORNBLENDA
MICROCLINA
TITANITA

Minerais
OPACOS
APATITA

Classe

ÍGNEA INTRUSIVA ABISSAL

Rocha

TONALITO

Informações Complementares

GRANITO TELES PIRES

Petrógrafo

JOSÉ DE MOURA CARREIRA

Observações:



C P R M

ANÁLISE PETROGRÁFICA

REQUISIÇÃO:

LOTE Nº:

Nº DE CAMPO: 1757-0A-37

Nº DE LABORATÓRIO:

Características Mesoscópicas

Rocha metamórfica, isotrópica, leucocrática, inequigranular, grã predominantemente média, de coloração creme. Apresenta-se na sua quase totalidade, constituída de quartzo e feldspato, sendo a biotita o único máfico identificado.

Composição Mineralógica

Minerais
MICROCLINA
OLIGOCLÁSIO
QUARTZO
BIOTITA
ARGILOMINERAIS
SERICITA

Minerais
EPIDOTO
MUSCOVITA

Classe

ÍGNEA INTRUSIVA ABISSAL

Rocha

GRANITO

Informações Complementares

GRANITO JURUENA (?)

Petrógrafo

JOSÉ DE MOURA CARREIRA

REQUISIÇÃO:

LOTE Nº:

Nº DE CAMPO: 1757-0A-38a

Nº DE LABORATÓRIO:

Características Mesoscópicas

Rocha metamórfica, leucocrática, aparentemente isotrópica, inequigranular, grã predominantemente média, de coloração algo rosada. Quartzo e feldspatos ocorrem como minerais essenciais, sendo a biotita o máfico identificado. A amostra exhibe desenvolvidos porfiroblastos feldspáticos.

Composição Mineralógica

Minerais
MICROCLINA
OLIGOCLÁSIO
QUARTZO
BIOTITA (CLORITIZADA)
OPACOS
SERICITA

Minerais
ARGILO-MINERAIS
ZIRCÃO
ALANITA

Classe

METAMÓRFICA

Rocha

GRANITO PORFIROCLÁSTICO

Informações Complementares

COMPLEXO XINGU

Petrógrafo

JOSÉ DE MOURA CARREIRA

Observações:



C P R M

ANÁLISE PETROGRÁFICA

REQUISIÇÃO:

LOTE Nº:

Nº DE CAMPO: 1757-0A-40b

Nº DE LABORATÓRIO:

Características Mesoscópicas

Rocha aparentemente isotrópica, leucocrática, inequigranular, grã predominantemente média, de coloração rosada. A rocha apresenta-se essencialmente constituída de quartzo e feldspatos com biotita dominando entre os máficos. Encraves anfibolíticos ocorrem na amostra de mão.

Composição Mineralógica

Composição	Mineralógica
<p>Minerais</p> <p>MICROCLINA OLIGOCLÁSIO QUARTZO BIOTITA (CLORITIZADA) EPIDOTO TITANITA</p>	<p>Minerais</p> <p>SERICITA OPACOS CLORITA ZIRCÃO</p>

Composição	Mineralógica
<p>Minerais</p> <p>MICROCLINA OLIGOCLÁSIO QUARTZO BIOTITA (CLORITIZADA) EPIDOTO TITANITA</p>	<p>Minerais</p> <p>SERICITA OPACOS CLORITA ZIRCÃO</p>

Classe

METAMÓRFICA OU INTRUSIVA TARDICINE

Rocha

GRANITO

Informações Complementares

COMPLEXO XINGU E GRANITO JURUENA (?)

MÁTICA.

Petrógrafo

JOSÉ DE MOURA CARREIRA

REQUISIÇÃO:

LOTE Nº:

Nº DE CAMPO: 1757-0A-41

Nº DE LABORATÓRIO:

Características Mesoscópicas

Rocha ígnea, isotrópica, microfanerítica, leucocrática, algo equigranular, de coloração rosada e granulometria fina. Apenas quartzo e feldspatos foram mesoscopicamente identificados.

Composição Mineralógica

Composição	Mineralógica
<p>Minerais</p> <p>PLAGIOCLÁSIO MICROCLINA QUARTZO HORNBLENDA OPACOS EPIDOTO TITANITA</p>	<p>Minerais</p>

Composição	Mineralógica
<p>Minerais</p>	<p>Minerais</p>

Classe

ÍGNEA INTRUSIVA SUBVULCÂNICA

Rocha

MICROGRANITO

Informações Complementares

GRANITO TELES PIRES

Petrógrafo

XAFI DA SILVA JORGE JOÃO

Observações:



C P R M

ANÁLISE PETROGRÁFICA

REQUISIÇÃO:

LOTE Nº:

Nº DE CAMPO: 1757-OA-42b

Nº DE LABORATÓRIO:

Características Mesoscópicas

Rocha metamórfica, de coloração rosada, leucocrática, grã dominante média, algo inequigranular, aparentemente anisotrópica. Quartzo e feldspatos representam a quase totalidade da massa rochosa, sendo a biotita o máfico identificado.

Composição Mineralógica

Minerais
OLIGOCLÁSIO
MICROCLINA
QUARTZO
BIOTITA
OPACOS
ALANITA

Minerais

Classe

METAMÓRFICA

Rocha

GRANITO

Informações Complementares

COMPLEXO XINGU

Petrógrafo

JOSÉ DE MOURA CARREIRA

REQUISIÇÃO:

LOTE Nº:

Nº DE CAMPO: 1757-OA-44b

Nº DE LABORATÓRIO:

Características Mesoscópicas

Rocha sedimentar, de coloração esbranquiçada, granulometria média, inequigranular, maciça, compacta. O quartzo representa a quase totalidade da rocha, tendo sido o único mineral mesoscopicamente identificado.

Composição Mineralógica

Minerais
QUARTZO
SERICITA
OPACOS
ZIRCÃO

Minerais

Classe

SEDIMENTAR CLÁSTICA

Rocha

ARENITO ORTOQUARTÍZICO

Informações Complementares

Petrógrafo

JOSÉ DE MOURA CARREIRA

Observações:



C P R M

ANÁLISE

PETROGRÁFICA

REQUISIÇÃO:

LOTE Nº:

Nº DE CAMPO: 1757-0A-46

Nº DE LABORATÓRIO:

Características Mesoscópicas

Rocha metamórfica, aparentemente isotrópica, mesotipo, inequigranular, grã grossa, de coloração cinza. Quartzo, plagioclásio, biotita e granada ocorrem majoritariamente na rocha. Epidoto foi observado como mineral de alteração.

Composição Mineralógica

Minerais

PLAGIOCLÁSIO
QUARTZO
BIOTITA
GRANADA
SILLIMANITA
OPACOS

Minerais

ZIRCÃO
EPIDOTO

Classe

METAMÓRFICA

Rocha

KINZIGITO

Informações Complementares

COMPLEXO XINGU

Petrógrafo

JOSÉ DE MOURA CARREIRA

REQUISIÇÃO:

LOTE Nº:

Nº DE CAMPO: 1757-0A-49

Nº DE LABORATÓRIO:

Características Mesoscópicas

Rocha metamórfica, leucocrática, aparentemente isotrópica, inequigranular, grã predominantemente grossa, de coloração algo rosada. Quartzo, feldspato e biotita constituem os minerais mesoscopicamente observados.

Composição Mineralógica

Minerais

MICROCLINA
QUARTZO
OLIGOCLÁSIO
BIOTITA (CLORITIZADA)
OPACOS
EPIDOTO

Minerais

MIRMEQUITA
ZIRCÃO
ARGILOMINERAIS
SERICITA

Classe

METAMÓRFICA

Rocha

GRANITO

Informações Complementares

COMPLEXO XINGU

Petrógrafo

JOSÉ DE MOURA CARREIRA

Observações:



C P R M

ANÁLISE PETROGRÁFICA

REQUISIÇÃO:

LOTE Nº:

Nº DE CAMPO: 1757-OA-50

Nº DE LABORATÓRIO:

Características Mesoscópicas

Rocha metamórfica, aparentemente anisotrópica, inequigranular, grã predominantemente fina, apresentando porfiroblastos feldspáticos tipo "augen". Quartzo, feldspato e biotita constituem os elementos mineralógicos dominantes.

Composição Mineralógica

Minerais

OLIGOCLÁSIO
QUARTZO
BIOTITA (CLORITIZADA)
MICROCLINA
EPIDOTO
OPACOS
TITANITA

Minerais

SERICITA
APATITA
ZIRCÃO

Classe

METAMÓRFICA

Rocha

MILONITO

Informações Complementares

COMPLEXO XINGU

Petrógrafo

JOSÉ DE MOURA CARREIRA

REQUISIÇÃO:

LOTE Nº:

Nº DE CAMPO: 1757-OA-53

Nº DE LABORATÓRIO:

Características Mesoscópicas

Rocha metamórfica, isotrópica, leucocrática, inequigranular, grã variando de grossa a grosseira, de coloração cinza. Quartzo e feldspatos ocorrem essencialmente, sendo os máficos presentes, predominantemente do tipo biotita e/ou anfibólio.

Composição Mineralógica

Minerais

OLIGOCLÁSIO
QUARTZO
MICROCLINA
BIOTITA
EPIDOTO

Minerais

ZIRCÃO
MIRMEQUITA
ALANITA
APATITA

Classe

METAMÓRFICA

Rocha

GRANODIORITO (PROTOMILONITO)

Informações Complementares

COMPLEXO XINGU

Petrógrafo

JOSÉ DE MOURA CARREIRA

Observações:



C P R M

ANÁLISE PETROGRÁFICA

REQUISIÇÃO:

LOTE Nº:

Nº DE CAMPO: 1757-0A-55

Nº DE LABORATÓRIO:

Características Mesoscópicas

Rocha metamórfica, anisotrópica, leucocrática, inequigranular, grã predominantemente grossa. Quartzo e feldspatos representam os elementos mineralógicos essenciais, sendo a biotita o máfico dominante.

Composição Mineralógica

Minerais

PLAGIOCLÁSIO
MICROCLINA
QUARTZO
CORDIERITA
BIOTITA
OPACOS
SILLIMANITA

Minerais

ZIRCÃO

Classe

METAMÓRFICA

Rocha

SILLIMANITA CORDIERITA GRANOBLASTITO.

Informações Complementares

COMPLEXO XINGU

Petrógrafo

XAFI DA SILVA JORGE JOÃO

REQUISIÇÃO:

LOTE Nº:

Nº DE CAMPO: 1757-0A-57

Nº DE LABORATÓRIO:

Características Mesoscópicas

Rocha metamórfica, finamente foliada, grã fina, equigranular, constituída pela alternância de leitos claros (quartzo) e escuros (opacos) do tipo magnetita.

Composição Mineralógica

Minerais

QUARTZO
OPACOS
ACTINOLITA/TREMOLITA

Minerais

Classe

METAMÓRFICA

Rocha

ITABIRITO

Informações Complementares

Petrógrafo

JOSÉ DE MOURA CARREIRA

Observações: A amostra 0A-55 apresenta características de um gnaiss Kinzigítico.



C P R M

ANÁLISE PETROGRÁFICA

REQUISIÇÃO:

LOTE Nº:

Nº DE CAMPO: 1757-OA-58a

Nº DE LABORATÓRIO:

Características Mesoscópicas

Rocha ígnea, intrusiva, leucocrática, inequigranular, grã dominante grossa, de coloração róseo-avermelhada. Apresenta-se essencialmente constituída de quartzo e feldspatos, sendo a biotita o único máfico mesoscopicamente identificado.

Composição Mineralógica

Minerais
ORTOCLÁSIO
OLIGOCLÁSIO
QUARTZO
BIOTITA
OPACOS
CLORITA
APATITA

Minerais
ZIRCÃO

Classe

ÍGNEA INTRUSIVA ABISSAL

Rocha

GRANITO

Informações Complementares

GRANITO TELES PIRES

Petrógrafo

JOSÉ DE MOURA CARREIRA

REQUISIÇÃO:

LOTE Nº:

Nº DE CAMPO: 1757-OA-90

Nº DE LABORATÓRIO:

Características Mesoscópicas

Rocha sedimentar de coloração rosada, grã fina, maciça, compacta, aparentemente inequigranular. A rocha apresenta cortada por microveios de quartzo. Quartzo e feldspato constituem a quase totalidade da rocha.

Composição Mineralógica

Minerais
QUARTZO
FELDSPATO
FRAGMENTOS DE CHERT
SÍLICA CRIPTOCRISTALINA
OPACOS

Minerais

Classe

SEDIMENTAR CLÁSTICA

Rocha

ARENITO ARCÓSSICO

Informações Complementares

Petrógrafo

XAFI DA SILVA JORGE JOÃO

Observações: A amostra OA-58a apresenta características rapakivíticas.



C P R M

ANÁLISE

PETROGRÁFICA

REQUISIÇÃO:

LOTE Nº:

Nº DE CAMPO: 1757-OA-91

Nº DE LABORATÓRIO:

Características Mesoscópicas

Rocha ígnea, holocristalina, leucocrática, isotrópica, inequigranular grã média a grossa, de coloração rósea. Quartzo, ortoclásio e plagioclásio constituem a quase totalidade da rocha, sendo a biotita e a hornblenda os únicos máficos microscopicamente observados.

Composição Mineralógica

Minerais
ORTOCLÁSIO
OLIGOCLÁSIO
QUARTZO
BIOTITA CLORITIZADA
HORNBLENDA

Minerais
TITANITA
OPACOS
ZIRCÃO
APATITA
ALANITA
SERICITA
ARGILOMINERAIS

Classe

ÍGNEA INTRUSIVA ABISSAL

Rocha

GRANITO

Informações Complementares

GRANITO TELES PIRES

Petrógrafo

XAFI DA SILVA JORGE JOÃO

REQUISIÇÃO:

LOTE Nº:

Nº DE CAMPO: 1757-OA-92b

Nº DE LABORATÓRIO:

Características Mesoscópicas

Rocha ígnea, intrusiva, de caráter subvulcânico, mesotipo, grã fina, aproximadamente equigranular, de coloração cinza-esverdeada. A rocha apresenta-se essencialmente constituída de plagioclásio e hornblenda, não tendo sido mesoscopicamente identificados outros minerais.

Composição Mineralógica

Minerais
PLAGIOCLÁSIO
HORNBLENDA
OPACOS
SERICITA
EPIDOTO
APATITA

Minerais
QUARTZO
PIROXÊNIO

Classe

ÍGNEA INTRUSIVA SUBVULCÂNICA

Rocha

MICRODIORITO

Informações Complementares

GRANITO TELES PIRES

Petrógrafo

JOSÉ DE MOURA CARREIRA

Observações:



C P R M

ANÁLISE PETROGRÁFICA

REQUISIÇÃO:

LOTE Nº:

Nº DE CAMPO: 1757-0A-94a

Nº DE LABORATÓRIO:

Características Mesoscópicas

Rocha ígnea, piroclástica, leucocrática, grã predominantemente fina, equigranular, de coloração avermelhada. Quartzo e feldspato representam os elementos majoritários. Os máficos, presentes, não foram mesoscopicamente identificados.

Composição Mineralógica

Minerais
PLAGIOCLÁSIO
QUARTZO
FRAGMENTOS DE CHERT
SERICITA

Minerais
OPACOS
EPIDOTO
ZIRCÃO

Classe

ÍGNEA PIROCLÁSTICA

Rocha

TUFO

Informações Complementares

Petrógrafo

XAFI DA SILVA JORGE JOÃO

REQUISIÇÃO:

LOTE Nº:

Nº DE CAMPO: 1757-0A-95

Nº DE LABORATÓRIO:

Características Mesoscópicas

Rocha sedimentar, de coloração róseo-avermelhada, grã dominante mente fina, aparentemente equigranular, maciça e compacta. Mesoscopicamente, apenas quartzo e feldspato foram observados entre os constituintes mineralógicos da rocha.

Composição Mineralógica

Minerais
QUARTZO
FRAGMENTOS DE ROCHA
MICROCLINA
OPACOS
SERICITA

Minerais

Classe

SEDIMENTAR CLÁSTICA

Rocha

ARENITO LÍTICO

Informações Complementares

Petrógrafo

JOSÉ DE MOURA CARREIRA

Observações:



C P R M

ANÁLISE

PETROGRÁFICA

REQUISIÇÃO:

LOTE Nº:

Nº DE CAMPO: 1757-OA-97b

Nº DE LABORATÓRIO:

Características Mesoscópicas

Rocha ígnea, piroclástica, hololeucocrática, aparentemente isotrópica e equigranular, grã fina, de coloração esbranquiçada. A rocha apresenta-se constituída de uma massa criptocristalina de provável composição quartzosa.

Composição Mineralógica

Minerais

MATRIZ CRIPTOCRISTALINA
 QUARTZO
 SÍLICA MICROCRYPTOCRISTALINA
 OPACOS

Minerais

Classe

ÍGNEA PIROCLÁSTICA

Rocha

TUFO

Informações Complementares

Petrógrafo

XAFI DA SILVA JORGE JOÃO

REQUISIÇÃO:

LOTE Nº:

Nº DE CAMPO: 1757-OA-98b

Nº DE LABORATÓRIO:

Características Mesoscópicas

Rocha ígnea, isotrópica, leucocrática, grã predominantemente fina, algo inequigranular, de coloração rosada. Quartzo e feldspato representam os minerais essenciais, sendo a biotita o único máfico observado.

Composição Mineralógica

Minerais

ORTOCLÁSIO
 QUARTZO
 PLAGIOCLÁSIO
 BIOTITA
 OPACOS
 ARGILOMINERAIS

Minerais

SERICITA
 ZIRCÃO
 EPIDOTO

Classe

ÍGNEA INTRUSIVA ABISSAL

Rocha

GRANITO

Informações Complementares

GRANITO TELES PIRES

Petrógrafo

JOSÉ DE MOURA CARREIRA

Observações:



C P R M

ANÁLISE

PETROGRÁFICA

REQUISIÇÃO:

LOTE Nº:

Nº DE CAMPO: 1757-OA-100

Nº DE LABORATÓRIO:

Características Mesoscópicas

Rocha ígnea, holocristalina, isotrópica, leucocrática, inequigranular, grã predominantemente grossa. Quartzo e feldspatos constituem os minerais essenciais, sendo a biotita cloritizada e o anfibólio os máficos dominantes.

Composição Mineralógica

Minerais
ORTOCLÁSIO
OLIGOCLÁSIO
QUARTZO
HORNBLENDA
CLORITA
TITANITA

Minerais
OPACOS
SERICITA
ARGILOMINERAIS
APATITA

Classe

ÍGNEA INTRUSIVA ABISSAL

Rocha

GRANITO

Informações Complementares

GRANITO JURUENA

Petrógrafo

XAFI DA SILVA JORGE JOÃO

REQUISIÇÃO:

LOTE Nº:

Nº DE CAMPO: 1757-OA-105

Nº DE LABORATÓRIO:

Características Mesoscópicas

Rocha ígnea, holocristalina, isotrópica, leucocrática, inequigranular, grã predominantemente grossa. Quartzo e feldspatos constituem os minerais essenciais, sendo a biotita cloritizada e o anfibólio os máficos dominantes.

Composição Mineralógica

Minerais
ORTOCLÁSIO
OLIGOCLÁSIO
QUARTZO
HORNBLENDA
BIOTITA
OPACOS

Minerais
APATITA
ALANITA
ARGILOMINERAIS
SERICITA

Classe

ÍGNEA INTRUSIVA SUBVULCÂNICA

Rocha

GRANITO PÓRFIRO

Informações Complementares

GRANITO TELES PIRES

Petrógrafo

XAFI DA SILVA JORGE JOÃO

Observações: A amostra OA-105 é do tipo anti-rapakivi.



RM - RUY CÉLIO MARTINS



C P R M

ANÁLISE PETROGRÁFICA

REQUISIÇÃO:

LOTE Nº:

Nº DE CAMPO: 1757-RM-02

Nº DE LABORATÓRIO:

Características Mesoscópicas

Rocha ígnea extrusiva, isotrópica, leucocrática, inequiangular, grã predominantemente fina, de coloração rosada. Quartzo e feldspatos jazem numa matriz micro a criptocristalina de natureza essencialmente silicosa.

Composição Mineralógica

Minerais

PLAGIOCLÁSIO
ORTOCLÁSIO
QUARTZO
EPIDOTO
OPACOS
PIROXÊNIO

Minerais

BIOTITA
APATITA

Classe

ÍGNEA INTRUSIVA SUBVULCÂNICA

Rocha

RIOLITO GRANOFÍRICO

Informações Complementares

FORMAÇÃO IRIRI

Petrógrafo

REQUISIÇÃO:

LOTE Nº:

Nº DE CAMPO: 1757-RM-03

Nº DE LABORATÓRIO:

Características Mesoscópicas

Rocha sedimentar, de coloração esbranquiçada a rosada, vagamente estratificada, compacta, grã fina, aparentemente equigranular. Apenas o mineral quartzo, que constitui a quase totalidade da rocha, foi mesoscopicamente identificado. Opacos ocorrem disseminados na massa rochosa.

Composição Mineralógica

Minerais

QUARTZO
MUSCOVITA
OPACOS
TURMALINA
ZIRCÃO

Minerais

Classe

SEDIMENTAR CLÁSTICA

Rocha

ARENITO (MILONITIZADO)

Informações Complementares

Petrógrafo

Observações:



C P R M

ANÁLISE

PETROGRÁFICA

REQUISIÇÃO:

LOTE Nº:

Nº DE CAMPO: 1757-RM-04

Nº DE LABORATÓRIO:

Características Mesoscópicas

Rocha ígnea, isotrópica, leucocrática, grã variando de grossa a grossa seira, inequigranular, de coloração rosada. Quartzo e feldspatos ocorrem como minerais essenciais, com máficos do tipo biopirobólio (?) presentes.

Composição Mineralógica

Minerais
ORTOCLÁSIO
OLIGOCLÁSIO
QUARTZO
BIOTITA
HORNBLENDA
PIROXÊNIO

Minerais
OPACOS
APATITA
ZIRCÃO
ARGILOMINERAIS

Classe

ÍGNEA INTRUSIVA ABISSAL

Rocha

GRANITO (ANTIRAPAKIVI)

Informações Complementares

GRANITO TELES PIRES

Petrógrafo

JOSÉ DE MOURA CARREIRA

REQUISIÇÃO:

LOTE Nº:

Nº DE CAMPO: 1757-RM-7a

Nº DE LABORATÓRIO:

Características Mesoscópicas

Rocha ígnea, efusiva, leucocrática, inequigranular, grã predominantemente fina, de coloração cinza acastanhada. Apresenta-se essencialmente de uma matriz afanítica, na qual ocorrem imersos grãos minerais de feldspato e quartzo. Epidoto foi o único máfico mesoscopicamente identificado.

Composição Mineralógica

Minerais
ORTOCLÁSIO
OLIGOCLÁSIO
QUARTZO
BIOTITA
CALCITA
SERICITA

Minerais
OPACOS
APATITA
EPIDOTO
MATRIZ MICROCRISTALINA

Classe

ÍGNEA EXTRUSIVA

Rocha

RIOLITO

Informações Complementares

FORMAÇÃO IRIRI

Petrógrafo

XAFI DA SILVA JORGE JOÃO

Observações:



C P R M

ANÁLISE PETROGRÁFICA

REQUISIÇÃO:

LOTE Nº:

Nº DE CAMPO: 1757-RM-12

Nº DE LABORATÓRIO:

Características Mesoscópicas

Rocha ígnea extrusiva, isotrópica, leucocrática, inequigranular, grã predominantemente fina, de coloração rosada. Quartzo e feldspatos jazem numa matriz micro a criptocristalina de natureza essencialmente silicosa

Composição Mineralógica

Minerais

PLAGIOCLÁSIO
ORTOCLÁSIO
QUARTZO
HORNBLENDA
OPACOS
FLUORITA

Minerais

Classe

ÍGNEA EXTRUSIVA

Rocha

RIOLITO

Informações Complementares

FORMAÇÃO IRIRI

Petrógrafo

JOSÉ DE MOURA CARREIRA

REQUISIÇÃO:

LOTE Nº:

Nº DE CAMPO: 1757-RM-13a

Nº DE LABORATÓRIO:

Características Mesoscópicas

Rocha ígnea, intrusiva, isotrópica, leucocrática, inequigranular, grã grossa de coloração rosada. Quartzo e feldspatos ocorrem majoritariamente, sendo a biotita o máfico observado.

Composição Mineralógica

Minerais

ORTOCLÁSIO PERTÍTICO
QUARTZO
OLIGOCLÁSIO
BIOTITA
OPACOS
ZIRCÃO

Minerais

MUSCOVITA

Classe

ÍGNEA INTRUSIVA ABISSAL

Rocha

ALCALI FELDSPATO GRANITO

Informações Complementares

GRANITO TELES PIRES

Petrógrafo

JOSÉ DE MOURA CARREIRA

Observações: A amostra RM-13a é do tipo rapakivi.



C P R M

ANÁLISE

PETROGRÁFICA

REQUISIÇÃO:

LOTE Nº:

Nº DE CAMPO: 1757-RM-18

Nº DE LABORATÓRIO:

Características Mesoscópicas

Rocha ígnea, intrusiva, de caráter subvulcânico, leucocrática, equigranular, grã fina, de cor cinza claro. Apresenta-se essencialmente constituída de quartzo e feldspato, sendo provavelmente a biotita o máfico observado.

Composição Mineralógica

Minerais

PLAGIOCLÁSIO
QUARTZO
HORNBLENDA
BIOTITA
INTERCRESCIMENTO GRÁFICO
OPACOS

Minerais

CLORITA
SERICITA

Classe

ÍGNEA INTRUSIVA SUBVULCÂNICA

Rocha

MICROTONALITO

Informações Complementares

GRANITO JURUENA (?)

Petrógrafo

JOSÉ DE MOURA CARREIRA

REQUISIÇÃO:

LOTE Nº:

Nº DE CAMPO: 1757-RM-19

Nº DE LABORATÓRIO:

Características Mesoscópicas

Rocha ígnea, leucocrática, isotrópica, inequigranular, grã variando de média a grossa, de coloração creme. Quartzo e feldspato representam a quase totalidade da rocha, sendo a biotita o único máfico mesoscopicamente observado.

Composição Mineralógica

Minerais

OLIGOCLÁSIO
QUARTZO
MICROCLINA
BIOTITA
TITANITA
OPACOS

Minerais

ALANITA ?

Classe

ÍGNEA INTRUSIVA ABISSAL

Rocha

GRANITO

Informações Complementares

GRANITO JURUENA

Petrógrafo

JOSÉ DE MOURA CARREIRA

Observações:



C P R M

ANÁLISE

PETROGRÁFICA

REQUISIÇÃO:

LOTE Nº:

Nº DE CAMPO: 1757-RM-21b

Nº DE LABORATÓRIO:

Características Mesoscópicas

Rocha ígnea extrusiva, isotrópica, equigranular, grã fina, mesotipo de cor cinza médio. Apresenta-se constituída por uma massa afanítica de mineralogia não identificável, mesoscopicamente.

Composição Mineralógica

Minerais

PLAGIOCLÁSIO
MATRIZ CRIPTOCRISTALINA
FRAGMENTOS DE ROCHA
SERICITA
OPACOS
APATITA

Minerais

EPIDOTO
ZEÓLITA?

Classe

ÍGNEA EXTRUSIVA

Rocha

ANDESITO LÍTICO

Informações Complementares

FORMAÇÃO SOBREIRO

Petrógrafo

JOSÉ DE MOURA CARREIRA

REQUISIÇÃO:

LOTE Nº:

Nº DE CAMPO: 1757-RM-23

Nº DE LABORATÓRIO:

Características Mesoscópicas

Rocha ígnea, efusiva, leucocrática, inequigranular, isotrópica, de coloração acastanhada, na qual desenvolvidos pórfiros de plagioclásio ocorrem imersos numa mesóstase afanítica.

Composição Mineralógica

Minerais

PLAGIOCLÁSIO
CLORITA
CALCITA
OPACOS
SERICITA
ARGILOMINERAIS

Minerais

QUARTZO
EPIDOTO

Classe

ÍGNEA EXTRUSIVA

Rocha

ANDESITO

Informações Complementares

FORMAÇÃO SOBREIRO

Petrógrafo

JOSÉ DE MOURA CARREIRA

Observações:



C P R M

ANÁLISE PETROGRÁFICA

REQUISIÇÃO:

LOTE Nº:

Nº DE CAMPO: 1757-RM-25

Nº DE LABORATÓRIO:

Características Mesoscópicas

Rocha ígnea, efusiva, mesotipo, inequigranular, de coloração cinza esverdeada. Plagioclásio e anfibólio (hornblenda) representam os minerais mesoscopicamente identificados.

Composição Mineralógica

Minerais

ANDESINA
HORNBLENDA (CLORITIZADA)
CALCITA
OPACOS
QUARTZO

Minerais

Classe

ÍGNEA EXTRUSIVA

Rocha

ANDESITO (PROLITIZADO)

Informações Complementares

FORMAÇÃO SOBREIRO (?)

Petrógrafo

JOSÉ DE MOURA CARREIRA

REQUISIÇÃO:

LOTE Nº:

Nº DE CAMPO: 1757-RM-28

Nº DE LABORATÓRIO:

Características Mesoscópicas

Rocha ígnea, intrusiva, de caráter subvulcânico, isotrópica, leucocrática, inequigranular, grã predominantemente média. Quartzo, feldspatos (ortoclásio e plagioclásio) constituem os minerais essenciais, sendo o anfibólio e o epidoto os máficos identificados.

Composição Mineralógica

Minerais

ORTOCLÁSIO
OLIGOCLÁSIO
QUARTZO
HORNBLENDA
SERICITA
ARGILOMINERAIS
AUGITA ?

Minerais

OPACOS
BIOTITA
EPIDOTO

Classe

ÍGNEA INTRUSIVA SUBVULCÂNICA

Rocha

QUARTZO MONZONITO

Informações Complementares

GRANITO JURUENA (?)

Petrógrafo

JOSÉ DE MOURA CARREIRA

Observações:



C P R M

ANÁLISE PETROGRÁFICA

REQUISIÇÃO:

LOTE Nº:

Nº DE CAMPO: 1757-RM-31

Nº DE LABORATÓRIO:

Características Mesoscópicas

Rocha ígnea extrusiva, leucocrática, inequigranular, grã dominante mente fina, de coloração róseo-violáceo. Fenocristais de feldspato e quartzo ocorrem imersos numa matriz microcristalina.

Composição Mineralógica

Minerais

PLAGIOCLÁSIO
QUARTZO
OPACOS
CALCITA
EPIDOTO
BIOTITA
ZIRCÃO

Minerais

Classe

ÍGNEA EXTRUSIVA

Rocha

DACITO

Informações Complementares

FORMAÇÃO IRIRI

Petrógrafo

JOSÉ DE MOURA CARREIRA

REQUISIÇÃO:

LOTE Nº:

Nº DE CAMPO: 1757-RM-32

Nº DE LABORATÓRIO:

Características Mesoscópicas

Rocha sedimentar de coloração clara, maciça, compacta, inequigranular, grã predominantemente média. Apenas quartzo e fragmentos de rocha (?) foram mesoscopicamente identificados.

Composição Mineralógica

Minerais

QUARTZO
MATRIZ SERICÍTICA
FRAGMENTOS DE ROCHA
OPACOS
MUSCOVITA
ZIRCÃO

Minerais

Classe

SEDIMENTAR CLÁSTICA

Rocha

GRAUVACA LÍTICA

Informações Complementares

Petrógrafo

JOSÉ DE MOURA CARREIRA

Observações:



C P R M

ANÁLISE

PETROGRÁFICA

REQUISIÇÃO:

LOTE Nº:

Nº DE CAMPO: 1757-RM-33

Nº DE LABORATÓRIO:

Características Mesoscópicas

Rocha ígnea, efusiva, isotrópica, leucocrática, inequigranular, grã média a grossa, de coloração creme acinzentada. Fenocristais de quartzo e plagioclásio ocorrem imersos numa matriz afanítica, com anfibólio e epidoto entre os máficos identificados.

Composição Mineralógica

Minerais
OLIGOCLÁSIO
QUARTZO
HORNBLENDA
EPIDOTO
OPACOS
SERICITA

Minerais

Classe

ÍGNEA EXTRUSIVA

Rocha

DACITO

Informações Complementares

FORMAÇÃO IRIRI

Petrógrafo

XAFI DA SILVA JORGE JOÃO

REQUISIÇÃO:

LOTE Nº:

Nº DE CAMPO: 1757-RM-36

Nº DE LABORATÓRIO:

Características Mesoscópicas

Rocha metamórfica, leucocrática, aparentemente isotrópica, inequigranular, grã predominantemente grossa, de coloração algo rosada. Quartzo, feldspato e biotita constituem os minerais mesoscopicamente observados.

Composição Mineralógica

Minerais
MICROCLINA
OLIGOCLÁSIO
QUARTZO
BIOTITA (CLORITIZADA)
EPIDOTO
OPACOS

Minerais
SERICITA
ZIRCÃO
APATITA

Classe

METAMÓRFICA

Rocha

GRANITO (PROTOCATACLASITO)

Informações Complementares

COMPLEXO XINGU

Petrógrafo

JOSÉ DE MOURA CARREIRA

Observações:



C P R M

ANÁLISE PETROGRÁFICA

REQUISIÇÃO:

LOTE Nº:

Nº DE CAMPO: 1757-RM-37

Nº DE LABORATÓRIO:

Características Mesoscópicas

Rocha metamórfica, isotrópica, leucocrática, inequigranular, grã grossa, de coloração variando de cinza a rosada. Quartzo e feldspatos constituem os minerais essenciais, com a biotita representando o unico máfico mesoscopicamente observado.

Composição Mineralógica

Minerais
MICROCLINA OLIGOCLÁSIO QUARTZO BIOTITA

Minerais

Classe

METAMÓRFICA

Rocha

GRANITO (PROTOCATACLASITO)

Informações Complementares

COMPLEXO XINGU

Petrógrafo

JOSÉ DE MOURA CARREIRA

REQUISIÇÃO:

LOTE Nº:

Nº DE CAMPO: 1757-RM-38

Nº DE LABORATÓRIO:

Características Mesoscópicas

Rocha metamórfica, aparentemente isotrópica, leucocrática, inequigranular, grã variando de grossa a grosseira, de coloração algo rosada. Quartzo e feldspatos representam a quase totalidade da rocha, sendo a biotita o máfico identificado. Esta ocorre por vezes microdobrada.

Composição Mineralógica

Minerais
MICROCLINA QUARTZO OLIGOCLÁSIO BIOTITA (CLORITIZADA) HORNBLENDA PIROXÊNIO OPACOS

Minerais
MIRMEQUITA ZIRCÃO ALANITA APATITA

Classe

METAMÓRFICA

Rocha

BIOTITA HORNBLENDA GNAISSE (PROTO-

Informações Complementares

COMPLEXO XINGU

Petrógrafo

MILONITO)
JOSÉ DE MOURA CARREIRA

Observações: A amostra RM-37 apresenta encrave de anfibolito.



C P R M

ANÁLISE

PETROGRÁFICA

REQUISIÇÃO:.....

LOTE Nº:.....

Nº DE CAMPO: 1757-RM-39.....

Nº DE LABORATÓRIO:.....

Características Mesoscópicas

Rocha metamórfica, isotrópica, leucocrática, inequigranular, grã grossa, de coloração variando de cinza a rosada. Quartzo e feldspatos constituem os minerais essenciais, com a biotita representando o único máfico mesoscopicamente observado.

Composição Mineralógica

Minerais

MICROCLINA
OLIGOCLÁSIO
QUARTZO
BIOTITA
OPACOS
EPIDOTO

Minerais

ZIRCÃO
MIRMEQUITA

Classe

METAMÓRFICA

Rocha

GRANITO

Informações Complementares

COMPLEXO XINGU

Petrógrafo

JOSÉ DE MOURA CARREIRA

REQUISIÇÃO:.....

LOTE Nº:.....

Nº DE CAMPO: 1757-RM-40.....

Nº DE LABORATÓRIO:.....

Características Mesoscópicas

Rocha metamórfica, isotrópica a mui vagamente anisotrópica, inequi granular, grã variando de média a grossa, de coloração rosada. Quartzo e feldspato representam a quase totalidade dos elementos constituintes da rocha, sendo a biotita o máfico dominante e unico mesoscopicamente i dentificado.

Composição Mineralógica

Minerais

MESOPERTITA
QUARTZO
MICROCLINA
OLIGOCLÁSIO
CORDIERITA
OPACOS
ÓXIDO FERRO

Minerais

Classe

METAMÓRFICA

Rocha

CORDIERITA GRANOBLASTITO

Informações Complementares

COMPLEXO XINGU

Petrógrafo

JOSÉ DE MOURA CARREIRA

Observações:



C P R M

ANÁLISE PETROGRÁFICA

REQUISIÇÃO:

LOTE Nº:

Nº DE CAMPO: 1757-RM-44

Nº DE LABORATÓRIO:

Características Mesoscópicas

Rocha metamórfica, finamente foliada, leucocrática, grã dominante mente fina, aproximadamente equigranular, de coloração cinza claro. A rocha apresenta-se essencialmente constituída de grãos de quartzo e fel dspato, sendo a biotita o máfico mesoscopicamente identificado.

Composição Mineralógica

Minerais

MICROCLINA
OLIGOCLÁSIO
QUARTZO
BIOTITA
OPACOS
ALANITA

Minerais

ZIRCÃO
SERICITA

Classe

METAMÓRFICA

Rocha

BIOTITA GNAISSE

Informações Complementares

COMPLEXO XINGU

Petrógrafo

XAFI DA SILVA JORGE JOÃO

REQUISIÇÃO:

LOTE Nº:

Nº DE CAMPO: 1757-RM-45

Nº DE LABORATÓRIO:

Características Mesoscópicas

Rocha metamórfica, isotrópica, leucocrática, grã grossa a grosseira, inequigranular de coloração algo rosada. A rocha apresenta-se essencialmente constituída de quartzo e feldspatos, sendo a biotita o único me soscopicamente identificado. A amostra apresenta encrave anfibolítico.

Composição Mineralógica

Minerais

MICROCLINA
OLIGOCLÁSIO
QUARTZO
BIOTITA
OPACOS
APATITA

Minerais

Classe

METAMÓRFICA

Rocha

BIOTITA GNAISSE (PROTOMILONITO)

Informações Complementares

COMPLEXO XINGU

Petrógrafo

JOSÉ DE MOURA CARREIRA

Observações:



C P R M

ANÁLISE PETROGRÁFICA

REQUISIÇÃO:

LOTE Nº:

Nº DE CAMPO: 1757-RM-52

Nº DE LABORATÓRIO:

Características Mesoscópicas

Rocha metamórfica, isotrópica, leucocrática, inequigranular, fina a média, de cor cinza. Apresenta-se essencialmente constituída de quartzo e feldspatos, sendo a biotita o máfico dominante.

Composição Mineralógica

Minerais

Minerais

OLIGOCLÁSIO
MICROCLINA
QUARTZO
BIOTITA
OPACOS
SERICITA

APATITA
ZIRCÃO
MUSCOVITA

Classe

METAMÓRFICA

Rocha

GRANODIORITO

Informações Complementares

COMPLEXO XINGU

Petrógrafo

JOSÉ DE MOURA CARREIRA

REQUISIÇÃO:

LOTE Nº:

Nº DE CAMPO: 1757-RM-61c

Nº DE LABORATÓRIO:

Características Mesoscópicas

Rocha sedimentar, de coloração rósea, maciça, compacta, grã fina a média. Mesoscopicamente, apenas quartzo e plagioclásio foram identificados. Caulinita (?) foi observada como produto da alteração do feldspato. Raras pintas de metálicos do tipo sulfetos (?) ocorrem disseminadas na rocha.

Composição Mineralógica

Minerais

Minerais

PLAGIOCLÁSIO
QUARTZO
FRAGMENTOS DE SÍLEX
MICROCLINA
SERICITA
ARGILOMINERAIS

EPIDOTO
OPACOS

Classe

SEDIMENTAR CLÁSTICA

Rocha

ARENITO ARCÓSIKO

Informações Complementares

Petrógrafo

JOSÉ DE MOURA CARREIRA

Observações:



C P R M

ANÁLISE PETROGRÁFICA

REQUISIÇÃO:

LOTE Nº:

Nº DE CAMPO: 1757-RM-62

Nº DE LABORATÓRIO:

Características Mesoscópicas

Rocha ígnea, intrusiva, leucocrática, isotrópica, inequigranular, grã grossa, de coloração rosada. Quartzo e feldspatos ocorrem majoritariamente sendo à biotita e/ou hornblenda (?) o máfico presente e mesopicamente observado.

Composição Mineralógica

Minerais

ORTOCLÁSIO
OLIGOCLÁSIO
QUARTZO
MICROCLINA
BIOTITA (CLORITIZADA)
OPACOS

Minerais

Classe

ÍGNEA INTRUSIVA SUBVULCÂNICA

Rocha

GRANITO PÓRFIRO

Informações Complementares

GRANITO TELES PIRES

Petrógrafo

JOSÉ DE MOURA CARREIRA

REQUISIÇÃO:

LOTE Nº:

Nº DE CAMPO: 1757-RM-65

Nº DE LABORATÓRIO:

Características Mesoscópicas

Rocha ígnea, intrusiva, leucocrática, isotrópica, inequigranular, grã grossa, de coloração rosada. Quartzo e feldspatos ocorrem majoritariamente, sendo a biotita e/ou hornblenda (?) o máfico presente e mesopicamente observado.

Composição Mineralógica

Minerais

ORTOCLÁSIO PERTÍTICO
OLIGOCLÁSIO
QUARTZO
MICROCLINA
BIOTITA (CLORITIZADA)
HORNBLENDA
OPACOS

Minerais

ARGILOMINERAIS
SERICITA
EPIDOTO
TITANITA
APATITA
ZIRCÃO

Classe

ÍGNEA INTRUSIVA ABISSAL

Rocha

GRANITO

Informações Complementares

GRANITO TELES PIRES

Petrógrafo

JOSÉ DE MOURA CARREIRA

Observações:



C P R M

ANÁLISE PETROGRÁFICA

REQUISIÇÃO:

LOTE Nº:

Nº DE CAMPO: 1757-RM-66

Nº DE LABORATÓRIO:

Características Mesoscópicas

Rocha ígnea intrusiva, abissal, leucocrática, anisotrópica, grã grossa, inequigranular, de coloração algo rosada. Quartzo e feldspato representam a quase totalidade dos elementos mineralógicos, sendo a biotita o máfico mesoscopicamente identificado.

Composição Mineralógica

Minerais

ORTOCLÁSIO
OLIGOCLÁSIO
QUARTZO
BIOTITA (CLORITIZADA)
EPIDOTO
OPACOS

Minerais

SERICITA
ARGILOMINERAIS
ZIRCÃO

Classe

ÍGNEA INTRUSIVA ABISSAL

Rocha

CATACLASITO

Informações Complementares

GRANITO TELES PIRES

Petrógrafo

XAFI DA SILVA JORGE JOÃO

REQUISIÇÃO:

LOTE Nº:

Nº DE CAMPO: 1757-RM-68

Nº DE LABORATÓRIO:

Características Mesoscópicas

Rocha ígnea intrusiva, leucocrática a mesotipo, inequigranular, grã variando de media a grossa, de coloração variando de cinza a rosada. Quartzo e feldspato ocorrem como minerais essenciais, sendo a biotita e o anfibólio os máficos mesoscopicamente identificados.

Composição Mineralógica

Minerais

ORTOCLÁSIO
OLIGOCLÁSIO
QUARTZO
BIOTITA
OPACOS
HORNBLENDA
EPIDOTO

Minerais

CALCITA
TITANITA
ZIRCÃO
INTERCRESCIMENTO GRÁFICO
SERICITA
CLORITA

Classe

ÍGNEA INTRUSIVA SUBVULCÂNICA

Rocha

GRANITO

Informações Complementares

GRANITO TELES PIRES

Petrógrafo

JOSÉ DE MOURA CARREIRA

Observações:



C P R M

ANÁLISE

PETROGRÁFICA

REQUISIÇÃO:

LOTE Nº:

Nº DE CAMPO: 1757-RM-69

Nº DE LABORATÓRIO:

Características Mesoscópicas

Rocha ígnea intrusiva, leucocrática a mesotipo, inequigranular, grã variando de média a grossa, de coloração variando de cinza a rosada. Quartzo e feldspato ocorrem como minerais essenciais, sendo a biotita e o anfibólio os máficos mesoscopicamente identificados.

Composição Mineralógica

Minerais
ORTOCLÁSIO
OLIGOCLÁSIO
QUARTZO
HASTINGSITA
OPACOS
SERICITA
APATITA

Minerais

Classe

ÍGNEA INTRUSIVA ABISSAL

Rocha

GRANITO (RAPAKIVI)

Informações Complementares

GRANITO TELES PIRES

Petrógrafo

REQUISIÇÃO:

LOTE Nº:

Nº DE CAMPO: 1757-RM-71

Nº DE LABORATÓRIO:

Características Mesoscópicas

Rocha ígnea, isotrópica, leucocrática, aproximadamente equigranular, grã predominantemente média, de coloração cinza claro a esbranquiçado. Quartzo e feldspatos representam a quase totalidade da rocha, sendo a biotita o máfico identificado.

Composição Mineralógica

Minerais
OLIGOCLÁSIO
MICROCLINA
QUARTZO
BIOTITA
OPACOS
SERICITA

Minerais

Classe

ÍGNEA INTRUSIVA ABISSAL

Rocha

GRANITO

Informações Complementares

GRANITO TELES PIRES

Petrógrafo

JOSÉ DE MOURA CARREIRA

Observações:



C P R M

ANÁLISE

PETROGRÁFICA

REQUISIÇÃO:

LOTE Nº:

Nº DE CAMPO: 1757-RM-73

Nº DE LABORATÓRIO:

Características Mesoscópicas

Rocha metamórfica, isotrópica, leucocrática, inequigranular, grã predominantemente grossa, de coloração róseo-acinzentada. Quartzo, feldspato potássico e plagioclásio constituem os minerais essenciais, sendo a biotita e o anfibólio os máficos mesoscopicamente identificados.

Composição Mineralógica

Minerais
MICROCLINA
OLIGOCLÁSIO
QUARTZO
BIOTITA
HORNBLENDA
TITANITA
OPACOS

Minerais
SERICITA
APATITA

Classe

METAMÓRFICA

Rocha

GRANITO

Informações Complementares

COMPLEXO XINGU

Petrógrafo

XAFI DA SILVA JORGE JOÃO

REQUISIÇÃO:

LOTE Nº:

Nº DE CAMPO: 1757-RM-75

Nº DE LABORATÓRIO:

Características Mesoscópicas

Rocha metamórfica aparentemente isotrópica, leucocrática a mesotipo, grã predominantemente fina, de coloração cinza médio. Quartzo e feldspatos ocorrem como minerais essenciais, sendo a biotita e/ou anfibólio os máficos mesoscopicamente identificados.

Composição Mineralógica

Minerais
MICROCLINA
OLIGOCLÁSIO
QUARTZO
BIOTITA
HORNBLENDA
TITANITA

Minerais
OPACOS
APATITA

Classe

METAMÓRFICA

Rocha

GRANITO

Informações Complementares

COMPLEXO XINGU

Petrógrafo

XAFI DA SILVA JORGE JOÃO

Observações: A amostra RM-75 apresenta, em seção delgada, encraves ou xenólitos de anfibolito, constituído por hornblenda, diopsídio, quartzo, opacos e titanita.



C P R M

ANÁLISE

PETROGRÁFICA

REQUISIÇÃO:

LOTE Nº:

Nº DE CAMPO: 1757-RM-76

Nº DE LABORATÓRIO:

Características Mesoscópicas

Rocha metamórfica, aparentemente isotrópica, grã fina, equigranular, de cor cinza. Trata-se de uma massa microcristalina de composição quartzo feldspática (?). Metálicos do tipo sulfetos ocorrem disseminados na rocha. A rocha exibe aspecto milonítico.

Composição Mineralógica

Minerais
QUARTZO
PLAGIOCLÁSIO
CORDIERITA
OPACOS
SERICITA
BIOTITA

Minerais

Classe

DINAMOMETAMÓRFICA

Rocha

MILONITO

Informações Complementares

COMPLEXO XINGU

Petrógrafo

XAFI DA SILVA JORGE JOÃO

REQUISIÇÃO:

LOTE Nº:

Nº DE CAMPO: 1757-RM-83

Nº DE LABORATÓRIO:

Características Mesoscópicas

Rocha ígnea, isotrópica, mesotipo, algo inequigranular, grã predominantemente fina, de coloração cinza médio. Plagioclásio, quartzo, biotita e/ou hornblenda foram os únicos minerais mesoscopicamente identificados.

Composição Mineralógica

Minerais
OLIGOCLÁSIO
QUARTZO
BIOTITA
HORNBLENDA
OPACOS

Minerais

Classe

ÍGNEA INTRUSIVA SUBVULCÂNICA

Rocha

MICROTONALITO (PROTOCATACLASITO)

Informações Complementares

FORMAÇÃO IRIRI

Petrógrafo

XAFI DA SILVA JORGE JOÃO

Observações:



C P R M

ANÁLISE PETROGRÁFICA

REQUISIÇÃO:

LOTE Nº:

Nº DE CAMPO: 1757-RM-96b

Nº DE LABORATÓRIO:

Características Mesoscópicas

Rocha metamórfica, leucocrática, aparentemente isotrópica, inequi-granular, grã predominantemente grossa, de coloração algo rosada. Quartzo, feldspato e biotita constituem os minerais mesoscopicamente observados.

Composição Mineralógica

Minerais

MICROCLINA
OLIGOCLÁSIO
QUARTZO
BIOTITA
OPACOS
TITANITA

Minerais

APATITA
ZIRCÃO
MIRMEQUITA

Classe

METAMÓRFICA

Rocha

GRANITO

Informações Complementares

COMPLEXO XINGU

Petrógrafo

JOSÉ DE MOURA CARREIRA

REQUISIÇÃO:

LOTE Nº:

Nº DE CAMPO:

Nº DE LABORATÓRIO:

Características Mesoscópicas

Composição Mineralógica

Minerais

Minerais

Classe

Rocha

Informações Complementares

Petrógrafo

Observações: